



จุฬาลงกรณ์มหาวิทยาลัย

ทุนวิจัย  
กองทุนรัชดาภิเษกสมโภช

รายงานผลการวิจัย

การคอลนและลักษณะสมบัติของยีนกลุ่ม rhl ที่เกี่ยวข้องกับการสังเคราะห์  
โนในแรมโนลิพิดทางชีวภาพของ *Pseudomonas aeruginosa* A41

โดย

รศ. จิราภรณ์ อนิยวน

ผศ.ดร. กอบชัย ภัทรกุลวนิชย์  
นางสาวชนิษฐา วงศ์นิกร

จุฬาลงกรณ์มหาวิทยาลัย  
กรกฎาคม 2549

## กิตติกรรมประกาศ

ผู้วิจัยได้รับทุนอุดหนุนโครงการวิจัย จากกองทุนรัชดาภิเษกสมโภช ปีงบประมาณ 2548 (ครั้งที่ 3) เรื่องการโคลนและลักษณะสมบัติของยีนกลุ่ม *rhl* ที่เกี่ยวข้องกับการสังเคราะห์โนโนในแรมโนลิพิดทางชีวภาพของ *Pseudomonas aeruginosa* A41 โดยมีระยะเวลาของโครงการ 1 ปี คณะผู้วิจัยจึงขอขอบพระคุณ กองทุนรัชดาฯ ที่ได้ให้ความสนับสนุนงานวิจัยไว้ ณ ที่นี้

คณะผู้วิจัย  
กรกฎาคม 2549

เลขหน่วย	๐๗
	๐๗ ๑๕
เลขทะเบียน ๐๑๓๒๗๒	
วัน, เดือน, ปี ๑๙.๑.๕๐	

**ศูนย์วิทยทรัพยากร  
จุฬาลงกรณ์มหาวิทยาลัย**

ชื่อโครงการวิจัย	การคอลนและลักษณะสมบัติของยีนกลุ่ม <i>rhl</i> ที่เกี่ยวข้องกับการสังเคราะห์โนโนแรมในลิพิดทางชีวภาพของ <i>Pseudomonas aeruginosa</i> A41
ชื่อผู้วิจัย	จิราภรณ์ ชนิยวนัน กอบชัย ภัทรฤกานิชย์ และ ชนิษฐา วงศ์นิกร เดือนและปีที่ทำวิจัยเสร็จ กุมภาพันธ์ 2549

### บทคัดย่อ

*Pseudomonas* sp. A41 ที่แยกจากน้ำทะเลเอ่าวยไทย มีความสามารถในการผลิตแรมโนลิกิด จากการสังเคราะห์โนโนแรมในลิพิดทางชีวภาพของ *Pseudomonas aeruginosa* แยกยืนที่เกี่ยวข้องกับ การสังเคราะห์โนโนแรมในลิพิดจาก *Pseudomonas aeruginosa* A41 โดยเทคนิคเซอร์วิโอเบอร์ได้ เผชิญดินในมิกตีเอ็นเอกบันดีเอ็นเอติดตาม *rhlR* หรือ *rhlA* คลอนชันดีเอ็นเอที่ให้ผลบางเข้า ในพลาสมิดเวกเตอร์และหาลำดับนิวคลีโอไทด์ของชันดีเอ็นเอกแทรกสอด จากลำดับนิวคลีโอไทด์ ทั้งล้าน 4,965 bp พนกรอบอ่านรหัสเปิด (ORF) ที่สมบูรณ์จำนวน 4 แห่ง และไม่สมบูรณ์ 1 แห่ง กรอบอ่านรหัสเปิดทั้งหมดมีทิศทางในการอ่านรหัสไปในทางเดียวกันตามลำดับดังต่อไปนี้ ORF1 (*acd*) เป็นกรอบอ่านรหัสเปิดที่ไม่สมบูรณ์ ลำดับกรดอะมิโนมีความคล้ายกับ deoxycytidine triphosphate deaminase ของ *Pseudomonas aeruginosa* PAO1 เท่ากับ 100% ORF2 (*rhlA*) ลำดับกรดอะมิโนมีความคล้ายกับ rhamnosyltransferase 1 chain A ของ *Pseudomonas aeruginosa* PG201 เท่ากับ 100% ORF3 (*rhlB*) ลำดับกรดอะมิโนมีความคล้ายกับ rhamnosyltransferase 1 chain B ของ *Pseudomonas aeruginosa* PAO1 เท่ากับ 100% ORF4 (*rhlR*) ลำดับกรดอะมิโนมีความคล้ายกับ transcriptional regulator RhlR ของ *Pseudomonas aeruginosa* PAO1 และ *Pseudomonas aeruginosa* PG201 เท่ากับ 100% ORF5 (*rhlI*) ลำดับกรดอะมิโนมีความคล้ายกับ autoinducer synthetase protein RhII ของ *Pseudomonas aeruginosa* PG201 เท่ากับ 94% นอกจากนี้ยังพบบริเวณ โปรโนเมตอร์ บริเวณจับเกาะของໄร์โนโน และบริเวณอนุรักษ์ las box ซึ่งเป็นบริเวณจับเกาะ ของ regulatory protein หนึ่อกรอบอ่านรหัสเปิด ORF2 ORF4 และ ORF5

Project Title	Cloning and characterization of <i>rhl</i> genes involving mono-rhamnolipid biosynthesis of <i>Pseudomonas aeruginosa</i> A41
Name of the Investigators	Jiraporn Thaniyavarn, Kobchai Pattaragulwanit and Kanitta Wongnikorn
Year	July 2006

### Abstract

*Pseudomonas* sp. A41 isolated from Gulf of Thailand's sea water is capable of producing rhamnolipid. Morphological and biochemical characteristics together with 16S rDNA nucleotide sequence enable to classify strain A41 as *Pseudomonas aeruginosa*. Genes involving rhamnolipid biosynthesis were isolated from *Pseudomonas aeruginosa* A41 by southern hybridization of genomic DNA with *rhlR*- or *rhlA*-probe. Positive DNA fragments were cloned into plasmid vectors and nucleotide sequences of insert DNA were determined. From total nucleotide sequence of 4,965 bp, four complete and one incomplete open reading frames (ORFs) were revealed. All ORFs are in the same orientation as following; ORF1 is an incomplete ORF with 100% homology to deoxycytidine triphosphate deaminase of *Pseudomonas aeruginosa* PAO1; ORF2 (*rhlA*) shows 100% homology to rhamnosyltransferase 1 chain A of *Pseudomonas aeruginosa* PG201; ORF3 (*rhlB*) shows 100% homology to rhamnosyltransferase 1 chain B of *Pseudomonas aeruginosa* PAO1; ORF4 (*rhlR*) shows 100% homology to transcriptional regulator RhlR of *Pseudomonas aeruginosa* PAO1 and PG201 and ORF5 (*rhlI*) shows 94% homology to autoinducer synthetase protein RhII of *Pseudomonas aeruginosa* PG201. Moreover, the putative promoters, Shine-Dalgarno (SD) sequences and conserve regions of *Ias* box were found upstream of ORF2 ORF4 and ORF5.

## สารบัญ

	หน้า
กิตติกรรมประกาศ.....	ii
บทคัดย่อภาษาไทย .....	iii
บทคัดย่อภาษาอังกฤษ .....	iv
สารบัญ .....	v
รายการตารางประกอบ.....	vi
รายการภาพประกอบ .....	vii
รายการสัญลักษณ์.....	xi
<b>บทที่</b>	
1. บทนำ .....	1
2. การสำรวจแนวความคิดและการวิจัยที่เกี่ยวข้อง.....	5
3. อุปกรณ์และวิธีการวิจัย .....	21
4. ผลการวิจัย.....	51
5. การอภิปรายผล.....	101
6. ข้อสรุป.....	108
7. ข้อเสนอแนะ.....	112
เอกสารอ้างอิง .....	114
ภาคผนวก ๑.....	126
ภาคผนวก ก .....	127
ภาคผนวก ข .....	128
ภาคผนวก ค .....	136
ภาคผนวก ง .....	146

## รายการตารางประกอบ

ตารางที่	หน้า
2.1 สารคละแวงดึงผิวชื้นภาพที่ผลิตจากจุลินทรีย์ชนิดต่างๆ .....	11
3.1 แบปทิซีเรีย .....	24
3.2 พลาสมิด .....	25
3.3 โอลิโกนิวคลีโอไทด์เพรสเมอร์ .....	26
3.4 สารคละลายที่ใช้เป็นส่วนผสมในปฏิกริยาลูกโซ่เพลเมอเรสสำหรับการเพิ่มจำนวน 16S ribosomal DNA ของ <i>Pseudomonas</i> sp. A41 .....	30
3.5 สารคละลายที่ใช้เป็นส่วนผสมในปฏิกริยาลูกโซ่เพลเมอเรสสำหรับการเพิ่มจำนวน <i>rhlA</i> ..	33
3.6 สารคละลายที่ใช้เป็นส่วนผสมในปฏิกริยาลูกโซ่เพลเมอเรสสำหรับการเพิ่มจำนวน <i>rhlR</i> ..	34
3.7 วิธีเจือจางสารคละลายดีเอ็นเอสำหรับปริมาณดีเอ็นเอที่ติดคลากแล้ว .....	36
3.8 ขั้นตอนการหาปริมาณดีเอ็นเอติดตามที่ถูกติดคลาก .....	37
4.1 สายพันธุ์จุลินทรีย์ที่มีลำดับนิวคลีโอไทด์ของ 16S ribosomal RNA คล้ายกับ ลำดับนิวคลีโอไทด์ของ 16S ribosomal DNA ของ <i>Pseudomonas</i> sp. A41.....	52
4.2 ข้อมูลของแต่ละกรอบอ่านรหัสเปิดและเบอร์เท็นค์ความคล้ายกับยีนอ้างอิง .....	99

**ศูนย์วิทยทรัพยากร  
จุฬาลงกรณ์มหาวิทยาลัย**

## รายการภาพประกอบ

รูปที่

หน้า

2.1 ลักษณะโครงสร้างโดยทั่วไปของสารลดแรงตึงผิว .....	7
2.2 การเกิดโครงสร้างไมโครเซลล์ของสารลดแรงตึงผิวชีวภาพในน้ำเพื่อเพิ่มความเข้มข้น ของสารลดแรงตึงผิวชีวภาพจนถึงจุด Critical Micelle concentration (CMC) .....	8
2.3 โครงสร้างของแรมโนลิพิด ชนิด R1, R2, R3, R4, A และ B จาก <i>Pseudomonas aeruginosa</i> .....	13
2.4 กระบวนการสังเคราะห์แรมโนลิพิดชนิด R1 และ R2 ซึ่งผลิตจาก <i>Pseudomonas aeruginosa</i> .....	14
2.5 กลไกการควบคุมและการผลิตแรมโนลิพิดใน <i>P. aeruginosa</i> .....	17
3.1 แผนภาพแสดงการจัดวางชั้นต่างๆ ของการย้ายดีเอ็นเอจากօร์โกราฟเจลไปยัง <sup>1</sup> ในลอนเมมเบรน โดยวิธี Capillary transfer .....	40
3.2 ลักษณะการผนึกถุงพลาสติกสำหรับทำไฮบริดเจชัน .....	41
4.1 อะก่าโรสเจลอิเล็กโทรโฟเรซของผลิตภัณฑ์ PCR	
ก) ลูกศรแสดงผลิตภัณฑ์ PCR จากไฟร์เมอร์ RA-F และ RA-R	
ข) ลูกศรแสดงผลิตภัณฑ์ PCR จากไฟร์เมอร์ RR-F และ RR-R .....	54
4.2 ก) อะก่าโรสเจลที่มีดีเอ็นเอของ <i>Pseudomonas</i> sp. A41 ที่ตัดด้วยเรสทวิคชันเอนไซม์ ชนิดต่างๆ ข) สัญญาณจากเทาร์เซอร์น์ไฮบริดเจชันด้วยดีเอ็นเอติดตาม <i>rhIR</i> .....	56
4.3 ก) Dot blot hybridization ของรีคอมบินันท์พลาสมิคที่มีชิ้นดีเอ็นเอของ <i>Pseudomonas</i> sp. A41 ขนาด 1.5 กิโลเบสอยู่ ด้วยดีเอ็นเอติดตาม <i>rhIR</i>	
ข) Dot blot hybridization ของรีคอมบินันท์พลาสมิคของโคลนจากตัวอย่างกลุ่ม E2 ด้วยดีเอ็นเอติดตาม <i>rhIR</i> .....	57
4.4 ก) Dot blot hybridization ของรีคอมบินันท์พลาสมิคที่มีชิ้นดีเอ็นเอของ <i>Pseudomonas</i> sp. A41 ขนาด 0.5 กิโลเบสอยู่ ด้วยดีเอ็นเอติดตาม <i>rhIR</i>	
ข) Dot blot hybridization ของรีคอมบินันท์พลาสมิคของโคลนจากตัวอย่างกลุ่ม A9 ด้วยดีเอ็นเอติดตาม <i>rhIR</i> .....	58

## รายการภาพประกอบ (ต่อ)

ญี่ปุ่น

หน้า

4.5 ภาพของกาโนสที่มีดีเอ็นเอของพลาสมิด pBR123 ที่ตัดด้วยเรสทริกชันเอนไซม์ ชนิดต่างๆ เพื่อหาตำแหน่งการจัดเรียงตัวของชิ้นดีเอ็นเอสอดแทรก ..... 60	
4.6 ก) แผนที่เรสทริกชัน (Restriction map) ของรีคอมบิแนนท์พลาสมิด pBR530 ข) รีคอม บิแนนท์พลาสมิดของ pBR123      ค) รีคอมบิแนนท์พลาสมิด pBBG8 ง) พลาสมิด pBP1 ได้มาจากการตัดโคลนชิ้นดีเอ็นเอสอดแทรกของพลาสมิด pBR123 จ) แผนที่เรสทริกชันเอนไซม์ของพลาสมิด pBR157 ..... 61	
4.7 ลำดับนิวคลีโอไทด์ของชิ้นดีเอ็นเอสอดแทรกของรีคอมบิแนนท์พลาสมิด pBR123 มีขนาด 1531 bp ซึ่งได้จากการใช้ไฟร์เมอร์ T3 T7 และ RF1 กับ <sup>รีคอมบิแนนท์พลาสมิด pBR123 ใช้ไฟร์เมอร์ T7 กับรีคอมบิแนนท์พลาสมิด pBBG8 แล้วใช้ไฟร์เมอร์ SP6 กับรีคอมบิแนนท์พลาสมิด pBP1</sup> ..... 63	
4.8 ลำดับนิวคลีโอไทด์ของชิ้นดีเอ็นเอสอดแทรกขนาด 513 bp ของ รีคอมบิแนนท์พลาสมิด pBR530 โดยใช้ universal primer T3 และ T7 ..... 65	
4.9 ก) อะกาโนสเจลที่มีดีเอ็นเอของ <i>Pseudomonas</i> sp. A41 ที่ตัดด้วยเรสทริกชัน เอนไซม์ชนิดต่างๆ ข) สัญญาณจากเซาท์เออร์นไลน์ไดเรชันด้วยดีเอ็นเอติดตาม <i>rhlR</i> ..67	
4.10 ก) Dot blot hybridization ของรีคอมบิแนนท์พลาสมิดที่มีชิ้นดีเอ็นเอ <i>Xba</i> I- <i>Bgl</i> II ของ <i>Pseudomonas</i> sp. A41 ขนาด 1.0 กิโลเบต ด้วยดีเอ็นเอติดตาม <i>rhlR</i> ข) Dot blot hybridization ของรีคอมบิแนนท์พลาสมิดของโคลนจากตัวอย่าง กลุ่ม B2 ด้วยดีเอ็นเอติดตาม <i>rhlR</i> ..... 68	
4.11 ลำดับนิวคลีโอไทด์บางส่วนของชิ้นดีเอ็นเอสอดแทรกใน pBR157 โดยใช้ไฟร์เมอร์ RR-F ซึ่งจำเพาะกับบริเวณปลาย 5' ของยีน <i>rhlR</i> ได้ลำดับนิวคลีโอไทด์ 533 bp ..... 69	
4.12 สรุปรวมลำดับนิวคลีโอไทด์ของชิ้นดีเอ็นเอสอดแทรกใน pBR530 และ pBR123 ..... 70	
4.13 แผนที่เรสทริกชันของชิ้นดีเอ็นเอสอดแทรกจากพลาสมิด pBR530 และ pBR123 ขนาด 2,033 bp แสดงตำแหน่งที่เป็นกรอบอ่านรหัสเปิด (ORF) ดีเอ็นเอติดตาม <i>rhlR</i> ..... 74	

## รายการภาพประกอบ (ต่อ)

รูปที่

หน้า

4.14 ก) อะกาโรสเจลที่มีตีเข็นเข้อง <i>Pseudomonas</i> sp. A41 ที่ตัดด้วยเรสทริกชัน เอนไซม์ชนิดต่างๆ ข) สัญญาณจากเซาท์เออร์นไบอิจไดเรชันด้วยตีเข็นเอ ติดตาม <i>rhlA</i> .....	75
4.15 น) Dot blot hybridization ของรีคอมบิแนนท์พลาสมิດที่มีชิ้นตีเข็นเข้อง <i>Pseudomonas</i> sp. A41 ขนาด 1.5 กิโลเบสอยู่ ด้วยตีเข็นเอติดตาม <i>rhlA</i> ข) Dot blot hybridization ของรีคอมบิแนนท์พลาสมิດของโคลนจากตัวอย่าง กลุ่ม D7 ด้วยตีเข็นเอติดตาม <i>rhlA</i> .....	76
4.16 ภาพอะกาโรสที่มีตีเข็นเข้องพลาสมิດ pGA396 ที่ตัดด้วยเรสทริกชันเอนไซม์ ชนิดต่างๆ เพื่อหาตำแหน่งการจัดเรียงตัวของชิ้นตีเข็นเข้องสอดแทรก .....	78
4.17 ก) แผนที่เรสทริกชัน (Restriction map) ของพลาสมิດ pGA396 ข) แสดง รีคอมบิแนนท์พลาสมิດ pN9 ที่ได้จากการสับโคลนชิ้นตีเข็นเข้องสอดแทรกของ พลาสมิດ pGA396 เพื่อนำไปใช้ในการหาลำดับนิวคลีโอไทด์ .....	79
4.18 ลำดับนิวคลีโอไทด์ของชิ้นตีเข็นเข้องสอดแทรกในรีคอมบิแนนท์พลาสมิດ pGA396 ขนาด 1562 bp ซึ่งได้จากการใช้ไฟร์เมอร์ M13 forward SP6 และ N912R กับพลาสมิດ pGA396 และไฟร์เมอร์ SP6 กับ พลาสมิດ pN9 .....	80
4.19 แผนที่เรสทริกชันของชิ้นตีเข็นเข้องสอดแทรกจากพลาสมิດ pGA396 ขนาด 1,562 bp แสดงตำแหน่งที่เป็นกรอบค่านรหัสเปิด (ORF) ตีเข็นเอติดตาม <i>rhlA</i> .....	83
4.20 ก) อะกาโรสเจลที่มีตีเข็นเข้อง <i>Pseudomonas</i> sp. A41 ที่ตัดด้วย เรสทริกชันเอนไซม์บางชนิด ข) สัญญาณจากเซาท์เออร์นไบอิจไดเรชันด้วย ตีเข็นเอติดตาม <i>rhlA</i> .....	85
4.21 น) Dot blot hybridization ของรีคอมบิแนนท์พลาสมิດที่มีชิ้นตีเข็นเข้อง <i>Pseudomonas</i> sp. A41 ขนาด 2.0 กิโลเบสอยู่ ด้วยตีเข็นเอติดตาม <i>rhlA</i> ข) Dot blot hybridization ของรีคอมบิแนนท์พลาสมิດของโคลนจาก ตัวอย่างกลุ่ม A11 ด้วยตีเข็นเอติดตาม <i>rhlA</i> .....	86

## รายการภาพประกอบ (ต่อ)

ข้อที่	หน้า
4.22 ภาพของไส้ที่มีดีเอ็นเอของพลาสมิด pKB261 ที่ตัดด้วยเรสทริกชัน เอ็นไซม์ชนิดต่างๆ เพื่อหาตำแหน่งการจัดเรียงตัวของชิ้นดีเอ็นเอสอดแทรก.....	87
4.23 แผนที่เรสทริกชัน (Restriction map) ของพลาสมิด pKB261 .....	88
4.24 ลำดับนิวคลีโอไทด์และลำดับกรดอะมิโนที่ถอดรหัสจากลำดับนิวคลีโอไทด์ของชิ้นดีเอ็นเอสอดแทรกในพลาสมิด pGA396 pKB261 pBR530 และ pBR123 รวมกันมีขนาด 4,965 bp.....	90
4.25 consensus sequence ของโปรตีนเดอร์ ตัวเลขใต้เบสแต่ละตัวแสดง เปอร์เซ็นต์การพบเบส.....	96
4.26 แผนที่เรสทริกชันของชิ้นดีเอ็นเอสอดแทรกจากพลาสมิด pGA396 pKB261 pBR530 และ pBR123 ขนาด 4,965 bp และคงตำแหน่งที่เป็นกรอบอ่านรหัสเปิด (ORF) ดีเอ็นเอติดตาม rhIA และ rhIR.....	100



## รายการสัญลักษณ์

$^{\circ}\text{C}$	=	องศาเซลเซียส
%	=	เปอร์เซ็นต์
$\mu\text{g}$	=	ไมโครกรัม
$\mu\text{M}$	=	ไมโครโมลาร์
$\mu\text{l}$	=	ไมโครลิตร
bp	=	คู่เบส
CMC	=	ค่าความเข้มข้นของการเกิดไมเซลล์
$\text{mN/m}$	=	มิลลินิวตันต่อมเมตร
$\text{mM}$	=	มิลลิโมลาร์
$\rho\text{g}$	=	พิโครกรัม
U	=	ยูนิต (หน่วยของเอนไซม์)

ศูนย์วิทยทรัพยากร  
จุฬาลงกรณ์มหาวิทยาลัย



# ศูนย์วิทยทรัพยากร จุฬาลงกรณ์มหาวิทยาลัย

สารลดแรงตึงผิวชีวภาพ (biosurfactants) หมายถึง สารชีวไม่เลกฤทธิ์มีสมบัติเป็นสารลดแรงตึงผิว ซึ่งสร้างโดยสิ่งมีชีวิตโดยเฉพาะอย่างยิ่งจุลทรรศนิดต่างๆ เช่น แบคทีเรียและยีสต์บางชนิด (Cooper และ Zajic, 1980) ปัจจุบันสารลดแรงตึงผิวชีวภาพที่ความสำคัญทางเศรษฐกิจมากขึ้นและมีการนำมาใช้แทนสารลดแรงตึงผิวที่ได้จากการสังเคราะห์ทางเคมี เนื่องจากถูกย่อยสลายได้ทางชีวภาพง่ายไม่เป็นอันตรายต่อสิ่งแวดล้อม มีความเป็นพิษต่ำอีกทั้ง สามารถผลิตจากสารตั้งต้นที่มาจากทรัพยากริมฝั่งแม่น้ำให้ใหม่ได้ (Mercade และคณะ, 1993; Babu และคณะ, 1996; Daniel และคณะ, 1998) โครงสร้างหลักของสารลดแรงตึงผิวชีวภาพเป็นแอมฟิฟาติก ซึ่งประกอบด้วยส่วนที่ชอบไขมันและส่วนที่ชอบน้ำ Desai และ Banat (1997) ได้แบ่งสารลดแรงตึงผิวชีวภาพออกเป็น 6 ชนิดตามโครงสร้างทางเคมีได้แก่ ไกลโคลิพิด ไลโพเพพไทด์และไลโพโปรตีน กรดไขมันและไขมันที่เป็นกลาง พอสฟอลิพิด สารลดแรงตึงผิวชีวภาพที่มีโครงสร้างเป็นพอลิเมอร์และสารลดแรงตึงผิวชีวภาพที่มีลักษณะเป็นอนุภาค แรมโนลิพิดเป็นสารลดแรงตึงผิวชีวภาพชนิดไกลโคลิพิดผลิตจาก *Pseudomonas aeruginosa* และ *Pseudomonas* sp. (Desai และ Banat, 1997; Lang และ Wullbrandt, 1999) แรมโนลิพิดบริสุทธิ์ที่ความเข้มข้นระหว่าง 10-200 มิลลิกรัมต่อลิตร สามารถลดแรงตึงผิวให้อยู่ระหว่าง 25-30 mN/m พนคั่งแรกโดย Bergstrom และคณะในปี 1946 แรมโนลิพิด ที่พบผลิตโดย *Pseudomonas pyocyannea* ต่อมาในปี 1949 Jarvis และ Johnson เป็นกลุ่มแรกที่รายงานว่ามีการผลิตแรมโนลิพิดจาก *Pseudomonas aeruginosa* โครงสร้างของแรมโนลิพิดแบ่งเป็น 6 กลุ่มใหญ่ตามรายงานของ Lang และ Wullbrandt (1999) ซึ่งแต่ละกลุ่มแตกต่างกันตามจำนวนของน้ำตาลแรมโนสและกรดบีต้า-ไอดรอกซีดีكار์โนอิก นอกจากแรมโนลิพิดจะมีสมบัติเป็นสารลดแรงตึงผิวแล้ว Abalos และคณะ (2001) ได้รายงานว่าสารแรมโนลิพิดที่ผลิตจาก *Pseudomonas aeruginosa* มีความสามารถในการต้านจุลทรรศน์ แบคทีเรียและราไก้

กระบวนการการสังเคราะห์แรมโนลิพิดชนิดที่ 1 และ 2 ที่ผลิตโดย *Pseudomonas aeruginosa* ATCC7700 เกิดจากการสังผ่านแรมโนซิลอย่างจำเพาะสองครั้งอย่างเป็นลำดับด้วยเอนไซม์แรมโนซิลทรานส์เฟอเรส 2 ชนิด คือ rhamnosyltransferase 1 (Rt 1) และ rhamnosyltransferase 2 (Rt 2) ตามลำดับ โดยใช้ thymidine-diphospho-L-rhamnose (TDP-L-rhamnose) เป็นตัวให้ และ  $\beta$ -hydroxydecanoyl- $\beta$ -hydroxydecanoate หรือ mono-rhamnolipid เป็นตัวรับแรมโนซิล (Burger และคณะ, 1963) อินที่เกี่ยวข้องกับการสังเคราะห์แรมโนลิพิดชนิดที่ 1 อยู่ใน *rhl* operon โดย *rhlA* และ *rhlB* ประมวลรหัส

rhamnosyltransferase 1 (Rt 1) นอกจากนี้ยังมียีนที่ควบคุมการแสดงออกของ *rhlA* และ *rhlB* อีกด้วย *rhlR* ที่ประมวลรหัสของโปรตีน RhlR ทำหน้าที่ควบคุมการแสดงออกของ *rhlA* และ *rhlB* (Ochsner และคณะ, 1994b) และ RhII เป็นเอนไซม์ autoinducer synthetase ที่ให้ในปฏิกิริยาการสังเคราะห์ autoinducer (Ochsner และ Reiser, 1995) autoinducer หรือ N-acylated homoserine lactones (HSLs) เป็นสารที่มีโมเลกุลเล็กใช้ในการส่งสัญญาณในการวัดความหนาแน่นประชากรของเซลล์แบคทีเรียเพื่อพร้อมปรับกลไกการทำงานให้เข้ากับสภาพแวดล้อมใหม่ที่เปลี่ยนไปได้ (Fuqua และคณะ, 1994) เมื่อความหนาแน่นของแบคทีเรียสูงขึ้น autoinducer เหล่านี้จะถูกปล่อยและไปกระตุนอย่างจำเพาะกับ transcription regulator ให้สามารถทำงานได้ (Fuqua และคณะ, 1996; Fuqua และ Greenberg, 1998; Salmond และคณะ, 1995) โปรตีน RhlR เป็น transcriptional activator ที่ยังไม่สามารถทำงานได้ต้องถูกกระตุนด้วย autoinducer ที่สร้างโดยการเร่งปฏิกิริยาด้วยโปรตีน RhII (Ochsner และ Reiser 1995) พนักงานสายพันธุ์คล้ายที่ขาด *rhlII* ไม่สามารถสร้างแรมโนลิพิด เพราะการกระตุนการสร้างแรมโนลิพิดเริ่มจากการสังเคราะห์ N-acylated homoserine lactone

ปัจจุบันเนื่องจากทราบข้อมูลระดับอนุพันธุศาสตร์และกลไกการควบคุมการผลิตแรมโนลิพิดแล้ว ยังมีผู้สนใจปรับปรุงสายพันธุ์จุลทรรศน์ดังกล่าวให้มีความสามารถในการผลิตในแรมโนลิพิดเพิ่มมากขึ้น โดยนำ *rhlAB* ต่อเข้ากับпромเทอร์ tac ได้เป็นพลาสมิด pUO98 และนำเข้าสู่เซลล์เจ้าบ้านต่างๆ เพื่อศึกษาความสามารถในการผลิตในแรมโนลิพิด พนักงาน *Pseudomonas putida* KT2442 ซึ่งปกติไม่มีความสามารถในการผลิตในแรมโนลิพิดเมื่อได้รับพลาสมิด pUO98 สามารถผลิตในแรมโนลิพิดได้ (Ochsner และคณะ, 1995)

*Pseudomonas* sp. A41 เป็นแบคทีเรียที่แยกได้จากน้ำทะเลในบริเวณอ่าวไทย จ. สมุทรสงคราม โดย อารีย์ กงจิน ในปี พ.ศ. 2542 ซึ่งสามารถผลิตสารลดแรงตึงผิวชีวภาพเมื่อใช้กลูโคสเป็นแหล่งคาร์บอนแต่ถ้าใช้น้ำมันปาล์มจะทำให้ผลผลิตเพิ่มมากขึ้น สารลดแรงตึงผิวซึ่งอยู่ในอาหารเลี้ยงเชื้อลดค่าแรงตึงผิวของน้ำจาก 72 mN/m เป็น 29 mN/m และผลิตสารลดแรงตึงผิวชีวภาพได้ดีเมื่อมีแอมโมเนียมในเขตเป็นแหล่งในโครงเจน บ่มที่ 30°ฯ เထ่าที่ 200 รอบต่อนาที ในอาหารเหลวกำหนดสูตรที่มีค่าความเป็นกรดเป็นด่างเท่ากับ 7.0 ต่อมานพรัตน์ วนิชสุขสมบัติ (2545) นำสารลดแรงตึงผิวชีวภาพที่ได้มาทำให้บริสุทธิ์ด้วยวิธี chromatography และวิเคราะห์ทางเคมีด้วย LC-MS และ IR-spectrum สามารถพิสูจน์ได้ว่าสารลดแรงตึงผิวชีวภาพที่ผลิตได้เป็นแรมโนลิพิด

ดังนั้นในงานวิจัยนี้จึงมุ่งศึกษา *rhlA* และ *rhlR* ที่เกี่ยวข้องกับการสังเคราะห์แรมโนลิพิด

ใน *Pseudomonas* sp. A41 โดย *rhlA* เป็นยีนที่กำหนดรหัสโปรตีน RhIA ซึ่งเป็นองค์ประกอบหนึ่งของเอนไซม์ rhamnosyltransferase 1 และ *rhlR* เป็นยีนที่มีส่วนควบคุมการแสดงออกของ *rhlAB* เพื่อใช้เป็นรากฐานทางเคมีพันธุศาสตร์เพื่อใช้ในการปรับปรุงเกี่ยวกับการผลิตแรมโนลิพิดให้มีผลิตภัณฑ์เพิ่มสูงขึ้น



# ศูนย์วิทยทรัพยากร จุฬาลงกรณ์มหาวิทยาลัย



ບທທີ 2  
ການສໍາຮຽນແນວຄວາມຄືດ ແລະ ການວິຈັຍທີ່ເກີຍວ່າຂອງ

ສູນຍົວິຖຍທຮັພຍາກ  
ຈຸພາລັກຮນ໌ມໍາໄວວິຖາລັຍ

สารลดแรงตึงผิว (surfactant) ถูกใช้อย่างแพร่หลายในชีวิตประจำวันทั้งใน อุตสาหกรรมยา อุตสาหกรรมเครื่องสำอาง อุตสาหกรรมปิโตรเลียม และอุตสาหกรรมอาหาร เป็นต้น สารลดแรงตึงผิวที่ใช้ในอุตสาหกรรมดังกล่าวมีอยู่มากหลายชนิดก็จริง แต่ก็ยังคงมีการพัฒนาเพื่อให้ได้สารใหม่ที่มีประสิทธิภาพมากกว่าเดิม (Cameotra และ Makkar, 1998) ในปี 1997 อุตสาหกรรมการผลิตสารลดแรงตึงผิวมีมูลค่ามากกว่า 9 พันล้านเหรียญอเมริกาต่อปี (Desai และ Banat, 1997) สารลดแรงตึงผิวเหล่านี้ส่วนใหญ่แล้วสังเคราะห์ขึ้นโดยผ่านกระบวนการทางเคมีโดยใช้ปิโตรเลียมเป็นสารตั้งต้น มีความเป็นพิษต่อสิ่งแวดล้อม ย่อยสลายทางธรรมชาติได้ยาก และกระบวนการในการผลิตยังเป็นพิษต่อสิ่งแวดล้อมอีกด้วย ทำให้มีการออกกฎหมายให้ใช้สารลดแรงตึงผิวที่เข้าได้กับสิ่งแวดล้อม (Maier และ Soberon-Chavez, 2000) ต่อมาเมื่อคนหันไปสนใจสารลดแรงตึงผิวชีวภาพเนื่องจากมันสามารถย่อยสลายเองได้ในธรรมชาติ มีความเป็นพิษต่ำ สามารถเข้ากันได้กับสิ่งแวดล้อม อีกทั้งสามารถผลิตจากสารตั้งต้นที่มีราคาถูกและมาจากทรัพยากรที่นำกลับมาใช้ใหม่ได้ (Mercade และคณะ, 1993; Babu และคณะ, 1996; Ishigami, 1997; Daniel และคณะ, 1998; Makkar และ Cameotra, 1999a, 1999b) ตลาดค้าขายสำคัญของสารลดแรงตึงผิวชีวภาพที่ใหญ่ที่สุดคือการใช้สารลดแรงตึงผิวในอุตสาหกรรมน้ำมัน เพื่อลดความหนืดของน้ำมันทำให้ง่ายในการการขนส่งและลำเลียงน้ำมันผ่านทางท่อส่งน้ำมัน (Bertrand และคณะ, 1994) Finnerty และ Singer (1985) ได้ศึกษาว่าสารลดแรงตึงผิวชีวภาพนิดไกลโคลิพิดที่ผลิตได้จากแบคทีเรียที่ติดสีแกรมลบ มีรูปร่างเป็นแท่งซี่รัว H13A สามารถลดความหนืดของน้ำมันได้ถึง 50% Emulsan ก็มีความสามารถในการลดความหนืดได้เช่นเดียวกัน (Hayes และคณะ, 1986) ตลาดที่รองลงมาคือ การใช้สารลดแรงตึงผิวชีวภาพเป็นตัวช่วยผสมให้สารพอดิเมอร์เข้ากันในอุตสาหกรรมสี อุตสาหกรรมกระดาษ สิ่งทอ และเชรามิก (Banat และคณะ, 2000) ในด้านการแพทย์ แรมโนลิพิดที่ผลิตจาก *P. aeruginosa* (Itoh และคณะ, 1971) ไลโพเพปไทด์ที่ผลิตจาก *B. subtilis* (Sandrin และคณะ, 1990; Leenhouts และคณะ, 1995; Vollenbroich และคณะ, 1997) mannosylerythritol lipids จาก *Candida antarctica* (Kitamoto และคณะ, 1993) และ ไซคลิก ไลโพเพปไทด์ (cyclic lipopeptides; CLPs) ผลิตจาก *Pseudomonas* spp. (Nielsen และคณะ, 2002) มีสมบัติเป็นสารปฏิชีวนะทางด้านการเกษตรมีการนำแรมโนลิพิดที่ผลิตจาก *Pseudomonas aeruginosa* ไปใช้แทนยาฆ่าราศี *Pythium aphanidermatum* และ *Phytophthora capsici* ที่ทำให้เกิดโรครากเน่าในแตงกวา และพริกไทย (Stanghellini และคณะ, 1996) ทางด้านเครื่องสำอาง Brown (1991) ได้พบว่าสารลดแรงตึงผิวชีวภาพมีสมบัติเป็นตัวให้ความชุ่มชื้นและสามารถเข้าได้กับผิว ไซโฟโลลิพิด

(sophorolipids) เป็นสารลดแรงตึงผิวชีวภาพที่ผลิตได้จาก *C. bombicola* KSM-36 และ *C. apicola* ผลิตภัณฑ์ที่ประกอบด้วยโซโนฟิโลลิพิด 1 มิก กับโพร์พิลินไกลคอล (propylene glycol) ใช้เป็นสารให้ความชุ่มชื้นแก่ผิว (Banat และคณะ, 2000) ทางด้านอุตสาหกรรมอาหาร จะใช้สารลดแรงตึงผิวชีวภาพเช่น เลซิทิน (Lecithin) เป็นตัวช่วยให้อาหารเข้าเป็นเนื้อเดียวกัน (Bloomberg, 1991; Banat และคณะ, 2000) เป็นต้น

### สารลดแรงตึงผิวชีวภาพ

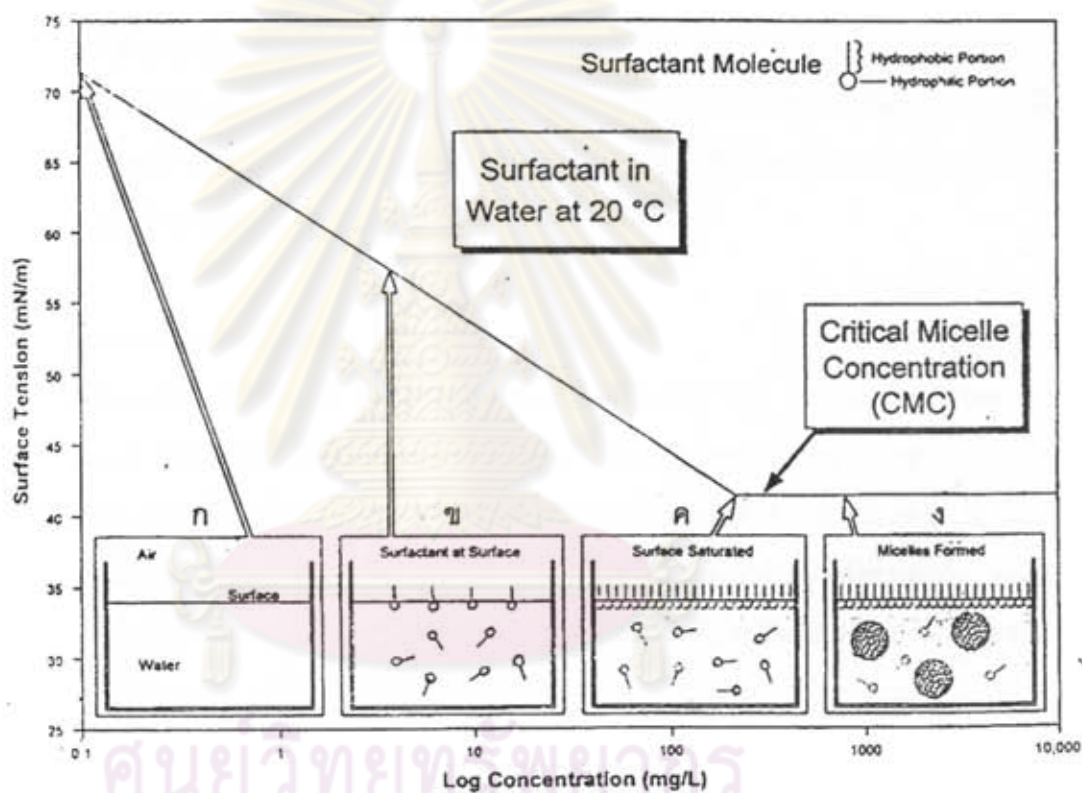
สารลดแรงตึงผิวชีวภาพ (biosurfactant) หมายถึง สารชีวโมเลกุลที่มีสมบัติเป็นสารลดแรงตึงผิว (surface-active substance) ซึ่งสร้างโดยสิ่งมีชีวิตชนิดต่างๆ เช่น แบคทีเรีย ราและยีสต์บางชนิด (Cooper และ Zajic, 1980) มีโครงสร้างเป็นแบบแอมฟิฟาติก (amphiphatic structure) ซึ่งประกอบด้วยส่วนที่มีช้ำ (hydrophilic portion) ได้แก่ โปรตีน และน้ำตาลซึ่งจะเป็นโมเลกุลที่มีหมุ่ คาร์บอไฮเดรต หมู่ไออกอร์อกซิล หมู่อะมิโน หมู่ฟอสเฟต เป็นต้น ส่วนที่ไม่ชอบน้ำ (hydrophobic portion) หรือส่วนที่ชอบไขมัน (lipophilic portion) ซึ่งจะเป็นโมเลกุลพวกไขโตรคาร์บอน เช่น กรดไขมันทั้งชนิดอิมตัว (saturated fatty acid) และไม่อิมตัว (unsaturated fatty acid) มีทั้งโมเลกุลใหญ่และโมเลกุลเล็ก ซึ่งจะทำให้ประลักษณ์ของสารลดแรงตึงผิวชีวภาพแตกต่างกันไป ดังรูปที่ 2.1 แสดงโครงสร้างของสารลดแรงตึงผิวชีวภาพที่เป็นแบบแอมฟิฟาติก



รูปที่ 2.1 ลักษณะโครงสร้างโดยทั่วไปของสารลดแรงตึงผิวชีวภาพ (Fiechter, 1992)

เมื่อสารลดแรงตึงผิวอยู่ในน้ำ ส่วนที่ชอบน้ำจะทำให้ละลายน้ำได้และส่วนที่ไม่ชอบน้ำจะอยู่บริเวณผิวน้ำอยู่ต่อระนาบกับน้ำกับอากาศ การที่สารลดแรงตึงผิวชีวภาพไปอยู่ที่ผิวน้ำต่อนี้จะทำให้ลดค่าแรงตึงผิวของสารละลายน้ำได้ และโดยส่วนใหญ่แล้วสารลดแรงตึงผิวชีวภาพนี้จะลด

ค่าแรงตึงผิวของน้ำจาก  $72 \text{ mN/m}$  เป็น  $30 \pm 5 \text{ mN/m}$  ทั้งนี้ขึ้นอยู่กับชนิดและความเข้มข้นของสารลดแรงตึงผิวชีวภาพ สารลดแรงตึงผิวสามารถละลายอยู่ในตัวทำละลายทั้งชนิดมีข้าวหรือไม่มีข้าว เมื่อความเข้มข้นของสารลดแรงตึงผิวมากขึ้นก็จะไปลดค่าแรงตึงผิวของของสารละลายจนถึงความเข้มข้นหนึ่งที่ทำให้เกิดโครงสร้างที่เรียกว่าไมเซลล์ (micelle) และค่าแรงตึงผิวของสารละลายนั้นจะคงที่ไม่ลดลงไปอีกแม้จะเพิ่มความเข้มข้นของสารลดแรงตึงผิวชีวภาพลงไปอีกเท่าใดก็ตามดังแสดงในรูปที่ 2.2



รูปที่ 2.2 การเกิดโครงสร้างไมเซลล์ของสารลดแรงตึงผิวชีวภาพในน้ำเมื่อเพิ่มความเข้มข้นของสารลดแรงตึงผิว ข) สารลดแรงตึงผิวละลายอยู่ในน้ำโดยหันส่วนที่ไม่ชอบน้ำออกสู่ผิวน้ำ ค) Critical Micelle Concentration (CMC) เป็นจุดที่ความเข้มข้นของสารลดแรงตึงผิวชีวภาพเพิ่มขึ้นจนถึงระดับที่ก่อให้เกิดโครงสร้างไมเซลล์ และ ง) เมื่อเกิดเป็นโครงสร้างไมเซลล์แล้วค่าแรงตึงผิวมีค่าคงที่ไม่ลดลงอีกไม่ว่าความเข้มข้นของสารลดแรงตึงผิวชีวภาพจะเพิ่มขึ้นกี่ตาม (Gilman, 1993)

เรียกค่าความเข้มข้นที่ทำให้เกิดโครงสร้างไมโครลิฟต์ว่า Critical Micelle Concentration (CMC) คือ ค่าความเข้มข้นต่ำสุดของสารลดแรงตึงผิวที่ทำให้เกิดโครงสร้างไมโครลิฟต์ ซึ่งใช้เป็นตัววัดถึงประสิทธิภาพของสารลดแรงตึงผิวได้ (Desai และ Banat, 1997; Volkering และคณะ, 1998)

ค่าแสดงถึงประสิทธิภาพของสารลดแรงตึงผิวชีวภาพ นอกจากค่า CMC ที่กล่าวข้างต้นแล้วยังมีอีกหลายค่าได้แก่

### 1. ค่าแรงตึงผิว (surface tension)

หมายถึง แรงที่กระทำระหว่างของเหลวและอากาศ มีหน่วยเป็น mN/m หรือ dyne/cm ซึ่งค่าแรงตึงผิวของน้ำบริสุทธิ์เท่ากับ 72 mN/m และสารลดแรงตึงผิวชีวภาพที่ถือว่ามีประสิทธิภาพดีจะทำให้ค่าแรงตึงผิวลดลงเหลือ 35 mN/m (Kosaric, 1993)

### 2. ค่าแรงตึงระหว่างผิวที่ประจัน (interfacial tension)

หมายถึง แรงที่กระทำระหว่างของเหลวกับของเหลวที่มีเฟสต่างกัน มีหน่วยเป็น mN/m การวัดแรงตึงระหว่างผิวที่ประจันจะวัดระหว่างน้ำและสารประกอบไฮโดรคาร์บอน เช่น น้ำมัน เอกซ้าเดกเคน หรือ น้ำมันก้าด โดยทั่วไปค่าแรงตึงระหว่างผิวที่ประจันของน้ำกับเอกซ้าเดกเคนมีค่าเท่ากับ 50 mN/m และค่าแรงตึงระหว่างผิวที่ประจันของน้ำกับน้ำมันก้าดมีค่าเท่ากับ 30-40 mN/m ซึ่งเมื่อเติมสารลดแรงตึงผิวชีวภาพสามารถลดแรงตึงผิวที่ประจันลงเหลือ 0.1-1.0 mN/m (Gerson, 1993)

### 3. การเกิดอิมลัชัน (emulsification)

คือความสามารถในการทำให้น้ำและสารประกอบไฮโดรคาร์บอน เช่น น้ำมันบีโตรเลียม สารคลายอินทรีย์ และน้ำมันพืชชนิดต่างๆ รวมตัวเป็นเนื้อเดียวกัน ซึ่งสารลดแรงตึงผิวชีวภาพจะทำให้เกิดอิมลัชันระหว่างน้ำกับสารประกอบไฮโดรคาร์บอน เป็นผลทำให้น้ำมันมีสภาพเป็นหยดเล็กๆ อยู่ในน้ำ (อิมลัชันชนิด oil in water) เป็นการเพิ่มพื้นที่ผิวระหว่างน้ำและสารประกอบไฮโดรคาร์บอน (Cooper และ Zajic, 1980) การวัดประสิทธิภาพในการเกิดอิมลัชันอาจทำด้วยการวัดค่าอิมลัชัน อินเดกซ์ คือการวัดอัตราส่วนระหว่างความสูงของอิมลัชันและความสูงของของเหลวในหลอดทั้งหมด เมื่อเวลาผ่านไป 24 ชั่วโมง (Patel และ Desai, 1997) และอาจวัดความเสถียรของอิมลัชันที่เกิดขึ้นโดยวัดค่าอิมลัชันอินเดกซ์ในระยะเวลาที่นานออกไป

## ชนิดของสารลดแรงตึงผิวชีวภาพ

การจำแนกสารลดแรงตึงผิวชีวภาพ สามารถแบ่งออกเป็น 6 กลุ่มตามโครงสร้างทางเคมี (Desai และ Banat, 1997) ได้แก่

1. ไอกลโคลิพิด (glycolipid) เป็นสารลดแรงตึงผิวชีวภาพที่ประกอบด้วยคาร์บอไฮเดรต เช่น กซูโคส แมนโนส กาแล็กโตส โซฟิโรส แรมโนส และ กาแล็กโตสชัลเฟต เรื่องต่อ กับไขมัน เช่น aliphatic acid และ hydroxyl-aliphatic โดยอาจเรื่องต่อ กับ คาร์บอไฮเดรต 1-2 มोเลกุล สารลดแรงตึงผิวชีวภาพที่จัดเป็นไอกลโคลิพิดได้แก่ โซฟิโรลิพิด (sophorolipids) แรมโนลิพิด (rhamnolipid) เททระเอซิลกซูโคส (tetraacylglucosse) ไทรแอซิลกซูโคส (triacylglucose) (Rosenberg และ Ron, 1999)
2. ไลโพเพปไทด์ (lipopeptide) และ ไลโพโปรตีน (lipoprotein) เป็นสารลดแรงตึงผิวชีวภาพที่มักมีสมบัติเป็นสารปฏิชีวนะ เช่น เซอร์ฟัคติน (surfactin) หรือ ซับтиลิซิน (subtilisin) พอลิเม็กซิน (polymyxins) และ ไล.คานีzin (lichenysin) จาก *Bacillus subtilis*, *Bacillus polymyxa* และ *Bacillus licheniformis* (Rosenberg, 1993)
3. กรดไขมันและไขมัน (Fatty acid and Neutral lipid) โดยสามารถพบได้ในเซลล์จุลินทรีย์ ทุกชนิดและมักกล่อมอยู่ในกราฟฟิล์ม เช่น กรดคาร์บอไฮเดรต แอลกออล์ อสเทอร์ ในไนโกลิเชอไรด์ ไดก็ลิเชอไรด์ และไทรกลิเชอไรด์ ตัวอย่างของกรดไขมันและไขมันที่สามารถลดแรงตึงผิว เช่น รูบิเวททิน อาร์1 (rubiwettin R1) ซึ่งเป็นลิพิดที่ผลิตจาก *Serratia rubidaea* ATCC 27593 (Matsuyama และคณะ, 1990)
4. ฟอสฟอลิพิด (phospholipid) เป็นองค์ประกอบสำคัญในเซลล์จุลินทรีย์ แต่มีส่วนน้อยที่กล่อมอยู่ในกราฟฟิล์ม ทำให้วัดค่าแรงตึงผิวได้ยาก โครงสร้างโดยทั่วไปของฟอสฟอลิพิดประกอบด้วยกลิเชอโรลต่อกับกรดไขมัน ตัวอย่างฟอสฟอลิพิดที่ผลิตได้จากจุลินทรีย์ เช่น ฟอสฟາทิดิลไอโนซิทอล (phosphatidylinositol) ฟอสฟາทิดิกลิเชอโรล (phosphatidylglycerol) และกรดฟอสฟາทิดิก (phosphatidic acid) จาก *Thiobacillus thiooxidans* (Cooper และ Zajic, 1980)

ตารางที่ 2.1 สารลดแรงตึงผิวชีวภาพที่ผลิตจากจุลทรรศน์ชนิดต่างๆ (Desai และ Banat, 1997)

ชนิดของสารลดแรงตึงผิว	จุลทรรศน์	Surface tension (mN/m)	CMC (g/l)	Interfacial tension (mN/m)
Glycolipid				
Rhamnolipid	<i>P. aeruginosa</i>	29	0.1-10	0.25
	<i>Pseudomonas sp.</i>	25-30	4	1
Trehalolipid	<i>R. erythropolis</i>	32-36	20	14-17
	<i>N. erythropolis</i>	30	0.3	3.5
	<i>Mycobacterium sp.</i>	38		1.5
Sophorolipid	<i>T. bombicola</i>	33		1.8
	<i>T. apicola</i>	30		0.9
Cellobiolipid	<i>U. Zeac, U. maydis</i>			
Lipopeptide and lipoprotein				
Peptide-lipid	<i>B. licheniformis</i>	27	12-20	0.1-0.3
Serrawettin	<i>S. marcescens</i>	28-33		
Viscosin	<i>P. fluorescens</i>	26.5	150	
Surfactin	<i>B. subtilis</i>	27-32	23-160	1
Fatty acid, neutral lipid and phospholipid				
Fatty acid	<i>C. lepus</i>	30	150	2
Neutral lipid	<i>N. erythropolis</i>	32		3
Phospholipid	<i>T. thiooxidans</i>			
Polymeric surfactant				
Emulsan	<i>A. calcoaceticus</i>			
Biodispersan	<i>A. calcoaceticus</i>			
Particulate biosurfactant				
Vesicle and fimbria	<i>A. calcoaceticus</i>			

5. สารลดแรงตึงผิวชีวภาพที่มีโครงสร้างเป็นพอลิเมอร์ (polymeric biosurfactant) สารลดแรงตึงผิวชีวภาพประเภทนี้มีน้ำหนักโมเลกุลสูง เช่น อิมัลซัน (emulsan) ที่ผลิตได้จาก *Acinetobacter calcoacetus* RAG-1 ไบโอดิสเพอร์ซัน (biodispersan) ผลิตจาก *Acinetobacter calcoacetus* A2 ไลโพแอน (liposan) ผลิตจาก *Candida lipolytica* อะลาซาน (alasan) ผลิตโดย *Acinetocacter radioresistens* KA53 (Desai และ Banat, 1997)

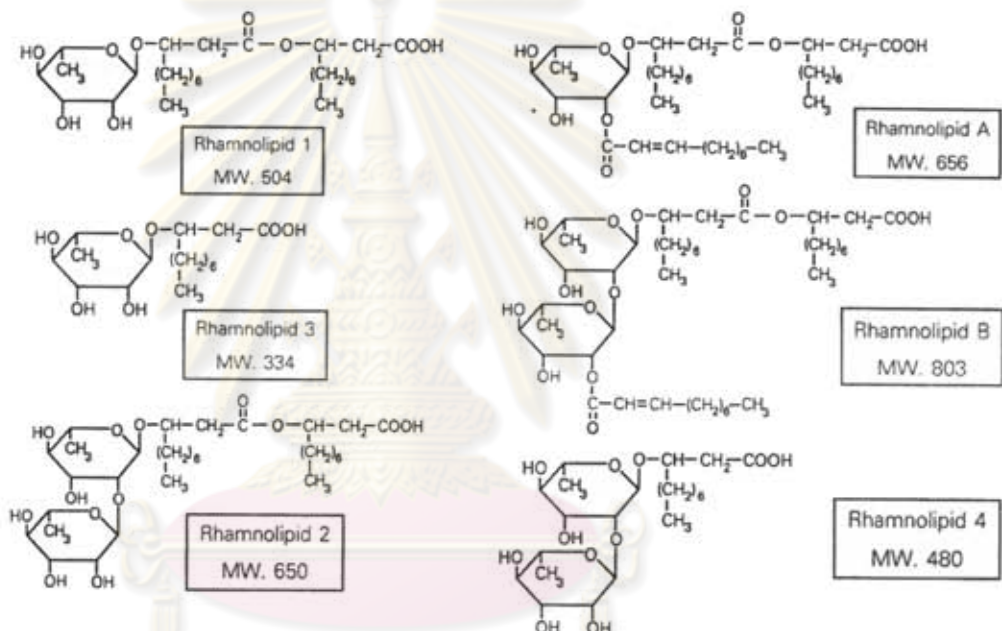
6. สารลดแรงตึงผิวชีวภาพที่มีลักษณะเป็นอนุภาค (particulate biosurfactant) เป็นส่วนของ extracellular membrane vesicles มาจากตัวเป็น microemulsion ซึ่งมีส่วนช่วยในการน้ำพากแอลเคนเจ้าสู่เซลล์ เช่น สารลดแรงตึงผิวชีวภาพที่มีลักษณะเป็นอนุภาคที่ผลิตโดย *Acinetobacter* sp. H01-N ซึ่งมีเส้นผ่าศูนย์กลางประมาณ 20-50 นาโนเมตร และประกอบด้วยโปรตีน พอสฟอลิปิด และ ไลโพฟอสติคไซด์ (Desai และ Banat, 1997)

### ชนิดและกระบวนการสังเคราะห์แรมโนลิพิด

แรมโนลิพิดเป็นสารลดแรงตึงผิวชีวภาพชนิดไกลโคลิกพิผลิตจาก *Pseudomonas aeruginosa* และ *Pseudomonas* sp. (Desai และ Banat, 1997, Lang และ Wullbrandt, 1999) ประกอบด้วยน้ำตาลแรมโนส และ  $\beta$ -hydroxydecanoic acid พบครั้งแรกโดย Bergstrom และคณะในปี 1946 แรมโนลิพิดที่พบผลิตโดย *Pseudomonas pyocyannea* และใช้น้ำตาลกลูโคสเป็นแหล่งคาร์บอน ต่อมาในปี 1949 Jarvis และ Johnson เป็นกลุ่มแรกที่รายงานว่ามีการผลิตแรมโนลิพิดจาก *Pseudomonas aeruginosa* อีกทั้งพิสูจน์ได้ว่ามี  $\beta$ -hydroxydecanoyl- $\beta$ -hydroxydecanoate ต่อกันน้ำตาลแรมโนส 2 ในเกลุตด้วยพันธะ glycosidic โดยวิเคราะห์แรมโนลิพิดจาก *Pseudomonas aeruginosa* ที่เลี้ยงใน 3% กลีเซอรอลแล้วทำให้บริสุทธิ์ ถึงกรณ์การเข้มต่อระหว่างน้ำตาลแรมโนสทั้ง 2 ในเกลุยังไม่กระจำง ในปี 1965 Edward และ Hayashi สามารถออกถึงโครงสร้างของแรมโนลิพิดอย่างละเอียดโดยกล่าวว่าหลังจากเกิดออกซิเดชันและเมธิลเดชัน พบ 1,2-linkage คือ rhamnolipid 2 ในรูปที่ 2.3 Hisatsuka และคณะ (1971) พบว่า rhamnolipid 2 เป็นเพียงชนิดเดียวที่พบในการผลิตโดย *Pseudomonas aeruginosa* S,B, ที่เลี้ยงใน n-hexadecane และ n-paraffins ( $C_{14}$ - $C_{18}$ ) (Lang และ Wullbrandt, 1999) พบแรมโนลิพิดชนิดใหม่ คือ L- $\alpha$ -rhamnosyl- $\beta$ -hydroxydecanoyl- $\beta$ -hydroxydecanoate (rhamnolipid 1 ในรูปที่ 2.3) ผลิตจาก *Pseudomonas aeruginosa* KY 4025 ที่เลี้ยงใน 10% แอลเคน (Itoh และคณะ, 1971) และในปี 1976 Yamagushi และคณะพบ rhamnolipid A และ B ซึ่งเกิดจาก acylation ของ  $\alpha$ -decanoic acid ตามรูปที่ 2.3 จากรายงานของ Hirayama และ Kato ในปี 1982 พบทั้ง R1 และ R2 ในการเลี้ยง *Pseudomonas aeruginosa* 158 ในอาหาร Difco trypticase soya และในปี 1985 Syldatk และคณะพบว่ามีแรมโนลิพิดที่คล้าย R1 และ R2 แต่มี  $\beta$ -

hydroxydecanoyl เพียงหน่วยเดียว (R3 และ R4 ในรูปที่ 2.3) ที่ผลิตโดย *Pseudomonas* sp. สายพันธุ์ก่อโรค (Rendell และคณาน, 1990) และความยาวของโซ่อิเล็กทรอนของสารตั้งต้นในอาหารเตี้ยงเรือไม่มีผลต่อโครงสร้างของแรมโนลิพิด (Lang และ Wullbrandt, 1999)

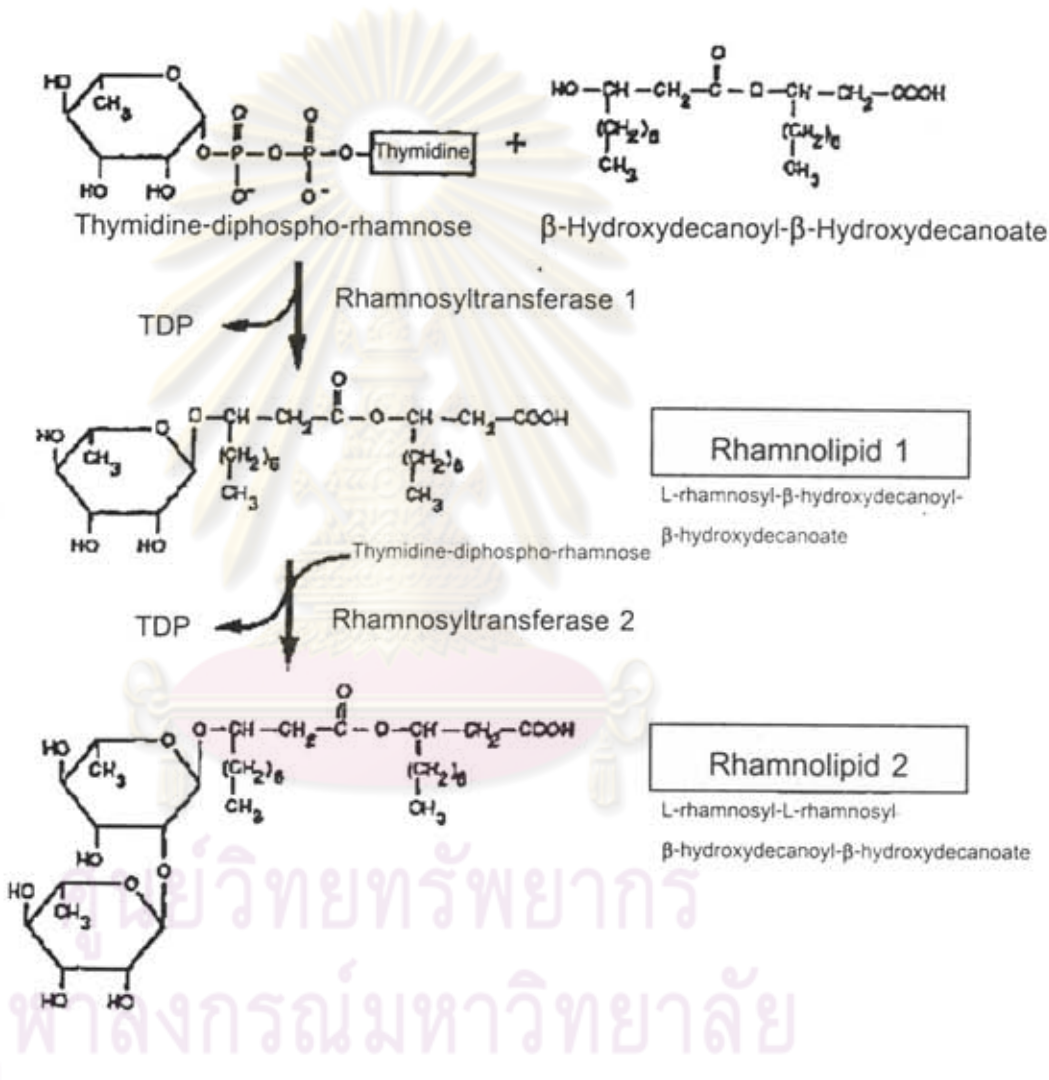
โครงสร้างของแรมโนลิพิดแบ่งเป็น 6 กลุ่มใหญ่ตามรายงานของ Lang และ Wullbrandt (1999) ดังแสดงในรูปที่ 2.3 ซึ่งแต่ละกลุ่มแตกต่างกันตามจำนวนของน้ำตาลแรมโนส และกรดบีต้า-ไฮดรอกซีดีكارบอโนิก



รูปที่ 2.3 โครงสร้างของแรมโนลิพิด ชนิด R1, R2, R3, R4, A และ B จาก *Pseudomonas aeruginosa* (Lang และ Wullbrandt, 1999)

การศึกษาการสังเคราะห์แรมโนลิพิดครั้งแรกจากแรมโนลิพิดที่สร้างขึ้นในระยะพักเซลล์ (resting cells) หรือระยะการเจริญคงที่ (stationary phase) โดยแรมโนลิพิดที่ผลิตขึ้นจะปล่อยออกนอกเซลล์ (Hauser และ Karnovsky, 1957; 1958) และด้วยการสกัดเออนไซม์และใช้กัมมันตภาพรังสีติดตามสาร precursor ในการสังเคราะห์แรมโนลิพิด ทำให้ Burger และคณาน (1963) สามารถเสนอกระบวนการของการสังเคราะห์แรมโนลิพิดชนิดที่ 1 และ 2 ที่ผลิตโดย *Pseudomonas aeruginosa* ATCC7700 โดยพบ rhamnosyltransfer สองครั้งอย่างเป็นลำดับ ด้วยเออนไซม์ rhamnosyltransferase 2 ชนิด พนกพาการทำงานของเออนไซม์ดังกล่าวที่ผนังเซลล์

และภายในเซลล์ ในปี 1996 Ochsner และคณะวิจัยใน *Pseudomonas aeruginosa* PG201 พนว่าแรมโนสิลิพิดชนิดที่ 1 และ 2 ที่ผลิตขึ้นในอาหารเลี้ยงเชื้อเหลวเกิดขึ้นโดยกระบวนการ rhamnosyl-transfer สองคั่งอย่างเป็นลำดับ ด้วยเอนไซม์ rhamnosyltransferase 2 ชนิด เช่นเดียวกัน



รูปที่ 2.4 กระบวนการสังเคราะห์แรมโนสิลิพิดชนิด R1 และ R2 ซึ่งผลิตจาก *Pseudomonas aeruginosa* (Lang และ Wullbrandt, 1999)

ปฏิกิริยา rhamnosyl-transfer หรือปฏิกิริยาการส่งแรมโนสอย่างเป็นลำดับ 2 ขั้นตอน แต่ละปฏิกิริยาถูกกระตุ้นด้วยเอนไซม์ที่มีความจำเพาะคือ rhamnosyltransferase 1 (Rt 1) และ

rhamnosyltransferase 2 (Rt 2) ตามลำดับ โดย Rt 1 มีความจำเพาะกับ thymidine-diphospho-L-rhamnose (TDP-L-rhamnose) และ  $\beta$ -hydroxydecanoyle- $\beta$ -hydroxydecanoate ส่วน Rt 2 มีความจำเพาะกับ TDP-L-rhamnose และแรมโนลิพิดชนิดที่ 1 ปฏิกิริยาการสังเคราะห์แรมโนลิพิดชนิดที่ 1 และ 2 เริ่มจาก TDP-L-rhamnose ซึ่งทำหน้าที่เป็นตัวให้กลุ่ม rhamnosyl แก่  $\beta$ -hydroxydecanoyle- $\beta$ -hydroxydecanoate ปฏิกิริยานี้ถูกกระตุ้นด้วยเอนไซม์ Rt 1 ผลิตภัณฑ์ที่ได้คือแรมโนลิพิดชนิดที่ 1 ต่อมาแรมโนลิพิดชนิดที่ 1 ที่เกิดขึ้นรับกลุ่ม rhamnosyl จาก TDP-L-rhamnose กลายเป็นแรมโนลิพิดชนิดที่ 2 เอ็นไซม์จำเพาะที่กระตุ้นให้เกิดปฏิกิริยาคือ Rt 2 (Burger และคณะ, 1963)

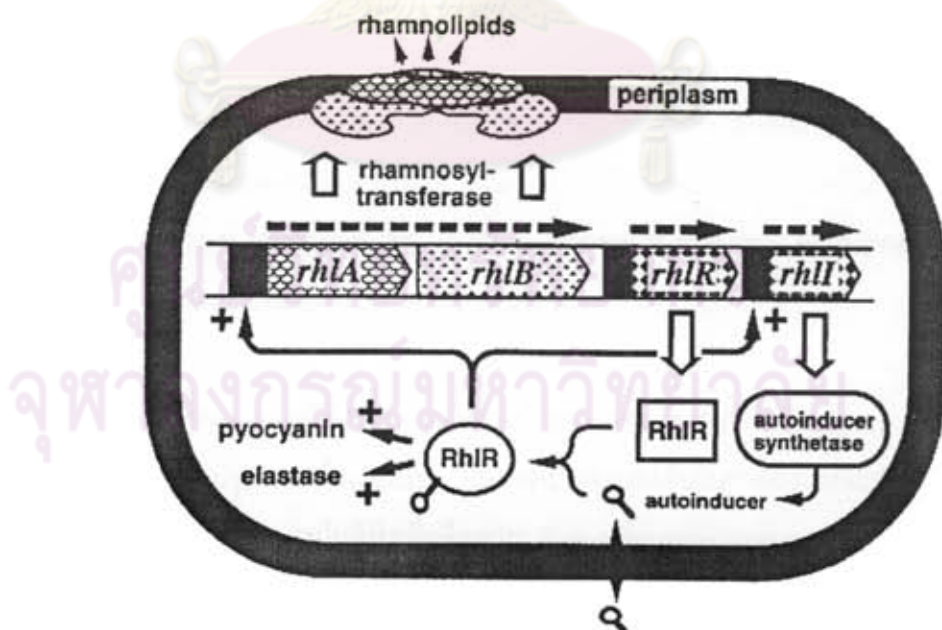
### ยืนและกลไกการควบคุมที่เกี่ยวข้องกับการสังเคราะห์แรมโนลิพิด

ยืนที่เกี่ยวข้องในการสังเคราะห์แรมโนลิพิดส่วนใหญ่มาจาก การศึกษาใน *Pseudomonas aeruginosa* PG201 และสายพันธุ์คล้าย (Ochsner และคณะ, 1994a; 1994b; 1995; Ochsner และ Reiser, 1995) ซึ่งยืนที่เกี่ยวข้องกับการสังเคราะห์แรมโนลิพิดชนิดที่ 1 (mono-rhamnolipid) คือ *rhlA* และ *rhlB* อยู่ภายใน *rhl* operon ประมวลรหัส rhamnosyltransferase 1 (Rt 1) ซึ่งประกอบด้วยโปรตีนสองชนิด คือ RhIA และ RhIB ยืน *rhlA* ประกอบด้วยลำดับนิวคลีอิคีดี 885 bp ระบุรหัส โปรตีน RhIA มีขนาด 32.5 กิโลดอลตัน ประกอบด้วย 295 ลำดับกรดอะมิโน ตั้งอยู่ในเพอริเพลาสซีม มีบทบาทสำคัญในการสังเคราะห์แรมโนลิพิดโดยทำให้ โปรตีน RhIB มีความเสถียรและคงตัวอยู่ได้ใน cytoplasmic membrane โปรตีน RhIB ระบุรหัสโดย *rhlB* มีขนาด 1278 bp เรียงตัวต่อจาก *rhlA* ใช้ไปริเมเตอร์ร่วมกันอยู่ภายใน *rhl* operon โปรตีน RhIB ประกอบด้วย 426 ลำดับกรดอะมิโน อยู่ภายใน เมมเบรนและวางตัวข้ามเมมเบรน โดยมีส่วนเปิดออกหั้งสองด้านของเมมเบรน (putative membrane-spanning domain) หน้าที่เป็น catalytic subunit ของเอนไซม์ rhamnosyltransferase 1 โปรตีนดังกล่าวมีขนาด 47.0 กิโลดอลตัน (Ochsner และคณะ, 1994a) ยืนที่เกี่ยวข้อง กับการสังเคราะห์แรมโนลิพิด ชนิดที่ 2 (di-rhamnolipid) คือ *rhlC* ระบุรหัสโปรตีน RhIC Rahim และคณะ (2001) หาลำดับนิวคลีอิคีดีของ *rhlC* โดยการเพิ่มจำนวนชิ้นส่วนที่คาดว่ามี *rhlC* จาก *Pseudomonas aeruginosa* PAO1 *rhlC* ที่พบมีขนาด 975 bp ระบุรหัสโปรตีน RhIC ขนาด 35.9 กิโลดอลตัน

ประกอบด้วย 325 ลำดับกรดอะมิโน อยู่ภายใต้การเบรนท์หน้าที่กระตุ้นการเติบโต DPD-L-rhamnose ให้กับแรมโนลิพิดชนิดที่ 1 ได้เป็นแรมโนลิพิดชนิดที่ 2

การผลิตแรมโนลิพิดทั้งแรมโนลิพิดชนิดที่ 1 และ 2 ของ *P. aeruginosa* จะเกิดขึ้นเมื่อความหนาแน่นของเซลล์เพิ่มมากขึ้นภายใต้ภาวะที่มีแหล่งในตัวเจน หรือเหล็กจำกัด (Ochsner และคณะ, 1995; Ochsner และ Reiser, 1995) การผลิตแรมโนลิพิดจะถูกควบคุมโดยกลไกที่เรียกว่า quorum sensing (QS) ซึ่งใน *P. aeruginosa* มีด้วยกัน 2 ระบบคือ *las* และ *rhl* เป็นระบบที่ควบคุมการแสดงออกของยีนซึ่งขึ้นกับความหนาแน่นของเซลล์ (Fuqua และคณะ, 1996) ระบบ *las* system ประกอบไปด้วย LasR และ LasI ซึ่งเป็นโปรตีนควบคุมการถอดรหัส และเอนไซม์ที่ใช้สังเคราะห์ autoinducer PAI-1 [*N*-(3-oxododecanoyl)-homoserine lactone หรือ (30-C<sub>12</sub>-HSL)] ตามลำดับ (Fuqua และคณะ, 2001; Gambello และ Iglesias, 1991; Passador และคณะ, 1993; Pearson และคณะ, 1994;) ระบบนี้จะกระตุ้นการแสดงออกของ *lasI*, *lasB*, *lasA*, *apr* และ *toxA* (Gambello และคณะ, 1993; Passador และคณะ, 1993; Seed และคณะ, 1995; Toder และคณะ, 1991) ส่วนระบบ *rhl* system ประกอบด้วย RhlR และ RhlI ซึ่งเป็นโปรตีนควบคุมการถอดรหัส และเอนไซม์ที่ใช้สังเคราะห์ autoinducer PAI-2 [*N*-butanoyl-L-homoserine lactone หรือ (C<sub>4</sub>-HSL) โดยทั่วไปจะเรียก factor 2] (Fuqua และคณะ, 2001; Ochsner และคณะ, 1994b; Ochsner และ Reiser, 1995; Pearson และคณะ, 1995) ระบบนี้จะกระตุ้นการแสดงออกของ *rhlI*, *rhlAB* และ *rhlC* (Latifi และคณะ, 1996; Ochsner และคณะ, 1994a, 1994b; Ochsner และ Reiser, 1995; Rahim และคณะ, 2001) autoinducer หรือ *N*-acylated homoserine lactone (HSL) เป็นสารที่มีโมเลกุลเล็กให้ในการส่งสัญญาณในการวัดความหนาแน่นประชากรของเซลล์แบบที่เรียกว่าเพื่อพร้อมปรับกลไกการทำงานให้เข้ากับสภาพแวดล้อมใหม่ที่เปลี่ยนไปได้ (Fuqua และคณะ, 1994) เมื่อความหนาแน่นของแบคทีเรียสูงขึ้น autoinducer เหล่านี้จะถูกปล่อยและไปกระตุ้นอย่างจำเพาะกับ transcriptional regulator ให้สามารถทำงานได้ (Fuqua และคณะ, 1996; Fuqua และ Greenberg, 1998; Salmond และคณะ, 1995) Fuqua และคณะ (1996) ได้อธิบายถึงการทำงานของระบบ quorum sensing ว่าเริ่มจาก autoinducer ซึ่งปกติจะผลิตขึ้นในปริมาณน้อย เมื่อเซลล์เจริญเติบโตและมีหนาแน่นมากขึ้นความเข้มข้นของ autoinducer ก็จะเพิ่มขึ้นจนถึงค่าความเข้มข้นหนึ่งจึงจะไปเข้าจับและกระตุ้นโปรตีนเป้าหมายอย่างจำเพาะเจาะจง (LasR หรือ RhlR) ได้เป็น autoinducer-protein complex ทำหน้าที่กระตุ้นการแสดงออกของยีนที่ควบคุม

โปรตีน RhIR ขนาด 28 กิโลดักตัน ประกอบด้วย 241 ลำดับกรดอะมิโน ทำหน้าที่เป็น transcriptional activator กระตุ้นให้เกิดการถอดรหัสของ *rhlAB* (Ochsner และคณะ, 1994a, b) และ *rhlC* (Rahim และคณะ, 2001) ยังที่ประมวลรหัสของโปรตีนดังกล่าวคือ *rhlR* มีขนาด 723 bp ซึ่งอยู่ downstream ของ *rhlB* สายพันธุ์กล้ายของ *P. aeruginosa* PG201 ที่ขาดยีนดังกล่าวจะไม่สามารถผลิตแรมโนลิพิดได้ (Ochsner และคณะ, 1994b) แต่ โปรตีน RhIR ไม่สามารถทำงานได้ด้วยตัวเองต้องเข้าจับกับโปรตีน C<sub>6</sub>-HSL ซึ่งเป็น autoinducer ชนิดนึงได้เป็น RhIR-C<sub>6</sub>-HSL complex จึงจะสามารถกระตุ้นการถอดรหัสได้ (Ochsner และ Reiser, 1995) ยีน *rhlI* ประมวล รหัสของโปรตีน RhII หรือที่เรียกว่า autoinducer synthetase ประกอบด้วย 201 ลำดับกรดอะมิโน ให้ในปฏิกิริยาการสังเคราะห์ autoinducer PAI-2 *rhlI* เรียงตัวต่อจาก *rhlR* มีลำดับนิวคลีอิโอลิท 606 bp (Ochsner และ Reiser, 1995) ในสายพันธุ์กล้ายที่ขาด *rhlI* ไม่สามารถสร้างแรมโนลิพิดเพื่อการกระตุ้นการสร้าง แรมโนลิพิดเริ่มจากการสังเคราะห์ N-acylated homoserine lactones ดังนั้นยีน *rhlAB* และ *rhlC* จะถอดรหัสได้ต้องขึ้นอยู่กับ *rhlR* และ *rhlI* (Ochsner และคณะ, 1994a; Ochsner และ Reiser, 1995; Pearson และคณะ, 1997; Rahim และคณะ, 2001)



รูปที่ 2.5 กลไกการควบคุมและการผลิตแรมโนลิพิดใน *P. aeruginosa* (Ochsner และ Reiser, 1995)

จาก群ที่ 2.5 RhlR ซึ่งเป็น regulatory protein ต้องถูกกระตุ้นโดย autoinducer PAI-2 ก่อน ซึ่งสังเคราะห์จาก Rhil autoinducer synthetase ได้เป็น RhlR-PAI-2 complex หรือ RhlR-C<sub>4</sub>-HSL complex เข้ากระตุ้นอย่างจำเพาะที่บริเวณ las box ซึ่งตั้งอยู่เหนือยีน *rhlAB* ทำให้เกิดการถอดรหัสของ *rhlAB* ได้เป็น rhamnosyltransferase และเกิดการผลิตแรมโนลิกพิคตามมา (Pearson และคณะ, 1997) นอกจากนี้โปรตีน RhlR ที่ถูกกระตุ้นแล้วยังสามารถควบคุมการผลิตสารอื่นได้อีกด้วย elastase และ pyocyanin เรียกโปรตีน RhlR ซึ่งทำหน้าที่ควบคุมการถอดรหัสได้มากกว่าหนึ่งนี้ว่าเป็น pleiotropic regulator (Ochsner และคณะ, 1994b; Ochsner และ Reiser, 1995)

### ประโยชน์และการประยุกต์ใช้แรมโนลิกพิค

เนื่องจากโครงสร้างของแรมโนลิกพิคเป็นโมเลกุลแบบแอมฟิฟาติก สามารถลดค่าแรงตึงผิวของน้ำและลดค่าแรงตึงระหว่างผิวที่ประจำตัวของเซลล์ที่มีเฟสต่างกันได้ (Beal และ Betts, 2000) ทำให้สามารถนำไปใช้ประโยชน์ในด้านต่างๆ ได้ดังนี้

1. ด้านการเกษตรใช้เป็น antiphytopathogen ที่เป็นพวงกรา โดยจะมีผลกับจุลินทรีย์ที่ก่อโรคในพืช เช่น *Pythium aphanidermatum* ในระยะ zoospore (Stanghellini และคณะ, 1996) แรมโนลิกพิคทั้งชนิดที่มีแรมโนส 1 หรือ 2 มีผลกับจุลินทรีย์ก่อโรคในพืชเป็นอย่างดีใน - พอก Zoosporic plant pathogen เช่น *Pythium aphanidermatum*, *Phytophthora capsici* และ *Plasmopara lactucae-radicis* ตามลำดับ
2. ด้านอุตสาหกรรมอาหารใช้เป็นแหล่งของน้ำตาลแรมโนส (L-rhamnose) ซึ่งใช้เป็นสารตั้งต้นในการผลิตสารบูรุงแต่งกลิ่นและรส และใช้เป็นสารตั้งต้นในการสังเคราะห์สารอินทรีย์บางชนิด น้ำตาลแรมโนสจากแรมโนลิกพิคที่ผลิตจาก *Pseudomonas aeruginosa* จะเตรียมได้ง่ายกว่าวิธีอื่นโดยขบวนการ hydrolysis ทั้งนี้ เพราะแรมโนลิกพิคผลิตออกนอเชลล์ใน late log phase และ stationary phase ทำให้ง่ายในการแยกออกจากเชลล์ (Linhardt และคณะ, 1989)
3. ด้านอุตสาหกรรมเครื่องสำอาง สารลดแรงตึงผิวซึ่งภาพจำนวนมากได้ถูกนำมาใช้ในอุตสาหกรรมเครื่องสำอางโดยใช้เป็น emulsifier solubilizer สารทำให้เมี่ยก และใช้เป็นสารทำ

ความสะอาด เนื่องจากไม่ระคายเคืองและเข้ากันได้กับผิว (Kleckner และ Kosaric, 1993) การใช้แรมโนลิพิดทำ liposome (Ishigami และคณะ, 1988a) และใช้เป็น emulsifier (Ishigami และคณะ, 1988b) ซึ่งมีบทบาทสำคัญในอุดสาหกรรมเครื่องสำอาง

**4. ด้านสิ่งแวดล้อม** ปัญหาสารเคมีตกค้างในสิ่งแวดล้อมทั้งน้ำและดินยังทวีเพิ่มมากขึ้น สารเคมีเหล่านี้ล้วนแล้วเกิดจากอุดสาหกรรม เช่น อุดสาหกรรมปิโตรเลียม กระดาษ และสารเคมี เป็นต้น การปล่อยของเสียหรือของเหลือจากการกระบวนการผลิต ออกจากโรงงาน (Kosaric, 2001) ในปี 1994 สถาบันวิจัยแห่งชาติ (National Research Council) ได้รายงานว่าในสหรัฐอเมริกามี พื้นที่ประมาณ 300,000 แห่ง ที่ปนเปื้อนไปด้วยสารเคมี การจะขจัดสิ่งปนเปื้อนออกไปนั้นต้องใช้ เงินถึง 1 ล้านล้านล้านเหรียญสหรัฐ การนำบัดเพื่อลดปริมาณสารปนเปื้อนให้ออกจาก สิ่งแวดล้อมอย่างจำเพาะเจาะจงและได้ผล อาจทำได้โดยใช้จุลทรรศ์ที่มีความสามารถในการ ย่อยสลายสารปนเปื้อนดังกล่าวและมีการเติมสารลดแรงดึงดูดเพื่อช่วยให้จุลทรรศ์ย่อยสลายสาร ได้ดีขึ้นในสิ่งในดินที่ปนเปื้อน เมื่อจุลทรรศ์ดังกล่าวสามารถป่วนตัวและมีชีวิตอยู่ได้ใน สภาพน้ำนั้นก็จะสามารถย่อยสลายสารปนเปื้อนดังกล่าวต่อไปได้

ถึงแม้ว่าสารลดแรงดึงดูดที่มีชีวภาพจะมีคุณประโยชน์และมีหลักฐานให้เลือกใช้ อีกทั้งไม่ ก่อให้เกิดผลเสียต่อสิ่งแวดล้อม แต่การใช้สารลดแรงดึงดูดที่มีชีวภาพยังมีน้อยอยู่ทั้งนี้ เพราะสาร ลดแรงดึงดูดดังกล่าวมีราคาแพงเมื่อเทียบกับสารลดแรงดึงดูดเชิงเคมี Kosaric และ คณะ 1984 "ได้แนะนำว่าปัจจัยที่มีผลทำให้ลดต้นทุนการผลิตสารลดแรงดึงดูดที่มีชีวภาพได้นั้นคือ การคัดเลือกสายพันธุ์จุลทรรศ์ที่ให้สารลดแรงดึงดูดที่มีชีวภาพที่มีประสิทธิภาพ การพัฒนา กระบวนการผลิตซึ่งรวมไปถึงการเลือกใช้วัสดุดินบริเวณดูด แล้ววิธีการตกแต่งให้ได้ช่องสารลดแรง ดึงดูดที่มีชีวภาพ การเพิ่มผลผลิตโดยการปรับปรุงสายพันธุ์จุลทรรศ์ดังเดิมให้มีความสามารถในการ ผลิตเพิ่มมากขึ้นโดยใช้เทคนิคทางพันธุวิศวกรรมเข้ามาช่วยกันเป็นอีกหนทางหนึ่งที่น่าสนใจ (Kawashima และคณะ, 1983; Mulligan และคณะ, 1989; Ohno และคณะ, 1995; Shabtai และ Gntnick, 1986) Ochsner และคณะ (1995) นำ rhlAB ต่อเข้ามกับโปรไนเตอร์ tac ได้เป็นพลาสมิด pUO98 และนำเข้าสู่เซลล์เจ้าบ้านต่างๆ เพื่อศึกษาความสามารถ ในการผลิตแรมโนลิพิดชนิดที่ 1 พบว่า *Pseudomonas putida* KT2442 ซึ่งปกติไม่มี ความสามารถในการผลิตแรมโนลิพิด ชนิดที่ 1 เมื่อได้รับพลาสมิด pUO98 จึงสามารถผลิตโนโน แรมโนลิพิดได้ในขณะที่ไม่มีการผลิต แรมโนลิพิดชนิดที่ 1 ใน *Escherichia coli* ในปี 2004

Tahzibi และคณะทำการทดลองพันธุ์แบบสุ่ม *P. aeruginosa* MM1011 ด้วย N-methyl-N'-nitro-N-nitrosoguanidine (NTG) ได้เป็นสายพันธุ์ก่อโรค *P. aeruginosa* PTCC1637 ที่ผลิตแรมโนสิลิพิดได้มากกว่าเดิม 10 เท่า

*Pseudomonas* sp. A41 เป็นแบคทีเรียที่แยกได้จากน้ำในบริเวณอ่าวไทย จ. สมุทรสงคราม โดย อาจารย์ กง จิน ในปี พ.ศ. 2542 ซึ่งสามารถผลิตสารลดแรงตึงผิวชีวภาพเมื่อใช้กูลโคสเป็นแหล่งคาร์บอน สารลดแรงตึงผิวซึ่งอยู่ในอาหารเลี้ยงเชื้อลดค่าแรงตึงผิวของน้ำจาก 72 mN/m เป็น 29 mN/m เมื่อมีแอมโมเนียมในเครื่องเป็นแหล่งในโครงเจน บ่มที่ 30°ฯ เข้าที่ 200 รอบต่อนาที เป็นเวลา 72 ชั่วโมง ในอาหารเหลวกำหนดสูตรที่มีค่าความเป็นกรดเป็นด่างเท่ากับ 7.0 ต่อมานพรัตน์ วนิชสุขสมบัติ (2545) นำสารลดแรงตึงผิวชีวภาพที่ได้มาทำให้บริสุทธิ์ ด้วยวิธีไฮดรอกราฟีและวิเคราะห์ทางเคมีด้วย LC-MS และ IR-spectrum สามารถกล่าวได้ว่า สารลดแรงตึงผิวชีวภาพที่ผลิตได้เป็นแรมโนสิลิพิด ตั้งนั้นในงานวิจัยนี้ จึงมุ่งศึกษา *rhlA* หรือ *rhlR* ที่เกี่ยวข้องกับการสังเคราะห์แรมโนสิลิพิดใน *Pseudomonas* sp. A41 โดย *rhlA* เป็นยีนที่กำหนดรหัสโปรตีน RhlA ซึ่งเป็นองค์ประกอบหนึ่งของเอนไซม์ rhamnosyltransferase 1 และ *rhlR* เป็นยีนที่มีส่วนควบคุมการแสดงออกของ *rhlAB* เพื่อใช้เป็นข้อมูลพื้นฐานในการปรับปรุงทางพันธุกรรม



บทที่ 3

อุปกรณ์และวิธีการวิจัย



### 3.1 อุปกรณ์ที่ใช้ในการทดลอง

1. เครื่องปั่นเหวี่ยงชนิดตั้งโต๊ะ (bench-top centrifuge) รุ่น Pico ของบริษัท Kendro, Germany.
2. เครื่องปั่นเหวี่ยงชนิดควบคุมอุณหภูมิ (refrigerated centrifuge) รุ่น 1920 ของบริษัท Kubota, Japan.
3. เครื่องวัดการดูดกลืนแสง (spectrophotometer) รุ่น Spectronic 20 Genesys ของบริษัท Thermo Spectronic, USA.
4. ชุดเครื่องมือทำอะกาโรเจลอะเล็กโกรไฟเรซิส (agarose gel electrophoresis)
  - Personal gel-electrophoresis apparatus รุ่น GelMate® 2000 ของบริษัท TOYOBO, Japan.
  - Mini Sub-Cell GT agarose gel electrophoresis systems ของบริษัท Bio-Rad, USA.
5. ไมโครพิเพต (micropipette) รุ่น P10 P20 P100 P200 P1000 และ P5000 ของบริษัท Gilson, France.
6. เครื่องควบคุมอุณหภูมิและระเหยแห้งแบบให้ความร้อน (thermo-block) รุ่น Mylab™ Thermo-Block SL TDB-120 ของบริษัท Seoul in Bioscience, Korea.
7. ชุดกรองสำเร็จรูปชนิดเซลลูลอลิสอะซีเตต ขนาดความกว้างรู 0.45 ไมโครเมตร รุ่น DISMIC-25SC ของบริษัท Tokyo Roshi Kaisha, Japan.
8. ไนลอนเนมเบรน (nylon membrane) ของบริษัท Pall Bio Support, USA.
9. เครื่องเพิ่มปริมาณดีเอ็นเอ (DNA Thermal Cycle) รุ่น 2400 ของบริษัท Perkin Elmer, USA.
10. อุปกรณ์สำหรับถ่ายภาพ
  - กล้องถ่ายภาพโพลารอยด์ ของบริษัท Polaroid, USA.
  - แฟ้มกรองแสงสีแดง
  - ฟิล์มโพลารอยด์ขาวดำ ความไวแสง 3000 (ISO 3000)
11. ชุดคอมพิวเตอร์สำหรับถ่ายภาพ รุ่น UNIVERSAL HOOD ให้โปรแกรม Quantity One version 4.4.1 ของบริษัท Bio-Rad, USA.

### 3.2 เคมีภัณฑ์และชุดทดสอบสำเร็จ

1. อะガโรสเจล (agarose gel) ของบริษัท IUAJ, Japan.
2. Trizma base (tris [hydroxymethyl] aminomethane), ( $C_4H_{11}NO_3$ ) ของบริษัท Sigma, USA.
3. EDTA (ethylenediaminetetraacetic acid), ( $C_{10}H_{14}N_2O_8Na_2 \cdot 2H_2O$ ) ของบริษัท Sigma, USA.
4. SDS (sodium dodecyl sulfate), ( $C_{12}H_{25}OSO_3$ ) ของบริษัท Nacalai tesque, Japan.
5. CTAB (cetyltrimethylammonium bromide), [ $C_{16}H_{32}N(CH_3)_3Br$ ] ของบริษัท TCI-EP, Japan.
6. สารปฏิชีวนะแอมพิซิลลิน (ampicillin) ของบริษัท Nacalai tesque, Japan.
7. เรสทริกชันเอนไซม์ทุกรูปแบบของบริษัท Promega, USA.
8. 1 kb DNA ladder ของบริษัท NewEngland Biolabs, USA.
9. 100 bp DNA ladder ของบริษัท NewEngland Biolabs, USA.
10. Taq DNA polymerase ของบริษัท Promega, USA.
11. dATP, dCTP, dGTP และ dTTP ของบริษัท Promega, USA.
12. T4 DNA ligase ของบริษัท NewEngland Biolabs, USA.
13. อัลคาไลน์ฟอสฟาเทส (alkaline phosphatase) ของบริษัท Promega, USA.
14. Ribonuclease A (RNase A) ของบริษัท Sigma, USA.
15. Proteinase K ของบริษัท Qiagen, Germany.
16. X-gal (5-Bromo-4-chloro-3-indolyl- $\beta$ -D-galactoside) ของบริษัท Promega, USA.
17. IPTG (Isopropyl thio- $\beta$ -D-galactoside) ของบริษัท Wako, Japan.
18. ชุดสกัดพลาสมิดบริมาณน้อย QIAprep Spin Miniprep Kit ของบริษัท Qiagen, Germany.
19. ชุดสกัดดีเอ็นเจ้าจากอะกาโรสเจล QIAquick® Gel Extraction Kit ของบริษัท QIAGEN, USA.
20. ชุดติดฉลากและติดตามตำแหน่งดีเอ็นเอ DIG High Prime DNA Labeling and Detection Starter Kit I ของบริษัท Roche, Germany.
21. ถุงไดอะลิซิส Cellu • Sep T3 ของบริษัท Membrane Filtration Products, USA.

### 3.3 แบคทีเรีย

แบคทีเรียที่ใช้ในการทดลองแสดงในตารางที่ 3.1

ตารางที่ 3.1 แบคทีเรีย

แบคทีเรีย	จีโนไทป์/พิโนไทป์	เอกสารอ้างอิง
<i>E. coli</i> สายพันธุ์ DH5α	φ80dlacZΔM15, endA1, recA1, gyrA96, thi-1, hsdR17, relA1, supE44, deoR, Δ(lacZYA- argF) U169	Hanahan, 1983
<i>Pseudomonas</i> sp. A41	สามารถผลิตสารลดแรงตึงผิว ซึ่งภาพแรมโนลิพิด (rhamnolipid)	อาร์ย์ กั่งจิน, 2542

### 3.4 พลาสมิดและโอลิโกนิวคลีโอไทด์ไฟร์เมอร์

พลาสมิดและโอลิโกนิวคลีโอไทด์ไฟร์เมอร์ที่ใช้ในการทดลองแสดงในตารางที่ 3.2 และ 3.3  
ตามลำดับ

ศูนย์วิทยทรพยากร  
จุฬาลงกรณ์มหาวิทยาลัย

ตารางที่ 3.2 พลasmid

พลาสมิด	จีโนไทป์/ฟิโนไทป์	เอกสารอ้างอิง
pBluescript KS(+-) (2961 bp)	Ap <sup>r</sup> , $\alpha$ lac/MCS	บริษัท Stratagene, USA
pGEM-3Zf(+-) (3199 bp)	Ap <sup>r</sup> , $\alpha$ lac/MCS	บริษัท Stratagene, USA
pBR123 (4500 bp)	Ap <sup>r</sup> , มีชิ้นส่วน BamHI-XbaI จากดีเอ็นเอของ <i>Pseudomonas</i> sp. A41 ขนาดประมาณ 1.5 kb ในพลาสมิด pBluescript KS(+-)	สร้างในการทดลองนี้
pBR530 (3500 bp)	Ap <sup>r</sup> , มีชิ้นส่วน BamHI-XbaI จากดีเอ็นเอของ <i>Pseudomonas</i> sp. A41 ขนาดประมาณ 0.5 kb ในพลาสมิด pBluescript KS(+-)	สร้างในการทดลองนี้
pBBG8 (4000 bp)	Ap <sup>r</sup> , pBR123 ที่ตัดชิ้นส่วน BamHI-BglII ขนาดประมาณ 0.5 kb ออก	สร้างในการทดลองนี้
pBP1 (4400 bp)	Ap <sup>r</sup> , มีชิ้นส่วน BamHI-PstI จากดีเอ็นเอของ <i>Pseudomonas</i> sp. A41 ขนาด ประมาณ 1.2 kb ในพลาสมิด pGEM-3Zf (+/-)	สร้างในการทดลองนี้
pBR157 (4000 bp)	Ap <sup>r</sup> , มีชิ้นส่วน XbaI-BglII จากดีเอ็นเอของ <i>Pseudomonas</i> sp. A41 ขนาดประมาณ 1 kb ใน พลาสมิด pBluescript KS(+-)	สร้างในการทดลองนี้
pGA396 (4700 bp)	Ap <sup>r</sup> , มีชิ้นส่วน EcoRI-PstI จากดีเอ็นเอของ <i>Pseudomonas</i> sp. A41 ขนาดประมาณ 1.5 kb ในพลาสมิด pGEM-3Zf (+/-)	สร้างในการทดลองนี้
pN9 (4000 bp)	Ap <sup>r</sup> , มีชิ้นส่วน EcoRI-BamHI จาก pGA396 ขนาดประมาณ 0.9 kb ใน พลาสมิด pGEM-3Zf (+/-)	สร้างในการทดลองนี้

ตารางที่ 3.3 โอลิโกนิวคลีโอไทด์ไฟร์เมอร์

โอลิโกนิวคลีโอไทด์ ไฟร์เมอร์	ลำดับนิวคลีโอไทด์ ( $T_m$ )	เอกสารอ้างอิง
T7	5'-GTAATACGACTCACTATAGGGC-3' ( $64^\circ\text{C}$ )	บริษัท Promega, USA
T3	5'-AATTAACCCTCACTAAAGGG-3' ( $56^\circ\text{C}$ )	บริษัท Promega, USA
SP6	5'-TATTTAGGTGACACTATAG-3' ( $50^\circ\text{C}$ )	บริษัท Promega, USA
M13 Forward	5'-GTAAAACGACGCCAGT-3' ( $52^\circ\text{C}$ )	บริษัท Promega, USA
RA-F	5'-ATGCGGCCGCAGAACGTCT-3' ( $54^\circ\text{C}$ )	สร้างในการทดลองนี้
RA-R	5'-GGTTGCTTCAGCAGGTG-3' ( $54^\circ\text{C}$ )	สร้างในการทดลองนี้
RR-F	5'-ATGAGGAATGACGGAGG-3' ( $52^\circ\text{C}$ )	สร้างในการทดลองนี้
RR-R	5'-GGCAGCCAGCGTCTTGT-3' ( $56^\circ\text{C}$ )	สร้างในการทดลองนี้
N912r	5'-GAGACCAGGTGATTGAC-3' ( $52^\circ\text{C}$ )	สร้างในการทดลองนี้
27f	5'-GAGTTTGATCCTGGCTCAG-3' ( $48^\circ\text{C}$ )	Widada และคณะ (2002)
350f	5'-TACGGGAGGCAGCAG-3' ( $50^\circ\text{C}$ )	Mueller และคณะ (1997)
1240r	5'-CCATTGTAGCACGTGT-3' ( $48^\circ\text{C}$ )	Achenbach และคณะ (2001)
1492r	5'-ACGGCTACCTTGTACGACTT-3' ( $62^\circ\text{C}$ )	Widada และคณะ (2002)

### 3. 5 การเลี้ยงและเก็บรักษาแบคทีเรีย

3.5.1) ทุกสายพันธุ์ *Escherichia coli* เพาะเลี้ยงในอาหารเลี้ยงเชื้อ LB (ภาชนะ ก1) ในกรณีที่ต้องเติมสารปฏิชีวนะแอมพิซิลลิน (Am) ใช้ความเข้มข้น 100 ไมโครกรัมต่อมิลลิลิตร ทำให้ปิดล็อกเชื้อด้วยกรองสารละลายผ่านฟลักต์กรองสำเร็จปูร์นิดเซลล์โดยสารซึ่งต้องวัดขนาด 0.45 ไมโครเมตร เมื่อทำเป็นอาหารแข็งเติมด้วย 1.5% บ่มเชื้อที่อุณหภูมิ 37°ฯ เป็นเวลา 24 ชั่วโมง เมื่อเพาะเลี้ยงในอาหารเหลว夷่างบันเครื่อง夷่าที่ความเร็วรอบ 200 รอบต่อนาที เป็นเวลา 16-18 ชั่วโมง ที่อุณหภูมิ 37°ฯ

3.5.2) เลี้ยง *Pseudomonas* sp. A41 เพาะเลี้ยงเช่นเดียวกับ *Escherichia coli* แต่บ่มเชื้อที่ อุณหภูมิ 30°ฯ

3.5.3) เก็บรักษาแบคทีเรียโดยเลี้ยง *Escherichia coli* และ *Pseudomonas* sp. A41 ใน อาหารเลี้ยงเชื้อเหลวตามข้อ 3.5.1 และ 3.5.2 ตามลำดับ นำมาผสานกับกลีเซอรอล ในอัตราส่วน น้ำเลี้ยงเชื้อต่อกลีเซอรอลเป็น 3 : 7 บรรจุลงในหลอดเก็บเชื้อแข็ง เชื้อที่อุณหภูมิ -20°ฯ เป็นเวลา 6 เดือน หรือที่อุณหภูมิ -70°ฯ เป็นเวลา 1 ปี

**ศูนย์วิทยทรัพยากร  
จุฬาลงกรณ์มหาวิทยาลัย**

### 3.6 การพิสูจน์ลักษณะ *Pseudomonas* sp. A41 โดยการวิเคราะห์ลำดับนิวคลีโอไทด์ของ 16S ribosomal DNA (16S rDNA)

#### 3.6.1) การสกัดจีโนมิกดีเอ็นเอของ *Pseudomonas* sp. A41 เพื่อใช้เป็นดีเอ็นเอ แม่แบบ

##### 3.6.1.1) การสกัดจีโนมิกดีเอ็นเอของ *Pseudomonas* sp. A41

สกัดจีโนมิกดีเอ็นเอของ *Pseudomonas* sp. A41 ตามวิธีของ Ausubel และคณะ (1999) โดยเพี่ยโคลนีเดียวของเชื้อลงในอาหารเลี้ยงเชื้อเหลว LB ปริมาตร 5 มิลลิลิตร แล้วนำไปเยียวยาที่ อุณหภูมิห้องข้ามคืน (16-18 ชั่วโมง) ถ่ายเชื้อบริมาตร 5 มิลลิลิตร ใส่ลงในหลอดไมโครฟิว๊ นำไป ปั่นให้ยิ่งเพื่อแยกเซลล์เป็นเวลา 2 นาที ที่ความเร็ว 10,000 รอบต่อนาที เทส่วนน้ำใส ทั้ง น้ำตะกอนเซลล์ที่ได้มาเติมบaff เฟอร์ TE (ภาชนะที่ 15) ปริมาตร 576 ไมโครลิตร บรรจาย ตะกอนเซลล์โดยการใช้ไมโครปีเพคตคูลชันลง จากนั้นเติม 10% SDS (ภาชนะที่ 5) ปริมาตร 30 ไมโครลิตร และโปรตีนสเค (Proteinase K) ความเข้มข้น 20 มิลลิกรัมต่อมิลลิลิตร (ภาชนะที่ 25) ปริมาตร 3 ไมโครลิตร (ความเข้มข้นสุดท้ายเป็น 100 ไมโครกรัมต่อมิลลิลิตร ของโปรตีน สเคใน 0.5% SDS) ผสมให้เข้ากันด้วยการกลับหลอดไปมา นำไปบ่มที่อุณหภูมิ 37°ฯ เป็น เวลา 1 ชั่วโมง แล้วจึงเติมสารละลายโซเดียมคลอไรด์ความเข้มข้น 5 ไมลาร์ ปริมาตร 100 ไมโครลิตร ผสมให้เข้ากันโดยการกลับหลอดไปมา เติมสารละลาย CTAB/NaCl (ภาชนะที่ 17) ปริมาตร 80 ไมโครลิตร ผสมให้เข้ากันด้วยการกลับหลอดไปมาแล้วนำไปบ่มที่อุณหภูมิ 65°ฯ เป็นเวลา 10 นาที จากนั้นเติมสารละลายคลอโรฟอร์ม/ไอโซเอมิลแอลกอฮอล์ (ภาชนะที่ 20) ด้วยอัตราส่วนปริมาตรเท่ากับปริมาตรของสารละลายสุดท้าย ผสมให้เข้ากันเป็นอย่างดี จนกระทั่งกล้ายเป็นอิมัลชัน นำไปปั่นให้ยิ่งที่ความเร็ว 10,000 รอบต่อนาที เป็นเวลา 5 นาที นำส่วนน้ำใสที่อยู่เหนือชั้นตะกอนและชั้นคลอโรฟอร์ม/ไอโซเอมิลแอลกอฮอล์ ไปใส่ในหลอด ไมโครฟิว๊นหลอดใหม่ (ระวังอย่าให้ติดส่วนตะกอนไปด้วย) จากนั้นเติมสารละลายพินอล/ คลอโรฟอร์ม/ไอโซเอมิลแอลกอฮอล์ (ภาชนะที่ 19) ในปริมาตรที่เท่ากับปริมาตรของ สารละลายสุดท้าย ผสมโดยการเขย่าจนกระทั่งกล้ายเป็นอิมัลชัน นำไปบนมุนให้ยิ่งที่ความเร็ว 10,000 รอบต่อนาที เป็นเวลา 5 นาที นำส่วนน้ำใสที่อยู่เหนือชั้นตะกอนและชั้นพินอล/ คลอโรฟอร์ม/ไอโซเอมิลแอลกอฮอล์ไปใส่ในหลอดไมโครฟิว๊นหลอดใหม่ แล้วเติมไอโซ

พิพรพานอลปริมาณ 0.6 เท่าของส่วนน้ำ้าใส กลับหลอดไปมานจนกระหงตะกอนขาวของดีอีนเอ ปรากฏ ทำการปั่นให้ยังที่ความเร็ว 13,000 รอบต่อนาที เป็นเวลา 15 นาที เทส่วนของไอกโซ พิพรพานอลทึ้งแล้วล้างตะกอนดีอีนเอที่ได้ด้วยเชstanol 70% ที่เย็นจัดปริมาณรประเมณ 1 มิลลิลิตร ทำซ้ำ 2 ครั้ง โดยการปั่นล้างเก็บตะกอนที่อุณหภูมิห้องเป็นเวลา 5 นาที ค่อยๆ เทส่วนน้ำ้าใสทึ้ง สุดท้ายนำตะกอนดีอีนเอที่ได้ไประเหยให้แห้งสนิท แล้วละลายตะกอนดีอีนเอในน้ำ้า ปลดประจุปลดเครื่องปริมาณ 30 ไมโครลิตร และใส่ RNase A เข้มข้น 10 มิลลิกรัมต่อมิลลิลิตร (ภาคผนวก ข26) ปริมาณ 2 ไมโครลิตร เพื่อกำจัดสารอีนเอออก เก็บดีอีนเอที่ได้ที่อุณหภูมิ 4°C

### 3.6.1.2) การวิเคราะห์ความบริสุทธิ์และความเข้มข้นของดีอีนเอ

นำสารละลายดีอีนเอไปวัดค่าการดูดกลืนแสง (absorbance, A) ที่ความยาวคลื่น 260 และ 280 นาโนเมตร ( $A_{260}$  และ  $A_{280}$ ) คำนวนค่า  $A_{260}$  ต่อ  $A_{280}$  ค่าที่เหมาะสมควรจะอยู่ในช่วง 1.8-2.0 ถ้าค่าน้อยกว่า 1.8 แสดงว่ามีโปรตีนปนเปื้อนสูง ถ้าค่าสูงกว่า 2.0 แสดงว่ามีอาร์อีนเอปนเปื้อนสูง

คำนวนหาความเข้มข้นของดีอีนเอจากสมการ

$$\text{ดีอีนเอสายคู่ (ไมโครกรัมต่อมิลลิลิตร)} = A_{260} \times 50 \times \text{dilution factor}$$

### 3.6.2) ปฏิกิริยาลูกโซ่เพลเมอเรส (Polymerase Chain Reaction, PCR)

ในปฏิกิริยาลูกโซ่เพลเมอเรสนี้ใช้オリゴนิวคลีโอไทด์ไพรเมอร์คือ forward primer 27f (5'-GAGTTTGATCCTGGCTCAG-3') และ reverse primer 1492r (5'-ACGGCTACCTTGTT ACGACTT-3') นอกจ้านี้ในตารางที่ 3.4 จะแสดงส่วนผสมสารในปฏิกิริยา ความเข้มข้นสุดท้าย และปริมาณที่ใช้ในปฏิกิริยาของสารแต่ละตัวสำหรับการเพิ่มจำนวน 16S ribosomal DNA ของ *Pseudomonas* sp. A41

ตารางที่ 3.4 สารละลายน้ำที่ใช้เป็นส่วนผสมในปฏิกิริยาลูกใช้พอลิเมอเรสสำหรับการเพิ่มจำนวน 16S ribosomal DNA ของ *Pseudomonas* sp. A41

สารเคมี	ความเข้มข้น	ปริมาณ (ไมโครลิตร)	ความเข้มข้น สุดท้าย
MgCl <sub>2</sub>	25 mM	3	1.5 mM
Taq DNA polymerase buffer	10 X	5	1 X
ไพร์เมอร์ 27f	50 μM	1	1.0 μM
ไพร์เมอร์ 1492r	50 μM	1	1.0 μM
dNTP	2 mM (ของแต่ละตัว)	5	200 μM (ของแต่ละตัว)
Taq DNA polymerase	1 U/ μl	1.5	1.5 U
ดีเอ็นเอแม่แบบ น้ำปลอดประจุบุปลดเชื้อ	1 pg -1 μg/μl	1	1 pg -1 μg
ปริมาณรวมสุทธิ		32.5	
		50	

โปรแกรมในการทำปฏิกิริยาลูกใช้พอลิเมอเรส เป็นดังนี้

hot start	ที่อุณหภูมิ	95 °C	เป็นเวลา 5 นาที
denaturation	ที่อุณหภูมิ	95 °C	เป็นเวลา 1 นาที
annealing	ที่อุณหภูมิ	46 °C	เป็นเวลา 1 นาที
extention	ที่อุณหภูมิ	72 °C	เป็นเวลา 1 นาที
final extention	ที่อุณหภูมิ	72 °C	เป็นเวลา 7 นาที

} 35 รอบ

ดำเนินปฏิกิริยาลูกใช้พอลิเมอเรสด้วยเครื่องเพิ่มปริมาณดีเอ็นเอ (DNA Thermal Cycle) (Perkin Elmer, USA) ตรวจสอบผลิตภัณฑ์ที่เกิดขึ้นโดย方法วิธีเจลอเล็ก trofile gel electrophoresis ทำโดยเตรียม方法วิธีเจล 1.5% ชีงหลอมในบันฟเฟอร์ 1XTAE เทลงในแบบพิมพ์ที่มีหวีเสียบอยู่ ระหว่างอย่าให้มีฟองอากาศ ปล่อยให้อะกาโนเจลแข็งตัวประมาณ 30 นาที วางชิ้นอะกาโนเจลที่ได้ลงในแรมเบอร์ เทบันฟเฟอร์ 1XTAE ให้ท่วมสูงกว่าอะกาโนเจลเล็กน้อย ผสานสารละลายน้ำ

ตีอีนเอกบีสีดิตตาม (ภาคผนวก ข22) ให้ความเข้มข้นของสีเป็น 1 เท่า โดยอาจจะปรับปริมาตรด้วยน้ำในกรณีใช้ปริมาตรของตีอีนเอน้อย หยดสารผสมลงในช่องวิงและหยดตีอีนเอมาตรฐาน 100 bp ladder จากนั้นทำอีเล็ก troffofer ให้ความต่างศักย์ดังนี้ ชุดทำอีเล็ก troffofer สำหรับ QIAquick Gel Extraction Kit (QIAGEN, USA) ให้ความต่างศักย์ 100 โวลต์ ทิ้งไว้จนกระหั่งสิน้ำเงินของบรรจุฟิล์มคลูเคลื่อนที่ลงมาจนสุดขอบอะกาโรสเจลอีกด้าน ย้อมอะกาโรสเจลด้วยเชือกเดี่ยวในไม่ต่ำกว่า 10 นาที ตรวจดูแบบตีอีนเอด้วยแสงอัลตราไวโอเล็ตความยาวคลื่น 312 นาโนเมตร

### 3.6.3) การหาลำดับนิวคลีอิท์ของผลิตภัณฑ์ที่ได้จากการทำปฏิกิริยาลูกโซ่พอลิเมอเรส

นำผลิตภัณฑ์ที่ได้จากการทำปฏิกิริยาลูกโซ่พอลิเมอเรสในข้อ 3.6.2) มาแยกชิ้นผลิตภัณฑ์ที่ได้ด้วยอะกาโรสเจลอีเล็ก troffofer จากนั้นสกัดชิ้นตีอีนเอน้ำดีประมาณ 1500 bp ออกจากอะกาโรสด้วย QIAquick Gel Extraction Kit (QIAGEN, USA) (ภาคผนวก ข4) ตามวิธีที่ระบุโดยบริษัทผู้ผลิตดังนี้ ตัดอะกาโรสเจลตรงบริเวณແเกบตีอีนเอนที่ต้องการ ชั้นน้ำหนักชิ้นอะกาโรสเจลโดยใส่ไว้ในหลอดในคริฟว์ เดิมบัฟเฟอร์ QG ปริมาตรเป็น 3 เท่าของปริมาตรชิ้นอะกาโรสเจล บ่มที่อุณหภูมิ 50 °C เป็นเวลา 10 นาที หรือกระหั่งอะกาโรสเจลละลายหมดได้เป็นสารละลายใสสีเหลือง นำสารละลายดังกล่าวใส่ใน QIAquick spin column นำไปปั่นตกตะกอนด้วยเครื่องปั่นเหวี่ยงที่ความเร็วรอบ 12,000 รอบต่อนาที เป็นเวลา 1 นาทีที่อุณหภูมิห้องเทส่วนน้ำใสทิ้ง เดิมบัฟเฟอร์ QG ปริมาตร 0.5 มิลลิลิตรลงในคอลัมน์ นำไปปั่นเหวี่ยงด้วยความเร็วรอบ 12,000 รอบต่อนาทีเป็นเวลา 1 นาที ที่อุณหภูมิห้อง เทส่วนน้ำใสทิ้ง เดิมบัฟเฟอร์ PE ปริมาตร 0.75 มิลลิลิตร ลงในคอลัมน์ นำไปปั่นเหวี่ยงด้วยความเร็วรอบ 12,000 รอบต่อนาทีเป็นเวลา 1 นาที ที่อุณหภูมิห้อง เทส่วนน้ำใสทิ้งก่อนทำการปั่นเหวี่ยงข้า้อกรังเพื่อกำจัดบัฟเฟอร์ PE ที่เหลือติดคอลัมน์ออกให้หมด ย้ายคอลัมน์มายังหลอดในคริฟว์ใหม่ เดิมน้ำปลอดีประจุปลอดเชื้อหรือบัฟเฟอร์ EB ปริมาตร 50-100 ไมโครลิตร ให้ลงตรงแผ่นกรอง ตั้งทิ้งไว้ 1 นาที นำไปปั่นเหวี่ยงด้วยความเร็วรอบ 12,000 รอบต่อนาที เป็นเวลา 1 นาที ที่อุณหภูมิห้อง จะได้สารละลายตีอีนเอยู่ในส่วนน้ำใสเก็บตีอีนเอนที่อุณหภูมิ -20 °C

การหาลำดับนิวคลีโอไทด์ทำโดยนำสารละลายดีเอ็นเอที่ได้ดังกล่าวส่งไปวิเคราะห์ที่หน่วยบริการชีวภาพ (BSU) สำนักงานพัฒนาวิทยาศาสตร์และเทคโนโลยีแห่งชาติ (สวทช.) โดยใช้ไฟร์เมอร์ดังนี้คือ forward primer 27f, forward primer 350f, reverse primer 1240r และ reverse primer 1492r นำข้อมูลลำดับนิวคลีโอไทด์ที่ได้มาวิเคราะห์ด้วยโปรแกรม DNASIS และนำไปเปรียบเทียบกับข้อมูลที่มีอยู่ใน GenBank ด้วยโปรแกรม BlastN

### 3.7 การเพิ่มจำนวน *rhlA* หรือ *rhlR* ด้วยปฏิกิริยาสูญเชื้อพอลิเมอเรส

#### 3.7.1) การออกแบบโอลิโกนิวคลีโอไทด์ไฟร์เมอร์ที่จำเพาะต่อ *rhlA* หรือ *rhlR*

ออกแบบโอลิโกนิวคลีโอไทด์ไฟร์เมอร์ทั้งแบบ forward primer และ reverse primer คือ RA-F และ RA-R หรือ RR-F และ RR-R สำหรับการเพิ่มจำนวน *rhlA* หรือ *rhlR* ตามลำดับ โดยอาศัยข้อมูลลำดับเบสของ *rhlA* หรือ *rhlR* จาก *Pseudomonas aeruginosa* PAO1 (Stover และคณะ, 2000) และ *Pseudomonas aeruginosa* PG201 (Ochsner และคณะ, 1994a, b) สังเคราะห์โอลิโกนิวคลีโอไทด์ไฟร์เมอร์โดยเครื่องสังเคราะห์ดีเอ็นเออัตโนมัติโดยหน่วยบริการชีวภาพ (BIOSERVICE UNIT, BSU) สำนักงานพัฒนาวิทยาศาสตร์และเทคโนโลยีแห่งชาติ (สวทช.)

#### 3.7.2) การเตรียมดีเอ็นเอแม่แบบ (template) ในการทำปฏิกิริยาสูญเชื้อพอลิเมอเรส

การสกัด การวิเคราะห์ความบริสุทธิ์และการหาความเข้มข้นของจีโนมิกดีเอ็นเอของ *Pseudomonas* sp. A41 ตามวิธีของ Ausubel และคณะ (1999) ซึ่งอธิบายไว้ในข้อ 3.6.1) โดยสุดท้ายให้ละลายตะกอนดีเอ็นเอในน้ำปลดประจุปลดดเข้าบีมาตร 30 ไมโครลิตร และใส่ RNase A เข้มข้น 10 มิลลิกรัมต่อมิลลิลิตร (ภาชนะวง ข26) บีมาตร 2 ไมโครลิตร บ่มที่อุณหภูมิ 37° $\text{C}$  เพื่อกำจัดอาร์เอ็นเอออก เก็บดีเอ็นเอที่ได้ที่อุณหภูมิ 4° $\text{C}$

### 3.7.3) ปฏิกิริยาลูกใช้พอลิเมอเรส (Polymerase Chain Reaction, PCR)

การทำ PCR ในงานวิจัยนี้ใช้ส่วนผสมของสารในปฏิกิริยาและโอลigonucleotide ไพร์เมอร์ที่ออกแบบได้ในข้อ 3.7.1 โดยความเข้มข้นสุดท้ายและปริมาณที่ใช้ในปฏิกิริยาของสารแต่ละตัวแสดงในตารางที่ 3.5 หรือ 3.6 สำหรับการเพิ่มจำนวน *rhA* หรือ *rhIR* ตามลำดับดังนี้

ตารางที่ 3.5 สารละลายที่ใช้เป็นส่วนผสมในปฏิกิริยาลูกใช้พอลิเมอเรสสำหรับการเพิ่มจำนวน *rhA*

สารเคมี	ความเข้มข้น	ปริมาตร (ไมโครลิตร)	ความเข้มข้น สุดท้าย
MgCl <sub>2</sub>	25 mM	3	1.5 mM
Taq DNA polymerase buffer	10 X	5	1 X
ไพร์เมอร์ RA-F	50 μM	1	1.0 μM
ไพร์เมอร์ RA-R	50 μM	1	1.0 μM
dNTP	2 mM (ของแต่ละตัว)	5	200 μM (ของแต่ละตัว)
Taq DNA polymerase	1 U / μl	1.5	1.5 U
ดีเอ็นเอแม่แบบ	1 pg -1 μg/μl	1	1 pg -1 μg
น้ำปลอดปะจุปลอดเชื้อ		32.5	
ปริมาตรสุทธิ		50	

โปรแกรมในการทำปฏิกิริยาลูกใช้พอลิเมอเรส เป็นดังนี้

hot start	ที่อุณหภูมิ	95°ช	เป็นเวลา 5 นาที
denaturation	ที่อุณหภูมิ	95°ช	เป็นเวลา 1 นาที
annealing	ที่อุณหภูมิ	54°ช	เป็นเวลา 1 นาที
extention	ที่อุณหภูมิ	72°ช	เป็นเวลา 1 นาที
final extention	ที่อุณหภูมิ	72°ช	เป็นเวลา 7 นาที

ดำเนินปฏิกริยาลูกโซ่พอลิเมอเรสด้วยเครื่องเพิ่มปริมาณดีเอ็นเอ (DNA Thermal Cycle) (Perkin Elmer, USA) ตรวจสอบผลิตภัณฑ์ที่เกิดขึ้นโดยおかげโซเจลอะลีกโกรไฟเรซิส

ตารางที่ 3.6 สารละลายที่ใช้เป็นส่วนผสมในปฏิกริยาลูกโซ่พอลิเมอเรสสำหรับการเพิ่มจำนวน *gLR*

สารเคมี	ความเข้มข้น	ปริมาตร (ไมโครลิตร)	ความเข้มข้น สุดท้าย
MgCl <sub>2</sub>	25 mM	2	1.0 mM
Taq DNA polymerase buffer	10 X	5	1 X
ไพรเมอร์ RR-F	50 μM	1	1.0 μM
ไพรเมอร์ RR-R	50 μM	1	1.0 μM
dNTP	2 mM (ของแต่ละตัว)	5 (ของแต่ละตัว)	200 μM
Taq DNA polymerase	1 U/ μl	1.5	1.5 U
ดีเอ็นเอแม่แบบ น้ำปลอดประจุ	1 pg - 1 μg	1 33.5	1 pg - 1 μg
ปริมาตรสุทธิ		50	

#### โปรแกรมในการทำปฏิกริยาลูกโซ่พอลิเมอเรส เป็นดังนี้

hot start	ที่อุณหภูมิ	95°ฯ	เป็นเวลา 5 นาที	} 35 รอบ
denaturation	ที่อุณหภูมิ	95°ฯ	เป็นเวลา 1 นาที	
annealing	ที่อุณหภูมิ	52°ฯ	เป็นเวลา 1 นาที	
extention	ที่อุณหภูมิ	72°ฯ	เป็นเวลา 1 นาที	
final extention	ที่อุณหภูมิ	72°ฯ	เป็นเวลา 7 นาที	

ดำเนินปฏิกริยาลูกโซ่พอลิเมอเรสด้วยเครื่องเพิ่มปริมาณดีเอ็นเอ (DNA Thermal Cycle) (Perkin Elmer, USA) ตรวจสอบผลิตภัณฑ์ที่เกิดขึ้นโดยおかげโซเจลอะลีกโกรไฟเรซิส

### 3.7.4) การหาลำดับนิวคลีโอไทด์ของผลิตภัณฑ์ที่ได้จากการทำปฏิกิริยาลูกให้พอลิเมอเรส

นำผลิตภัณฑ์ที่ได้จากการทำปฏิกิริยาลูกให้พอลิเมอเรสในข้อ 3.7.3) หั้งที่ได้จากการเพิ่มจำนวน *rhlA* และ *rhlR* มาตรวจนับชิ้นผลิตภัณฑ์ที่ได้ด้วยอะกาโรสเจลオリเอ็ก tro-ไฟเรซิส แยกชิ้นเดียวกันขนาดประมาณ 800 หรือ 700 bp ซึ่งเป็นผลิตภัณฑ์ที่ได้จาก *rhlA* หรือ *rhlR* ตามลำดับของจากอะกาโรสด้วย QIAquick Gel Extraction Kit (QIAGEN, USA) ตามวิธีที่ระบุโดยบริษัทผู้ผลิตดังที่อธิบายแล้วในข้อ 3.6.3)

หาลำดับนิวคลีโอไทด์โดยนำสารละลายดีเอ็นเอที่ได้ดังกล่าวส่งไปวิเคราะห์ที่หน่วยบริการชีวภาพ (BSU) สำนักงานพัฒนาวิทยาศาสตร์และเทคโนโลยีแห่งชาติ (สวทช.) นำข้อมูลลำดับนิวคลีโอไทด์ที่ได้มาวิเคราะห์ด้วยโปรแกรม DNASIS และนำไปเบรียบเทียบกับข้อมูลที่มีอยู่ใน GenBank ด้วยโปรแกรม BlastX version 2.2.9

## 3.8 การค้นหาชิ้นส่วนของดีเอ็นเอบนโครโน่คอมของ *Pseudomonas* sp. A41 ที่มี *rhlA* หรือ *rhlR* ด้วยเทคนิคไฮบริดไซเซชัน (hybridization)

### 3.8.1) การเตรียมดีเอ็นเอติดตาม (DNA probe)

#### 3.8.1.1) การเตรียมผลิตภัณฑ์ที่ได้จากการทำปฏิกิริยาลูกให้พอลิเมอเรสของ *rhlA* หรือ *rhlR*

จากการทำ PCR เพื่อให้ได้ชิ้นส่วนที่มาจาก *rhlA* หรือ *rhlR* ต้องใช้ส่วนผสมของสารในปฏิกิริยาและโอลิโกลิโนนิวคลีโอไทด์ไฟร์เมอร์ตามข้อ 3.7.3) จากนั้นแยกชิ้นเดียวกันในผลิตภัณฑ์ที่ได้ดังกล่าว ด้วยอะกาโรสเจลオリエ็ก tro-ไฟเรซิสและสกัดชิ้นเดียวกันขนาด 800 หรือ 700 bp สำหรับ *rhlA* หรือ *rhlR* ตามลำดับ ของจากอะกาโรสเจลด้วย QIAquick Gel Extraction Kit (QIAGEN, USA) ตามวิธีที่ระบุโดยบริษัทผู้ผลิตที่อธิบายไว้ในข้อ 3.6.3)

3.8.1.2) การติดฉลากดีเอ็นเอดิตตามด้วย Digoxigenin-dUTP ด้วยวิธี Random labeling

ติดฉลากดีเอ็นเอดิตตาม *rhlA* หรือ *rhlR* โดยใช้ชุดติดฉลากและติดตามดีเอ็นเอ DIG High Prime Labeling and Detection Starter Kit I (Roche, Germany) (ภาคผนวก ข12) ตามวิธีของบริษัทผู้ผลิตดังนี้ ดูสาระรายดีเอ็นเอที่เตรียมได้จากข้อ 3.8.1.1) ปริมาตร 16 ไมโครลิตร ใส่ในหลอดไมโครพิวส์ นำไปปั่นในน้ำเดือดเป็นเวลา 10 นาที เพื่อแยกสายดีเอ็นเอแล้วแช่ในน้ำแข็งทันที เดิมสารราย DIG High Prime (หลอดหมายเลข 1) ปริมาตร 4 ไมโครลิตร ผสมเบาๆ ให้เข้ากัน บ่มในอ่างน้ำอุณหภูมิ 37°ฯ เป็นเวลา 20 ชั่วโมง หยุดปฏิกริยาโดยแช่ในน้ำอุ่น 65°ฯ เป็นเวลา 10 นาที เก็บรักษาดีเอ็นเอดิตตามไว้ที่อุณหภูมิ -20°ฯ

ประเมินปริมาณดีเอ็นเอดิตตาม *rhlA* หรือ *rhlR* ที่ถูกติดฉลากด้วย digoxigenin (DIG) ด้วยการเจาะดีเอ็นเอดิตตามใน DNA dilution buffer (หลอดหมายเลข 3) ตามตารางที่ 3.7

ตารางที่ 3.7 วิธีเจาะสารรายดีเอ็นเอสำหรับประเมินดีเอ็นเอที่ติดฉลากแล้ว

หลอดที่ทำการเจาะ	ปริมาตรสารรายดีเอ็นเอต่อ DNA dilution buffer ( $\mu$ l)
1. 1 : 100	1/99
2. หลอดที่ 1 เจียจาง 1 : 3.3	15/35
3. หลอดที่ 1 เจียจาง 1 : 10	5/45
4. หลอดที่ 2 เจียจาง 1 : 10	5/45
5. หลอดที่ 3 เจียจาง 1 : 10	5/45

นำสารละลายดีอินເອທີຈາງແລ້ວหลอดທີ 1-5 ອ່າງລະ 1 ໃນໂຄຣິຕຣ ນຍດລົງບນໃນລອນເມນເບຣນທີດັດໄວ້ເປັນແຕບຍາວເລືກາ (strip) ທ່ານວຸນຄູ່ກັບສາຮລາຍດີເອີ້ນເຂມາຄຮູ້ານຄວາມເຫັນຂັ້ນ 5 ນາໃນກຣັມທ່ອນໂຄຣິຕຣ ດ້ວຍການເຈົ້າງແບນເຖິງກັນກັນວິທີກາຮ້າງຕັນ ແລ້ວນຍດລົງບນໃນລອນເມນເບຣນອັກແຜ່ນໜຶ່ງທີ່ໄວ້ໃຫ້ແໜ່ງ ທ່ານການຕົງດີເອີ້ນເຂໃຫ້ເກະຕິບນເມນເບຣນດ້ານທີ່ມີເອີ້ນເຂໃຫ້ສົມຜັສແສງອັດຕາໄວ້ໂຄເລດທີ່ຄວາມຍາວຄືນ 312 ນາໃນເມຕຣ ແລ້ວນໍາໄປຈຸ່ນໃນສາຮລາຍແຕ່ລະຫຼືດຕາມລຳດັບຂັ້ນຕອນດັ່ງທີ່ແສດງໄວ້ໃນຕາຮາງທີ່ 3.8

### ຕາຮາງທີ່ 3.8 ຂັ້ນຕອນການນາປຣິມານດີເອີ້ນເຂດຕາມທີ່ຄູກຕິດຈລາກ

ໜລອດທີ່	ສາຮລາຍ	ເວລາ (ນາທີ)
1	Blocking solution	2
2	Antibody solution (1 : 5,000 ໃນ Blocking solution)	3
1	Blocking solution	1
3	Maleic acid buffer	1
4	Detection buffer	1
5	Color-substrate solution	5-30

ນັ່ນແຕບທົດສອບດີເອີ້ນເຂໃນລອດທີ່ 5 ໃນທີ່ມີຈົນເກີດຈຸດສັງຢານຈາກການໄອບຣິໂດຣສົມວົງນໍາເງິນ ເນື່ອຈຸດສົນແຕບທົດສອບຂັ້ນຈົນຈົນທຸກຈຸດແລ້ວໃຫ້ກຳລັງແຕບທົດສອບດ້ວຍນໍາກລັ່ນທີ່ໄວ້ໃຫ້ແໜ່ງເທິບສີທີ່ໄດ້ກັບດີເອີ້ນເຂມາຄຮູ້ານ ໂດຍທີ່ດີເອີ້ນເຂມາຄຮູ້ານມີຄວາມເຫັນຂັ້ນດັ່ງນີ້ 50, 15, 5, 1.5, 0.5 ພຶດກຣັມທ່ອນໂຄຣິຕຣ ຕາມລຳດັບ

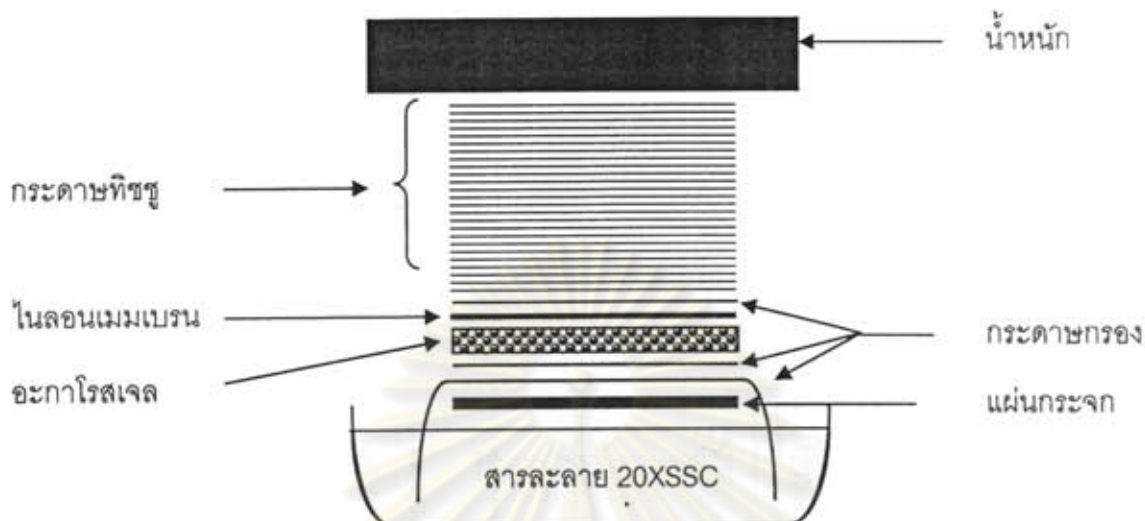
### 3.8.2) ກາຣເຕີຢີມໃນລອນເມນເບຣນທີ່ມີຈົນມີກິດເອີ້ນເຂຂອງ *Pseudomonas* sp. A41 ສໍາຮັບກາຣໄອບຣິໂດຣ

ກາຣເຕີຢີມໃນລອນເມນເບຣນສໍາຮັບກາຣໄອບຣິໂດຣເພື່ອຕິດຕາມ *rhlA* ມີຈົນມີກິດເອີ້ນເຂຂອງ *Pseudomonas* sp. A41 ມີຂັ້ນຕອນແນ້ອນກັນດັ່ງນີ້



เตรียมอะก้าโรสเจลเพื่อทำการถ่ายดีเอ็นเอกอกจากอะก้าโรสเจลไปยังแผ่นในลอนเมมเบรน เริ่มจากล้างขึ้นอะก้าโรสเจลที่ได้ด้วยกรดไฮดรอลอิกเข้มข้น 1 นอร์มอล ในกล่องพลาสติกโดยให้สารละลายท่วมอะก้าโรสเจลเข่าเบาๆ เป็นเวลา 10 นาที เทสารละลายทิ้ง เดิม denaturation buffer (ภาคผนวก ข6) ปริมาตร 300 มิลลิลิตร หรือเติมให้ท่วมอะก้าโรสเจลเข่าเบาๆ เป็นเวลา 15 นาที แล้วเทบัฟเฟอร์ทิ้ง ทำซ้ำ 2 ครั้ง ล้างด้วยน้ำปลอดประจุปลอดเชือ 2 ครั้ง จากนั้นเติม neutralization buffer (ภาคผนวก ข7) เป็นเวลา 15 นาที เทบัฟเฟอร์ทิ้ง ทำซ้ำ 2 ครั้ง

การถ่ายดีเอ็นเอกอกจากอะก้าโรสเจลไปยังแผ่นในลอนเมมเบรนด้วยวิธี Capillary transfer (Sambrook และ Russell, 2001) ทำโดยการวัดขนาดของขั้นอะก้าโรสเจลที่เตรียมไว้ก่อนดูขนาด A คือขนาดเท่ากับขนาดของแผ่นอะก้าโรสเจล ขนาด B คือขนาดความกว้างเท่ากับด้านกว้างของอะก้าโรสเจลแต่ความยาวจะยาวกว่าด้านยาวของอะก้าโรสเจล ตัดในลอนเมมเบรนให้มีขนาด A จำนวน 1 แผ่น ตัดกระดาษกรองให้มีขนาด A จำนวน 2 แผ่น และขนาด B จำนวน 1 แผ่น ตัดกระดาษทิชชูให้มีขนาด A เพื่อใช้เป็น paper towel ถุงประมาณ 5 เซนติเมตร การจัดวางชั้นต่างๆ ของการถ่ายดีเอ็นเอกอกจากอะก้าโรสเจลไปยังแผ่นในลอนเมมเบรนดังแสดงไว้ในรูปที่ 3.1 โดยเริ่มจากการเติม 20 X SSC (ภาคผนวก ข8) ซึ่งเป็น transfer buffer ลงในกล่องพลาสติก ปริมาตรพอประมาณ นำกระดาษกรองขนาด B ที่อ่อนตัวด้วย 20XSSC วางพาดบนแผ่นกระดาษโดยให้ปลายทั้งสองข้างของกระดาษกรองแขวนในบัฟเฟอร์เพื่อเป็นสะพานให้ 20XSSC เคลื่อนที่ขึ้นมา จากนั้นวางกระดาษกรองขนาด A ที่อ่อนตัวด้วย 20XSSC ข้อนี้นีด้านบน แล้วนำอะก้าโรสเจลที่เตรียมไว้วางลงด้านบนในลักษณะที่คว่ำหัวใจลงด้านล่าง วางในลอนเมมเบรนที่อ่อนตัวด้วย 20XSSC ลงบนเจล ต้องระวังไม่ให้เกิดฟองอากาศขึ้นในแต่ละชั้น จากนั้นจึงวางกระดาษกรองขนาด A แล้ววางชั้นของกระดาษทิชชูและน้ำหนักกดด้านบน ตามลำดับ ทำการยืดชั้นต่างๆ ให้มั่นคงด้วยกระดาษกาว และระวังไม่ให้ชั้นทิชชูแตกโดยอะก้าโรสเจล หรือกระดาษกรองด้านล่าง ตั้งทิ้งไว้ให้บัฟเฟอร์เคลื่อนที่ขึ้นมาเป็นเวลาข้ามคืน

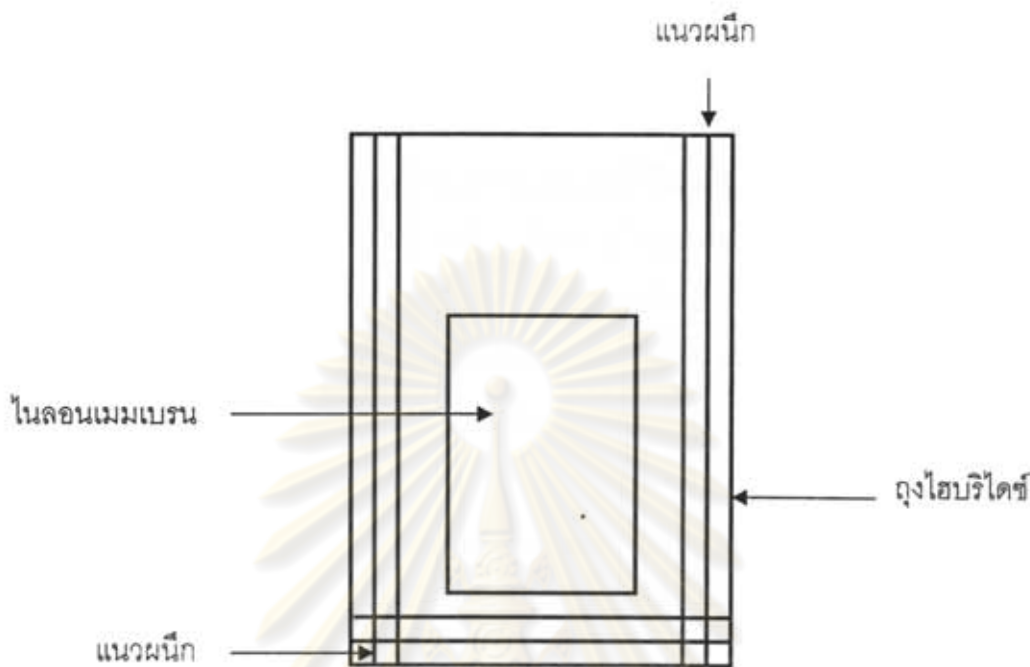


รูปที่ 3.1 แผนภาพแสดงการจัดวางชั้นต่างๆ ของการย้ายดีเอ็นเอจากอะกาโรสเจลไปยังในลอนเมมเบรน โดยวิธี Capillary transfer

ภายหลังจากการเคลื่อนย้ายดีเอ็นเอจากอะกาโรสเจลไปยังในลอนเมมเบรน ยกชั้นกระดาษที่อยู่เหนือในลอนเมมเบรนออก แล้วใช้กรรไกรที่สะอาดตัดที่มุมด้านหนึ่งเพื่อเป็นการระบุด้านของในลอนเมมเบรนที่มีดีเอ็นเออยู่ นำในลอนเมมเบรนมาใส่กล่องล้างด้วย 2XSSC (ภาคผนวก ข 9) โดยการเขย่าเป็นเวลา 15 นาที จากนั้นนำไปซับให้แห้งและทำการตรึงดีเอ็นเอให้ติดบนในลอนเมมเบรน ด้วยการนำในลอนเมมเบรนด้านที่มีดีเอ็นเอไปเผยแพร่ต่อแสงอัลตราไวโอเลตประมาณ 3 นาที เก็บในลอนเมมเบรนไว้ที่อุณหภูมิห้องได้นาน 6 เดือน

### 3.8.3) ไบบริเดชันดีเอ็นเอของ *Pseudomonas* sp. A41 ด้วยดีเอ็นเอติดตาม *rhlA* หรือ *rhlR*

ทำพรีไบบริเดชัน (prehybridization) โดยนำในลอนเมมเบรนที่มีดีเอ็นเอมาใส่ถุงพลาสติกสำหรับไบบริเดชันและผูกด้านข้างให้สนิทด้วยเครื่องผูกนิ่กที่ใช้ความร้อนดังรูปที่ 3.2 เดิมสารละลาย DIG Easy Hyb (ภาคผนวก ข 12) ซึ่งทำการอุ่นไว้ที่อุณหภูมิที่จะทำไบบริเดชัน (อุณหภูมิ 42°ช) ปริมาตร 10 มิลลิลิตรต่อ 100 ตารางเซนติเมตร ໄล์ฟองอากาศออกให้หมดจากนั้นผูกปิดให้สนิท นำไปบ่มที่อุณหภูมิ 42°ช เย็นเบาๆ เป็นเวลา 30 นาที



รูปที่ 3.2 ลักษณะการผนึกถุงพลาสติกสำหรับทำไอกบริไดซ์ชัน

เตรียมสารละลายดีเอ็นเอติดตาม *rh/A* หรือ *rh/R* สำหรับการไอกบริไดซ์โดยนำดีเอ็นเอติดตาม *rh/A* หรือ *rh/R* ไปต้มในน้ำเดือดเป็นเวลา 10 นาที แล้วแช่ในน้ำแข็งทันที จากนั้นเติมลงในสารละลาย DIG Easy Hyb ปริมาตร 5-10 มิลลิลิตร (ให้มีความเข้มข้น 5-25 นาโนกรัมต่อสารละลาย DIG Easy Hyb ปริมาตร 1 มิลลิลิตร) ที่บรรจุอยู่ในหลอดพลาสติกฝาเกลียว (falcon tube) ผสมให้เข้ากันด้วยการกลับหลอดเบาๆ นำไปบ่มที่อุณหภูมิ  $68^{\circ}\text{C}$  เป็นเวลา 10 นาที ก่อนนำไปไอกบริไดซ์

**จุดลงกรรณ์มหาวิทยาลัย**  
 เมื่อทำไอกบริไดซ์เสร็จแล้วตัดถุงพลาสติกออก เทสารละลาย DIG Easy Hyb ทึ้งแล้วย้ายเมมเบรนมาที่ถุงพลาสติกใบใหม่ จากนั้นทำการผนึกด้านข้างถุงเหมือนเดิม เทสารละลายดีเอ็นเอติดตาม *rh/A* หรือ *rh/R* ที่เตรียมไว้ข้างต้นลงไป ไส้ฟองอากาศออกให้หมดแล้วปิดผนึกด้านบน 2 ครั้ง นำไปบ่มที่อุณหภูมิ  $42^{\circ}\text{C}$  ด้วยการเขย่าเบาๆ เป็นเวลาข้ามคืน (16-18 ชั่วโมง) (สารละลายดีเอ็นเอติดตามที่ใช้แล้วกลับนำมาใช้ได้อีกหลายครั้งด้วยการเก็บรักษาในหลอดพลาสติกฝาเกลียวที่อุณหภูมิ  $-20^{\circ}\text{C}$  เมื่อนำมาใช้ในครั้งต่อไปให้เติมดีเอ็นเอติดตามเพิ่มอีก

2-3 ไมโครลิตร และก่อนใช้ต้องทำการแยกสายดีอินເອດิตตามที่อุณหภูมิ 68 °ซี เป็นเวลา 10 นาที

เมื่อเสร็จสิ้นไอบริடีชันแล้ว นำในลอนเมมเบรนที่ได้ม้าสังดีอินເອດิตตามส่วนเกินออก โดยการนำมายาสนใจกล่องพลาสติกแล้วล้างดีอินເອດิตตามที่จับกับในลอนเมมเบรนด้วย สารละลาย 2XSSC /0.1%SDS (ภาคผนวก ข10) ปริมาตร 30-50 มิลลิลิตร ที่อุณหภูมิห้อง พร้อม กับการเย่าเบาๆ เป็นเวลา 15 นาที แล้วเทสารละลายทิ้ง ทำซ้ำ 2 ครั้ง จากนั้nl้างอีก 2 ครั้งด้วย 0.5XSSC/0.1%SDS (ภาคผนวก ข11) ที่อุณหภูมิ 68 °ซี เป็นเวลา 15 นาที แล้วเทสารละลายทิ้ง

ตรวจหาตัวแทนดีอินເຂของ *Pseudomonas* sp. A41 ที่ไอบริटีดีกับดีอินເອດิตตาม rhIA หรือ rhIR ด้วยวิธี Enzyme immunoassay โดยใช้ชุดติดลากและติดตามดีอินເຊ DIG High Prime Labeling and Detection Starter Kit I (Roche, Germany) (ภาคผนวก ข12) ตาม วิธีของบริษัทผู้ผลิตดังนี้ (ทุกขั้นตอนทำที่อุณหภูมิห้อง) เริ่มจากนำในลอนเมมเบรนที่ล้างดีอินເອດิตตามส่วนเกินออกแล้วมาล้างด้วย maleic acid buffer (ภาคผนวก ข12) ในกล่องพลาสติกโดย ใช้ปริมาตรห่วงในลอน เมมเบรน เย่าเบาๆเป็นเวลา 5 นาที เทบฟเฟอร์ทิ้ง จากนั้นเติม blocking solution (ภาคผนวก ข12) ปริมาตร 100 มิลลิลิตร เย่าเบาๆ เป็นเวลา 30 นาที เทบฟเฟอร์ทิ้ง แล้วเติม antibody solution (Anti-DIG-AP conjugate) ที่เตรียมโดยการเจือจาง Anti-DIG-AP conjugate (ภาคผนวก ข12) ปริมาตร 3 ไมโครลิตร ใน blocking solution ปริมาตร 15 มิลลิลิตร (เตรียมก่อนใช้ในหลอดพลาสติกฝาเกลี่ยว) (เจือจาง 1 : 5,000 ) เย่าเบาๆ เป็นเวลา 30 นาที เทบฟเฟอร์ทิ้งแล้วล้าง Anti-DIG-AP conjugate ส่วนเกินออกด้วย maleic acid buffer ปริมาตร 100 มิลลิลิตร เย่าเบาๆ เป็นเวลา 15 นาที เทบฟเฟอร์ทิ้ง ทำซ้ำ 2 ครั้ง เติม detection buffer ปริมาตร 20 มิลลิลิตร เย่าเบาๆ เป็นเวลา 5 นาที เทบฟเฟอร์ทิ้ง จากนั้นเตรียมขับสเตรท NBT/BCIP (ภาคผนวก ข12) โดยเจือจางสารละลายในหลอดที่ 5 ปริมาตร 200 ไมโครลิตร ใน detection buffer ปริมาตร 10 มิลลิลิตร (เตรียมก่อนใช้ในหลอดพลาสติกฝาเกลี่ยวที่หุ้มให้มืด) ย้ายในลอนเมมเบรนมาใส่ถุงพลาสติกแล้วผนึกด้านข้าง เช่นเดียวกับขันไอบริடีช์ จากนั้นเทขับสเตรทที่เตรียมไว้ลงในถุง ให้ฟองอากาศออกแล้วผนึกปิดถุง นำไปบ่มในที่มืด (ห้ามเย่า) ตั้งทิ้งไว้จนกว่าจะเกิดแทบสีชัดเจน (ประมาณ 1 ชั่วโมง – 16 ชั่วโมง) เมื่อเสร็จสิ้นการบ่มกับขับสเตรทแล้วนำเมมเบรนออกจากถุงพลาสติกมาล้างในน้ำกลืน ปลดประจุปลอกดีอิ๊ค เป็นเวลา 10 นาที ขับและหากให้แห้งจึงเก็บใส่ถุง



เอกสารอลให้แห้ง ละลายดีเย็นออกลับในน้ำปลอดประจุปลอดเทือบปริมาตร 20 ไมโครลิตร เก็บไว้ที่ อุณหภูมิ -20 °ช

### 3.9.2) การเตรียมพลาสมิดเวกเตอร์สำหรับการโคลน

#### 3.9.2.1) การสกัด การตัด และการทำพลาสมิดเวกเตอร์ให้บวตุธชี

สกัดพลาสมิด pGEM-3Zf(+-) หรือ พลาสมิด pBluescript KS(+-) (Stratagene) จาก *E. coli* DH5α ด้วยชุดสกัดพลาสมิดบرمาน้อย QIAprep Spin Miniprep Kit (Qiagen, Germany) (ภาชนะวาก ข3) ตามวิธีที่ระบุโดยบริษัทผู้ผลิต โดยเลี้ยง *E. coli* DH5α ที่ได้รับพลาสมิดดังกล่าวในอาหารเลี้ยงเชื้อเหลว LB ที่มีสารปฏิชีวนะแอมพิชิลิน ปริมาตร 5 มิลลิลิตร บ่ม เบี้ยงเบี้ยงที่อุณหภูมิ 37°ช ด้วยความเร็วรอบ 200 รอบต่อนาที เป็นเวลา 16-18 ชั่วโมง บีน เก็บเซลล์บرمาน้อย 5 มิลลิลิตร ในหลอดไมโครฟิว๊ดด้วยเบปฟเฟอร์ P1 ปริมาตร 250 ไมโครลิตร จากนั้นเติมเบปฟเฟอร์ P2 ปริมาตร 250 ไมโครลิตร ผสมโดยการกลับหลอดจนกระทั้งสาร แขวนลอยเริ่มนิดและใส่ขึ้นภายในระยะเวลาไม่เกิน 5 นาที จากนั้นเติมสารละลาย N3 ปริมาตร 350 ไมโครลิตร ผสมโดยกลับหลอดไปมาจนเกิดเป็นตะกอนขาว นำไปปั่นเหวี่ยงเพื่อให้ตะกอน ตกที่ความเร็ว 12,000 รอบต่อนาที เป็นเวลา 10 นาที ที่อุณหภูมิห้อง แยกส่วนน้ำใสลงใน QIAprep spin column นำไปปั่นเหวี่ยงด้วยความเร็ว 12,000 รอบต่อนาที ที่อุณหภูมิห้อง เป็น เวลา 1 นาที เทส่วนน้ำใสทิ้ง เติมเบปฟเฟอร์ PB ปริมาตร 500 ไมโครลิตร ลงในคอลัมน์ นำไปปั่น เหวี่ยงด้วยความเร็ว 12,000 รอบต่อนาทีที่อุณหภูมิห้อง เป็นเวลา 1 นาที เทส่วนน้ำใสทิ้ง เติม เบปฟเฟอร์ PE ปริมาตร 750 ไมโครลิตร ลงในคอลัมน์ นำไปปั่นเหวี่ยงด้วยความเร็ว 12,000 รอบ ต่อนาที เป็นเวลา 1 นาที ที่อุณหภูมิห้อง เทส่วนน้ำใสทิ้งก่อนทำการปั่นเหวี่ยงซ้ำอีกครั้งเพื่อกำจัด ส่วนน้ำใสที่เหลือติดคอลัมน์ ย้ายคอลัมน์มายังหลอดไมโครฟิว๊ดในม เติมน้ำปลอดประจุปลอด เทือหีบอฟเฟอร์ EB ปริมาตร 50-100 ไมโครลิตร ให้ลงตรงแผ่นกรอง ตั้งทิ้งไว้ 1 นาที นำไปปั่น เหวี่ยงด้วยความเร็ว 12,000 รอบต่อนาที เป็นเวลา 1 นาที ที่อุณหภูมิห้อง จะได้สารละลายพลาสมิด อยู่ในส่วนน้ำใส เก็บพลาสมิดที่อุณหภูมิ -20°ช

ตัวพลาสมิด pGEM-3Zf(+-) ด้วยเรสทริกชันเอนไซม์ *PstI/EcoRI* สำหรับการโคลน *rhIA* หรือตัวพลาสมิด pBluescript KS(+-) ด้วยเรสทริกชันเอนไซม์ *BamHI/XbaI* สำหรับการโคลน *rhIR* ตามวิธีในข้อ 3.8.2.2) แล้วนำพลาสมิดที่ตัดได้ไปทำอะกาโรสเจลอิเล็ก tro-ฟิลเตอร์ ตัดอะกาโรสเจลให้คุณตรงบริเวณที่มีริ้นเดื่อเอ็นเอ จากนั้นสกัดดีเอ็นเอออกจากอะกาโรสเจลด้วยวิธี Electroelution ตามวิธีการและขั้นตอนที่กล่าวในข้อ 3.9.1) ละลายพลาสมิดที่ได้ในน้ำปลอดประจุด้วยปริมาตรที่เหมาะสม

ส่วนพลาสมิด pBluescript KS(+-) ที่ตัดอย่างสมบูรณ์ด้วยเรสทริกชันเอนไซม์ *BamHI* ต้องเตรียมพลาสมิดดังกล่าวใน Tris-HCl ค่าความเป็นกรด-ด่างเท่ากับ 8.0 ก่อนจึงนำไปกำจัดหมู่ฟอสเฟต ตรวจป้ายสายพลาสมิดเดกเตอร์เพื่อป้องกันการเชื่อมกันของป้ายสายเดกเตอร์ซึ่งมีขั้นตอนดังนี้คือ นำพลาสมิดที่ตัดอย่างสมบูรณ์ดังกล่าวมาสกัดด้วยฟินอล/คลอโรฟอร์ม/ไอโซเอ็มแอลกอฮอล์ ตกตะกอนพลาสมิดแล้วล้างสายพลาสมิดที่ได้ใน Tris-HCl ค่าความเป็นกรด-ด่างเท่ากับ 8.0 ด้วยปริมาตรที่เหมาะสม (น้อยกว่าปริมาตรเริ่มต้นก่อนที่จะทำการสกัดด้วยฟินอล/คลอโรฟอร์ม/ไอโซเอ็มแอลกอฮอล์)

### 3.9.2.2) การกำจัดหมู่ฟอสเฟสตรงป้ายสายพลาสมิดเดกเตอร์

กำจัดหมู่ฟอสเฟสตรงป้ายสายพลาสมิดเดกเตอร์เพื่อป้องกันการเชื่อมกันของป้ายสายพลาสมิดเดกเตอร์ที่ถูกตัดให้เป็นป้ายเปิดด้วยเรสทริกชันเอนไซม์แล้ว โดยใช้แอลค้าไนน์ฟอสฟ่าเตส (Promega, USA) ตามวิธีของบริษัทผู้ผลิต โดยเริ่มจากการเจือจางแอลค้าไนน์ฟอสฟ่าเตสจากหลอดดังต้นความเข้มข้น 1 หน่วยต่อไมโครลิตร ให้ได้ความเข้มข้น 0.01 หน่วยต่อไมโครลิตร ด้วยการใช้ส่วนผสมของการเจือจางดังนี้

แอลค้าไนน์ฟอสฟ่าเตส 1 หน่วยต่อไมโครลิตร	1	ไมโครลิตร
10Xบีฟเฟอร์	10	ไมโครลิตร
น้ำปลอดประจุปลอดเชื้อ	89	ไมโครลิตร
ปริมาตรสุทธิ	100	ไมโครลิตร

ผสมให้เข้ากัน (ควรทำการเตรียมใหม่ก่อนใช้ทุกครั้งหรือเก็บรักษาไว้ได้ที่อุณหภูมิ -20°ฯ ไม่เกิน 1 สัปดาห์)





เติมสารละลาย  $MgSO_4/CaCl_2$  ที่เย็นปริมาตร 3.5 มิลลิลิตร ลงในตะกอนเซลล์แต่ละหลอดอีกครั้ง กระจายตะกอนให้เข้ากับสารละลาย  $MgSO_4/CaCl_2$  แล้วในอ่างน้ำแข็งเป็นเวลา 45 นาที หรือมากกว่า แล้วเติมกลีเซอรอลปลดดชื้อปริมาตร 875 ไมโครลิตร ผสมให้เข้ากันเบาๆ แบ่งใส่ในหลอดไนโตรบีร์ปลดดชื้อที่เย็นปริมาตรประมาณหลอดละ 100-300 ไมโครลิตร เก็บคอมพิเทนท์เซลล์ไว้ที่อุณหภูมิ  $-70^{\circ}C$

### 3.9.4.2) ทราบสฟอร์มรีคอมบิแนนท์พลาสมิดเข้าสู่เซลล์เจ้าบ้าน

ทราบสฟอร์มรีคอมบิแนนท์พลาสมิดจากข้อ 3.9.3) เข้าสู่คอมพิเทนท์เซลล์ *E. coli* DH5 $\alpha$  ด้วยวิธี Heat shock (Sambrook และ Russell, 2001) ดังนี้ นำคอมพิเทนท์เซลล์ *E. coli* DH5 $\alpha$  ที่เก็บไว้ที่อุณหภูมิ  $-70^{\circ}C$  มาแช่ในอ่างน้ำแข็งให้ละลายร้าว ใส่รีคอมบิแนนท์พลาสมิดที่ໄลเกทไว้ จากข้อ 3.9.3) ทั้งหมดลงในคอมพิเทนท์เซลล์ *E. coli* DH5 $\alpha$  ปริมาตร 100 ไมโครลิตร ผสมให้เข้ากันแล้วนำไปปั่นในอ่างน้ำแข็งเป็นเวลาอย่างน้อย 30 นาที ทำการ heat shock ที่อุณหภูมิ  $42^{\circ}C$  เป็นเวลา 90 วินาที เมื่อครบเวลาให้เหลืองในอ่างน้ำแข็งทันทีเป็นเวลา 2 นาที แล้วจึงเติมอาหารเหลว 2YT ปริมาตร 1 มิลลิลิตร ลงไปในหลอดชื้อ และนำไปปั่นที่อุณหภูมิ  $37^{\circ}C$  เป็นเวลาอย่างน้อย 1 ชั่วโมง

### 3.9.4.3) การคัดเลือกทราบสฟอร์แมนท์ (transformant) ที่มีรีคอมบิแนนท์พลาสมิดที่ต้องการ

คัดเลือกโดยในของ *E. coli* DH5 $\alpha$  ซึ่งมีรีคอมบิแนนท์พลาสมิดที่มี *rhlA* หรือ *rhlR* ด้วยวิธี Blue/White selection (Sambrook และ Russell, 2001) ทำโดยนำสารละลายแขวนลอยของ *E. coli* DH5 $\alpha$  ที่ทราบสฟอร์มรีคอมบิแนนท์พลาสมิดแล้วจากข้อ 3.9.4.2) ปริมาตร 100 ไมโครลิตร มาเกลี่ยลงบนอาหารเลี้ยงเชื้อแข็ง LB ซึ่งผสมสารปฏิชีวนะแอมพิชิลิน ความเข้มข้นสุดท้าย 100 ไมโครกรัมต่อมิลลิลิตร และเกลี่ยบนผิวอาหารด้วย X-gal (5-Bromo-4-chloro-3-indolyl- $\beta$ -D-galactoside) ความเข้มข้นสุดท้าย 50 มิลลิกรัมต่อมิลลิลิตร (ภาชนะวง ๑๒๗) ปริมาตร 50 ไมโครลิตร และ IPTG (Isopropyl thio- $\beta$ -D-galactoside) ความเข้มข้นสุดท้าย 1 ไมลาร์ (ภาชนะวง ๑๒๘) ปริมาตร 7 ไมโครลิตรไว้แล้ว หลังจากเกลี่ยเชื้อบ่มที่อุณหภูมิ  $37^{\circ}C$  เป็นเวลา 3 วันคืน



โดยใช้ผลิตภัณฑ์ที่ได้จากปฏิกริยาลูกชิ้นพอร์เมเรซของ *rhlA* หรือ *rhlR* เป็นตัวควบคุมผลบวก (positive control) และพลาสมิด เวกเตอร์ที่ใช้ในการโคลน เป็นตัวควบคุมผลลบ (negative control) เมื่อยieldตัวอย่างครบและแห้งแล้วนำเมมเบรนด้านที่มีดีเอ็นเอไปเผยต่อแสงอัลตราไวโอเลตประมาณ 3 นาที เพื่อต้องดีเอ็นเอให้ติดกับเมมเบรนแล้วนำไปไฮบริดิกับดีเอ็นเอติดตาม *rhlA* หรือ *rhlR* จากข้อ 3.8.1) ด้วยวิธีการและขั้นตอนที่กล่าวไว้แล้วในข้อ 3.8.3) เมื่อได้กลุ่มโคลนที่ให้ผลบวกกับดีเอ็นเอติดตามแล้วนำกลุ่มโคลนมาสกัดแยกรีคอมบินันท์พลาสมิด ของแต่ละโคลนแล้วนำไปทำ Dot blot hybridization ขั้้อกครัง เพื่อหาโคลนที่มีชิ้นดีเอ็นเอสอดแทรกที่ต้องการ จากนั้นนำรีคอมบินันท์ให้ผลบวกกับดีเอ็นเอติดตามไปตัดด้วยเรสทริกชันเอนไซม์ที่จะจำบริเวณที่โคลน (cloning site) และเรสทริกชันเอนไซม์บางชนิดเพื่อนำข้อมูลไปสร้างแผนที่เรสทริกชันของรีคอมบินันท์พลาสมิด

### 3.10 การหาลำดับนิวคลีโอไทด์ของยีน *rhlA* หรือ *rhlR* จากรีคอมบินันท์พลาสมิดและเปรียบเทียบลำดับนิวคลีโอไทด์ที่ได้กับลำดับนิวคลีโอไทด์ที่มีอยู่ใน GenBank

หาลำดับนิวคลีโอไทด์ของยีน *rhlA* หรือ *rhlR* ส่วนหนึ่งได้มาจากการลับโคลนและใช้ไฟร์เมอร์ที่จำเพาะกับลำดับนิวคลีโอไทด์ของพลาสมิดเวกเตอร์คือไฟร์เมอร์ T3 T7 SP6 และ M13 Forward ในกระบวนการหาลำดับนิวคลีโอไทด์ของชิ้นดีเอ็นเอแทรกสอด ส่วนที่เหลือได้จากการทำ primer working ไฟร์เมอร์ที่ใช้คือ RR-F N912r 1BF และ 2BR ไฟร์เมอร์ที่ใช้ดังกล่าวสังเคราะห์โดยหน่วยบริการชีวภาพ (BSU) สำนักงานพัฒนาวิทยาศาสตร์และเทคโนโลยีโลหะและ材料 (สวทช.) ซึ่งตัวอย่างดีเอ็นเอที่ใช้ในการหาลำดับนิวคลีโอไทด์ดังกล่าวคือ รีคอมบินันท์พลาสมิดในข้อ 3.9.4.3) ที่สกัดจาก *E. coli* DH5 $\alpha$  ด้วยชุดสกัดพลาสมิดปริมาณน้อย QIAprep Spin Miniprep Kit (Qiagen, Germany) และลายดีเอ็นเอด้วยน้ำปลอดประจุปลอกเชื้อ นำรีคอมบินันท์พลาสมิดที่เตรียมได้ดังกล่าวส่งวิเคราะห์หาลำดับนิวคลีโอไทด์ที่หน่วยบริการชีวภาพ(BSU) สำนักงานพัฒนาวิทยาศาสตร์และเทคโนโลยีโลหะและ材料 (สวทช.)

นำข้อมูลลำดับนิวคลีโอไทด์ของยีนที่เกี่ยวข้องกับการสังเคราะห์แรมในลิพิดที่ได้มาทำการวิเคราะห์ด้วยโปรแกรม DNASIS และนำไปเปรียบเทียบกับข้อมูลที่มีอยู่ใน GenBank ด้วยโปรแกรม BlastX version 2.2.9 ซึ่งเป็นโปรแกรมที่จะเปลี่ยนลำดับนิวคลีโอไทด์ให้เป็นลำดับกรดอะมิโนแล้วจึงนำข้อมูลส่วนที่เป็นลำดับกรดอะมิโนที่ได้เข้าไปเปรียบเทียบกับข้อมูลที่เป็นลำดับกรดอะมิโนของยีนที่มีอยู่ใน GenBank



บทที่ 4  
ผลการวิจัย

# ศูนย์วิทยทรัพยากร จุฬาลงกรณ์มหาวิทยาลัย

#### 4.1 การพิสูจน์ลักษณะ *Pseudomonas* sp. A41 โดยการวิเคราะห์ลำดับนิวคลีโอไทด์ของ 16S ribosomal DNA

อารีย์ กังจัน (2542) แยกแบคทีเรียจากน้ำในบริเวณอ่าวไทย จ. สมุทรสงคราม ที่มีความสามารถในการสร้างสารลดแรงตึงผิวชีวภาพที่ลดค่าแรงตึงผิวของน้ำจาก 72 mN/m ได้เป็น 29 mN/m ในภาวะที่ให้แหล่งในต่อเจนจำกัด นำแบคทีเรียตั้งกล่าวที่ได้ไปจำแนกชนิดทางอนุกรมวิธาน โดยการศึกษาลักษณะทางสัณฐานวิทยาและชีวเคมี พนว่าแบคทีเรียตั้งกล่าวตรงกับแบคทีเรียนิกตุล *Pseudomonas* และตั้งชื่อว่า *Pseudomonas* sp. A41

ได้ทำการจำแนกแบคทีเรีย *Pseudomonas* sp. A41 โดยอาศัยข้อมูลลำดับนิวคลีโอไทด์ 16 เอสไรบอสโซเมลตีเอ็นเอ (16S ribosomal DNA) ที่ได้จากปฏิกิริยาลูกโซ่เพอร์โอลิเมอเรส จากการทดลองในข้อ 3.6 พนว่าปฏิกิริยาลูกโซ่เพอร์โอลิเมอเรสที่ใช้ ไฟร์เมอร์ 27f และ 1492r จะให้ผลิตภัณฑ์จาก 16 เอสไรบอสโซเมลตีเอ็นเอขนาดประมาณ 1.5 กิโลเบสเมื่อเทียบกับชุดตีเอ็นเอมาตรฐาน (1 kb DNA ladder) จากนั้นหาลำดับนิวคลีโอไทด์ของผลิตภัณฑ์ที่ได้ด้วยไฟร์เมอร์ 27f 350f 1240r และ 1492r ได้ลำดับนิวคลีโอไทด์บางส่วนคือ 1430 bp นำไปวิเคราะห์โดยโปรแกรม BlastN เพื่อนำลำดับนิวคลีโอไทด์ไปเปรียบเทียบความเหมือนกับลำดับนิวคลีโอไทด์ต่างๆ ใน GenBank พนว่าแบคทีเรีย *Pseudomonas* sp. A41 มีลำดับนิวคลีโอไทด์ของ 16 เอสไรบอสโซเมลตีเอ็นเอคล้ายกับลำดับนิวคลีโอไทด์ 16 เอสไรบอสโซเมลตี อาร์เอ็นเอของสายพันธุ์ต่างๆ ดังแสดงในตารางที่ 4.1 ดังนี้

ตารางที่ 4.1 สายพันธุ์จุลินทรีย์ที่มีลำดับนิวคลีโอไทด์ของ 16S ribosomal RNA คล้ายกับลำดับนิวคลีโอไทด์ของ 16S ribosomal DNA ของ *Pseudomonas* sp. A41

ลำดับ	สายพันธุ์จุลินทรีย์	% ความ เหมือน	Accession number	เอกสารอ้างอิง
1	<i>Pseudomonas</i> sp. สายพันธุ์ OLB-1	100%	AJ387904	Wintzingerode และคณะ, 2000
2	<i>P. aeruginosa</i> สายพันธุ์ AL98	100%	AJ249451	Linos และคณะ, 2000
3	<i>P. aeruginosa</i> สายพันธุ์ PAO1	100%	AE004844	Stover และคณะ, 2000
4	<i>P. aeruginosa</i> สายพันธุ์ AU1971B	100%	AY486355	Spilker และคณะ, 2004
5	<i>P. aeruginosa</i> สายพันธุ์ T1	100%	AB119535	Hasanuzzaman และคณะ, 2004
6	<i>P. aeruginosa</i> สายพันธุ์ BHP7-6	100%	AY162139	Bodour และคณะ, 2003

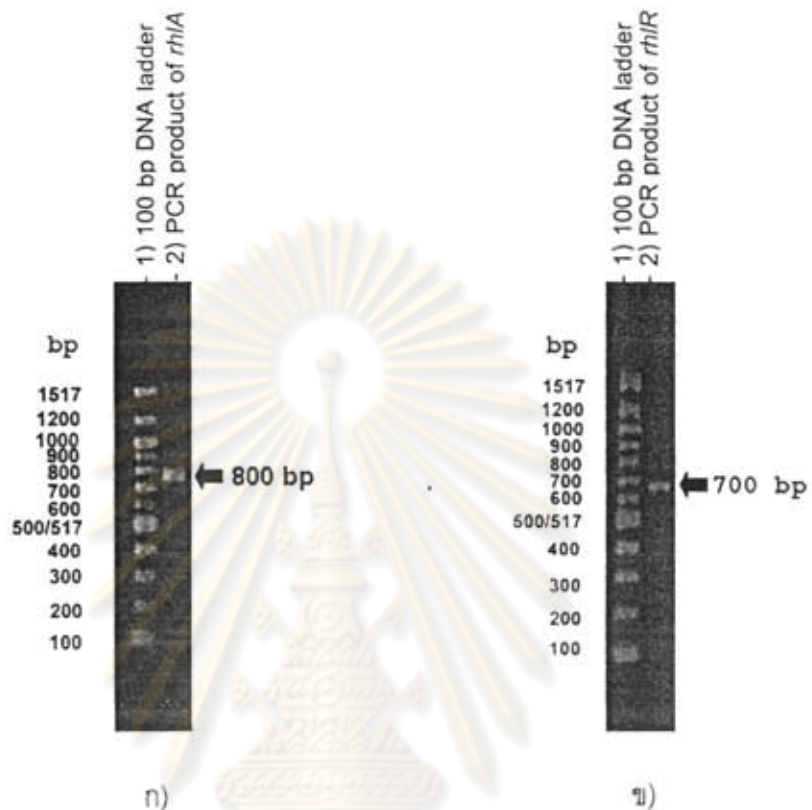
4.2 การเพิ่มจำนวน *rhlA* หรือ *rhlR* ชีงอยู่บนโครโนโซมของ *Pseudomonas sp.* A41 ด้วย ปฏิกิริยาลูกลิเซฟอลิเมอเรส

#### 4.2.1) การเพิ่มจำนวน *rhlA*

ในปฏิกิริยาลูกลิเซฟอลิเมอเรสที่ใช้ในการเพิ่มจำนวนยีน *rhlA* ของ *Pseudomonas sp.* A41 ให้ไพรเมอร์ RA-F และ RA-R ไพรเมอร์ดังกล่าวออกแบบจากการหาลำดับบริเวณอนุรักษ์ของยีน *rhlA* จากแบปค์ที่เรียกว่าสร้างแรมโนลิพิด 2 สายพันธุ์คือ *Pseudomonas aeruginosa* PAO1 (Stover และคณะ, 2000) และ *Pseudomonas aeruginosa* PG201 (Ochsner และคณะ, 1994a) โดยใช้โปรแกรม Blast ผลการวิเคราะห์แสดงในภาคผนวก ค1 และลำดับนิวคลีโอไทด์ ของไพรเมอร์ที่ออกแบบได้แสดงในตารางที่ 3.3 ทำปฏิกิริยาลูกลิเซฟอลิเมอเรสตามวิธีการที่กล่าวไว้ในข้อ 3.7.3 โดยใช้ดีเอ็นเอแม่แบบจากจีโนมิกตีเด็นเซของ *Pseudomonas sp.* A41

ผลิตภัณฑ์ PCR ที่ได้จากคู่ไพรเมอร์ RA-F และ RA-R มีขนาดประมาณ 800 bp เป็นไปตามที่คาดหมายดังแสดงในรูปที่ 4.1 จากนั้นหาลำดับนิวคลีโอไทด์ของผลิตภัณฑ์ PCR โดยใช้ไพรเมอร์ RA-F ได้ลำดับนิวคลีโอไทด์บางส่วน 405 bp นำไปเปรียบเทียบความคล้ายกับลำดับกรดอะมิโนในฐานข้อมูล GenBank ด้วยโปรแกรม BlastX version 2.2.9 พบว่าลำดับมีความเหมือนกับ rhamnosyltransferase 1 unit A (Rhl-A) ที่ระบุรหัสโดย *rhlA* ของ *Pseudomonas aeruginosa* PAO1 (Stover และคณะ, 2000) และ *Pseudomonas aeruginosa* PG201 (Ochsner และคณะ, 1994a) เท่ากับ 100% ดังแสดงในภาคผนวก ค3

**ศูนย์วิทยทรัพยากร  
จุฬาลงกรณ์มหาวิทยาลัย**



รูปที่ 4.1 อะก้าโรสเจลオリจีโนฟิเรซิสของผลิตภัณฑ์ PCR

ก) ลูกศรแสดงผลิตภัณฑ์ PCR จากไพร์เมอร์ RA-F และ RA-R

ข) ลูกศรแสดงผลิตภัณฑ์ PCR จากไพร์เมอร์ RR-F และ RR-R

## ศูนย์วิทยทรัพยากร จุฬาลงกรณ์มหาวิทยาลัย

### 4.2.2) การเพิ่มจำนวน *rhlR*

ในปฏิกริยาลูกโซ่เพลเมเนเรสท์ที่ใช้ในการเพิ่มจำนวนยีน *rhlR* ของ *Pseudomonas* sp. A41 ใช้ไพร์เมอร์ RR-F และ RR-R ไพร์เมอร์ดังกล่าวออกแบบจากการหาลำดับบีเวนอนุรักษ์ของยีน *rhlR* จากแบคทีเรียที่สร้างแรมโนลิพิด 2 สายพันธุ์คือ *Pseudomonas aeruginosa* PAO1 (Stover และคณะ, 2000) และ *Pseudomonas aeruginosa* PG201 (Ochsner และคณะ, 1994b) โดยใช้โปรแกรม Blast ผลการวิเคราะห์แสดงในภาคผนวก ค2 และลำดับนิวคลีโอไทด์ ของไพร์เมอร์ที่ออกแบบได้แสดงในตารางที่ 3.3 ทำปฏิกริยาลูกโซ่เพลเมเนเรสตามวิธีการที่กล่าวไว้ในข้อ 3.7.3) โดยใช้ตีเข็นເອມແບບจากจีโนਮิกตีเข็นເອຂອງ *Pseudomonas* sp. A41

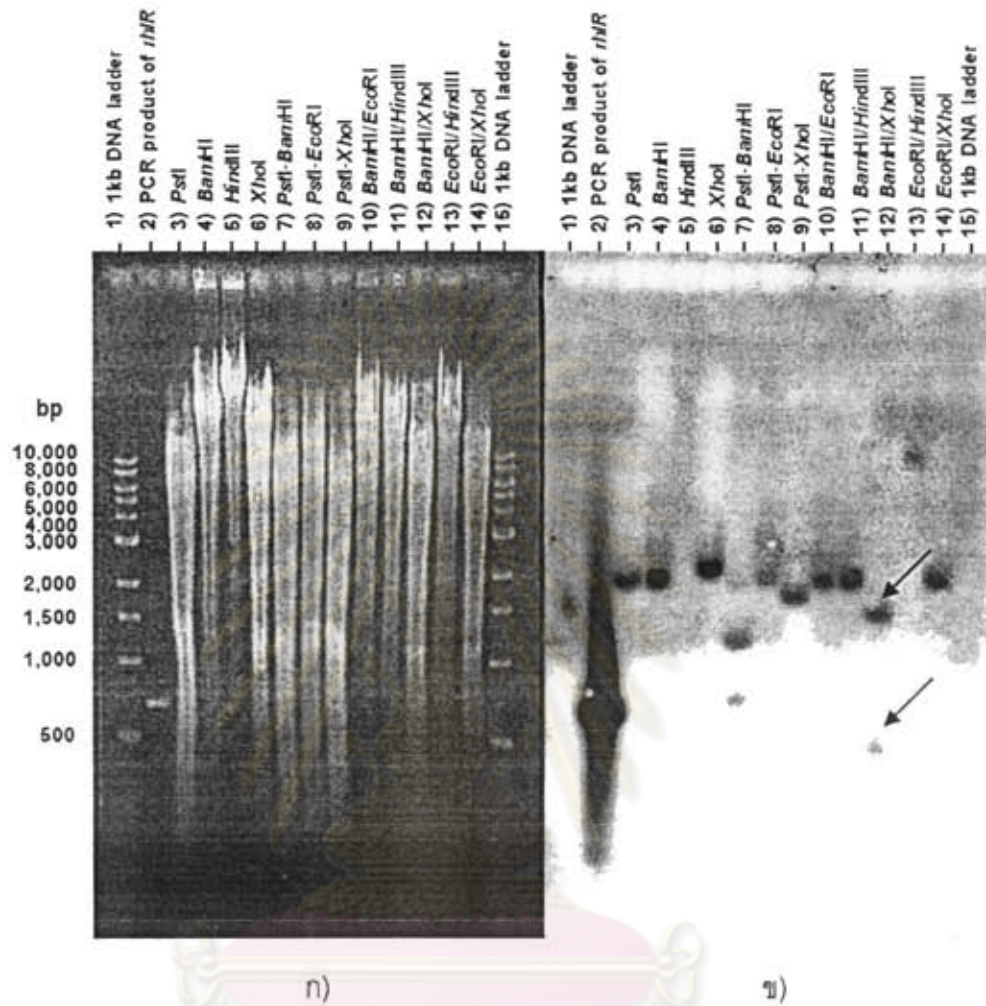
ผลิตภัณฑ์ PCR ที่ได้จากคู่ไฟร์เมอร์ RR-F และ RR-R มีขนาดประมาณ 700 bp เป็นไปตามที่คาดหมายดังแสดงในรูปที่ 4.1 จากนั้นนำลำดับนิวคลีโอไทด์ของผลิตภัณฑ์ PCR โดยใช้ไฟร์เมอร์ RR-F ได้ลำดับนิวคลีโอไทด์บางส่วน 200 bp นำไปเปรียบเทียบความคล้ายกับลำดับกรดอะมิโนในฐานข้อมูล GenBank ด้วยโปรแกรม BlastX version 2.2.9 พบว่ามีความคล้ายกับ RhIR ซึ่งเป็นโปรตีนที่ควบคุมการถอดรหัสของ *rhIAB* ระบุรหัสโดย *rhIR* ของ *Pseudomonas aeruginosa* PAO1 (Stover และคณะ, 2000) และ *Pseudomonas aeruginosa* PG201 (Ochsner และคณะ, 1994b) เท่ากับ 100% ดังแสดงในภาคผนวก ค4

ผลิตภัณฑ์ PCR ที่ได้จากคู่ไฟร์เมอร์ RA-F และ RA-R หรือ RR-F และ RR-R ดังกล่าวซึ่งพิสูจน์แล้วว่ามีความเหมือนกับลำดับนิวคลีโอไทด์ที่ระบุรหัส rhamnosyltransferase 1 unit A ที่ระบุรหัสโดย *rhIA* หรือ RhIR ซึ่งเป็นโปรตีนควบคุมการถอดรหัสของ *rhIAB* ระบุรหัสโดย *rhIR* ตามลำดับ จะถูกใช้เป็นดีเอ็นเอแม่แบบในการสร้างดีเอ็นเอติดตาม *rhIA* หรือ *rhIR* บนโครโนไซม์ของ *Pseudomonas* sp. A41 โดยการติดฉลากดีเอ็นเอติดตามด้วย digoxigenin-dUTP ด้วยวิธี random labeling ตามขั้นตอนในข้อ 3.8.1 และตั้งชื่อว่า *rhIA*-probe หรือ *rhIR*-probe ตามลำดับ

#### 4.3 การค้นหาชิ้นส่วนของดีเอ็นเอบนโครโนไซม์ของ *Pseudomonas* sp. A41 ที่มี *rhIR* ด้วยเทคนิคไฮบริไดเซชัน (hybridization)

ตัดจีโนมดีเอ็นเอของ *Pseudomonas* sp. A41 อย่างสมบูรณ์ด้วยเรสทริกชันเอนไซม์ต่างๆ ดังแสดงในรูปที่ 4.2 ก) ทำไฮบริไดเซชันกับดีเอ็นเอติดตาม *rhIR* ผลไฮบริไดเซชันได้แสดงในรูปที่ 4.2

## จุฬาลงกรณ์มหาวิทยาลัย

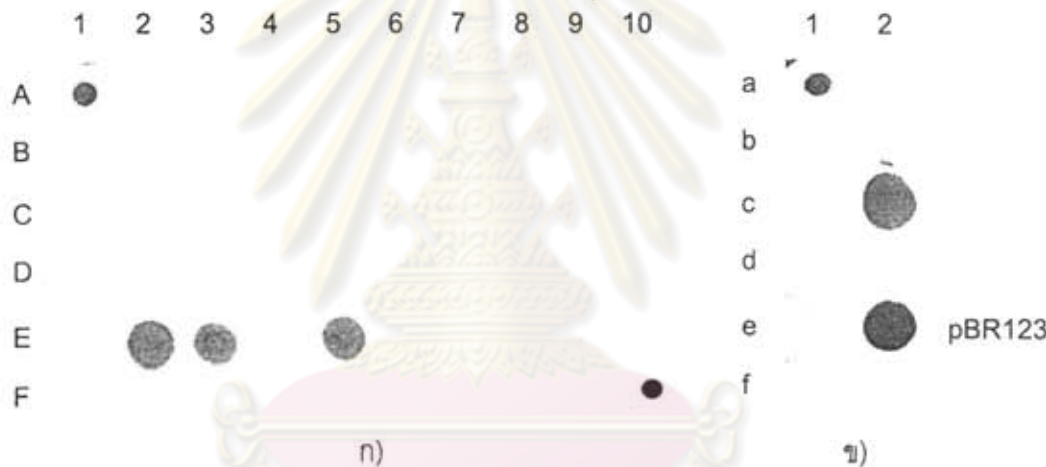


รูปที่ 4.2 ง) อะการอยส์เจลที่มีดีเอ็นเอของ *Pseudomonas* sp. A41 ที่ตัดด้วยเรสทริกชัน เอ็นไซม์ชนิดต่างๆ ข) สัญญาณจากเซาท์เออร์นไบบริடีเซชันด้วยดีเอ็นเอติดตาม *rhIR*

#### 4.4 การโคลนชิ้นดีเอ็นเอของ *Pseudomonas* sp. A41 ที่มี *rhIR*

จากผลการทดลองข้อ 4.3 ทำให้ทราบขนาดดีเอ็นเอของ *Pseudomonas* sp. A41 ที่มี *rhIR* อยู่ ดังนั้นจึงเลือกเรสทริกชันขนาดใหญ่ที่ใช้ในการโคลนคือ *BamHI-XbaI* ซึ่งตัดจีโนมิกดีเอ็นเอของสายพันธุ์ A41 โดยให้สัญญาณขนาด 1.5 และ 0.5 กิโลเบต จากนั้นนำชิ้นดีเอ็นเอทั้งสองชิ้น ดังกล่าวแยกโคลนเข้า pBluescript KS(+-) ตามวิธีที่กล่าวไว้ในข้อ 3.9 จากนั้นทราบส่วนของ ชิ้นเข้าสู่ *E. coli* DH5 $\alpha$

การคัดเลือกโคลนที่ได้รับดีเอ็นเอขนาด 1.5 หรือ 0.5 กิโลเบส ซึ่งมี *rh/R* อยู่ โดยวิธี Blue/White selection คัดเลือกเฉพาะโคลนที่มีสีขาวซึ่งเป็นโคลนที่มีรับดีเอ็นเอสอดแทรก (insert) เข้ามกับพลาสมิดเวกเตอร์และต้านต่อยาปฏิชีวนะแอมพิชิลิน คัดเลือกโคลนดังกล่าวมาทดสอบโดยสุ่มผสมโคลนทั้งหมด 10 โคลนต่ออาหารเลี้ยงเชื้อเหลว LB 1 หลอด สร้างรีคอม-บิแวนท์พลาสมิดจากแต่ละหลอดอาหารเลี้ยงเชื้อ จากนั้นนำพลาสมิดเหล่านั้นมาทำ Dot blot hybridization ด้วยตีเข็มເອົດຕາມ *rh/R* ตามวิธีที่ได้กล่าวไว้ในข้อ 3.9.4.3) ผลสัญญาณจากการไอยوبرิท์ของโคลนที่ได้รับดีเอ็นเอขนาด 1.5 หรือ 0.5 กิโลเบส ซึ่งมียืน *rh/R* อยู่ เป็นไปตามรูปที่ 4.3 หรือ 4.4 ตามลำดับ



รูปที่ 4.3 n) Dot blot hybridization ของรีคอมบิแวนท์พลาสมิดที่มีรับดีเอ็นเอของ *Pseudomonas* sp. A41 ขนาด 1.5 กิโลเบสอยู่ ด้วยตีเข็มເອົດຕາມ *rh/R* x) Dot blot hybridization ของรีคอมบิแวนท์พลาสมิดของโคลนจากตัวอย่างกลุ่ม E2 ด้วยตีเข็มເອົດຕາມ *rh/R*

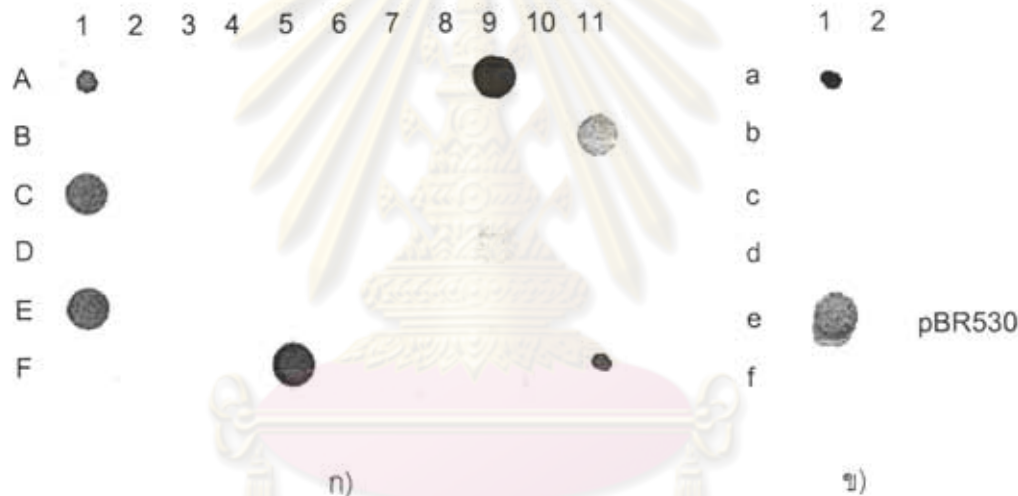
ช่องที่ A1 F10 และ a1 ผลิตภัณฑ์ PCR ของยืน *rh/R* (ตัวควบคุมผลบาง)

ช่องที่ A2 F9 และ a2 พลาสมิด pBluescript KS(+-) (ตัวควบคุมผลลบ)

ช่องที่ A3-F8 รีคอมบิแวนท์พลาสมิดของโคลนผสม

ช่องที่ b1-f2 รีคอมบิแวนท์พลาสมิดของโคลนจากตัวอย่างกลุ่ม E2

จากสัญญาณที่ปรากฏขึ้นในรูปที่ 4.3 แสดงว่าในโคลนที่ได้รับขึ้นดีเย็นขนาด 1.5 กิโลเบส มีดีเย็นเอท์ต้องการ (positive clone) อยู่ในกลุ่มตัวอย่าง 4 กลุ่มคือ ตัวอย่างกลุ่ม C2 E2 E3 และ E5 ดังแสดงในรูปที่ 4.3 n) คัดเลือกด้วยตัวอย่างกลุ่ม E2 ซึ่งประกอบด้วยโคลนต่างๆ 10 โคลน มาแยกให้ได้โคลนที่มีชิ้นดีเย็นเอท์ต้องการ โดยการแยกเพาะเลี้ยงแต่ละโคลนในอาหาร เลี้ยงเชื้อและสกัดพลาสมิดด้วยวิธี alkaline lysis จากนั้นนำพลาสมิดเหล่านั้นมาทำ Dot blot hybridization ด้วยดีเย็นเอติดตาม *rhlR* อีกครั้ง พบว่าโคลนที่ c2 และ e2 ให้ผลบวกหลังจาก ทำไอยوبرิಡเรชัน แสดงว่าโคลนดังกล่าวมีชิ้นดีเย็นเอท์ต้องการ จึงเลือกโคลน e2 มาศึกษา และ ดังรูป พลาสมิดนี้ว่า pBR123 ดังแสดงในรูปที่ 4.3 x)



รูปที่ 4.4 n) Dot blot hybridization ของรีคอมบิแนนท์พลาสมิดที่มีชิ้นดีเย็นของ *Pseudomonas sp. A41* ขนาด 0.5 กิโลเบสอยู่ ด้วยดีเย็นเอติดตาม *rhlR* x) Dot blot hybridization ของรีคอมบิแนนท์พลาสมิดของโคลนจากตัวอย่างกลุ่ม A9 ด้วยดีเย็นเอติดตาม *rhlR*

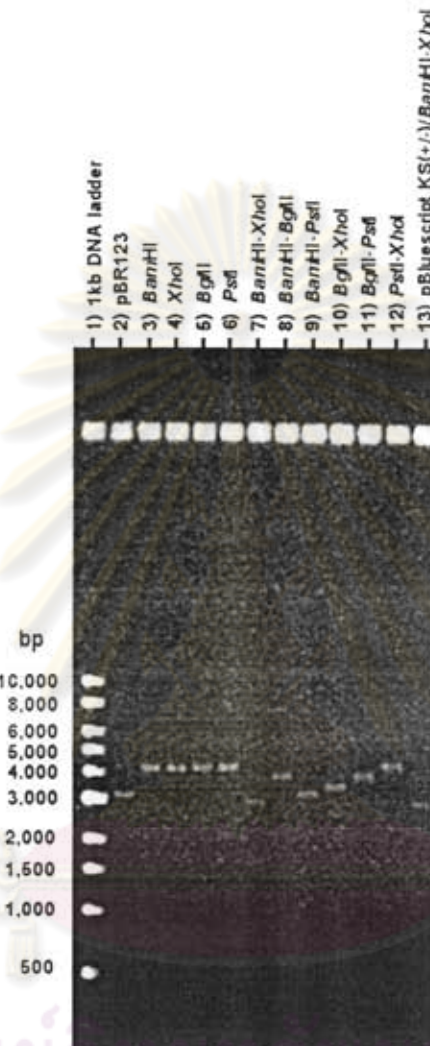
ช่องที่ A1-F11 และ a1	ผลิตภัณฑ์ PCR ของยีน <i>rhlR</i> (ตัวควบคุมผลบวก)
ช่องที่ A2-F10 และ a2	พลาสมิด pBluescript KS(+-) (ตัวควบคุมผลลบ)
ช่องที่ A3-F9 และ b1-f2	รีคอมบิแนนท์พลาสมิดของโคลนผสม
ช่องที่ b1-f2	รีคอมบิแนนท์พลาสมิดของโคลนจากตัวอย่างกลุ่ม A9

จากสัญญาณที่ปรากฏขึ้นในรูปที่ 4.4 แสดงว่าในโคลนที่ได้รับชิ้นดีเอ็นเอขนาด 0.5 กิโลเบต มีดีเอ็นเอที่ต้องการ (positive clone) อยู่ในกลุ่มตัวอย่าง 6 กลุ่มคือ ตัวอย่างกลุ่ม A9 B11 C1 D9 E1 และ F5 ดังแสดงในรูปที่ 4.4 ก) คัดเลือกตัวอย่างกลุ่ม A9 ซึ่งประกอบด้วยโคลนต่างๆ 10 โคลน มาแยกให้ได้โคลนที่มีชิ้นดีเอ็นเอที่ต้องการ โดยการแยกเพาะเลี้ยงแต่ละโคลนในอาหารเลี้ยงเชื้อและสกัดพลาสมิดด้วยวิธี alkaline lysis จากนั้นนำพลาสมิดเหล่านั้นมาทำ Dot blot hybridization ด้วยดีเอ็นเอติดตาม rhl/R อีกครั้ง พบร่วมกับโคลนที่ e1 ให้ผลบวกหลังจากทำไนโบวิโดเซ็ชัน แสดงว่าโคลนดังกล่าวมีชิ้นดีเอ็นเอที่ต้องการจึงเลือกโคลน e1 มาศึกษา และดังชื่อพลาสมิดนี้ว่า pBR530 ดังแสดงในรูปที่ 4.4 ข)

ทำการตัดพลาสมิด pBR123 ด้วยเรสทริกชันเอนไซม์บางชนิด ดังแสดงในรูปที่ 4.5 เพื่อทราบการจัดเรียงตัวของชิ้นดีเอ็นเอสอดแทรกในพลาสมิด จากนั้นนำข้อมูลดังกล่าวไปสร้างแม่น้ำเรสทริกชันของรีคอมบิแนทพลาสมิดดังแสดงในรูปที่ 4.6 ส่วนพลาสมิด pBR530 มีชิ้นดีเอ็นเอที่สอดแทรกขนาดเล็กดังนั้นไม่จำเป็นต้องทราบการจัดเรียงตัวของชิ้นดีเอ็นเอก็สามารถนำไปหาลำดับ นิวคลีโอไทด์โดยใช้ universal primer ได้



# ศูนย์วิทยทรัพยากร จุฬาลงกรณ์มหาวิทยาลัย



## ศูนย์ทดสอบการ จุฬาลงกรณ์มหาวิทยาลัย

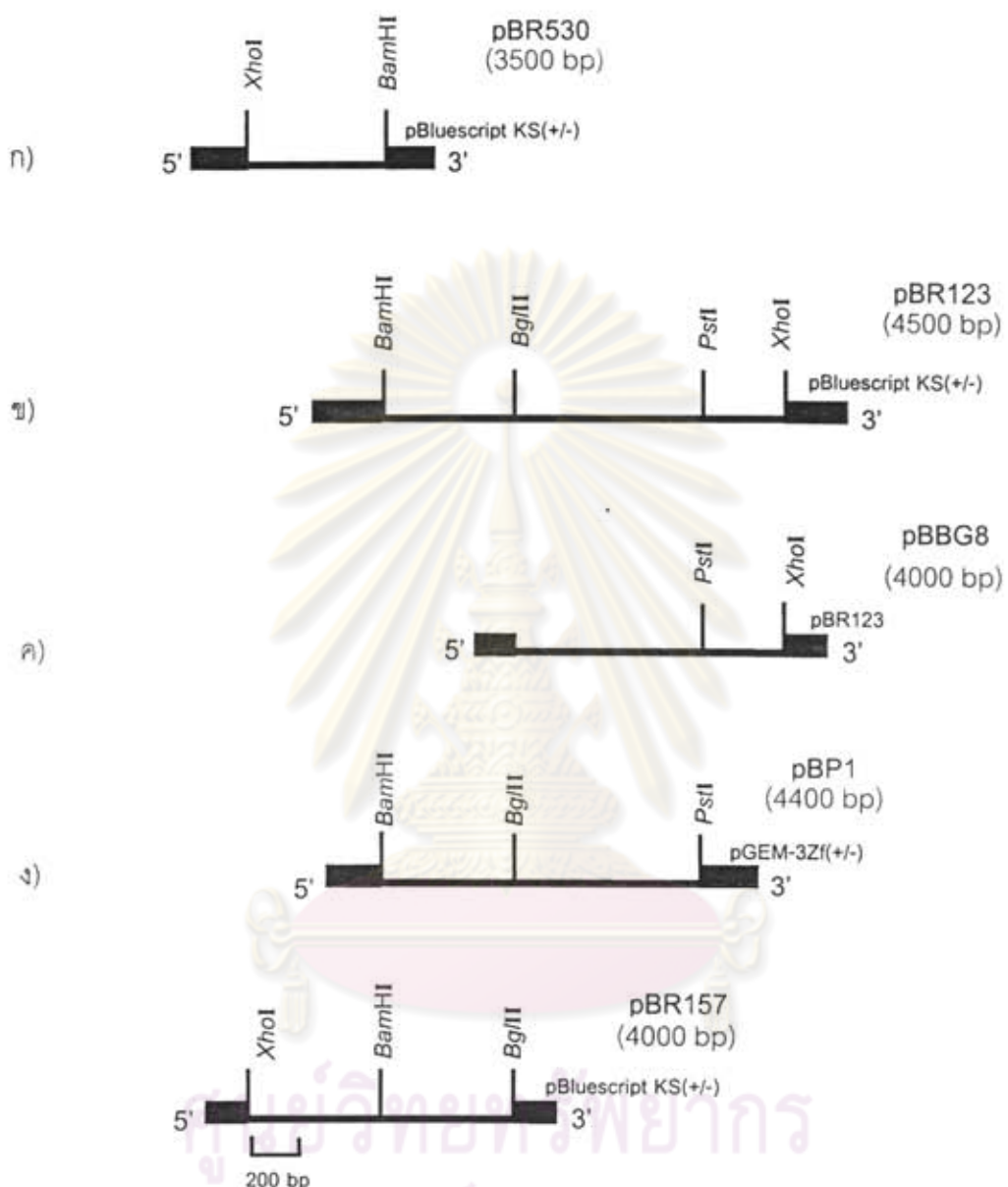
รูปที่ 4.5 ภาพของการถอดเอ็นโซล่าส์ของพลาสมิด pBR123 ที่ตัดด้วยเรสทริกชันเอนไซม์ ชนิดต่างๆ เพื่อนำมาดำเนินการจัดเรียงตัวของชิ้นดีเอ็นเอสอดแทรก

ช่องว่างที่ 1 1 kb DNA ladder

ช่องว่างที่ 2 พลาสมิด pBR123

ช่องว่างที่ 3-12 พลาสมิด pBR123 ที่ตัดด้วยเรสทริกชันเอนไซม์

ช่องว่างที่ 13 พลาสมิด pBluescript KS(+-) ที่ตัดด้วยเรสทริกชันเอนไซม์ BamHI-XbaI



รูปที่ 4.6 ก) แผนที่เรสทริกชัน (restriction map) ของรีคอมบิแนนต์พลาสมิด pBR530 ข) รีคอมบิแนนต์พลาสมิด pBR123 ค) รีคอมบิแนนต์พลาสมิด pBBG8 ก) รีคอมบิแนนต์พลาสมิด pBP1 ได้จากการสับโคลนชิ้นดีเอ็นเอสอดแทรกของพลาสมิด pBR123 ก) แผนที่เรสทริกชันบนไชม์ของพลาสมิด pBR157

จากการทำแผนที่ рестกิริกชันของรีคอมบิแนนท์พลาสมิด pBR123 จะสามารถหาดูตัวชี้ของ рестกิริกชันเอนไซม์บนรีคอมบิแนนท์พลาสมิด pBR123 ได้ดังแสดงในรูปที่ 4.6 ข) ซึ่งให้เป็นข้อมูลในการสับโคลนได้คือ ให้рестกิริกชันเอนไซม์ *BamHI-BgII* ตัดรีคอมบิแนนท์พลาสมิด pBR123 จากนั้นนำมาเชื่อมปลายเกกเตอร์เข้าด้วยกันแล้วทราบสฟอร์มเข้าสู่ *E. coli* DH5 $\alpha$  เรียกรีคอมบิแนนท์พลาสมิดที่โคลนได้นี้ว่า pBBG8 ดังแสดงในรูปที่ 4.6 ค) นอกจากนี้ยังทำการสับโคลนรีคอมบิแนนท์พลาสมิด pBP1 ดังแสดงในรูปที่ 4.6 ง) ทำโดยตัดชิ้นดีเอ็นเอ *PstI-XbaI* ออกจากรีคอมบิแนนท์พลาสมิด pBR123 จากนั้นนำชิ้นดีเอ็นเอ *PstI-XbaI* ที่ตัดได้ดังกล่าวแยกโคลนเข้า pGEM-3Zf(+/-) ตามวิธีที่กล่าวไว้ในข้อ 3.9 จากนั้นทราบสฟอร์มเข้าสู่ *E. coli* DH5 $\alpha$  เมื่อได้สับโคลนที่ต้องการหั้งสองแล้วนั้นคือ pBBG8 และ pBP1 แล้วจึงนำไปหาลำดับนิวคลีโอไทด์โดยใช้ทั้งวิธี primer walking และ universal primer ดังอย่างในข้อ 4.5

#### 4.5 การหาลำดับนิวคลีโอไทด์ของชิ้นดีเอ็นเอที่สอดแทรกอยู่ใน pBR123 และ pBR530

จากการหาลำดับนิวคลีโอไทด์โดยใช้ทั้งวิธี primer walking ซึ่งเป็นการออกแบบไฟร์เมอร์ที่จำเพาะกับลำดับนิวคลีโอไทด์ส่วนที่ทราบแล้วเพื่อหาลำดับนิวคลีโอไทด์ต่อจากบริเวณดังกล่าว และอีกวิธีหนึ่งคือ การหาลำดับนิวคลีโอไทด์ด้วย universal primer ที่จำเพาะกับลำดับนิวคลีโอไทด์ปลายด้านได้ด้านหนึ่งของพลาสมิดเกกเตอร์ในรีคอมบิแนนท์พลาสมิด พนวจ ลำดับนิวคลีโอไทด์ที่อยู่ภายในชิ้นดีเอ็นเอสอดแทรกของรีคอมบิแนนท์พลาสมิด pBR123 มีขนาด 1531 bp ซึ่งได้จากการใช้ไฟร์เมอร์ T3 T7 และ RF1 กับ pBR123 ให้ ไฟร์เมอร์ T7 กับ pBBG8 และใช้ไฟร์เมอร์ SP6 กับ pBP1 ข้อมูลลำดับนิวคลีโอไทด์ทั้งหมดได้แสดงไว้ในรูปที่ 4.7 ซึ่งเมื่อนำไปเทียบความคล้ายของข้อมูลลำดับนิวคลีโอไทด์กับลำดับกรดอะมิโนของยีนใน GenBank ด้วยโปรแกรม BlastX version 2.2.9 ซึ่งจะทำการแปลงลำดับนิวคลีโอไทด์ ดังกล่าวให้เป็นลำดับกรดอะมิโนใน จาคนั้นนำลำดับกรดอะมิโนที่ได้ไปเทียบความคล้ายคลึงกับกรดอะมิโนของยีนต่างๆใน GenBank พนกรอบอ่านรหัสเปิด (Open Reading Frame, ORF) จำนวน 2 กรอบมีทิศทางการอ่านรหัสไปทางเดียวกันเรียงตามลำดับดังต่อไปนี้ กรอบอ่านรหัสเปิดแรกประกอบด้วย 161 ลำดับกรดอะมิโน พบรหัสหยุด (stop codon) แต่ไม่พบกรดอะมิโนเมธิโอนีนที่ตำแหน่งที่ 1 ของ ORF (start codon) จึงทำให้กรอบอ่านรหัสนี้ไม่สมบูรณ์ ลำดับนิวคลีโอไทด์ซึ่งถูกกรดอะมิโนคล้ายกับ transcriptional regulator RhlR ในลำดับกรดอะมิโนตัวที่ 81-229 เท่ากับ 100% ของ *Pseudomonas aeruginosa* PAO1 (Stover และคณะ,



887	CGACGACCGACGCCAACGCTAAGGAAGTCTTCGCTAACCTGTGCAGCGAAACCCCGC
75	T T D A Y L L K E V F A Y L C S E T P P
947	CCAGCGATCCGTCGGTCTGGGAGCTTCGCGTTACGCCGAGCGCGGCGGAGCATCCGC
95	S D P S V W E L S R Y A A S A A D D P Q
1007	AACTGGCGATGAAGATATTCTGGTCCAGCCTGCAATGCGCCTGGTACCTGGCGCCAGTT
115	L A M K I F W S S L Q C A W Y L G A S S
1067	CGGTGGTGGCGGTGACCAACCACGCCATGGAGCGCTATTCGTTGCAACGGCGTGATCC
135	V V A V T T T A M E R Y F V R N G V I L
1127	TCCAGCCCTCGGCCGCCCGCAGAAGGTCAAGGGCGAGACGCTGGTCGCGATCAGCTTCC
155	Q R L G P P Q K V K G E T L V A I S F P
1187	CGGCCTACCAGGAGCCGCGCCCTGGAGATGCTGCTGCGCTACCAACCCCGAATGGCTGCAGG
175	A Y Q E R G L E M L L R Y H P E W L Q G
1247	GCGTACCGCTGTCGATGGCGGT <u>TGA</u> GGTCGTCAGCCGTTTCGCGCACTTTTCCGCTT
195	V P L S M A V *
1307	CTCCCTGCCGATGCTCGGCCCCGCCGTATCGGGCGTTCCCTGCATTCCGGGA
1367	TTTGGCCGCGGCTGCCGACTTGCGTAGTCCTCTGCCGGTCCGCCATCCGAGGAGTCGCC
1427	ATGCCGAAGTCATTCCGCCATCTCGCCAGGCCCTGCCCTGCCCTGCGCTGCCAGC
1487	GCCAGCCTCCAGGCGCAGGAGAGCCGCCCTGACCGCATCCTCGAG 3'

รูปที่ 4.7 ลำดับนิวคลีโอไทด์ของชิ้นดีเอ็นเอสอดแทรกของรีคอมบิแนนท์พลาสมิด pBR123 มีขนาด 1531 bp ซึ่งได้จากการใช้ไฟร์เมอร์ T3 T7 และ RF1 กับรีคอมบิแนนท์พลาสมิด pBR123 ใช้ไฟร์เมอร์ T7 กับรีคอมบิแนนท์พลาสมิด pBBG8 และใช้ไฟร์เมอร์ SP6 กับรีคอมบิแนนท์พลาสมิด pBP1

การหาลำดับนิวคลีโอไทด์ของชิ้นดีเอ็นเอสอดแทรกของรีคอมบิแนนท์พลาสมิด pBR530โดยใช้ universal primer T3 และ T7 ที่จำเพาะกับปลายด้านใต้ด้านหนึ่งของพลาสมิดเวกเตอร์ในรีคอมบิแนนท์พลาสมิด พบจำนวนชิ้นดีเอ็นเอสอดแทรกขนาด 513 bp ซึ่งข้อมูลลำดับนิวคลีโอไทด์ทั้งหมดได้แสดงไว้ในรูปที่ 4.8 และเมื่อนำไปเทียบความคล้ายของข้อมูลลำดับนิวคลีโอไทด์กับลำดับกรดอะมิโนของยีนใน GenBank ด้วยโปรแกรม BlastX version 2.2.9 พบกรอบอ่านรหัสเปิด 2 กรอบที่ไม่สมบูรณ์มีทิศทางการอ่านรหัสไปทางเดียวกันเรียงตามลำดับดังต่อไปนี้ กรอบอ่านรหัสเปิดแรกไม่สมบูรณ์ เพราะไม่พบกรดอะมิโนเมธิโอลีนที่ตำแหน่งที่ 1 ของ ORF (start codon) ประกอบด้วย 47 ลำดับกรดอะมิโน มีความคล้ายกับกรดอะมิโนที่ 380-426 ของ rhamnosyltransferase 1 chain B ของ *Pseudomonas aeruginosa* PAO1 (Stover และคณะ,2000) และ *Pseudomonas aeruginosa* PG201 (Ochsner และคณะ, 1994a) เท่ากับ

100% ซึ่งถอดรหัสจาก *rhlB* ตัดไปทางปลาย 3' จะพบกรอบอ่านรหัสเปิดที่ 2 ไม่สมบูรณ์ เช่นกัน เพราะไม่พบรหัสหยุด (stop codon) ประกอบด้วย 81 ลำดับกรดอะมิโน มีความคล้ายกับ กรดอะมิโนที่ 1-81 ของ transcriptional regulator RhIR ที่ถอดรหัสมาจาก *rhlR* ของ *Pseudomonas aeruginosa PAO1* (Stover และคณะ, 2000) และ *Pseudomonas aeruginosa PG201* (Ochsner และคณะ, 1994b) เท่ากับ 100%

		ORF1 ( <i>rhlB</i> ) →
1		CTCGAGGACCCGG
380		L E D P A
14	CCATGGCGGCCGCTGTCCGGCGTTCATGGAATTGTACAAACCGCACAGTATCGCTTGCG	
385	M A A A C R R F M E L S Q P H S I A C G	
74	GTAAGCGGCCAGGTGGTCGAACGTTGTCAAGGGAGGGGATGCGCGATGGCTGAAGG	
405	K A A Q V V E R C H R E G D A R W L K A	
134	CTGCGTCC <u>TGA</u> ACGGTGCTGCATAACAGATAGGGTTGCCATGATTTGCCGTATCGGCA	
425	A S *	
194	AGGCTGCGCGCTTGACAGCGTCATACCCCGGCCAATTCTGCTGTGATGCATTTATCGA	
		ORF2 ( <i>rhlR</i> ) →
254	TCAGGGCTTACTGCA <u>ATGAGGAATGACGGAGGCT</u> TTTGCTGTGGTGGACGGTTGCGT	
1	M R N D G G A L L L W W D G L R	
314	AGCGAGATGCAGCCGATCCACGACAGCCAGGGCGTGGCGCCCTGGAAAAGGAAGTG	
16	S E M Q P I H D S Q G V F A V L E K E V	
374	CGGCGCTGGCTTCGATTACTACGCCATGGCGTGCCTACGATTCCCTCACCCGG	
36	R R L G F D Y Y A Y G V R H T I P E T R	
434	CCGAAGACCGAGGTCCATGGCACCTATCCCAAGGCCTGGCTGGAGCGATACCAGATGCAG	
56	P K T E V H G T Y P K A W L E R Y Q M Q	
494	AACTACGGGGCCGTGGATCC	
76	N Y G A V D	

รูปที่ 4.8 ลำดับนิวคลีโอไทด์ของชิ้นดีเอ็นเอกสโตร์กขนาด 513 bp ของรีคอมบิแนนท์ พลasmid pBR530 โดยใช้ universal primer T3 และ T7

จากการนำลำดับนิวคลีโอไทด์และเปรียบเทียบความคล้ายของชิ้นดีเอ็นเอกสารกสอดใน รีคอมบิแนนท์พลาสมิด pBR123 และ pBR530 กับลำดับกรดอะมิโนของยีนใน GenBank พบร่วมปลาย 3' ของชิ้นดีเอ็นเอกสารกสอดใน pBR530 คล้ายกับกรดอะมิโน transcriptional regulator RhIR ตัวที่ 1-81 ส่วนปลาย 5' ของชิ้นดีเอ็นเอกสารกสอดใน pBR123 พบร่วมคล้ายกับ

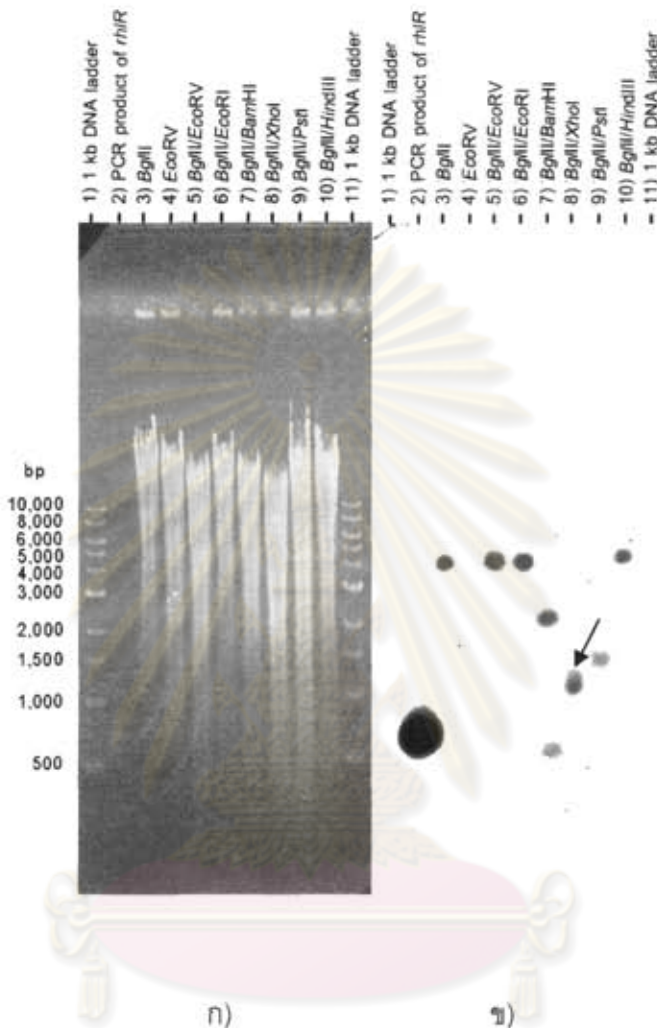
การจะมีใน transcriptional regulator RhIR ตัวที่ 81-229 แสดงให้เห็นว่าชิ้นดีเอ็นเอแทรกส์ตอดในรีคอมบิแนทพลาสมิดทั้งสองน้ำจะต่อ กันโดยชิ้นดีเอ็นเอแทรกส์ตอดใน pBR530 น้ำจะเรียงตัวอยู่หน้าชิ้นดีเอ็นเอแทรกส์ตอดใน pBR123 ดังนั้นเพื่อเป็นการยืนยันว่าชิ้นดีเอ็นแทรกส์ตอดทั้งสองเรื่อมต่อ กันจึงต้องหาลำดับนิวคลีโอไทด์ของชิ้นดีเอ็นเอของ *Pseudomonas* sp. A41 ที่ครอบคลุมบริเวณเรื่อมต่อดังกล่าว

#### 4.6 การค้นหาชิ้นส่วนดีเอ็นเอบนโครงโน้มของ *Pseudomonas* sp. A41 ที่ครอบคลุมยัง *rhlR* ด้วยเทคนิคไฮบริไดเซชัน (hybridization)

การหาลำดับนิวคลีโอไทด์ที่ครอบคลุมบริเวณเรื่อมต่อของชิ้นดีเอ็นเอแทรกส์ตอดใน pBR123 และ pBR530 ได้นั้นต้องค้นหาและโคลนชิ้นส่วนดีเอ็นเอของ *Pseudomonas* sp. A41 ที่ครอบคลุมยัง *rhlR* ซึ่งมีส่วนเรื่อมต่อดังกล่าวอยู่ภายในให้ได้ก่อนจึงนำมาลำดับนิวคลีโอไทด์

ตัดชิ้นดีเอ็นเอของ *Pseudomonas* sp. A41 อย่างสมบูรณ์ด้วยเรสทริกชัน.enz. ตามที่ระบุไว้ในรูปที่ 4.9 ก) ผลไฮบริไดเซชันกับดีเอ็นเอติดตาม *rhlR* เป็นดังที่แสดงในรูปที่ 4.9 ข) พบว่าเกิดสัญญาณไฮบริไดซ์ต่างกัน ชิ้นผลิตภัณฑ์ PCR จากการเพิ่มจำนวน *rhlR* บนชิ้นดีเอ็นเอขนาดประมาณ 700 bp ซึ่งเป็นดีเอ็นเอที่นำไปสร้างเป็นดีเอ็นเอติดตาม *rhlR* (*rhlR*-probe)

**ศูนย์วิทยทรัพยากร  
จุฬาลงกรณ์มหาวิทยาลัย**

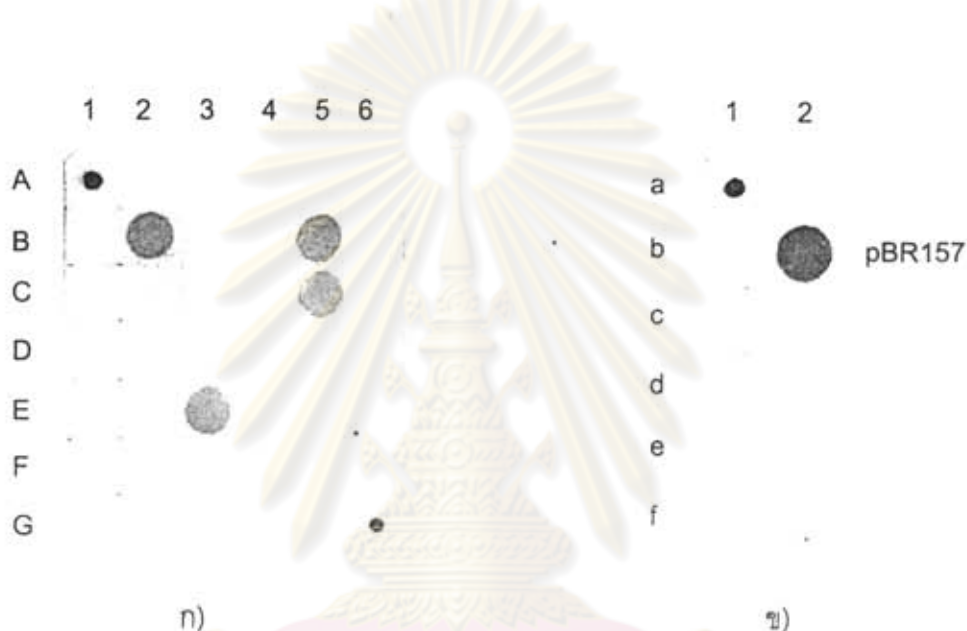


รูปที่ 4.9 ก) อะgaroisเจลทีมีดีเอ็นเอของ *Pseudomonas* sp. A41 ที่ตัดด้วยเรสทริกชัน เอ็นไซม์ชนิดต่างๆ ข) สัญญาณจากเซาท์เชอร์นไอบรีไดซ์ชันด้วยดีเอ็นเอติดตาม rhIR

#### 4.7 การโคลนชิ้นดีเอ็นเอของ *Pseudomonas* sp. A41 ที่ครอบคลุมยีน rhIR ด้วยเทคนิค ไอบรีไดซ์ชัน (hybridization)

จากผลการทดลองข้อ 4.6 ทำให้ทราบขนาดจีโนมิกดีเอ็นเอของ *Pseudomonas* sp. A41 ที่ครอบคลุมยีน rhIR อยู่ ดังนั้นจึงเลือกเรสทริกชันเรนไมท์ที่ใช้ในการโคลนคือ Xhol-BgII ซึ่งตัดจีโนมิกดีเอ็นเอของสายพันธุ์ A41 ที่ให้สัญญาณขนาด 1.0 กิโลเบส ให้ผลสอดคล้องกับแผนที่แสดงการจัดเรียงตัวของรีคอมบิแนนท์พลาสมิด pBR530 และ pBR123 (รูปที่ 4.6) เมื่อเรียงต่อ

กัน จากนั้นนำชิ้นดีเอ็นเอตัดกล่าวแยกโคลนเข้า *pBluescript KS(+-)* ตามวิธีที่กล่าวไว้ในข้อ 3.9 จากนั้นทราบสฟอร์มเข้าสู่ *E. coli* DH5 $\alpha$  คัดเลือกทราบสฟอร์แมนที่ได้รับชิ้นดีเอ็นเอ สองแทรกตั้งกล่าวด้วยวิธี Blue/ White selection และนำพลาสมิดของโคลนที่ได้ตัดกล่าวมาทำ Dot blot hybridization ด้วยดีเอ็นเอติดตาม *rhlR* (*rhlR*-probe) ตามวิธีการในข้อ 3.9.4.3 ผลของสัญญาณจากการไฮบริดิซเป็นไปตามรูปที่ 4.10 ก)



รูปที่ 4.10 ก) Dot blot hybridization ของรีคอมบิแนนท์พลาสมิดที่มีชิ้นดีเอ็นเอ *Xhol-Bg*// ของ *Pseudomonas* sp. A41 ขนาด 1.0 กิโลเบส ด้วยดีเอ็นเอติดตาม *rhlR* ข) Dot blot hybridization ของรีคอมบิแนนท์พลาสมิดของโคลนจากตัวอย่างกลุ่ม B2 ด้วยดีเอ็นเอติดตาม *rhlR*

ช่องที่ A1 G6 และ a1

ผลิตภัณฑ์ PCR ของยีน *rhlR* (ตัวควบคุมผลบวก)

ช่องที่ A2 G5 และ a2

พลาสมิด *pBluescript KS(+-)* (ตัวควบคุมผลลบ)

ช่องที่ A3- G4

รีคอมบิแนนท์พลาสมิดของโคลนผสม

ช่องที่ b1-f2

รีคอมบิแนนท์พลาสมิดของโคลนจากตัวอย่างกลุ่ม B2

จากสัญญาณที่ปรากฏขึ้นในรูปที่ 4.10 แสดงว่าในโคลนที่ได้รับชิ้นดีเอ็นเอ *Xhol-Bg*//ขนาด 1.0 กิโลเบส ที่ต้องการ (positive clone) อยู่ในกลุ่มตัวอย่าง 4 กลุ่มคือ ตัวอย่างกลุ่ม B2 B5 C5 และ E3 ดังแสดงในรูปที่ 4.10 ก) คัดเลือกตัวอย่างกลุ่ม B2 ซึ่งประกอบด้วยโคลนต่างๆ 10 โคลนมาแยกให้ได้โคลนที่มีชิ้นดีเอ็นเอที่ต้องการ โดยการแยกเพาะเลี้ยงแต่ละโคลนในอาหาร

เดี่ยงเหือและสกัดพลาสมิดด้วยวิธี alkaline lysis จากนั้นนำพลาสมิดเหล่านี้มาทำ Dot blot hybridization ด้วยดีเอ็นเอทิตตาม *rhIR* อีกครั้ง พบว่าโคลนที่ b2 ให้ผลบวกหลังจากทำไอบิไดเรชันแสดงว่าโคลนดังกล่าวมีข้อดีอีกด้วยที่ต้องการ จึงเลือกโคลน b2 มาศึกษาและตั้งชื่อพลาสมิดนี้ว่า pBR157 ดังแสดงในรูปที่ 4.10 ฯ) จากนั้นนำไปสกัดเข้ารีคอม-บิแวนท์พลาสมิดและหาลำดับนิวคลีโอไฮด์โดยใช้ไฟร์เมอร์ RR-F ซึ่งจำเพาะกับบริเวณปลาย 5' ของยีน *rhIR* ซึ่งออกแบบและใช้ในการสร้างตัวติดตามยีน *rhIR* ในการทดลองนี้

#### 4.8 การหาลำดับนิวคลีโอไฮด์ของชิ้นดีเอ็นเอ *Xba*I-BgII ที่มีข้อส่วนของยีน *rhIR*

เนื่องจากต้องการทราบลำดับนิวคลีโอไฮด์ซึ่งอยู่ก่อนและหลังบริเวณจุดจำข้อง เรสทริกชันเอ็นไซม์ *Bam*H I ซึ่งอยู่บนยีน *rhIR* เพื่อยืนยันว่าลำดับนิวคลีโอไฮด์ของชิ้นดีเอ็นเอสอดแทรกที่ได้จากการบิแวนท์พลาสมิด pBR123 เรียงต่อจาก pBR530 จริง ดังนั้นจึงหาลำดับนิวคลีโอไฮด์ของชิ้นดีเอ็นเอสอดแทรกใน pBR157 โดยใช้ไฟร์เมอร์ RR-F ซึ่งจำเพาะกับบริเวณปลาย 5' ของยีน *rhIR* ได้ลำดับนิวคลีโอไฮด์ 533 bp ซึ่งแสดงไว้ในรูปที่ 4.11 ผลตรัพท์ได้คล้ายกับกรดอะมิโนที่ 11-187 ของ transcriptional regulator RhIR ที่ระบุรหัสโดย *rhIR* ของ *Pseudomonas aeruginosa* PAO1 (Stover และคณะ, 2000) และ *Pseudomonas aeruginosa* PG201 (Ochsner และคณะ, 1994b) เท่ากับ 100% ตามคาดหมาย และลำดับนิวคลีโอไฮด์ดังกล่าวยังคงลุ้นส่วนเรื่องต่อระหว่างชิ้นดีเอ็นเอกดัดแทรกที่ได้จากการบิแวนท์พลาสมิด pBR123 กับ pBR530 ทำให้ทราบว่าชิ้นดีเอ็นเอกสารดแทรกจากกริคคอมบิแวนท์พลาสมิด pBR530 เรียงตัวอยู่หน้าชิ้นดีเอ็นเอกสารดแทรกจากกริคคอมบิแวนท์พลาสมิด pBR123 จริง โดยเรื่องกันด้วยเรสทริกชันเอ็นไซม์ *Bam*H I ตามรูปที่ 4.11 ซึ่งแสดงการวางตัวของชิ้นดีเอ็นเอกสารดแทรกใน pBR530 ตอกกับ pBR123

		ORF1 ( <i>rhIR</i> ) →
1		TGGGACGGTTTGCCT
11		W D G L R
16	AGCGAGATGCAGCCGATCCACGACAGCCAGGGCGTGTTCGCCGTCTGGAAAAGGAAGTG	
16	S E M Q P I H D S Q G V F A V L E K E V	
76	CGGCCGCTGGGCTTCGATTACTACGCCATTGGCGTGCGCCATACGATTCCCTTCACCCGG	
36	R R L G F D Y Y A Y G V R H T I P F T R	
136	CCGAAGACCGAGGTCCATGGCACCTATCCCAAGGCCGCTGGCTGGAGCGATACCAAGATGCAG	
56	P K T E V H G T Y P K A W L E R Y Q M Q	

(มีต่อหน้าถัดไป)

196	AACTACGGGGCCGTGGATCCGGCATTCTCAACGGCTGCGCTCCTCGAAATGGTGGTT
76	N Y G A V D P A I L N G L R S S E M V V
256	TGGAGGCACAGCCTGTTGACCAGAGCCGGATGCTCTGGAACGAGGCTCGCGATTGGGGC
96	W S D S L F D Q S R M L W N E A R D W G
316	CTCTGTGTCGGCGCGACCTTGCCGATCCCGCGCCGAAACAATTGCTCAGCGTGCTTCC
116	L C V G A T L P I R A P N N L L S V L S
376	GTGGCGCGCAGCACAGCAGAATATCTCCAGCTTGAGCGCGAGGAAATACGCCCTGCGGCTG
136	V A R D Q Q N I S S F E R E E I R L R L
436	CGTTGCATGATCGAGTTGCTGACCCAGAACGCTGACCGACCTGGAGCATCCGATGCTGATG
156	R C M I E L L T Q K L T D L E H P M L M
496	TCCAACCCGGTCTGCCTGAGCCATCGCGAGCGCGAGAT
176	S N P V C L S H R E R E

รูปที่ 4.11 ลำดับนิวคลีโอไทด์บางส่วนของชิ้นดีเอ็นเอสอดแทรกใน pBR157 โดยใช้ไฟร์เมอร์ RR-F ซึ่งจำเพาะกับบริเวณปลาย 5' ของยีน *rhlR* ได้ลำดับนิวคลีโอไทด์ 533 bp

ดังนั้นเมื่อนำเข้าข้อมูลลำดับนิวคลีโอไทด์ของดีเอ็นเอสอดแทรกใน pBR530 และ pBR123 มาต่อเชื่อมกันจะได้ข้อมูลลำดับนิวคลีโอไทด์ทั้งหมด 2,038 bp ซึ่งได้แสดงไว้ในรูปที่ 4.12

1	ORF1 ( <i>rhlB</i> ) →
380	CTCGAGGACCCGG L E D P A
14	CCATGGCGGGCGGCCCTGTCGGCGTTCATGGAATTGTACAACCGCACAGTATCGCTTGC G
385	M A A A C R R F M E L S Q P H S I A C G
74	GTAAAGCGGCCAGGTGGTCGAACGTTGTCAAGGGAGGGGATGCGCGATGGCTGAAGG
405	K A A Q V V E R C H R E G D A R W L K A
134	CTGCGTCC <u>TGA</u> ACGGTGCTGGCATAACAGATAGGGTGCCATGATTTGCCGTATCGGCA
425	A S *
194	AGGCTGCGCGCTTGAC <u>AGCGTCATAACCCCCGGCCAATTCTGCTGTGATGCATTTATCGA</u>
254	<b>ORF2 (<i>rhlR</i>) →</b>
1	TC <u>AGGGCTTACTGCA</u> <u>ATGAGGAATGACGGAGGCTTTTGCTGTGGGGACGGTTGCGT</u> M R N D G G A L L L W W D G L R
314	AGCGAGATGCAGCCGATCCACGACAGCCAGGGCGTGTTCGCCCTGGAAAAGGAAGTG
16	S E M Q P I H D S Q G V F A V L E K E V
374	CGGCCTGGCTTCGATTACTACGCCATGGCGCCATACGATTCCCTCACCCGG
36	R R L G F D Y Y A Y G V R H T I P F T R
434	CCGAAGACCGAGGTCCATGGCACCTATCCAAGGCCTGGCTGGAGCGATACCAAGATGCAG
56	P K T E V H G T Y P K A W L E R Y Q M Q

(มีต่อหน้าถัดไป)

494 AACTACGGGCCGTGGATCCGGCATCCTCAACGGCTCGCTCCTCGAAATGGTGGTT  
 76 N Y G A V D P A I L N G L R S S E M V V  
 554 TGGAGCGACAGCCTGTCGACCAGAGCCGGATGCTCTGGAACGAGGCTCGCATTGGGC  
 96 W S D S L F D Q S R M L W N E A R D W G  
 614 CTCTGTGTCGGCGCGACCTTGCCGATCCGCGCCGAACAATTGCTCAGCGTGCCTTCC  
 116 L C V G A T L P I R A P N N L L S V L S  
 674 GTGGCGCGCGACCAGCAGAATACTCCAGCTTCGAGCGCGAGGAAATACGCTGCGGCTG  
 136 V A R D Q Q N I S S F E R E E E I R L R L  
 734 CGTTGCATGATCGAGTTGCTGACCCAGAAGCTGACCGACCTGGAGCATCCGATGCTGATG  
 156 R C M I E L L T Q K L T D L E H P M L M  
 794 TCCAACCCGGTCTGCGTGAGCCATCGCGAGCGAGATCTGCAATGGACCGCCGACGGC  
 176 S N P V C L S H R E R E I L Q W T A D G  
 854 AAGAGTTCCGGGAAATGCCATCATCCTGAGCATCTCGAGAGACCGGTGAACCTCCAC  
 196 K S S G E I A I I L S I S E S T V N F H  
 914 CACAAGAACATCCAGAAGAAGTTGACCGCCGAACAAGACGCTGGCTGCCGCCTACGCC  
 216 H K N I O K K F D A P N K T L A A A Y A  
 974 GCGGCGCTGGGCCTCATCTTGATGCTTAGGGCGCGCGCTGGCGCCCTACCAGATCTG  
 236 A A L G L I \*  
 1034 GCAGGTTGCCGTTCATCCTCCTTACTGTGTGCTGGTATGTC  
 1094 CTCCGACTGAGAGGCCAGGAGTATCAGGGTAGGGATGCCGCCTTTCTCGGCCGG  
 ORF3 (rhlII) →  
 1154 CACGACACGGGACTTGGTCATGATCGAATTGCTCTGAATCGCTGGAAGGGCTTCCG  
 1 M I E L L S E S L E G L S A  
 1214 CCGCCATGATCGCGAGCTGGGACGCTACCGGCATCAGGCTTCATCGAGAAGCTGGCT  
 15 A M I A E L G R Y R H Q V F I E K L G W  
 1274 GGGATGTGGCTCCACCTCCAGGGTCCCGCAGCAGGAGTTGACCATCCGC  
 35 D V V S T S R V R D Q E E D Q F D H P Q  
 1334 AAACCCGCTACATCGTCGCCATGGCCGCCAGGGTATCTGCGGTTGTGCCGCCTGTTGC  
 55 T R Y I V A M G R Q G I C G C A R L L P  
 1394 CGACGACCGACGCCAACCTGCTCAAGGAAGTCTTCGCTAACCTGTGCAAGCGAAACCCGC  
 75 T T D A Y I L K E V F A Y L C S E T P P  
 1454 CCAGCGATCCGTCGGCTGGAGCTTCGCGTTACGCCGCCAGCGCGGACGATCCGC  
 95 S D P S V W E L S R Y A A S A A D D P Q  
 1514 AACTGGCGATGAAGATATTCTGGTCCAGCCTGCAATGCGCTGGTACCTGGCGCCAGTT  
 115 L A M K I F W S S L Q C A W Y L G A S S  
 1574 CGGTGGTGGCGGTGACCAACCACGCCATGGAGCGTATTCGTTGCAACGGCGTGTAC  
 135 V V A V T T A M E R Y F V R N G V I L  
 1634 TCCAGCGCCTCGGCCGCCAGAAGGTCAAGGGCGAGACGCTGGTGCATCAGCTTCC  
 155 Q R L G P P Q K V K G E T L V A I S F P  
 1694 CGGCCTACCAAGGAGCGCGGCCCTGGAGATGCTGCTGCGTACCAACCCGAATGGCTGCAGG  
 175 A Y Q E R G L E M L L R Y H P E W L Q G

(ມີຕອນນ້ຳດັບໄປ)

1754	GCGTACCGCTGTCGATGGCGGTG <b>TGA</b> GGTCGTCAAGCCGTTCGCGCACTTTTCCGCTT
195	V P L S M A V .
1814	CTCCTGCCGCATGCTCGGCCGCCGCCGCCGTATCGGGCGTCCCGCATCCCGAGGAGTCGCC
1874	TTTGGCCGCGGCTGCCGACTTGCGTAGTCTCTCGCGTCCGCCATCCCGAGGAGTCGCC
1934	ATGCCGAAGTCATTCCGCCATCTCGTCCAGGCCCTGGCCTGCCTGCGCTGCTGGCCAGC
1994	GCCAGCCTCCAGGCGCAGGAGAGCCGCCTGACCGCATCCTCGAG 3'

**รูปที่ 4.12 สรุปรวมลำดับนิวคลีโอไทด์ของชีนดีเอ็นเอสอดแทรกใน pBR530 และ pBR123 ทั้งหมดขนาด 2,038 bp**

พบว่าเมื่อนำลำดับนิวคลีโอไทด์ดังกล่าวไปวิเคราะห์โดยโปรแกรม BlastX ที่แปลงข้อมูลลำดับนิวคลีโอไทด์ให้เป็นลำดับกรดอะมิโนจากนั้นนำไปเทียบหาความคล้ายกับกรดอะมิโนของยีนต่างๆ ใน GenBank พบรอบอ่านรหัสเปิด (Open Reading Frame, ORF) จำนวน 3 กรอบซึ่งมีพิธีทางการถอดรหัสไปทางเดียวกัน ข้อมูลของแต่ละกรอบอ่านรหัสเปิดและเปอร์เซ็นต์ความคล้ายกับยีนอ้างอิงได้สรุปไว้ในตารางที่ 4.2 และสามารถนำไปสร้างเป็นแผนที่เรสทริกชันโดยละเอียดดังแสดงในรูปที่ 4.13 จากรูปจะแสดงบริเวณจุดจำข่องเรสทริกชันบนใบมีดชีนดีเอ็นเอสอดแทรกจาก基因บันแนท์พลาสมิคชนิดต่างๆ บริเวณที่เป็นกรอบอ่านรหัสเปิดทุกรอบและบริเวณที่ใช้ในการสร้างดีเอ็นเอติดตาม

กรอบอ่านรหัสเปิด (Open Reading Frame, ORF) ที่พบมี 3 กรอบ ซึ่งมีพิธีทางการถอดรหัสไปทางเดียวกันเรียงตามลำดับดังนี้

1. กรอบอ่านรหัสเปิดที่ 1 (ORF1) กรอบอ่านรหัสเปิดแรกไม่สมบูรณ์ เพราะไม่พบกรดอะมิโนเมธิโอลีนที่ตำแหน่งที่ 1 ของ ORF (start codon) ประกอบด้วย 47 ลำดับกรดอะมิโน มีความคล้ายกับกรดอะมิโนที่ 380-426 ของ rhamnosyltransferase 1 chain B ของ *Pseudomonas aeruginosa* PAO1 (Stover และคณะ, 2000) และ *Pseudomonas aeruginosa* PG201 (Ochsner และคณะ, 1994a) เท่ากับ 100% ซึ่งถอดรหัสจาก *rhlB* ให้ชื่อ ORF1 ว่า *rhlB*

2. กรอบอ่านรหัสเปิดที่ 2 (ORF2) ประกอบด้วย 241 ลำดับกรดอะมิโน มีขนาด 723 bp พบกรดอะมิโนเมธิโอนีนที่ตำแหน่งที่ 1 ของ ORF (start codon) และรหัสหยุด (stop codon) ซึ่งแสดงเป็นลำดับนิวคลีโอไทด์ตัวหนาและขีดเส้นใต้หนึ่งเส้น กรดอะมิโนมีความคล้ายกับ transcriptional regulator RhIR ของ *Pseudomonas aeruginosa* PAO1 (Stover และคณะ, 2000) regulator protein ของ *Pseudomonas aeruginosa* PG201 (Ochsner และคณะ, 1994b) เท่ากับ 100% นอกจากนี้ยังคล้ายกับโปรตีนควบคุมอีกคือ VSMR ของ *P. aeruginosa* PAO1 (Latifi และคณะ, 1995) และtranscriptional activator CsaR ของ *Pseudomonas clororaphis* (Zhang และ Pierson, 2001) เท่ากับ 98% และ 67% ตามลำดับให้ชื่อ ORF2 ว่า *rhIR*

3. กรอบอ่านรหัสเปิดที่ 3 (ORF3) ประกอบด้วย 201 ลำดับกรดอะมิโน มีขนาด 603 bp พบกรดอะมิโนเมธิโอนีนที่ตำแหน่งที่ 1 ของ ORF (start codon) และรหัสหยุด (stop aeruginosa PAO1 (Latifi และคณะ, 1995) และtranscriptional activator CsaR ของ *Pseudomonas clororaphis* (Zhang และ Pierson, 2001) เท่ากับ 98% และ 67% ตามลำดับให้ชื่อ ORF2 ว่า *rhIR*

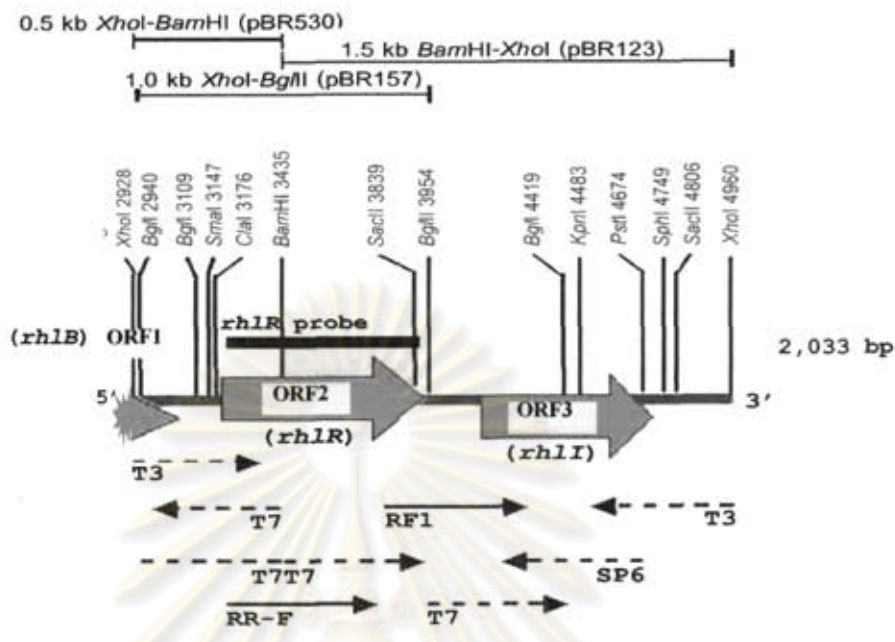
3. กรอบอ่านรหัสเปิดที่ 3 (ORF3) ประกอบด้วย 201 ลำดับกรดอะมิโน มีขนาด 603 bp พบกรดอะมิโนเมธิโอนีนที่ตำแหน่งที่ 1 ของ ORF (start codon) และรหัสหยุด (stop aeruginosa PAO1 (Latifi และคณะ, 1995) และtranscriptional activator CsaR ของ *Pseudomonas clororaphis* (Zhang และ Pierson, 2001) เท่ากับ 98% และ 67% ตามลำดับให้ชื่อ ORF2 ว่า *rhIR*

3. กรอบอ่านรหัสเปิดที่ 3 (ORF3) ประกอบด้วย 201 ลำดับกรดอะมิโน มีขนาด 603 bp พบกรดอะมิโนเมธิโอนีนที่ตำแหน่งที่ 1 ของ ORF (start codon) และรหัสหยุด (stop aeruginosa PAO1 (Latifi และคณะ, 1995) และtranscriptional activator CsaR ของ *Pseudomonas clororaphis* (Zhang และ Pierson, 2001) เท่ากับ 98% และ 67% ตามลำดับให้ชื่อ ORF2 ว่า *rhIR*

3. กรอบอ่านรหัสเปิดที่ 3 (ORF3) ประกอบด้วย 201 ลำดับกรดอะมิโน มีขนาด 603 bp พบกรดอะมิโนเมธิโอนีนที่ตำแหน่งที่ 1 ของ ORF (start codon) และรหัสหยุด (stop aeruginosa PAO1 (Latifi และคณะ, 1995) และtranscriptional activator CsaR ของ *Pseudomonas clororaphis* (Zhang และ Pierson, 2001) เท่ากับ 98% และ 67% ตามลำดับให้ชื่อ ORF2 ว่า *rhIR*

3. กรอบอ่านรหัสเปิดที่ 3 (ORF3) ประกอบด้วย 201 ลำดับกรดอะมิโน มีขนาด 603 bp พบกรดอะมิโนเมธิโอนีนที่ตำแหน่งที่ 1 ของ ORF (start codon) และรหัสหยุด (stop aeruginosa PAO1 (Latifi และคณะ, 1995) และtranscriptional activator CsaR ของ *Pseudomonas clororaphis* (Zhang และ Pierson, 2001) เท่ากับ 98% และ 67% ตามลำดับให้ชื่อ ORF2 ว่า *rhIR*

3. กรอบอ่านรหัสเปิดที่ 3 (ORF3) ประกอบด้วย 201 ลำดับกรดอะมิโน มีขนาด 603

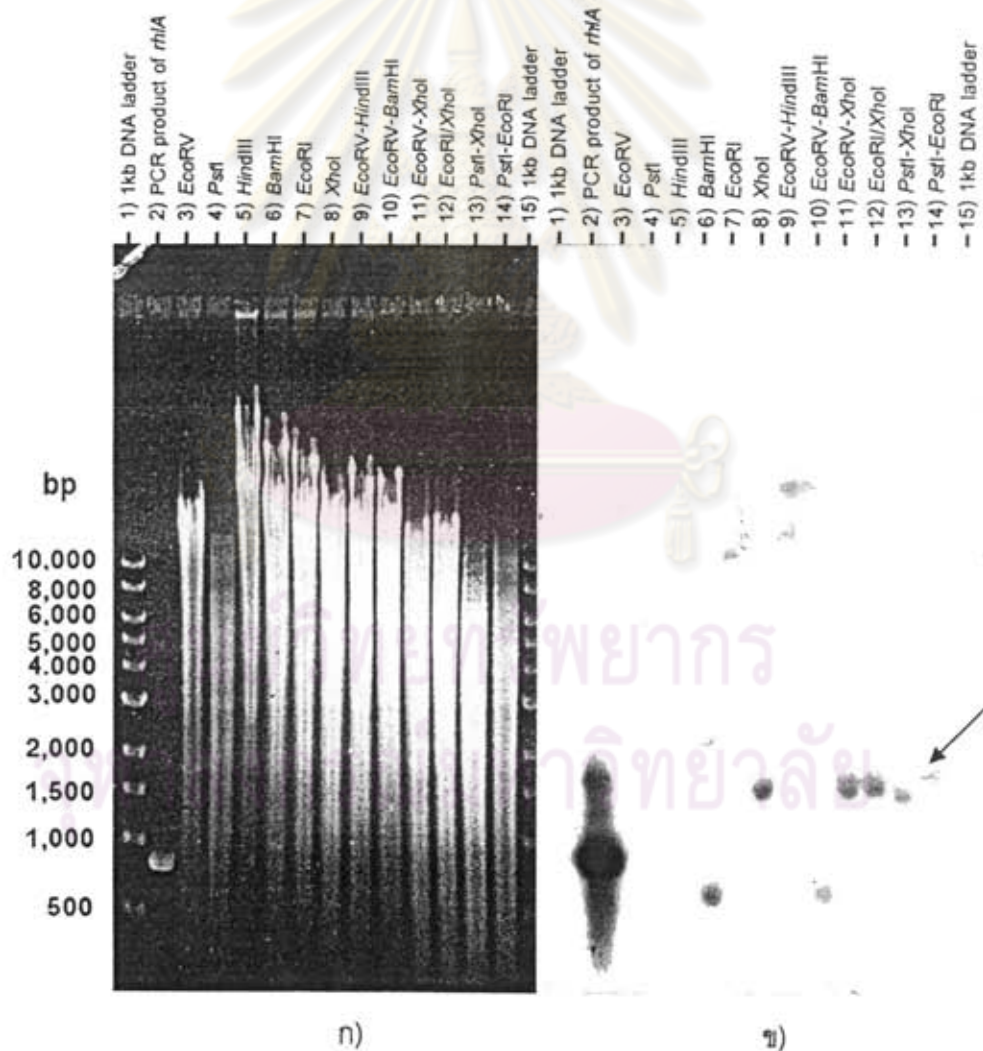


รูปที่ 4.13 แผนที่เรสทริกชันของชิ้นดีเอ็นเอสอดแทรกจากพลาสมิด pBR530 และ pBR123 ขนาด 2,033 bp แสดงตำแหน่งที่เป็นกรอบอ่านรหัสเปิด (ORF) ดีเอ็นเอ ติดตาม *rhlR* และทิศทางการนำเสนอลำดับนิวคลีโอไทด์ด้วยไฟร์เมอร์ต่างๆ ของชิ้นดีเอ็นเอ สอดแทรก ลูกศรในถี่แสลงทิศทางการถอดรหัสเป็นกรดอะมิโนของกรอบอ่าน รหัสเปิดตามซึ่งที่ระบุไว้ด้านล่าง ลูกศรเล็กแสลงทิศทางการนำเสนอลำดับนิวคลีโอไทด์ ของไฟร์เมอร์ตัวต่างๆ ตามที่ระบุซึ่งที่ระบุไว้ด้านล่างลูกศร โดย ————— เป็นการนำเสนอลำดับ นิวคลีโอไทด์โดยใช้ไฟร์เมอร์ที่ออกแบบเอง(designed primer) และ —→ เป็นการ นำเสนอลำดับนิวคลีโอไทด์โดยใช้ universal primer เครื่องหมาย แสดง ORF ที่ไม่ สมบูรณ์

## จุฬาลงกรณ์มหาวิทยาลัย

4.9 การค้นหาชิ้นส่วนของดีเอ็นເບັນໂຄຣໂນໂສມຂອງ *Pseudomonas* sp. A41 ທີ່ມີ *rhlA* ດ້ວຍເຖິກນິກໄຂບຣິໄດ້ເຫັນ (hybridization)

ຕັດຈິນມິກຕິເຂັ້ມເຂົ້າຂອງ *Pseudomonas* sp. A41 ອຍ່າງສມນຽນດ້ວຍເຮສທິກັນເອນໄຊມີຕ່າງໆ  
ຮັງແສດງໃນຮູບທີ່ 4.14 ก) ພຸດໄຂບຣິໄດ້ເຫັນເປັນດັ່ງທີ່ແສດງໃນຮູບທີ່ 4.14 ຂ) ພົບວ່າເກີດສົງຄານ  
ໄຂບຣິໄດ້ຕ່າງກັນ ຈິນຜລິດກັນທີ່ PCR ຈາກການເພີ່ມຈຳນວນ *rhlA* ບັນຈິນມິກຕິເຂັ້ມເຂົ້າຂອງ  
*Pseudomonas* sp. A41 ດ້ວຍໄພຣົມອ່ວ່ຽກ RA-F ແລະ RA-R ຈະໄຟສົງຄານຈິນຕີເຂັ້ມເຂົ້າຂາດ  
ປະມານ 800 bp ຈີ່ເປັນຕີເຂັ້ມເຂົ້າທີ່ນໍາໄປສ້າງເປັນຕີເຂັ້ມເຂົ້າຕາມ *rhlA* (*rhlA*-probe)



ຮູບທີ່ 4.14 ກ) ອະກາໂຮສເຈລທີ່ມິກຕິເຂັ້ມເຂົ້າຂອງ *Pseudomonas* sp. A41 ທີ່ຕັດດ້ວຍເຮສທິກັນເອນໄຊມີຕ່າງໆ ຂ) ສົງຄານຈາກເຫຼືອນໄຂບຣິໄດ້ເຫັນດ້ວຍຕີເຂັ້ມເຂົ້າຕາມ *rhlA*

#### 4.10 การโคลนชิ้นดีเอ็นเอของ *Pseudomonas* sp. A41 ที่มี *rhlA*

จากผลการทดลองข้อ 4.9 ที่ได้ให้ทราบขนาดดีเอ็นเอของ *Pseudomonas* sp. A41 ที่มี *rhlA* อยู่ ดังนั้นจึงเลือกเรสทริกชันเอนไซม์ที่ใช้ในการโคลนคือ EcoRI-PstI ซึ่งตัดจีโนมิกดีเอ็นเอของสายพันธุ์ A41 ที่ให้สัญญาณขนาด 1.5 กิโลเบปต จากนั้นนำชิ้นดีเอ็นเอแยกโคลนเข้า pGEM-3Zf(+-) ตามวิธีที่กล่าวไว้ในข้อ 3.9 และทราบฟอร์มเม้าส์ *E. coli* DH5 $\alpha$  คัดเลือกโคลนที่ได้รับชิ้นดีเอ็นเอที่ต้องการทำได้ด้วยวิธี Blue/ White selection เลือกเฉพาะโคลนที่มีโคลนีสีขาว จากนั้นคัดเลือกโคลนดังกล่าวมาทดสอบโดยสูตรทดสอบโคลนทั้งหมด 10 โคลนต่ออาหารเลี้ยงเชื้อ เนลوا LB 1 หลอด สรุค์รีคอมบินเนท์พลาสมิดจากแต่ละหลอดอาหารเลี้ยงเชื้อ จากนั้นนำพลาสมิดเหล่านั้นมาทำ Dot blot hybridization ด้วยดีเอ็นเอติดตาม *rhlA* ตามวิธีที่ได้กล่าวไว้ในข้อ 3.9.4.3) ผลสัญญาณจากการไฮบริดของโคลนที่ได้รับชิ้นดีเอ็นเอขนาด 1.5 กิโลเบปต ซึ่งมียีน *rhlA* อยู่ เป็นไปตามรูปที่ 4.15



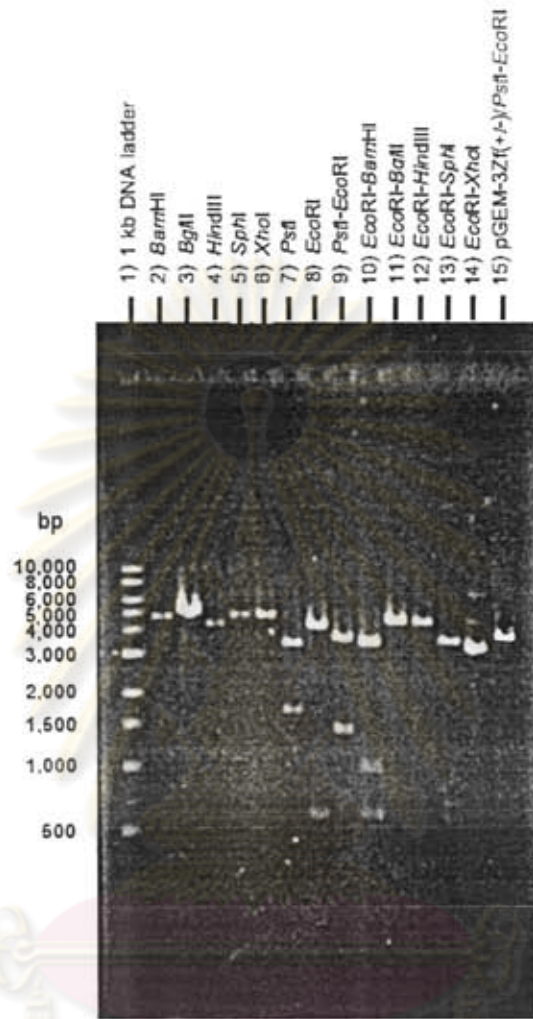
รูปที่ 4.15 น) Dot blot hybridization ของรีคอมบินเนท์พลาสมิดที่มีชิ้นดีเอ็นเอของ *Pseudomonas* sp. A41 ขนาด 1.5 กิโลเบปตด้วยดีเอ็นเอติดตาม *rhlA* ข) Dot blot hybridization ของรีคอมบินเนท์พลาสมิดของโคลนจากตัวอย่างกลุ่ม D7 ด้วยดีเอ็นเอติดตาม *rhlA*

- ช่องที่ A1 F12 และ a1 ผลิตภัณฑ์ PCR ของยีน *rhlA* (ตัวควบคุมผลบวก)
- ช่องที่ A2 F11 และ a2 พลาสมิด pGEM-3Zf(+-) (ตัวควบคุมผลลบ)
- ช่องที่ A3-F10 รีคอมบินเนท์พลาสมิดของโคลนผสม
- ช่องที่ a3-b6 รีคอมบินเนท์พลาสมิดของโคลนจากตัวอย่างกลุ่ม D7

จากสัญญาณที่ปรากฏขึ้นในรูปที่ 4.15 แสดงว่าในโคลนที่ได้รับชิ้นตีอีนเขียนขนาด 1.5 กิโล เมตร มีตีอีนເອທີ່ຕ້ອງການ (positive clone) อยู่ในตัวอย่างกลุ่ม D7 ดังแสดงในรูปที่ 4.15 (a) คัดเลือกตัวอย่างกลุ่ม D7 ซึ่งประกอบด้วยโคลนต่างๆ 10 โคลนมาแยกให้ได้โคลนที่มีชิ้นตีอีนເອທີ່ຕ້ອງການ โดยการแยกเพาะเลี้ยงแต่ละโคลนในอาหารเลี้ยงเชื้อและสกัดพลาสมิดด้วยวิธี alkaline lysis จากนั้นนำพลาสมิดเหล่านั้นมาทำ Dot blot hybridization ด้วยตีอีนເອດຕາມ *rhlA* อีกครั้ง พบร้าโคลนที่ b1 ให้ผลบวกหลังจากทำไอบิวิเดเซ็น แสดงว่าโคลนดังกล่าวมีชิ้นตีอีนເອທີ່ຕ້ອງການ จึงเลือกโคลน b1 มาศึกษา และดังซึ่งพลาสมิดนี้ว่า pGA396 ดังแสดงในรูปที่ 4.15 (x)

ทำการตัดพลาสมิด pGA396 ด้วยเรสทริกชันเอนไซม์บางชนิด ดังแสดงในรูปที่ 4.16 เพื่อทราบการจัดเรียงตัวของชิ้นตีอีนເອສอดแทรกในพลาสมิด จากนั้นนำชิ้นมูลดังกล่าวไปสร้างแผนที่เรสทริกชันของรีคอมบิแนทพลาสมิดดังแสดงในรูปที่ 4.17 เพื่อใช้ในการสับโคลนชิ้นตีอีนເອສอดแทรกของพลาสมิด pGA396 เพื่อนำไปใช้ในการหาลำดับนิวคลีโอไทด์





รูปที่ 4.16 ภาพของการตัดด้วยเรสทริกชันเอ็นไซม์ ชนิดต่างๆ เพื่อหาตำแหน่งการจัดเรียงตัวของชิ้นดีเอ็นเอสอดแทรก ซึ่งวิธีที่ 1 คือ 1 kb DNA ladder วิธีที่ 2-14 คือ พลาสมิด pGA396 ที่ตัดด้วยเรสทริกชันเอ็นไซม์ วิธีที่ 15 คือ พลาสมิด pGEM-3Zf(+-) ที่ตัดด้วยเรสทริกชันเอ็นไซม์ *Pst*I-*Eco*RI



รูปที่ 4.17 (a) แผนที่เรสทริกชัน (Restriction map) ของพลาสมิด pGA396 (b) แสดง รีคอมบิแนนท์พลาสมิด pN9 ที่ได้จากการสับโคลนชิ้นดีเอ็นเอสอดแทรกของพลาสมิด pGA396 เพื่อนำไปใช้ในการหาลำดับนิวคลีโอไทด์

จากการที่แผนที่เรสทริกชันของรีคอมบิแนนท์พลาสมิด pGA396 จะสามารถหาดูด้วยของ เรสทริกชันเอนไซม์บนรีคอมบิแนนท์พลาสมิด pGA396 ได้ดังแสดงในรูปที่ 4.17 (a) ซึ่งให้เป็น ข้อมูลในการสับโคลนได้คือ ตัวรีคอมบิแนนท์พลาสมิด pGA396 ด้วยเรสทริกชันเอนไซม์ EcoRI-BamHI จากนั้นนำชิ้นดีเอ็นเอ EcoRI-BamHI ที่ตัดได้ดังกล่าวแยกโคลนเข้า pGEM-3Zf(+/-) ตามวิธีที่กล่าวไว้ในข้อ 3.9 จากนั้นทราบพอร์มเข้าสู่ *E. coli* DH5 $\alpha$  และจึงนำไปหาลำดับ นิวคลีโอไทด์โดยใช้หั้งวิธี primer walking และ universal primer ดังอธิบายในข้อ 4.11

#### 4.11 การหาลำดับนิวคลีโอไทด์ของชิ้นดีเอ็นเอที่สอดแทรกอยู่ใน pGA396

จากการหาลำดับนิวคลีโอไทด์โดยใช้ทั้งวิธี primer walking ซึ่งเป็นการออกแบบไฟร์เมอร์ที่จำเพาะกับลำดับนิวคลีโอไทด์ส่วนที่ทราบแล้วเพื่อนำมาลำดับนิวคลีโอไทด์ต่อจากบริเวณดังกล่าว และอีกวิธีหนึ่งคือ การหาลำดับนิวคลีโอไทด์ด้วย universal primer ที่จำเพาะกับปลายด้านใดด้านหนึ่งของพลาสมิดเวกเตอร์ในรีคอมบิเนนแนนท์พลาสมิด ได้ลำดับนิวคลีโอไทด์ที่อยู่ภายในชิ้นดีเอ็นเอสอดแทรกของรีคอมบิเนนแนนท์พลาสมิด pGA396 ขนาด 1562 bp (ภาคผนวก 44) ซึ่งได้จากการใช้ไฟร์เมอร์ M13 forward SP6 และ N912R กับพลาสมิด pGA396 และไฟร์เมอร์ SP6 กับพลาสมิด pN9 ซึ่งข้อมูลลำดับนิวคลีโอไทด์ทั้งหมดได้แสดงไว้ในรูปที่ 4.18

**ORF1 (dcd) →**

1	5' GAATTC AAGGTGTT CACCAAC ATCCATT CGCGGGTGGT CGATCCGAA AGAAC TTCGAC GAG
52	E F K V F T N T H S A V V D P K N F D E
61	AAAAGCTT CGTCGACAT CAACAGCGACGT CTGCAT CATCCC GCGAA CT CCTT CGCC CTG
72	K S F V D T N S D V C I I P P N S F A L
121	GCGCGCACCGT CGAGT ACTTCCGCA TCCC GCGC AC GT CCTG ACCAT CTGCC CTGG GCAAG
92	A R T V E Y F R I P R D V L T I C L G K
181	AGCACCTAC CGCG GTTG CGG C ATCAT CGT CAAC GT CACCC CGT GGAGCC GGAGT GGGAA
112	S T Y A R C G I I V N V T P L E P E W E
241	GGCCATGT GACCCT CGAGTT CTCCA AT ACC ACCA AC CTGCC GGCG AA GATCTAC GCA AT
132	G H V T L E F S N T T N L P A K I Y A N
301	GAAGGCGT GGGCG CAGAT GCT CTT CCTGCA ATCC GAC GAGG C T GCG AAGT GT CCTATAAG
152	E G V A Q M L F L Q S D E A C E V S Y K
361	GACCGT GGGCGG CAAAT ACCAGGGT CAGCGC GGGCGT GACCCCTGCC AAAAGC CT TGAC GCGC AG
172	D R G G K Y Q G Q R G V T L P K A *
421	AGCGTT CGAC ACCGGAA ACCGGG CCTGGCGCC CGTTTT CATGCC TTT CGCC AAC
481	CCCTCGCT GTCCCCGCCGCGCTCTGGCACGCC TATCGCGGGCGGG CAGGGG CTTAT
541	GCGCAGGCGGCCGCCC GTCT GTGAAATCTGGCAGTTACCGTTAGCTTCGAATTGGCTA
601	AAAAGT GTT CATCGGCTACCGGTGAA ACACGGACGCCA ATCGTT GCACAGGCC GATCTGC
661	AAGACCCACACAAGCCCCTCGCCCTGAAAGGGGTACGCATCCGCC GTGGCTGGTCCGCGCG
721	ATGGCGCTGAGTTACTTGCTGCCGTTCGAACATAAGAACGAACTCTACGTAATGCCG
781	GGATACCCGTGGCAGCGATAGCT GTTGCCTGTTCGAAAATTGGAGGTGTGAA <u><b>ATG</b></u>
1	ORF2
841	( <i>rhlA</i> ) → CGCGCGAAGTGCTGTTGGTATCGGTTGCAAGGGCCTGC GGACATGTCGAGCGCGTT
2	R R E S L L V S V C K G L R V H V E R V

(มีต่อหน้าถัดไป)

901	GGGCAGGATCCCGGGCGCAGCACGGTGATGCTGGTCAACGGCGCATGGCGACCACCGCC
22	G Q D P G R S T V M L V N G A M A T T A
961	TCGTTCGCCCGGACCTGCAAGTGCCTGGCGAACATTCAACGTGGTGTGTTGACCTG
42	S F A R T C K C L A E H F N V V L F D L
1021	CCCTTCGCCGGCAGTCGCGTCAGCACAAACCCGCAAGCGCGGGTTGATCACCAAGGACGAC
62	P F A G Q S R Q H N P Q R G L I T K D D
1081	GAGGTGGAAATCCTCCTGGCGCTGATCGAGCGCTTCGAGGTCAATCACCTGGTCTCCGCG
82	E V E I L L A L I T E R F E V N H L V S A
1141	TCGTGGGGCGGTATCTCACGCTGCTGGCGCTGTCGCGCAATCCGCGCGCATCCGCGAC
102	S W G G I S T L L A L S R N P R G I R S
1201	TCGGTGGTGTGGCATTGCCCTGGACTGAACCAGGCGATGCTCGACTACGTCGGCGG
122	S V V M A F A P G L N Q A M L D Y V G R
1261	GCGCAGGCCGTGATCGAGCTGGACGACAAGTCGGCGATCGGCATCTGCTCAACGAGACC
142	A Q A L I E L D D K S A I G H L L N E T
1321	GTCGGCAAATACTGCCGCCGCCCTGAAAGCCAGCAACCATCAGCACATGGCTTCGCTG
162	V G K Y L P P R L K A S N H Q H M A S L
1381	GCCACCGGCGAATACGAGCAGGCGCGCTTCACATGACCAGGTGCTGGCGCTCAACGAT
182	A T G E Y E Q A R A H I D Q V L A L N D
1441	CGGGGCTACCTGGCTTGCCTGGAGCGGATCCAGAGGCCACGTGCATTCAACGGCAGC
202	R G Y L A C L E R I Q S H V H F I N G S
1501	TGGGACGAATAACACCACCGCCGAGGGACGCCAGTTCCCGCACTACCTGCCGACTGC
222	W D E Y T T A E D A R Q F R D Y L P H C
1561	AG

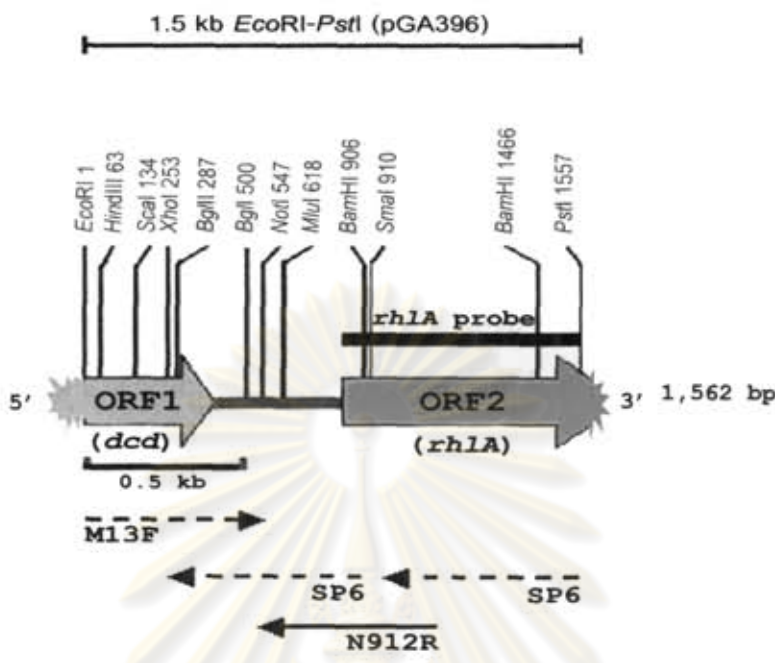
รูปที่ 4.18 ลำดับนิวคลีโอไทด์ของชิ้นดีเอ็นเอสอดแทรกในรีคอมบิแนนท์พลาสมิด pGA396 ขนาด 1562 bp ซึ่งได้จากการใช้ไฟร์เมอร์ M13 forward SP6 และ N912R กับพลาสมิด pGA396 และไฟร์เมอร์ SP6 กับ พลาสมิด pN9

เมื่อนำไปเทียบความคล้ายของร่องมูลลำดับนิวคลีโอไทด์กับลำดับกรดอะมิโนของยีนใน GenBank ด้วยโปรแกรม BlastX version 2.2.9 ซึ่งจะทำการแปลงลำดับนิวคลีโอไทด์ดังกล่าวให้เป็นลำดับกรดอะมิโน จากนั้นนำไปเทียบความคล้ายคลึงกับกรดอะมิโนของยีนต่างๆ ใน GenBank พบรกรอบอ่านรหัสเปิด 2 กรอบที่ไม่สมบูรณ์ มีพิเศษทางการอ่านรหัสไปทางเดียวกันเรียงตามลำดับดังต่อไปนี้

1. กรอบอ่านรหัสเปิดที่ 1 (ORF1) เป็นกรอบอ่านรหัสเปิดที่ไม่สมบูรณ์ กล่าวคือไม่พบกรดอะมิโนเมธิโอนีนที่ตำแหน่งที่ 1 ของ ORF (start codon) มีลำดับนิวคลีโอไทด์ 411 bp แปลงได้เป็น 137 ลำดับกรดอะมิโน มีความคล้ายกับ deoxycytidine triphosphate (dCTP) deaminase ของ *Pseudomonas aeruginosa* PAO1 (Stover และคณะ, 2000) และ *Pseudomonas putida* KT2440 (Nelson และคณะ, 2002) เท่ากับ 100% และ 94% ตามลำดับ ทำหน้าที่กระตุ้นการสังเคราะห์ dUTP จาก dCTP ในกระบวนการสังเคราะห์ dUMP เพื่อนำไปใช้ในการสร้าง thymine nucleotide ซึ่งไม่เกี่ยวข้องกับกระบวนการสังเคราะห์แรมโนลิพิด ให้ชื่อ ORF1 ว่า *dcd*

2. กรอบอ่านรหัสเปิดที่ 2 (ORF2) เป็นกรอบอ่านรหัสเปิดที่ไม่สมบูรณ์เนื่องจากไม่พบรหัสหยุด ประกอบด้วย 241 ลำดับกรดอะมิโน พบรดอะมิโนเมธิโอนีนที่ตำแหน่งที่ 1 ของ ORF (start codon) กรดอะมิโนที่ถูกดรัฟต์ได้มีความคล้ายกับ rhamnosyltransferase ของ *Pseudomonas aeruginosa* PG201 (Ochsner และคณะ, 1994a) เท่ากับ 100% ซึ่งเป็นหนึ่งหน่วยของเอนไซม์ rhamnosyltransferase 1 ที่เป็นตัวกระตุ้นให้เกิดการสังเคราะห์แรมโนลิพิด ชนิดที่ 1 แต่กรอบอ่านรหัสเปิดที่ได้นี้ยังไม่ครบกรอบอ่านรหัสเปิดและยังไม่พบรหัสหยุด จึงต้องติดตามส่วนที่เหลือและทดลองยืน *gtaA* ให้ครบกรอบอ่านรหัสเปิดต่อไป ให้ชื่อ ORF2 ว่า *rhaA*

จากข้อมูลลำดับนิวคลีโอไทด์ทั้งหมดและผลการเทียบความคล้ายของข้อมูลลำดับนิวคลีโอไทด์ กับลำดับกรดอะมิโนของยีนใน GenBank ด้วยโปรแกรม BlastX version 2.2.9 ซึ่งจะทำการแปลงลำดับนิวคลีโอไทด์ดังกล่าวให้เป็นลำดับกรดอะมิโน จากนั้นนำไปเทียบความคล้ายคลึงกับกรดอะมิโนของยีนต่างๆ ใน GenBank สามารถสรุปกรอบอ่านรหัสเปิดที่พบจากชิ้นเดียวเท่ากับ สอด pGA396 pBR530 และ pBR123 ได้ตามตารางที่ 4.2 ดังต่อไปนี้ ซึ่งยังพบว่ากรอบอ่านรหัสเปิดบางกรอบ คือ กรอบอ่านรหัสเปิดที่ 2 ของ pGA396 และกรอบอ่านรหัสเปิดที่ 1 ของ pBR530 และ pBR123 ยังไม่สมบูรณ์และเป็นกรอบอ่านรหัสเปิดที่เกี่ยวข้องกับการสังเคราะห์แรมโนลิพิดของ *Pseudomonas aeruginosa* A41 ส่วนกรอบอ่านรหัสเปิดที่ 1 ของ ชิ้นเดียวเท่ากับสอดใน pGA396 นั้นถึงแม้ว่าข้อมูลของลำดับนิวคลีโอไทด์ไม่สมบูรณ์แต่ไม่จำเป็นต้องศึกษาต่อ เพราะเป็นกรอบอ่านรหัสที่ไม่เกี่ยวข้องกับการสังเคราะห์แรมโนลิพิดของ *Pseudomonas aeruginosa* A41



รูปที่ 4.19 แผนที่เรสทริกชันของชิ้นดีเอ็นเอสอดแทรกจากพลาสมิด pGA396 ขนาด 1,562 bp แสดงตำแหน่งที่เป็นกรอบอ่านรหัสเปิด (ORF) ดีเอ็นเอติดตาม *rhlA* และทิศทางการหาลำดับนิวคลีโอไทด์ด้วยไฟร์เมอร์ต่างๆ ของชิ้นดีเอ็นเอสอดแทรก ลูกศรในญี่แสลงทิศทางการถอดรหัสเป็นกรดอะมิโนของกรอบอ่านรหัสเปิดตามชื่อที่ระบุไว้ด้านล่าง ลูกศรเล็กแสลงทิศทางการหาลำดับนิวคลีโอไทด์ ของไฟร์เมอร์ตัวต่างๆ ตามที่ระบุชื่อไว้ด้านล่างลูกศร โดย → เป็นการหาลำดับ นิวคลีโอไทด์โดยใช้ไฟร์เมอร์ที่ออกแบบเอง(designed primer) และ - → เป็นการ หาลำดับนิวคลีโอไทด์โดยใช้ universal primer เครื่องหมาย ⚡ และ ⚡ แสดง ORF ที่ไม่สมบูรณ์

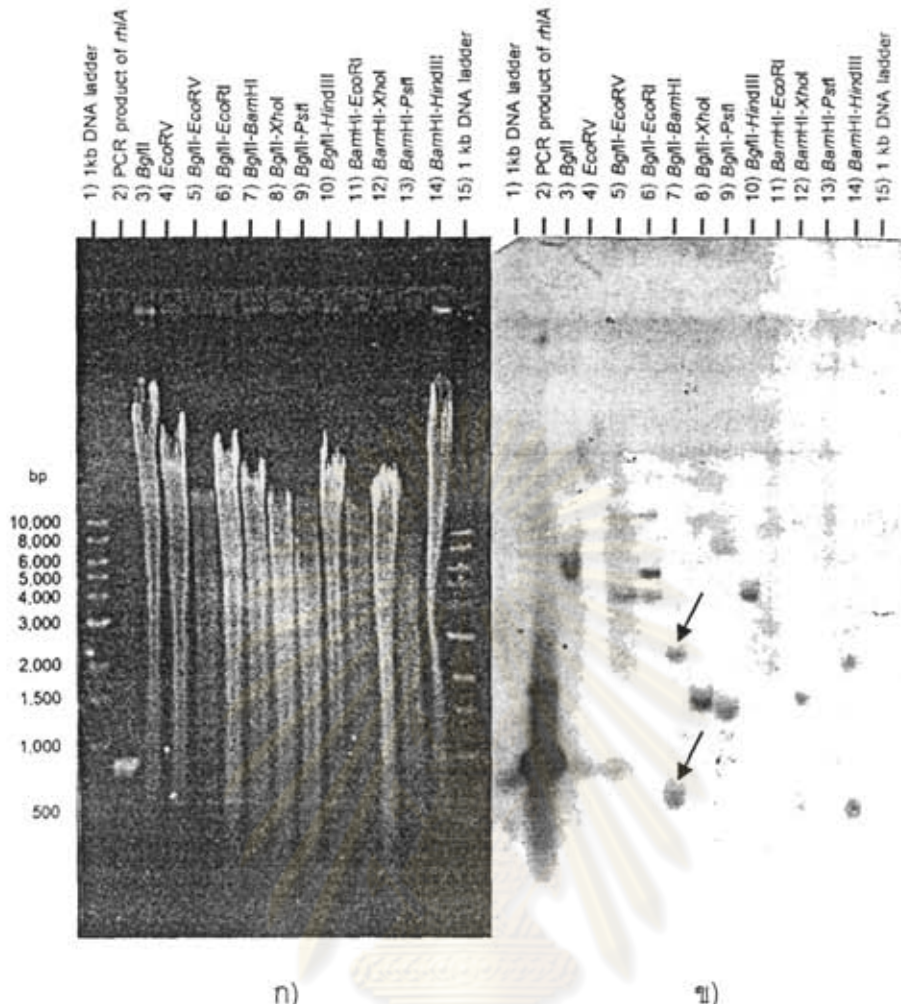
จุฬาลงกรณ์มหาวิทยาลัย

#### 4.12 การโคลน *rhlA* ส่วนที่เหลือ

จากการหาลำดับนิวคลีโอไทด์ของชิ้นดีเอ็นเอสอดแทรกในรีคอมบิแนทพลาสมิด pGA396 พบว่ากรอบอ่านรหัสเปิดที่ปลาย 3' ของชิ้นดีเอ็นเอแทรกสองคู่ของรหัสคล้าย rhamnosyl transferase 1 chain A แต่ไม่พบรหัสหยุดจึงทำให้กรอบอ่านรหัสดังกล่าวไม่สมบูรณ์ ดังนั้น เพื่อหาลำดับนิวคลีโอไทด์ของ *rhlA* ให้ครบกรอบอ่านรหัสเปิดจึงโคลนชิ้นส่วนของดีเอ็นเอบนโครโน่ไซมของ *Pseudomonas* sp. A41 ที่มีส่วน *rhlA* ที่เหลือ จากผลการค้นหาชิ้นส่วนของดีเอ็นเอบนโครโน่ไซมของ *Pseudomonas* sp. A41 ที่มี *rhlA* ด้วยเทคนิคไอบริไดเรชันในรุ่น 4.9 ตามรูปที่ 4.14 จะเห็นได้ว่าเรสทริกชันเอนไซม BamHI จะตัดดีเอ็นเอให้สัญญาณ 3 สัญญาณ ซึ่งมีขนาด 5.5 2.0 และ 0.5 กิโลเบต จากการหาลำดับนิวคลีโอไทด์และทำแผนที่เรสทริกชัน ของรีคอมบิแนทพลาสมิด pGA396 ในรุ่ปที่ 4.17 ทำให้ทราบเพิ่มเติมอีกว่าชิ้น BamHI ขนาด 0.5 กิโลเบต นั้นอยู่กลางยีน *rhlA* ส่วนอีกสองชิ้นที่เหลือนั้นไม่ทราบว่าชิ้นใดอยู่บริเวณปลายยีน *rhlA* ดังนั้นจึงทำการตัดจิโน mikti เอ็นเอของ *Pseudomonas* sp. A41 ด้วยเรสทริกชันเอนไซม บางชิ้นตามที่แสดงในรุ่ปที่ 4.20 เพื่อเปรียบเทียบหาชิ้นที่คาดว่ามีส่วนปลายของยีน *rhlA*

ตัดจิโน mikti เอ็นเอของ *Pseudomonas* sp. A41 อย่างสมบูรณ์ด้วยเรสทริกชันเอนไซมต่างๆ ซึ่งแสดงในรุ่ปที่ 4.20 ๙) ผลไอบริไดเรชันเป็นดังที่แสดงในรุ่ปที่ 4.20 ๑) พนว่าเกิดสัญญาณ ไอบริไดซ์ต่างกัน ชิ้นผลิตภัณฑ์ PCR จากการเพิ่มจำนวน *rhlA* บนจิโน mikti เอ็นเอของ *Pseudomonas* sp. A41 ด้วยไฟรเมอร์ RA-F และ RA-R จะให้สัญญาณชิ้นดีเอ็นเอขนาดประมาณ 800 bp ซึ่งเป็นดีเอ็นเอที่นำไปสร้างเป็นดีเอ็นเอติดตาม *rhlA* (*rhlA*-probe)

ศูนย์วิทยทรัพยากร  
จุฬาลงกรณ์มหาวิทยาลัย



รูปที่ 4.20 ง) อะก้าโรสเจลที่มีตีอีนของ *Pseudomonas* sp. A41 ที่ตัดด้วยเรสทริกชัน เอ็นไซม์บางชนิด ข) สัญญาณจากเช้าท์ไฮบริไดเซชันด้วยตีอีนเอติดตาม *rhlA*

จากการค้นหาขั้นส่วนของตีอีนขอบนิครโนโรมของ *Pseudomonas* sp. A41 ที่มีส่วนปลายยืนของ *rhlA* ด้วยเทคนิคไฮบริไดเซชันตามรูปที่ 4.20 จะเห็นได้ว่าเมื่อตัดด้วยเรสทริกชัน เอ็นไซม์ *Bg*II-*Bam*HI จะตัดดีอีนเอให้สัญญาณ 2 สัญญาณ ซึ่งมีขนาด 2.0 และ 0.5 กิโลเบส ไม่พบสัญญาณขนาด 5.0 กิโลเบส จะแสดงให้เห็นว่าเรสทริกชันเอนไซม์ *Bg*II จะตัดภายในชิ้น *Bam*HI ขนาด 5.0 กิโลเบส ให้มีสัญญาณรวมกับชิ้น *Bam*HI ขนาด 0.5 กิโลเบส ซึ่งให้ผลสอดคล้องกับแผนที่เรสทริกชันของรีคอมบิแนนท์พลาสมิດ pGA396 ในรูปที่ 4.17 ที่จะมีบริเวณจุดจั่งของเรสทริกชันเอนไซม์ *Bg*II อยู่เหนือบริเวณจุดจั่งของ *Bam*HI ไปทางปลาย 5' เมื่อตัดด้วย เรสทริกชันเอนไซม์ *Bg*II-*Bam*HI จะให้ตีอีนขนาด 0.5 เซ่นกัน แสดงว่าชิ้น *Bam*HI ขนาด 5.0 กิโลเบสนี้จะอยู่บริเวณเหนือยืน *rhlA* ดังนั้นเรสทริกชันเอนไซม์ที่เหมาะสมในการคลุนชิ้น *rhlA* ส่วนปลายยืนให้ครบกรอบอ่านรหัสเปิดคือ *Bam*HI ที่ให้สัญญาณขนาด 2.0 กิโลเบส

นำชิ้นดีเอ็นเอตั้งกล่าวแยกโคลนเข้า pBluescript KS(+-) ตามวิธีที่กล่าวไว้ในข้อ 3.9 และหранพื้อร์มเข้าสู่ *E. coli* DH5 $\alpha$  คัดเลือกโคลนที่ได้ชิ้นดีเอ็นเอที่ต้องการทำได้ด้วยวิธี Blue/ White selection เลือกเฉพาะโคลนที่มีโคลนีสีขาว จากนั้นคัดเลือกโคลนตั้งกล้ามอาทศอบโดยสุ่มผสุม โคลนทั้งหมด 10 โคลนต่ออาหารเลี้ยงเชื้อเหลา LB 1 หลอด ตกด้วยรีคอมบินันท์พลาสมิດ จากแต่ละหลอดอาหารเลี้ยงเชื้อ จะกันน้ำพลาสมิດเหล่านั้นมาทำ Dot blot hybridization ด้วยดีเอ็นเอ ติดตาม *rhlA* ตามวิธีที่ได้กล่าวไว้ในข้อ 3.9.4.3) ผลสัญญาณจากการไฮบริเดชันของโคลนที่ได้รับ ชิ้นดีเอ็นเอกซนาด 2.0 กิโลเบส ซึ่งมีส่วนปลายเป็น *rhlA* อยู่ เป็นไปตามรูปที่ 4.21



รูปที่ 4.21 n) Dot blot hybridization ของรีคอมบินันท์พลาสมิດที่มีชิ้นดีเอ็นเอกซ์ของ *Pseudomonas* sp. A41 ขนาด 2.0 กิโลเบสอยู่ ด้วยดีเอ็นเอติดตาม *rhlA* x) Dot blot hybridization ของรีคอมบินันท์พลาสมิດของโคลนจากตัวอย่างกลุ่ม A11 ด้วยดีเอ็นเอ ติดตาม *rhlA*

ช่องที่ A1 F11 และ a1 ผลิตภัณฑ์ PCR ของยีน *rhlA* (ตัวควบคุมผลบวก)

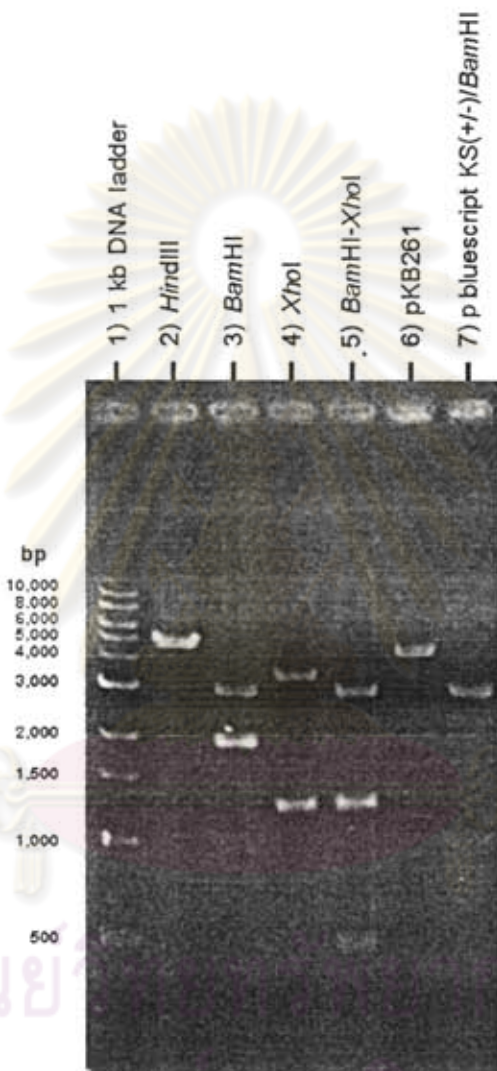
ช่องที่ A2 F10 และ a2 พลาสมิດ pBluescript KS(+-) (ตัวควบคุมผลลบ)

ช่องที่ A3-F9 รีคอมบินันท์พลาสมิດของโคลนผสุม

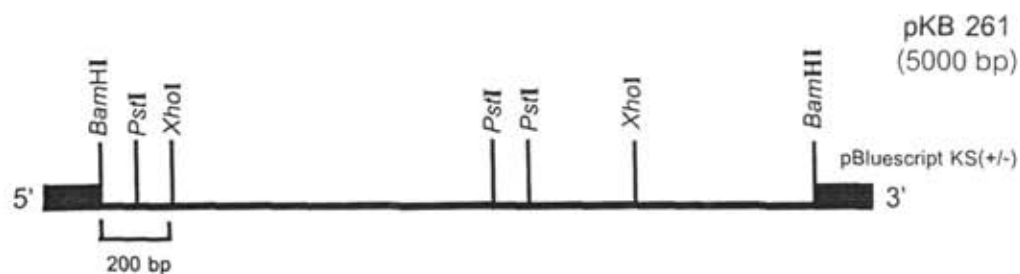
ช่องที่ b1-f2 รีคอมบินันท์พลาสมิດของโคลนจากตัวอย่างกลุ่ม A11

จากสัญญาณที่ปรากฏขึ้นในรูปที่ 4.21 แสดงว่าในโคลนที่ได้รับชิ้นดีเอ็นเอกซนาด 2.0 กิโลเบส มีดีเอ็นเอที่ต้องการ (positive clone) อยู่ในตัวอย่างกลุ่ม A11 ดังแสดงในรูปที่ 4.21 n) คัดเลือกตัวอย่างกลุ่ม A11 ซึ่งประกอบด้วยโคลนต่างๆ 10 โคลน มาแยกให้ได้โคลนที่มีชิ้นดีเอ็นเอที่ต้องการ โดยการแยกเพาะเลี้ยงแต่ละโคลนในอาหารเลี้ยงเชื้อและตกด้วยวิธี alkaline lysis จากนั้นนำพลาสมิດเหล่านั้นมาทำ Dot blot hybridization ด้วยดีเอ็นเอติดตาม *rhlA* อีกครั้ง พบว่าโคลนที่ d2 ให้ผลบวกหลังจากทำไฮบริเดชัน แสดงว่าโคลนตั้งกล่าวมีชิ้นดีเอ็นเอที่ต้องการ

จึงเลือกโคลน d2 มาศึกษา และตัดชิ้นพลาสมิดนี้ว่า pKB261 ดังแสดงในรูปที่ 4.21 ข) ทำการตัดพลาสมิด pKB261 ด้วยเรสทริกชันเอนไซม์บางชนิด ดังแสดงในรูปที่ 4.22 เพื่อทราบการจัดเรียงตัวของชิ้นดีเอ็นเอสอดแทรกในพลาสมิด จากนั้นนำชิ้นดังกล่าวไปสร้างแผนที่เรสทริกชันของรีคอมบินันท์พลาสมิดดังแสดงในรูปที่ 4.23



รูปที่ 4.22 ภาพอะกริโลฟิล์มที่มีดีเอ็นเอของพลาสมิด pKB261 ที่ตัดด้วยเรสทริกชันเอนไซม์ชนิดต่างๆ เพื่อหาตำแหน่งการจัดเรียงตัวของชิ้นดีเอ็นเอสอดแทรก  
ช่องว่างที่ 1 1 kb DNA ladder  
ช่องว่างที่ 2-6 พลาสมิด pKB261 ที่ตัดด้วยเรสทริกชันเอนไซม์  
ช่องว่างที่ 7 พลาสมิด pKB261 ที่ตัดด้วยเรสทริกชันเอนไซม์ BamHI



รูปที่ 4.23 แผนที่เรสทริกชัน (Restriction map) ของพลาสมิด pKB261

#### 4.13 การหาลำดับนิวคลีโอไทด์ของชิ้นดีเอ็นเอที่สอดแทรกอยู่ใน pKB261

จากการหาลำดับนิวคลีโอไทด์โดยใช้หั้งวีซี primer walking ซึ่งเป็นการอ่านแบบไฟร์เมอร์ที่จำเพาะกับลำดับนิวคลีโอไทด์ส่วนที่ทราบแล้วเพื่อนำมาลำดับนิวคลีโอไทด์ต่อจากบริเวณดังกล่าว และอีกวิธีหนึ่งคือ การหาลำดับนิวคลีโอไทด์ด้วย universal primer ที่จำเพาะกับปลายด้านใดด้านหนึ่งของพลาสมิดเวลาเดอร์ในรีคอมบิแนนท์พลาสมิด ได้ลำดับนิวคลีโอไทด์ที่อยู่ภายใต้ชิ้นดีเอ็นเอ ที่สอดแทรกของรีคอมบิแนนท์พลาสมิด pKB261 ขนาด 1975 bp โดยใช้ไฟร์เมอร์ T3 T7 BF1 และ BR2 ซึ่งข้อมูลลำดับนิวคลีโอไทด์ทั้งหมดได้แสดงให้ในรูปที่ 4.24 ตั้งแต่ลำดับ นิวคลีโอไทด์ที่ 1466-3440 ซึ่งเมื่อนำไปเทียบความคล้ายของข้อมูลลำดับนิวคลีโอไทด์กับลำดับกรดอะมิโนของยืนใน GenBank ด้วยโปรแกรม Blast X version 2.2.9 ซึ่งจะทำการแปลงลำดับ นิวคลีโอไทด์ดังกล่าวให้เป็นลำดับกรดอะมิโน จากนั้นนำไปเทียบความคล้ายคลึงกับกรดอะมิโนของยืนต่างๆ ใน GenBank พนกรอบอ่านรหัสเปิด 3 กรอบ มีพิเศษทางการอ่านรหัสเปิดทางเดียวทันเรียงตามลำดับ ดังต่อไปนี้ กรอบอ่านรหัสแรก ประกอบด้วย 85 ลำดับกรดอะมิโน พบรหัสหยุด แต่ไม่พบรหัสหยุด ในเมธิโอนีที่ตำแหน่งที่ 1 ของ ORF (start codon) ตั้งนั้นกรอบอ่านรหัสนี้จึงไม่สมบูรณ์ ลำดับกรดอะมิโนคล้ายกับ rhamnosyltransferase chain A ที่กรดอะมิโนที่ 211-295 ของ *Pseudomonas aeruginosa* PAO1 (Stover และคณะ, 2000) และ *Pseudomonas aeruginosa* PG201 (Ochsner และคณะ, 1994a) เท่ากัน 100% กรอบอ่านรหัสเปิดที่ 2 เป็นกรอบอ่านรหัสเปิดที่ 3 ประจำตัวอยู่ปลาย 3' ของชิ้นดีเอ็นเอแทรกสอด พngrดอะมิโนเมธิโอนีที่ตำแหน่งที่ 1 ของ ORF (start codon) แต่ไม่พบรหัสหยุดจึงทำให้กรอบอ่านรหัสนี้ไม่สมบูรณ์ ประกอบด้วย 81 ลำดับ

การดูดมิโน คล้าย 100% กับการดูดมิโนที่ 1-81 ของ regulatory protein RhIR ที่ระบุรหัสโดย rhIR ของ *Pseudomonas aeruginosa* PAO1 (Stover และคณะ, 2000) และ *Pseudomonas aeruginosa* PG201 (Ochsner และคณะ, 1994b)

จากการหาลำดับนิวคลีโอไทด์ของชิ้นดีเอ็นเอแทรกสอดใน pKB261 พบว่ากรอบอ่านรหัสเปิดที่ 1 ซึ่งอยู่ที่ปลาย 5' มีความคล้าย rhamnosyltransferase chain A เช่นเดียวกับ กรอบอ่านรหัสเปิดที่ 2 บริเวณปลาย 3' ของชิ้นดีเอ็นเอแทรกสอดใน pGA396 พอนำลำดับนิวคลีโอไทด์มาเปรียบเทียบกันพบว่ามีลำดับนิวคลีโอไทด์ซ้ำกันอยู่ 93 bp โดยชิ้นดีเอ็นเอแทรกสอดใน pGA396 จะเรียงตัวอยู่หน้าชิ้นดีเอ็นเอแทรกสอดใน pKB261

ส่วนกรอบอ่านรหัสเปิดที่ 2 และ 3 ของชิ้นดีเอ็นเอแทรกสอดใน pKB261 พบว่าคล้าย rhamnosyltransferase chain B และ regulatory protein RhIR เมื่อนอกับชิ้นดีเอ็นเอแทรกสอดใน pBR530 เมื่อนำลำดับนิวคลีโอไทด์มาเทียบกันพบว่ามีลำดับนิวคลีโอไทด์ซ้ำกันอยู่ 513 bp โดย pKB261 เรียงอยู่หน้า pBR530 ดังนั้นแสดงว่าชิ้นดีเอ็นเอแทรกสอดใน pGA396 pKB261 pBR530 และ pBR123 เรียงตัวต่อกันตามลำดับ

#### 4.14 การวิเคราะห์ลำดับนิวคลีโอไทด์จากรีคอมบินันท์พลาสมิดทั้งหมดที่สร้างขึ้นของ *Pseudomonas* sp. A41

จากการหาลำดับนิวคลีโอไทด์ของชิ้นดีเอ็นเอแทรกสอดจากรีคอมบินันท์พลาสมิด pGA396 pKB261 pBR530 และ pBR123 ที่สร้างขึ้นในการทดลองนี้ เมื่อนำข้อมูลที่ได้ทั้งหมดมาเทียบต่อกันจะได้ลำดับนิวคลีโอไทด์ขนาด 4,965 bp ตามที่ได้แสดงไว้ในรูปที่ 4.24 จากรูปพบว่า เมื่อนำลำดับนิวคลีโอไทด์ทั้งหมดดังกล่าวไปวิเคราะห์โดยโปรแกรม BlastX ที่แปลงข้อมูลลำดับนิวคลีโอไทด์ให้เป็นลำดับกรดอะมิโนจากนั้นนำไปเทียบหากความคล้ายกับกรดอะมิโนของยีนต่างๆ ใน GenBank (ภาคผนวก ค) พบรอบอ่านรหัสเปิด (Open Reading Frame, ORF) จำนวน 5 รอบซึ่งมีทิศทางการอ่านรหัสไปทางเดียวกัน ข้อมูลของแต่ละกรอบอ่านรหัสเปิดและเปอร์เซ็นต์ความคล้ายกับยีนอ้างอิงได้สรุปไว้ในตารางที่ 4.2 ข้อมูลลำดับนิวคลีโอไทด์ทั้งหมดแสดงในรูปที่ 4.24 และสามารถนำไปสร้างเป็นแผนที่เรสทริกชันไซด์โดยละเอียดดังแสดงในรูปที่ 4.26 จากรูปจะแสดงบริเวณจุดของเรสทริกชันไซด์ในชิ้นดีเอ็นเอสอดแทรกจากรีคอมบินันท์พลาสมิดชนิดต่างๆ บริเวณที่เป็นกรอบอ่านรหัสเปิดทุกรอบและบริเวณที่ใช้ในการสร้างดีเอ็นเอติดตาม

ORF1 (dcd) →

1 5' GAATTCAAGGTGTCACCAACATCCATTGGCGTGGTCGATCCGAAGAACCTCGACGAG  
 52 E F K V F T N I H S A V V D P K N F D E

61 AAAAGCTTCTGTCGACATCAACAGCAGCTCGCATCATCCCCTGGAACTCCCTGGCCCTG  
 72 K S F V D I N S D V C I I P P N S F A L

121 GCGCGCACCGTCGAGTACTTCCGCATCCCCGCGCAGTCCTGACCATCTGCCCTGGCAAG  
 92 A R T V E Y F R I P R D V L T I C L G K

181 AGCACCTACGCGCGTTGGCATCATCGTCAACGTCACCCCGCTGGAGCCGGAGTGGAA  
 112 S T Y A R C G I I V N V T P L E P E W E

241 GGCATGTGACCCCTCGAGTTCTCCAATACCAACCCACTGCCGGCGAAGATCTACGCAAAT  
 132 G H V T L E F S N T T N L P A K I Y A N

301 GAAGGCCTGGCGCAGATGCTCTTCTGCAATCCGACGAGGCCTGCGAAGTGTCCATAAG  
 152 E G V A Q M L F L Q S D E A C E V S Y K

361 GACCGTGGCGCAAATACCAGGGTCAGCGCGCGTACCGTCAACGCGCCAGCTTGCAATTGCAAGCCTGGCG  
 172 D R G G K Y Q G Q R G V T L P K A \*

421 AGCGTTTCGACACCGGAAACCGGGCTGGCGCCCGTTTCTGCGCTTATCGCGGGCGGGCAGGGGCTTAT

481 CCCTCGCTGTTCCCCGCCCGCTCTGGCACGCCATTATCGCGGGCGGGCAGGGGCTTAT

*las box*      *σ<sup>54</sup>-Type promoter*

541 GCGCAGGCGGCCGCGCTCTGAAATCTGGCAATTGCTTACCGTTAGCTTCGAATTGGCTA

601 AAAAGTGTTCATCGCTACCGTGAAACACGGACGCCAACGTTGCGCAGGCCATCTGCA

661 AAGACCCACACAAGCCCCCGCCTGAAGGGGTACGCATCCGCCGTGGCTGGTCCGCGG

721 ATGGCCGCTGAGTTACTTGTCTGCCGTTCGAACATAAGAACGAACTTACGTAATGCCG

**(S/D)**      ORF2

781 1 GGATACCGTGGCAGCGATAGCTGTTGCCGTTCAAAATTGGGAGGTGAAATG  
 M

(xhla) →

841 CGCGCGAAAGTCTGTTGGTATCGGTTGCAAGGGCTGCCTGACTATGTCGAGCGCGTT  
 2 R R E S L L V S V C K G L R V H V E R V

901 GGGCAGGATCCGGCGCAGCACGGTGATGCTGGTCAACGGCGCATGCCGACCCGCC  
 22 G Q D P G R S T V M L V N G A M A T T A

961 TCGTCGCCGGGACCTGCAAGTGCCTGCCGAAACATTCAACGTGGTGTCTGACCTG  
 42 S F A R T C K C L A E H F N V V L F D L

1021 CCCTCGCCGGGAGTCGCGTCAGCACACCCGAGCGCGGGTTGATCACCAAGGACGAC  
 62 P F A G Q S R Q H N P Q R G L I T K D D

1081 GAGGTGGAATCCCTCTGGCGTGATCGAGCGCTCGAGGTCAATCACCTGGTCTCCGCG  
 82 E V E I L L A L I E R F E V N H L V S A

1141 TCGTGGCGGTATCTCCACGCTGCTGGCGCTGTCGCGCAATCCCGCGGCATCCGAGC  
 102 S W G G I S T L L A L S R N P R G I R S

1201 TCGGTGGTGTGGCATTGCCCTGGACTGAACCAGGCGATGCTCGACTACGTCGGCGG  
 122 S V V M A F A P G L N Q A M L D Y V G R

1261 GCGCAGGCGCTGATCGAGCTGGACGACAAGTCGGCGATCGGCATCTGCTAACGAGACC  
 142 A Q A L I E L D D K S A I G H L L N E T

1321 GTCGGCAAATACCTGCCGCCGCGCCTGAAAGCCAGCAACCAGCACATGGCTTCGCTG  
 162 V G K Y L P P R L K A S N H Q H M A S L

(มีต่อหน้าอีกใบ)

1381	GCCACCGGCGAATACGAGCAGGCGCTTCACATCGACCAGGTGCTGGCGCTAACGAT
182	A T G E Y E Q A R A H I D Q V L A L N D
1441	CGGGGCTACCTGGCTTGCCTGGAGCGGATCCAGAGCCACGTGCATTTCATCAACGGCAGC
202	R G Y L A C L E R I Q S H V H F I N G S
1501	TGGGACGAATACACCACCAGGCCAGGGACGCCAGTTCCGACTACCTGCCGACTGC
222	W D E Y T T A E D A R Q F R D Y L P H C
1561	AGTTTCTCGGGTGGAGGGCACCGGCATTCCTCGACCTGGAGTCCAAGCTGGCCGCG
242	S F S R V E G T G H F L D L E S K L A A
1621	GTACCGGTGACCGCCCTGCTCGAGCACCTGCTGAAGCAACGGAGCCGAGCAGGGCG
262	V R V H R A L L E H L L K Q P E P Q R A
1681	GAACCGCGGCGGGATTCCACGAGATGGCCATCGGCTACGCC <u>TGA</u> ACCCTTGACCTGCGA
282	E R A A G F H E M A I G Y A *
	<b>(S/D) ORF3</b>
1741	AGACCCGGCTGGCGGGCTTGCGGTTGCATAACGCA <u>CGAGTAG</u> CCCC <u>ATG</u> CACGCCA
1	M H A I
1801	<b>(rh1B) →</b> TCCTCATCGGCATCGCTCGGCCGGACGTATTCCTCATCGGCTGGCGACCC
5	L I A I G S A G D V A P F I G L A R T L
1861	TGAATTGCGCGGGCACCGCGTGAGCCTCTGCACCACCCGTGTTCGCGACCGGTGG
25	K L R G H R V S L C T I P V A R D A V E
1921	AGCAGCACGGCATCGCTCGTCCCCTGAGCGACGAACGTACCTACCGCCGACCATGG
45	Q H G I A F V P L S D E L T Y R R T M G
1981	GCGATCCGCCCTGTGGACCCCAAGACGTCCCTCGCGTGTCTGGCAAGCCATGCCG
65	D P R L W D P K T S F G V L W Q A I A G
2041	GGATGATCGAGCCGGTACGAGTACGTCGGCGACGCCATGACGACATCGTGGTGG
85	M I E P V Y E Y V S A Q R H D D I V V V
2101	TCGGCTCGCTCTGGCGCTGGCGCACGCATCGCTACGAGAAAGTACGGGATTCCCTACC
105	G S L W A L G A R I A H E K Y G I P Y L
2161	TGTCCGCGCAGGTCTGCCATGACCTTGTGTCGGCGCACCTGCCCGGTACACCCCA
125	S A Q V S P S T L L S A H L P P V H P K
2221	AGTTCAACGTGCCAGCGAGATGCCGTGGCGATGCGCAAGCTGCTGGCGTCATCG
145	F N V P E Q M P L A M R K L L W R C I E
2281	AGCGCTTCAAGCTGGATCGCACCTCGCGCCGGAGATCAACCGGTGCGCCGAAGGTCG
165	R F K L D R T C A P E I N A V R R K V G
2341	GCCTGGAGACGCCGGTGAAGCGCATTTACCCATGGATGCATTGCCGAGGGCGTGG
185	L E T P V K R I F T Q W M H S P Q G V V
2401	TCTGCCTGTTCCCGCTGGCTCGCGCCGCCAGCAGGATTGGCGCAACCCCTGCACA
205	C L F P A W F A P P Q Q D W P Q P L H M
2461	TGACCGGCTCCCGCTGGACGGCAGTATCCGGGGACCCCGCTCGACGACGAACTGC
225	T G F P L F D G S I P G T P L D D E L Q
2521	AACGCTTCTCGATCAGGGCAGCCGCCCTGGTGTTCACCCAGGGCTCGACCGAACACC
245	R A L D Q G S R P L V F T Q G S T E H L
2581	TGCAGGGCGACTTCTACGCCATGGCCCTCGCGCGCTGGAAACGCCCTGGCGCGTGGGA
265	Q G D F Y A M A L R A L E R L G A R G I
2641	TCTTCCTCACCGCGCCGGCCAGGAACCGCTCGCGGCTGCCGAATCACGTGCTGCAGC
285	F L T G A G Q E P L R G L P N H V L Q R

2701 GCGCCTACGCCACTGGGAGCCTTGCATCGTCGCCGGCTGGTCCATCCGGCG  
 305 A Y A P L G A L L P S C A G L V H P G G  
  
 2761 GTATCGCGCCATGAGCCTGGCCTTGGCGGGGGTGCCGCAAGGTGCTGCTGCCCTGCG  
 325 I G A M S L A L A A G V P Q V L L P C A  
  
 2821 CCCACGACCAGTCGACAATGCCAACGGCTGGTCCGGCTCGGCTGCCGGATGCCCTGG  
 345 H D Q F D N A E R L V R L G C G M R L G  
  
 2881 GCGTGCCATTGCGCGAGCAGGAGTTGGCGGGGGCTGTGGCGCTTGCTCGAGGACCCGG  
 365 V P L R E Q E L R G A L W R L L E D P A  
  
 2941 CCATGGCGCGGCCGTGGCGTTCATGGAATTGTCACAACCGCACAGTATCGCTTGCG  
 385 M A A A C R R F M E L S Q P H S I A C G  
  
 3001 GTAAAGCGGCCAGGTGGCGAACGTTGTCATAGGGAGGGGATGCCGATGGCTGAAGG  
 405 K A A Q V V E R C H R E G D A R W L K A  
  
 3061 CTGCGTCCTGAACGGTGCTGGCATAACAGATAGGGTGCCATGATTTGCCGTATGGCA  
 425 A S \*  
  
 las box -35 → ← -10  
 3121 AGGCTGCCGCTTGACAGCGTCCATACCCGGGCAATTCTGGATGCATTTATCGA  
  
 (S/D) ORF4 (rhlR) →  
 3181 TCAGGGCTTACTGCAATGAGGAATGACGGAGGCTTTTGCTGTGGTGGACGGTTGCGT  
 1 M R N D G G A L L W W D G L R  
  
 3241 AGCGAGATGCAGCCGATCCACGACAGCCAGGGCGTTCGCGCTCTGGAAAAGGAAGTG  
 16 S E M Q P I H D S Q G V F A V L E K E V  
  
 3301 CGGCGCTGGCTTCGATTACTACGCCATGGCGCCATACGATTCCCTCACCCGG  
 36 R R L G F D Y Y A Y G V R H T I P F T R  
  
 3361 CCGAAGACCGAGGTCCATGGCACCTATCCAAGGCCCTGGCTGGAGCGATACAGATGCCAG  
 56 P K T E V H G T Y P K A W L E R Y Q M Q  
  
 3421 AACTACGGGGCCGTGGATCCGGCGATCTCAACGGCCTGCGCTCCTCGGAAATGGTGGTT  
 76 N Y G A V D P A I L N G L R S S E M V V  
  
 3481 TGGAGCGACAGCCTGTTGACCAAGAGCCGGATGCTCTGGAACGAGGCTCGCGATTGGGGC  
 96 W S D S L F D Q S R M L W N E A R D W G  
  
 3541 CTCGTGTCGCGCGACCTTGCGATCCGGCGACAACTTGCTCAGCGTGTCTTCC  
 116 L C V G A T L P I R A P N N L L S V L S  
  
 3601 GTGGCGCGACAGCAGAGAAATCTCCAGCTTGAGCGCGAGGAAATACGCCCTGCCGCTG  
 136 V A R D Q Q N I S S F E R E E I R L R L  
  
 3661 CGTTGCATGATCGAGTTGCTGACCCAGAAGCTGACCGACCTGGAGCATCCGATGCTGATG  
 156 R C M I E L L T Q K L T D L E H P M L M  
  
 C-terminus ๑๔ RhlR  
 3721 TCCAACCGGCTGCCATGCCGAGCGAGATCCGCAATGGACCGGCCGACGGC  
 176 S N P V C L S H R E R E I L Q W T A D G  
  
 3781 AAGAGTTCCGGGAAATGCCATCATCCTGAGCATCTCGAGAGCACGGTAACCTCCAC  
 196 K S S G E I A I I L S I S E S T V N F H  
  
 3841 CACAAGAACATCCAGAAGAAGTTGACCGCCGAACAAGACGCTGGCTGCCCTACGCC  
 216 H K N I Q K K F D A P N K T L A A A Y A  
  
 las box  
 3901 GCGCGCTGGCCTCATTGATGCTTAGGGCGGCCGGCTGGCGGCCCTACCAGATCTG  
 236 A A L G L I \*

(มีต่อหน้าต่อไป)

3961      GCAAGGTTGCCGTGCCGTTCATCCTCCTTAGTCTTCCCCCTATGTGTGTGCTGGTATGTC  
 4021      -35                        -10  
 4081      CTCCGACTGAGAGGGCCCAGGAGTATCAGGGTAGGGATGCCGCTTTTCTCGGCCGG  
 1                                        (S/D)            ORF5            (rh1I) →  
 1      CACCGACACGGGGACTTGGTC**ATGATCGAATTGCTCTCTGAATCGCTGGAAAGGGCTTCCG**  
 M I E L L S E S L E G L S A  
 4141      CGGCCATGATGCCGAGCTGGGACGCTACCGGCATCAGGTCTTCATCGAGAAGCTGGGCT  
 15               A M I A E L G R Y R H Q V F I E K L G W  
 4201      GGGATGTGGTCTCCACCTCCAGGGTCCCGCGACCAGGAGTTCGACCAGTTGACCATCCGC  
 35               D V V S T S R V R D Q E F D Q F D H P Q  
 4261      AAACCCGCTACATCGTCGCCATGGGCCAGGGTATCTGCCTGTTGTGCCGCCTGTTGC  
 55               T R Y I V A M G R Q G I C G C A R L L P  
 4321      CGACGACCGACGCCAACCTGCTCAAGGAAGTCTCGCCTACCTGTGCAGCGAAACCCGC  
 75               T T D A Y L L K E V F A Y L C S E T P P  
 4381      CCAGCGATCCGTCGGTCTGGGAGCTTCGGCTACGCCGCCAGCGCGGCCAGATCCGC  
 95               S D P S V W E L S R Y A A S A A D D D P Q  
 4441      AACTGGCGATGAAGATATTCTGGTCCAGCCTGCAATGCGCTGGTACCTGGCGCCAGTT  
 115               L A M K I F W S S L Q C A W Y L G A S S  
 4501      CGGTGGTGGCGGTGACCACCACGGCCATGGAGCGCTATTCTCGCAACGGCGTGATCC  
 135               V V A V T T T A M E R Y F V R N G V I L  
 4561      TCCAGCGCCTGGCCCCGCCAGAAGGTCAAGGGCGAGACGCTGGTCGCCATCAGCTTCC  
 155               Q R L G P P Q O K V K G E T L V A I S F P  
 4621      CGGCCTACCAGGAGCGCGGCCCTGGAGATGCTGCTGGCTACCCACCCGGAATGGCTGCAGG  
 175               A Y Q E R G L E M L L R Y H P E W L Q G  
 4681      GCGTACCGCTGTCGATGGCGGTGTGAGGTCGTAGCCGTTTCGGCAGCTTTCCGCTT  
 195               V P L S M A V \*  
 4741      CTCCTGCCGATGCTCGGCCCCGCCGCGATCGGCGTTCCCTGCATTCCGGGA  
 4801      TTTGGCCGCCGCTGCCACTTGCAGTCTCTGCGGCCATCCCGAGGAGTCGCC  
 4861      ATGCCGAAGTCATTCCGCCATCTGTCAGGCCCTGGCCTGCCATTGCGCTGGCCAGC  
 4921      GCCAGCCTCCAGGCGCAGGAGAGGCCCTCGACCGCATCTCGAG 3'

รูปที่ 4.24 ลำดับนิวคลีโอไทด์และลำดับกรดอะมิโนที่ถอดรหัสจากลำดับนิวคลีโอไทด์ของชิ้นดีเอ็นเอสอดแทรกในพลาสมิด pGA396 pKB261 pBR530 และ pBR123 รวมกัน มีขนาด 4,965 bp ลูกศรแสดงทิศทางการถอดรหัส ตัวอักษร M แสดงกรดอะมิโนในเมธิโอนินซึ่งเป็นจุดเริ่มต้นการถอดรหัส (start codon) เครื่องหมาย \* แสดงรหัสสิ้นสุดการถอดรหัส (stop codon) ของบริเวณที่เป็นกรอบอ่านรหัสเปิด บริเวณโปรโนเมเตอร์แสดงด้วยลำดับนิวคลีโอไทด์ที่ขึ้นเส้นใต้หนึ่งเส้น และบริเวณ Shine-Dalgarno (S/D) sequence แสดงด้วยลำดับนิวคลีโอไทด์ที่ขึ้นเส้นใต้สองเส้น กรดอะมิโนที่อยู่ในกรอบอ่านรหัสเปิดเดียวกันแสดงด้วยตัวอักษรสีเดียวกัน (ตัวอักษรสีน้ำเงินและแดง) กรดอะมิโนในบริเวณอนุรักษ์ของโปรตีนแสดงไว้ในกรอบสีเหลือง บริเวณ las box แสดงเป็นตัวอักษรสีม่วงอยู่หน้าโปรโนเมเตอร์

กรอบอ่านรหัสเปิด (Open Reading Frame, ORF) ทั้ง 5 กรอบที่พบ มีพิเศษทางการอ่านรหัสไปทางเดียวกันเรียงตามลำดับดังนี้

1. กรอบอ่านรหัสเปิดที่ 1 (ORF1) เป็นกรอบอ่านรหัสเปิดที่ไม่สมบูรณ์ กล่าวคือไม่พบกรดอะมิโนเมธิโอนีนที่ต่าแห่งที่ 1 ของ ORF (start codon) อยู่ในกรอบอ่านรหัสเดียวกับกรอบอ่านรหัสเปิดที่ 2 และ 4 มีลำดับนิวคลีโอไทด์ 411 bp อยู่ต่าแห่งที่ 1-411 แปลงได้เป็น 137 ลำดับกรดอะมิโน มีความคล้ายกับ deoxycytidine triphosphate (dCTP) deaminase จาก *Pseudomonas aeruginosa* PAO1 (Stover และคณะ, 2000) และ *Pseudomonas putida* KT2440 (Nelson และคณะ, 2002) เท่ากับ 100% และ 94% ตามลำดับ ทำหน้าที่กระตุ้นการสังเคราะห์ dUTP จาก dCTP ในกระบวนการสังเคราะห์ dUMP เพื่อนำไปใช้ในการสร้าง thymine nucleotide ซึ่งไม่เกี่ยวข้องกับกระบวนการสังเคราะห์แรมโนลิกพิท ให้ชื่อ ORF1 ว่า *dcd* เนื่องจาก ORF 1 เป็นกรอบอ่านรหัสเปิดที่ไม่สมบูรณ์ดังนั้นจึงไม่พ่วงส่วนโปรโนเตอร์และส่วนที่คาดว่าจะเป็นต่าแห่งเกาะของไรโบโซม (ribosome binding site หรือ Shine-Dalgarno sequence (S/D))

2. กรอบอ่านรหัสเปิดที่ 2 (ORF2) ประกอบด้วย 295 ลำดับกรดอะมิโน มีลำดับนิวคลีโอไทด์ทั้งหมด 885 bp อยู่ในลำดับนิวคลีโอไทด์ที่ 838-1722 พบรดอะมิโนเมธิโอนีนที่ต่าแห่งที่ 1 ของ ORF (start codon) และรหัสหยุด (stop codon) ซึ่งแสดงเป็นลำดับนิวคลีโอไทด์ตัวหนาและขีดเส้นใต้หนึ่งเส้น กรดอะมิโนที่ถอดรหัสได้มีความคล้ายกับ rhamnosyl transferase ของ *Pseudomonas aeruginosa* PG201 (Ochsner และคณะ, 1994a) เท่ากับ 100% ส่วนนอกจานี้จะมีความคล้ายน้อยลงตามลำดับคือ rhamnosyltransferase chain A จาก *Pseudomonas aeruginosa* PAO1 (Stover และคณะ, 2000) 3-hydroxyacyl-Co A-acyl carrier protein transferase จาก *Pseudomonas syringae* pv. Tomato strain DC3000 (Buell และคณะ, 2003) และ acyl-transferase จาก *Pseudomonas putida* KT2440 (Rehm และคณะ, 1998) เท่ากับ 99% 51% และ 42% ตามลำดับให้ชื่อ ORF2 ว่า *rhlA*

บริเวณเหนือ ORF 2 (*rhlA*) ยังพบบริเวณที่คาดว่าจะเป็นต่าแห่งเกาะของไรโบโซม (ribosome binding site หรือ Shine-Dalgarno sequence (S/D)) คือ 5'-GGGAGG-3' ซึ่งอยู่ก่อนรหัสเริ่มต้นกรอบอ่านรหัสเปิด 12 นิวคลีโอไทด์ ทดสอบด้วย Shine และ Dalgarno (1974) เสนอว่า Shine-Dalgarno sequence คือ บริเวณต่าแห่งเกาะของไรโบโซมมักจะประกอบด้วย นิวคลีโอไทด์นิดพิวริน 3-10 เบส อยู่ก่อนรหัสเริ่มต้นกรอบอ่านรหัสเปิดประมาณ 10 เบส

นอกจากนี้ยังพบลำดับนิวคลีโอไทด์ที่เป็นบริเวณ consensus sequence ของโปรตีโนเมเตอร์ σ<sup>54</sup> บริเวณดังกล่าวประกอบด้วยลำดับนิวคลีโอไทด์ "TGGCAT-N<sub>5-6</sub>-TTGCT" (N หมายถึง นิวคลีโอไทด์ตัวใดๆ) (Ochsner และคณะ, 1994a; Pearson และคณะ, 1997) โดยใน ORF 2 นี้มีบริเวณ consensus sequence ดังกล่าวประกอบด้วยลำดับนิวคลีโอไทด์ 5'-TAGCTTCGA ATTGGCT-3' ซึ่งอยู่ในตำแหน่งที่ 583-600 จากลำดับนิวคลีโอไทด์ทั้งหมด ซึ่งคล้ายกับที่พบใน โปรตีโนเมเตอร์ของ PAK ใน *P. aeruginosa* xy/CAB และ xy/S ในพลาสมิดของ *P. putida* TOL และยังมีที่ระบุรหัส carboxypeptidase ของ *Pseudomonas* CPG2

เห็นอื่นไปจากโปรตีโนเมเตอร์พบลำดับนิวคลีโอไทด์ที่เป็นส่วนกลับกันในลักษณะ dyad symmetry region และสามารถเข้าคู่กันได้เกิดเป็น palindrome คือ 5'-TCCTGTGAAATCTGGC AGTT-3' ตรงกับลำดับนิวคลีโอไทด์ตำแหน่งที่ 558-577 จากลำดับนิวคลีโอไทด์ดังกล่าวพบว่ามี consensus sequence ของ las box คือ "NNCT-[N]<sub>11-12</sub>-AGNN" (N หมายถึงนิวคลีโอไทด์ตัวใดๆ) มักพบบริเวณโปรตีโนเมเตอร์ของยีนที่ถูกควบคุมด้วย regulatory protein ที่เกี่ยวข้องกับ quorum sensing system (Devine และคณะ, 1989; Whiteley และคณะ, 1999; Whiteley และ Greenberg, 2001) ซึ่งคล้ายกับ las box ของ lasB OP1 และ rhIA ของ *P. aeruginosa* ซึ่งพิสูจน์แล้วว่าเป็นบริเวณจุดจformaของ RhIR-PAI-2 complex (RhIR-C<sub>4</sub>-HSL) ที่กระตุ้นการทำงานของ ยีนบริเวณ las box ของ lasB OP1 และ rhIA มีลำดับนิวคลีโอไทด์ดังนี้ 5'-ACCTGCCAGTTCT GGCAGGT-3' และ 5'-TCCTGTGAAATCTGGCAGTT-3' ตามลำดับ (Pearson และคณะ, 1997)

3. กรอบอ่านรหัสเปิดที่ 3 (ORF3) ประกอบด้วย 426 ลำดับกรดอะมิโน ตรงกับลำดับนิวคลีโอไทด์ที่ 1791-3068 มีขนาด 1278 bp พบรหัสเริ่มต้นกรดอะมิโนในเมธิโอนีนที่ตำแหน่งที่ 1 ของ ORF (start codon) และรหัสหยุด (stop codon)

ซึ่งแสดงเป็นลำดับนิวคลีโอไทด์ด้านหนาและซีดเส้นได้หนึ่งเส้น กรดอะมิโนมีความคล้ายกับ rhamnosyltransferase chain B ของ *Pseudomonas aeruginosa* PAO1 (Stover และคณะ, 2000) และ rhamnosyltransferase ของ *P. aeruginosa* PG201 (Ochsner และคณะ, 1994a) เท่ากับ 100% และ 99% ตามลำดับ ให้ชื่อ ORF3 ว่า rhIB

เห็น ORF 3 (rhIB) ซึ่งเป็นยังพบริเวณที่คาดว่าจะเป็นตำแหน่งเกาะของ RNA ใบเรือง (Shine-Dalgarno sequence (S/D)) คือ 5'-GGAG-3' ซึ่งอยู่ก่อนรหัสเริ่มต้นกรอบอ่านรหัสเปิด 11 นิวคลีโอไทด์ ไม่พบส่วนที่คาดว่าจะเป็นโปรตีโนเมเตอร์ดังนั้นจากล่าไห้ๆว่า rhIB นำจะถอดรหัสเป็น mRNA สายเดียวกับ rhIA ซึ่งสอดคล้องกับที่ Ochsner และคณะ (1994b) รายงานไว้ อยู่ในกรอบอ่านรหัสเดียวกับกรอบอ่านรหัสเปิดที่ 5

4. กรอบอ่านรหัสเปิดที่ 4 (ORF4) ประกอบด้วย 241 ลำดับกรดอะมิโน ตรงกับลำดับนิวคลีโอไทด์ที่ 3196-3918 มีขนาด 723 bp พบกรดอะมิโนเมธิโอนีที่ตำแหน่งที่ 1 ของ ORF (start codon) และรหัสหยุด (stop codon) ซึ่งแสดงเป็นลำดับนิวคลีโอไทด์ตัวหนาและรีดเส้นได้หนึ่งเส้น กรดอะมิโนมีความคล้ายกับ transcriptional regulator RhIR ของ *Pseudomonas aeruginosa* PAO1 (Stover และคณะ, 2000) regulator protein ของ *Pseudomonas aeruginosa* PG201 (Ochsner และคณะ, 1994b) เพากับ 100% นอกจากนี้ยังคล้ายกับโปรตีนควบคุมอินอิกีคือ VSMR ของ *P. aeruginosa* PAO1 (Latifi และคณะ, 1995) และ transcriptional activator CsaR ของ *Pseudomonas clororaphis* (Zhang และ Pierson, 2001) เพากับ 98% และ 67% ตามลำดับ ให้ชื่อ ORF4 ว่า *rhIR*

บริเวณเหนือ ORF 4 (*rhIR*) ยังพบบริเวณที่คาดว่าจะเป็นตำแหน่งเกาะของไรโนบิเรน (Shine-Dalgarno sequence (S/D)) คือ 5'-AGGG-3' ซึ่งอยู่ก่อนรหัสเริ่มต้นกรอบอ่านรหัสเปิด 13 นิวคลีโอไทด์ ลดคลึงกับที่ Shine และ Dalgarno (1974) เสนอตั้งที่ได้อธิบายแล้วในกรอบอ่านรหัสเปิดที่ 2 นอกจากนี้ยังพบบริเวณที่คาดว่าเป็นโปรโมเตอร์เหนือกรอบอ่านรหัสเปิดที่ 4 ประกอบด้วยลำดับนิวคลีโอไทด์ 5'-GCGTCA-3' และ 5'-TGTGAT-3' (ดังแสดงในรูปที่ 4.17) อยู่ในลำดับนิวคลีโอไทด์ที่ 3138 และ 3163 ตามลำดับ ซึ่งคล้ายกับ consensus sequence ของ -35 region และ consensus sequence ของ -10 region ตามลำดับ ที่รายงานโดย Lisser และ Margalit (1993) ดังแสดงในรูปที่ 4.1



รูปที่ 4.25 consensus sequence ของโปรโมเตอร์ (Lisser และ Margalit, 1993) ตัวเลขใต้เบสแต่ละตัวแสดงเปอร์เซ็นต์การพบเบส

บริเวณปลายด้าน-C ของลำดับกรดอะมิโน พบบริเวณอนุรักษ์ของโปรตีนที่เป็นตัวควบคุมการตอบรหัสซึ่งมีลำดับกรดอะมิโนเป็น "LSXRE<sub>2</sub>ILX<sub>5</sub>GX<sub>22</sub>NX<sub>3</sub>K" (X หมายถึงกรดอะมิโนใดๆ) (Ochsner และคณะ, 1994b) โดยใน ORF นี้มีลำดับกรดอะมิโนอนุรักษ์ตั้งกล่าวประกอบด้วย LSHREREILQWTADGKSSGEIAIILSISESTVNFKHKNIQKK ซึ่งพบอยู่ในลำดับกรดอะมิโนตำแหน่งที่ 181-222 โดยตัวอักษรหนาแสดงส่วนที่เป็นบริเวณอนุรักษ์ของโปรตีนที่ควบคุมการ

ถอดรหัส (regulatory protein) นอกจานี้ภายในบริเวณอนุรักษ์ดังกล่าวจะพับบริเวณ DNA-binding helix-turn-helix motif หรือเรียกว่า H-T-H motif อยู่ภายในแสดงด้วยตัวอักษรที่เข้าสู่กันได้ซึ่งเป็นบริเวณที่เข้าจับกับดีเอ็นเอเป้าหมายที่ควบคุมอยู่ มักพบในตัวควบคุมแบบที่ต้องอาศัยตัวควบคุมอื่นมากระตุ้นก่อนจึงทำงานได้ (two-component regulatory system) (Henikoff และคณานะ, 1989)

พับบริเวณอนุรักษ์ *las* box อยู่ก่อนตำแหน่ง start codon (ATG) มีลำดับนิวคลีโอไทด์ ดังนี้คือ 5-GGCTGCGCGCTTGACAGCG-3' อยู่ตำแหน่งที่ 3122-3140 ของลำดับนิวคลีโอไทด์ ทั้งหมด ซึ่งคล้ายกับ *las* box ของ *lasB* OP2 และ *rhlR* ของ *P. aeruginosa* ซึ่งพิสูจน์แล้วว่าเป็นบริเวณจุดจำข่อง LasR-PAI-1 complex (LasR-3O-C<sub>12</sub>-HSL) ที่กระตุ้นการทำงานของยีนบริเวณ *las* box ของ *lasB* OP2 และ *rhlR* มีลำดับนิวคลีโอไทด์ดังนี้ 5'-ACCTGCTTTCTGCTAGC-3' และ 5'-GGCTGCGCGCTTGACAGCG-3' ตามลำดับ (Medina และคณานะ, 2003)

5. กรอบอ่านรหัสเปิดที่ 5 (ORF5) ประกอบด้วย 201 ลำดับกรดอะมิโน ตรงกับลำดับนิวคลีโอไทด์ที่ 4101-4703 มีขนาด 603 bp พับกรดอะมิโนเมทริโอนีที่ตำแหน่งที่ 1 ของ ORF (start codon) และรหัสหยุด (stop codon) ซึ่งแสดงเป็นลำดับนิวคลีโอไทด์ตัวหนาและเข้าสู่กันได้หนึ่งเส้น พนวณกรดอะมิโนมีความคล้ายกับ autoinducer synthetase RhII ของ *Pseudomonas aeruginosa* PG201 (Ochsner และ Reiser, 1995) เท่ากับ 94% autoinducer synthesis protein RhII (Stover และคณานะ, 2000) และ VSMI ซึ่งเป็น autoinducer synthesis protein (Latifi และคณานะ, 1995) ของ *P. aeruginosa* PAO1 เท่ากับ 93% และ N-acyl-homoserine lactone synthase CSAl ของ *Pseudomonas chlororaphis* (Zhang และ Pierson, 2001) เท่ากับ 50% โปรตีน RhII นี้เป็นเอนไซม์ที่ใช้ในการสังเคราะห์ autoinducer ชนิด butanoyl-homoserine lactone (C<sub>4</sub>-HSL) ทำงานร่วมกับโปรตีน RhIR ไปกระตุ้นการแสดงออกของ *rhlAB* ได้เป็น rhamnosyltransferase 1 ไปใช้ในการสังเคราะห์แรมโนลิกิต ให้อีก ORF5 ว่า *rhl*

บริเวณเหนือ ORF 5 (*rhl*) ยังพับบริเวณที่คาดว่าจะเป็นตำแหน่งเกาะของไรโนไซม์ (Shine-Dalgarno sequence (S/D)) คือ 5'-GGGGA-3' ซึ่งอยู่ก่อนรหัสเริ่มต้นกรอบอ่านรหัสเปิด 12 นิวคลีโอไทด์ ทดสอบด้วย Shine และ Dalgarno (1974) เสนอดังที่ได้อธิบายแล้วในกรอบอ่านรหัสเปิดที่ 2 นอกจากนี้ยังพับบริเวณที่คาดว่าเป็นโปรโนเตอร์เหนือกรอบอ่านรหัสเปิดที่ 5 ประกอบด้วยลำดับนิวคลีโอไทด์ 5'-CTGAGA-3' และ 5'-TATCAG-3' (ดังแสดงในรูปที่ 4.24) อยู่ในลำดับนิวคลีโอไทด์ที่ 4027 และ 4044 ตามลำดับ ซึ่งคล้ายกับ consensus sequence ของ -35 region และ consensus sequence ของ -10 region ตามลำดับ ที่รายงานโดย Lisser และ Margalit (1993)

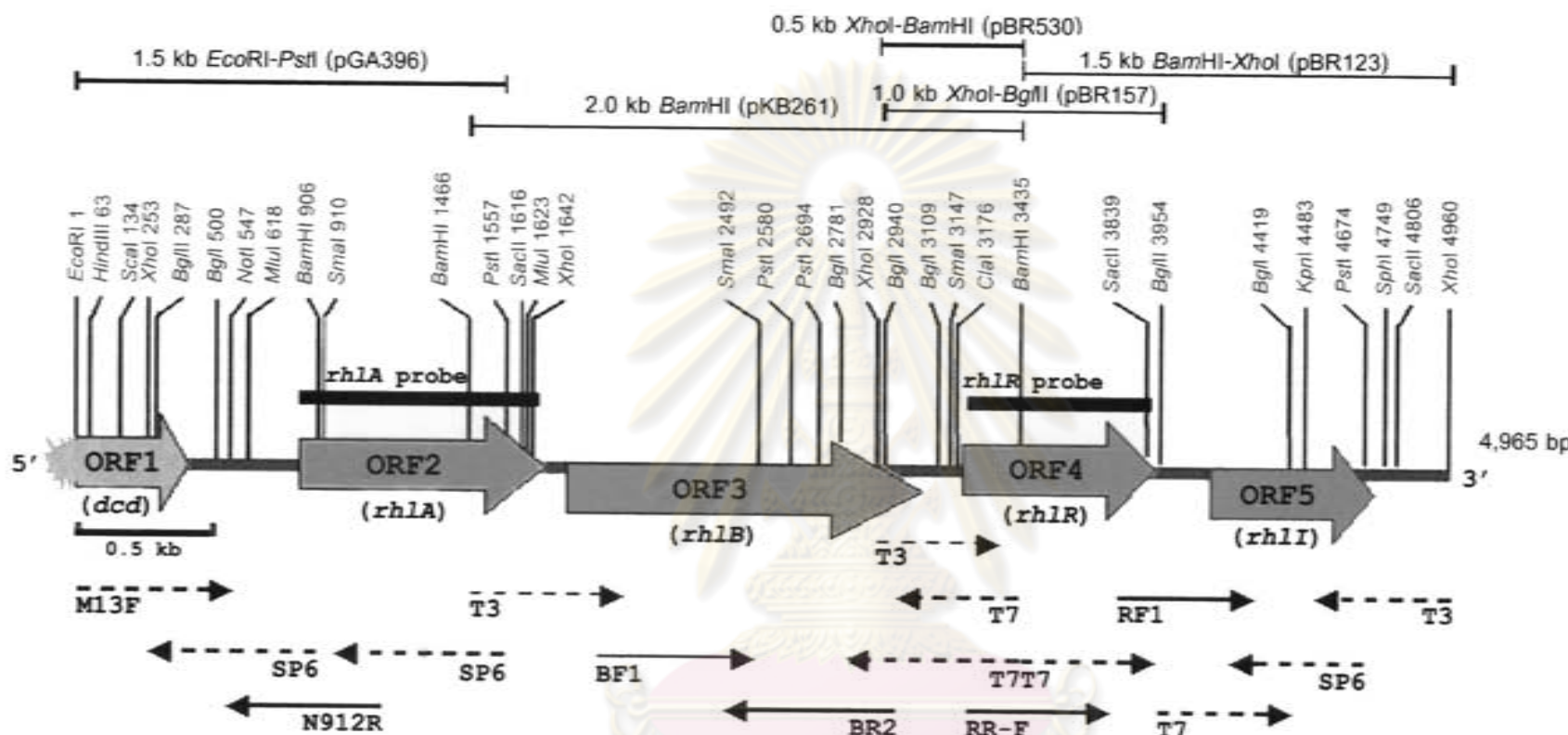
consensus sequence ของ *las* box ของยีนที่ถูกควบคุมด้วย quorum sensing มีลำดับนิวคลีอิโกร์ดังนี้คือ "NNCT[N]<sub>11-12</sub>AGNN" (Whiteley และ Greengerg, 2001) ซึ่งใน ORF 5 พบนิวคลีอิโกร์ของบริเวณนี้เป็น 5'-CCCTACCAGATCTGGCAGGT-3' และพบว่าในตำแหน่งที่ 8 และ 13 ของ consensus sequence นี้เป็น A และ T ตามลำดับ ซึ่งการอนุรักษ์เบสตำแหน่งดังกล่าวจะพบใน *las* box ที่ถูกควบคุมได้ทั้ง regulatory protein LasR และ RhlR ซึ่งเกี่ยวข้องกับ quorum sensing



ตารางที่ 4.2 ข้อมูลของแต่ละกรอบอ่านรหัสเปิดและเปอร์เซ็นต์ความคล้ายกับยีนอ้างอิง

กรอบอ่าน รหัสเปิดที่ (ORF)	ยีน	ตำแหน่ง ของลำดับ นิวคลีอิโ Iked	จำนวน กรด อะมีโน	ยีนอ้างอิงที่มีความใกล้เคียงสูงสุด	จำนวน กรดอะมีโน <sup>*</sup> ของยีนอ้างอิง	เปอร์เซ็นต์ ความคล้ายกับ <sup>*</sup> กรดอะมีโนอ้างอิง	เอกสารอ้างอิง
1	dcd	1-411	137	<i>dcd</i> จาก <i>P. aeruginosa</i> PAO1 ประมาณรหัส deoxycytidine triphosphate deaminase	188	100%	Stover และคณะ, 2000
2	rhlA	838-1722	295	<i>rhlA</i> จาก <i>P. aeruginosa</i> PG201 ประมาณรหัส rhamnosyltransferase chain A	295	100%	Ochsner และคณะ, 1994a
3	rhlB	1791-3068	426	<i>rhlB</i> จาก <i>P. aeruginosa</i> PAO1 ประมาณรหัส rhamnosyltransferase chain B	426	100%	Stover และคณะ, 2000
4	rhlR	3196-3882	241	<i>rhlR</i> จาก <i>P. aeruginosa</i> PAO1 และ PG201 ประมาณรหัส transcriptional regulator RhlR	241	100%	Stover และคณะ, 2000 และ Ochsner และคณะ, 1994b
5	rhlI	4101-4703	201	<i>rhlI</i> จาก <i>Pseudomonas aeruginosa</i> PG201 ประมาณรหัส autoinducer synthetase RhlI	201	94%	Ochsner และ Riser, 1995

ศูนย์วิทยาทรัพยากร  
จุฬาลงกรณ์มหาวิทยาลัย



รูปที่ 4.26 แผนที่เรสทริกชันของชิ้นดีเอ็นเอกซอนแแทรกจากพลาสมิด pGA396 pKB261 pBR530 และ pBR123 ขนาด 4,965 bp แสดงตำแหน่งที่เป็นกรอบอ่านรหัสเปิด (ORF) ดีเอ็นเอติดตาม rhlA และ rhlR และทิศทางการหาลำดับนิวคลิโอไทค์ด้วยไพร์เมอร์ต่างๆ ของชิ้นดีเอ็นเอกซอนแแทรก ลูกศรในญี่ปุ่นแสดงทิศทางการถอดครหัสเป็นกรอบจะมีในของกรอบอ่านรหัสเปิดตามซึ่งที่ระบุไว้ด้านล่าง ลูกศรเล็กแสดงทิศทางการหาลำดับนิวคลิโอไทค์ของไพร์เมอร์ตัวต่างๆ ตามที่ระบุขึ้นไว้ด้านล่างลูกศร โดย → เป็นการหาลำดับนิวคลิโอไทค์โดยใช้ไพร์เมอร์ที่ออกแบบเอง(designed primer) และ - → เป็นการหาลำดับนิวคลิโอไทค์โดยใช้ universal primer เครื่องหมาย \* แสดง ORF ที่ไม่สมบูรณ์



บทที่ 5  
การอภิปรายผล

ศูนย์วิทยทรัพยากร  
จุฬาลงกรณ์มหาวิทยาลัย

แรมโนลิพิด เป็นสารลดแรงตึงผิวชีวภาพชนิดไกโอลโคดิพลิตจาก *Pseudomonas aeruginosa* และ *Pseudomonas* sp. (Desai และ Banat, 1997; Lang และ Wullbrandt, 1999) มีความสามารถในการลดค่าแรงตึงผิวของน้ำ อีกทั้งสามารถนำไปใช้ประโยชน์ในด้านอื่นได้ เช่น ให้ในการยับยั้งเชื้อร้ายที่ก่อโรคในพืช ให้เป็นแหล่งของน้ำตาลแรมโนส ให้ในอุตสาหกรรมเครื่องสำอาง และใช้ในการบำบัดคราบน้ำมันและสารตกค้างในสิ่งแวดล้อม ดังนั้นจึงมีผู้สนใจหันมาผลิต แรมโนลิพิดขายในระดับอุตสาหกรรม แต่เนื่องจากต้นทุนในการผลิตแรมโนลิพิด ดังกล่าวมีราคาสูงทำให้ไม่สามารถแข่งขันในทางการตลาดกับสารลดแรงตึงผิวสังเคราะห์ได้ มีผู้วิจัยหลายกลุ่มพยายามพัฒนากระบวนการผลิตแรมโนลิพิดให้มีต้นทุนที่ต่ำลงโดยการใช้วัตถุดินที่มีราคาถูก หาได้ง่าย พัฒนาขั้นตอนการสกัดและทำให้แรมโนลิพิดบริสุทธิ์ ตลอดจนคัดเลือกสายพันธุ์จุลทรรศน์ที่ให้แรมโนลิพิดที่มีประสิทธิภาพและปริมาณสูง

*Pseudomonas* sp. A41 เป็นแบคทีเรียที่แยกได้จากน้ำบริเวณอ่าวไทย จ.สมุทรสงคราม (อารีย์ กังจิน, 2542) สามารถผลิตสารลดแรงตึงผิวชีวภาพที่ลดค่าแรงตึงผิวของน้ำจาก 72 mN/m ได้เป็น 29 mN/m เมื่อใช้น้ำมันปาล์มเป็นแหล่งคาร์บอนและมีการจำกรดบริมาณในต่อๆกันมา นพรัตน์ วนิชสุขสมบัติ (2545) ได้พิสูจน์ว่าสารลดแรงตึงผิวชีวภาพดังกล่าวเป็นแรมโนลิพิดโดยใช้ LC-MS และ IR-spectrum จากการวิเคราะห์ลำดับนิวคลีโอไทด์ของ 16 เอสไรงโนโซมคลีเด็นเข็งของ *Pseudomonas* sp. A41 พนวจมีเหมือนกับลำดับนิวคลีโอไทด์ของ 16 เอสไรงโนโซมคลาร์เจ็นเข็งของ *Pseudomonas aeruginosa* เพ่ากัน 100% ประกอบกับการศึกษาลักษณะทางสัณฐานวิทยาและเชิงเคมี (อารีย์ กังจิน, 2542) จึงสามารถจัดจำแนก *Pseudomonas* sp. A41 เป็นสมาชิกหนึ่งใน *Pseudomonas aeruginosa*

ในงานวิจัยนี้มีวัตถุประสงค์ที่จะหาลำดับนิวคลีโอไทด์ของยีนที่เกี่ยวข้องกับการสังเคราะห์แรมโนลิพิดใน *Pseudomonas aeruginosa* A41 เพื่อใช้เป็นข้อมูลพื้นฐานในการปรับปรุงสายพันธุ์จุลทรรศน์ในระดับพันธุวิศวกรรม การหาลำดับนิวคลีโอไทด์ของยีนดังกล่าวเริ่มจากการสร้างดีเอ็นเอดิตตาม *rhlA* และ *rhlR* จากจีโนมิกดีเอ็นเข็งของ *P. aeruginosa* A41 ด้วยปฎิกริยาลูกโซ่เพอดิเมอเรส จากนั้นนำไปคิดตามในจีโนมิกดีเอ็นเข็งของ *Pseudomonas* sp. A41 โดยใช้เทคนิคเซาท์เออร์นไฮบริเดชันกับดีเอ็นเอดิตตาม *rhlA* หรือ *rhlR* นำชิ้นดีเอ็นเอที่ให้ผลบวกจากไฮบริเดชันโคลนเข้าพลาสมิดเวกเตอร์ต่างๆ จากการทดลองจะได้โคลนทั้งหมด 4 ตัว คือ pBR123 pBR530 pGA396 และ pKB261 ซึ่งมีขนาดของชิ้นดีเอ็นเอสอดแทรก 1531 513 1562 และ 1975 bp ตามลำดับ ศึกษาลำดับนิวคลีโอไทด์ของชิ้นดีเอ็นเอสอดแทรกได้โดยใช้หั้งวิธี primer walking และการใช้ universal primer ที่จำเพาะกับพลาสมิดของโคลนนั้น นำ

ข้อมูลลำดับนิวคลีโอไทด์ที่ได้ทั้งหมดมาเพื่อมต่อกันจะได้ลำดับนิวคลีโอไทด์ทั้งหมด 4965 bp จากการวิเคราะห์ลำดับนิวคลีโอไทด์ด้วยโปรแกรม DNASIS เพื่อหากรอบอ่านรหัสเปิด และโปรแกรม BlastX version 2.2.9 ที่แปลงลำดับนิวคลีโอไทด์ให้เป็นลำดับกรด อะมิโน และเทียบความคล้ายคลึงกับกรดอะมิโนของยีนต่างๆ ในฐานข้อมูล GenBank และหาบริเวณที่คาดว่าจะเป็นโปรโนเตอร์โดยนำลำดับนิวคลีโอไทด์ที่ได้ไปเบรย์นเทียบกับ consensus sequence -35 region และ -10 region ของโปรโนเตอร์ที่รายงานโดย Lisser และ Margalit (1993) จะสามารถสรุปกรอบอ่านรหัสเปิดได้ทั้งหมด 5 กรอบอ่านรหัสเปิดดังนี้

กรอบอ่านรหัสเปิดที่ 1 (ORF1) หรือ *dcd* เป็นกรอบอ่านรหัสเปิดที่ไม่สมบูรณ์กล่าวคือยังไม่สามารถพบร่องด้วยเมธิโอนีนที่ตำแหน่งที่ 1 ของ ORF (start codon) พบทว่าลำดับกรดอะมิโนที่พบมีความคล้ายคลึงกับ deoxycytidine triphosphate deaminase (dCTP deaminase) ใน *P. aeruginosa* PAO1 เท่ากับ 100% ซึ่งเป็นเอนไซม์สำคัญในการสร้าง dUMP เพื่อใช้เป็นสารตั้งต้นในการสังเคราะห์ thymidine อีกด้วย

กรอบอ่านรหัสเปิดที่ 2 (ORF2) หรือ *rhlA* ประกอบด้วย 295 ลำดับกรดอะมิโน มีความคล้ายคลึงกับโปรตีน rhamnosyltransferase chain A ที่ประมวลรหัสโดย *rhlA* ของ *Pseudomonas aeruginosa* PG201 (Ochsner และคณะ, 1994a) เท่ากับ 100% โปรตีน RhIA มีขนาด 32.5 กิโลดอลตัน พบทว่าในเพอริพลาสต์ ทำหน้าที่เกี่ยวข้องกับการสังเคราะห์แรมโนลิพิด หรือส่งผ่านสารตั้งต้นในการสังเคราะห์ให้ rhamnosyltransferase หรือเป็นตัวช่วยให้โปรตีน RhIB เสียร่องตัวอยู่ได้ใน cytoplasmic membrane (Ochsner และคณะ, 1994a)

โปรโนเตอร์แบบ  $\sigma^{54}$  เป็นโปรโนเตอร์ที่มีบริเวณจุดจำของ  $\sigma^{54}$  factor ของ RNA polymerase และต้องการ transcriptional activator หรือ regulatory protein มากระตุ้นบริเวณโปรโนเตอร์ให้เกิดการอ่านรหัส (Collado-Vides และคณะ, 1991; Woods และ Reid, 1993; Morett และ Segovia, 1993) โปรโนเตอร์ของ *rhlA* ของสายพันธุ์ A41 เป็นแบบ  $\sigma^{54}$  เช่นกันเนื่องจากพบบริเวณอนุรักษ์ของโปรโนเตอร์แบบ  $\sigma^{54}$  ที่ประกอบด้วยลำดับนิวคลีโอไทด์ "TGGCA T-N<sub>5-6</sub>-TTGCT" (N หมายถึงนิวคลีโอไทด์ตัวใดๆ) อยู่หนึ่งอีน *rhlA* ตัวอย่างอีนที่มีโปรโนเตอร์แบบ  $\sigma^{54}$  ได้แก่ pilin gene (*PAK*) ใน *P. aeruginosa* *xyICAB* และ *xyIS* ที่อยู่บนพลาสต์ของ *P. putida* TOL อีนที่จะบุนรหัสโปรตีน carboxypeptidase ของ *Pseudomonas CPG2* (Deretic และคณะ, 1987, 1989) และ *rhlA* ของ *P. aeruginosa* PG201 (Ochsner และคณะ, 1994a)

นอกจากนี้ยังพบ *las box* ซึ่งมีลักษณะเป็น palindrome อยู่เหนือยีน *Ochsner* และคณะ (1994a) ได้ศึกษาการทำงานของโปรตีโนเมอร์ *rhlA* ใน *P. aeruginosa PG201* โดยเชื่อมโปรตีโนเมอร์เข้ากับ *lacZ* เพื่อใช้เป็น reporter gene พบร่วมไปรตีโนเมอร์จะทำงานได้ต้องอาศัย regulatory protein RhIR แต่ถ้าขาดส่วนที่มีลักษณะเป็น palindrome *rhlA* ก็ไม่สามารถทำงานได้ เช่นกัน ดังนั้นจากคล่าวได้ว่าบริเวณ palindrome เป็นส่วนขัดขวางการทำงานของ *rhlA* ต้องอาศัย regulatory protein RhIR เข้าจับบริเวณ palindrome ดังกล่าวก่อนยืนจึงทำงาน Pearson และคณะ (1997) ศึกษา RhIR-binding site นี้พบว่ามีลำดับนิวคลีโอไทด์เหมือน consensus sequence ของ *las box* ของ *lasB OP1* ซึ่งถูกควบคุมด้วย regulatory protein RhIR บริเวณ *las box* ของ ORF-2 (*rhlA*) ของสายพันธุ์ A41 มี consensus sequence คล้าย *las box* ของ *lasB OP1* และ *rhlA* ของ *Pseudomonas aeruginosa PG201* ดังนั้นอาจเป็นไปได้ว่า ORF-2 (*rhlA*) จะถูกควบคุมด้วย regulatory protein RhIR บริเวณ *las box* เช่นเดียวกัน

บริเวณปลายด้าน-N ของลำดับกรดอะมิโนของ *RhlA* พบร่วมมีความคล้ายกับ Signal peptide ที่พบในแบคทีเรียติดสีแกรมลบ (Pugsley, 1993) ซึ่งอาจเป็นไปได้ว่าโปรตีน *RhlA* อาจถูกส่งออกไปที่เพอริพลัสซึ่งสอดคล้องกับรายงานในลำดับกรดอะมิโนของ *RhlA* ของ *P. aeruginosa PG201* (Ochsner และคณะ, 1994a)

กรอบอ่านรหัสเปิดที่ 3 (ORF3) ประกอบด้วย 426 ลำดับกรดอะมิโน มีความคล้ายคลึงกับ โปรตีน rhamnosyltransferase chain B (RhIB) ที่ประมวลรหัสโดย *rhlB* ของ *Pseudomonas aeruginosa PAO1* (Stover และคณะ, 2000) และ *Pseudomonas aeruginosa PG201* (Ochsner และคณะ, 1994a) เท่ากับ 100% โปรตีน RhIB มีขนาด 47 กิโลคาลตัน (kDa) ทำหน้าที่เป็น catalytic protein ของเอนไซม์ rhamnosyl-transferase 1 ซึ่งทำหน้าที่กระตุ้นให้เกิดการส่งผ่านโมเลกุลแรมโนสจาก TDP-L-rhamnose ไปยัง  $\beta$ -hydroxydecanoate- $\beta$ -hydroxydecanoate อย่างจำเพาะได้เป็น L-rhamnosyl- $\beta$ -hydroxydecanoate- $\beta$ -hydroxydecanoate หรือ rhamnolipid 1 ในกระบวนการผลิตแรมโนลิพิด ทั้งนี้ได้พิสูจน์ใน *E. coli* แล้วว่าเพียง *rhlB* ยังเดียว ก็สามารถสังเคราะห์โปรตีนที่ทำหน้าที่เป็น rhamnosyl transferase ได้ แต่ก็ต้องการ *RhlA* เพื่อให้เอนไซม์เกิดความเสถียรและคงตัวอยู่ได้ใน cytoplasmic membrane ส่วน RhIB จะฝังตัวอยู่ในเมมเบรนโดยใช้ส่วนปลายด้าน-N เป็นตัวยึดเหนี่ยว กับเมมเบรนไว้และวางตัวข้ามเมมเบรนโดยมีส่วน domain เปิดออกทั้งสองข้าง (Ochsner และคณะ, 1994a)

*rhlB* เรียงตัวต่อจาก *rhlA* ไม่พบส่วนโปรตีนเดอร์ *rhlB* ดังนั้นอาจกล่าวได้ว่า *rhlB* นำจะถูกรหัสเป็น mRNA สายเดียวกับ *rhlA* ตลอดต้องกับการรายงานของ Ochsner และคณะ (1994a) ซึ่งพบว่าสายพันธุ์กลาญ UO299 ที่ไม่มีการทำงานของ *rhlA* จะไม่พบหั้งโปรตีน RhIA และ RhIB ที่มีขนาด 32 และ 47 กิโลดาลตันตามลำดับ แต่ในสายพันธุ์กลาญ UO287 (*rhlB*) จะพบเพียงโปรตีน RhIA ขนาด 32 กิโลดาลตันเท่านั้น

- กรอบอ่านรหัสเปิดที่ 4 (ORF4) หรือ *rhlR* ประกอบด้วย 241 ลำดับกรดอะมิโน มีความคล้ายคลึงกับ transcriptional regulator RhIR ที่ประมวลรหัสโดย *rhlR* ของ *Pseudomonas aeruginosa* PAO1 (Stover และคณะ, 2000) และ *Pseudomonas aeruginosa* PG201 (Ochsner และคณะ, 1994b) เท่ากับ 100% โปรตีน RhIR มีขนาด 28 กิโลดาลตัน ทำหน้าที่เป็นตัวกระตุ้น *rhlAB* promoter ซึ่งอยู่เหนือขึ้นไปจากยีน *rhlR* 2.5 กิโลเบส ให้เกิดการถูกรหัส (transcriptional activator) (Ochsner และคณะ 1994a, 1994b) นอกจากนี้ Ochsner (1994b) ยังกล่าวว่าโปรตีน RhIR เป็นตัวควบคุมแบบ pleiotropic regulator คือมีผลควบคุมการถูกรหัสของโปรตีนเดอร์ได้มากกว่าหนึ่งโปรตีนเดอร์

บริเวณปลายด้าน-C ของลำดับกรดอะมิโน พบบริเวณอนุรักษ์ของโปรตีนที่เป็นตัวควบคุมการถูกรหัสประกอบด้วยลำดับกรดอะมิโน "LSXREX<sub>2</sub>ILX<sub>5</sub>GX<sub>22</sub>NX<sub>3</sub>K" (X หมายถึงกรดอะมิโนใดๆ) นอกจากนี้ภายในบริเวณอนุรักษ์ดังกล่าวอยู่ helix-turn-helix motif (H-T-H motif) ซึ่งใช้ในการเข้าจับโปรตีนเดอร์ของดีเอ็นเอปีกมาย (DNA-binding) (Ochsner และคณะ 1994b) regulatory protein ที่มีบริเวณอนุรักษ์ดังกล่าวที่ปลายด้าน-C มักจะพบในกลุ่ม regulatory protein ที่อาศัยตัวควบคุมอื่นอีกหนึ่งชนิดจึงทำงานได้ (two-component regulatory system) (Henikoff และคณะ, 1989) กลไกการควบคุมแบบนี้มักเกี่ยวข้องกับการตอบสนองต่อสิ่งแวดล้อมที่มีผลต่อการทำงานของแบคทีเรีย (Adhya และ Garges, 1990; Bourret และคณะ, 1991; Stock และคณะ, 1989 และ Stock และคณะ, 1990) เช่น chemotaxis, osmosensitivity ความรุนแรงของการก่อโรค การเคลื่อนที่ ตลอดจนการผลิตสาร secondary metabolite ภายใต้ภาวะที่แย่ลงเป็นต้น การผลิตแรมโนลิกิตของ *P. aeruginosa* A41 และ *Pseudomonas aeruginosa* พบว่าเกิดขึ้นในระยะ late exponential และระยะ stationary phase ในภาวะที่ให้ในโตรเจนจำกัด (อารีย์ กั่งจิน, 2542; นพรัตน์ วนิชสุขสมบัติ, 2545; Wagner และคณะ, 1984) ดังนั้นจึงเป็นการแสดงให้เห็นว่าการผลิตแรมโนลิกิตจะถูกควบคุมโดยปัจจัยต่างๆ จากสิ่งแวดล้อม จึงเป็นไปได้ว่าการสร้างเคราะห์แรมโนลิกิตจะเกี่ยวข้องกับ two-component regulatory system ในปี 2003 Medina และคณะ พบว่าโปรตีน RhIR ไม่สามารถกระตุ้นการทำงานของ *rhlAB*

promoter ได้ด้วยตัวมันเอง กลับไปยับยั้งการทำงานของ *rhlAB* promoter และการแสดงออกของยีนตัวมันเอง แต่เมื่อโปรตีน RhIR พันธะกับ butanoyl-homoserine lactone (C<sub>4</sub>-HSL) หรือ PAI-2 ซึ่งเป็น autoinducer ชนิดหนึ่งได้เป็น RhIR-PAI-2 complex กลับสามารถทำให้เกิดการแสดงออกของ โอลิเพอร์อกซิน *rhlAB* แสดงให้เห็นว่าโปรตีน RhIR เป็นได้ทั้งตัวกระตุ้นและตัวกดการทำงานของ *rhlAB* promoter ทั้งนี้ขึ้นอยู่กับความเร็วในการพันธะกับ PAI-2 และกลไกในการควบคุมในระดับพันธุศาสตร์ซึ่งยังไม่เป็นที่เข้าใจ Lamb และคณะ (2003) ได้พิสูจน์ว่าบิโอเจน ปลายด้าน-N ของโปรตีน RhIR เป็นส่วนที่ autoinducer เข้าจับและสามารถกระตุ้นการผลิต RHSL ของตีเข็มเอป้าหมาย (*rhlAB* promoter) ได้โดยใช้ปลายด้าน-C ที่มี DNA-binding helix-turn-helix motif ตัวอย่างของ regulatory protein ที่อยู่ในกลุ่มเดียวกับ RhIR ได้แก่ LuxR และ LasR ซึ่งรายงานว่าต้องรวมตัวกับ autoinducer ก่อนจึงจะกระตุ้นการทำงานของยีนเอป้าหมายที่เกี่ยวข้องกับการเกิด bioluminescence และการสังเคราะห์ elastase ใน *V. fischeri* และ *P. aeruginosa* ได้ตามลำดับ

กรอบอ่านรหัสเปิดที่ 5 (ORF5) หรือ *rhlI* ประกอบด้วย 201 ลำดับกรดอะมิโน มีความคล้ายคลึงกับโปรตีนที่คาดว่าจะเป็น autoinducer synthetase (RhII) ที่ประมวลรหัสโดย *rhlI* ของ *Pseudomonas aeruginosa* PG201 (Ochsner และ Reiser, 1995) เพ่ากับ 94% และ autoinducer synthesis protein RhII ของ *Pseudomonas aeruginosa* PAO1 (Stover และคณะ, 2000) เพ่ากับ 93% โปรตีน RhII มีขนาด 22 กิโลดาตตัน (kDa) เป็นเอนไซม์ที่ใช้ในการสังเคราะห์ autoinducer ชนิด butanoyl-homoserine lactone (C<sub>4</sub>-HSL) หรือ PAI-2 ทำงานร่วมกับโปรตีน RhIR ไปกระตุ้นการแสดงออกของ *rhlAB* โดย เมื่อความหนาแน่นของแบปค์ที่เรียเพิ่มขึ้น ความเข้มข้นของ butanoyl-homoserine lactone (Pearson และคณะ, 1995) ที่สังเคราะห์จากโปรตีน RhII ก็จะเพิ่มสูงขึ้นจนถึงระดับหนึ่งจึงเข้าจับกับโปรตีน RhIR ซึ่งเป็นตัวกระตุ้นการผลิต RHSL (Ochsner และคณะ, 1994b) สารประกอบ RhIR-PAI-2 complex นี้จะเข้าจับบิโอเจน las box เหนือยีน *rhlAB* ทำให้เกิดการผลิต RHSL ได้เป็น rhamnosyltransferase 1 ใช้ในการสังเคราะห์แรมโนสิลิพิด (Pearson และคณะ, 1997) นอกจากนี้บิโอเจนเหนือยีน *rhlI* เองยังพบ las box ชนิดที่มีการอนุรักษ์นิวคลีอิคส์ไอทีที่ 8A และ 13T แสดงให้เห็นว่า *rhlI* เองก็ถูกควบคุมการแสดงออกด้วย LasR และ RhIR อีกทั้งนี้ ซึ่งต่างกับ las box ของ lasI ที่ระบุรหัส autoinducer synthetase (LasI) ใช้ในการสังเคราะห์ autoinducer PAI-1 (N-(3-oxododecanoyl)-L-homoserine lactone) ที่ไม่มีการอนุรักษ์นิวคลีอิคส์ไอที 8A และ 13T ของ las box ดังนั้นจึงถูกควบคุมด้วย LasR เพ่านั้น (Whiteley และ Greenberg, 2001)

จากการศึกษาข้อมูลของลำดับนิวคลีอี้ໄท์ และลำดับลำดับกรดอะมิโนของยีนที่เกี่ยวข้องกับการสังเคราะห์แรมโนลิกพิดใน *P. aeruginosa* A41 จะเห็นว่า *rhlA* *rhlB* *rhlR* และ *rhlI* มีการเรียงตัวต่อ กันตามลำดับ โดย *rhlA* และ *rhlB* ให้ไปโนเตอร์ร่วมกันอยู่ใน iso-Promoter เดียวกัน ส่วน *rhlR* และ *rhlI* มีไปโนเตอร์แยกต่างหาก ซึ่งสอดคล้องกับรายงานของ Ochsner และ Reiser (1995)

นอกจากนี้บริเวณเหนือไปโนเตอร์ของทั้ง *rhlAB* *rhlR* และ *rhlI* จะพบ *las box* ที่มีลักษณะเป็น palindrome ซึ่งแสดงให้เห็นว่า yin-dong กล่าวจะถูกควบคุมด้วย regulatory protein ที่เกี่ยวข้องกับ quorum sensing system สอดคล้องกับที่ Pesci และคณะ (1997) ได้รายงานถึงกลไกการควบคุมของ *las* และ *rhl* quorum sensing ใน *P. aeruginosa* PAO1 ว่ามีผลต่อการแสดงออกของยีนที่เกี่ยวข้องกับการสังเคราะห์แรมโนลิกพิด



# ศูนย์วิทยทรัพยากร จุฬาลงกรณ์มหาวิทยาลัย



ศูนย์วิทยทรัพยากร  
จุฬาลงกรณ์มหาวิทยาลัย

ในงานวิจัยนี้มีวัตถุประสงค์ที่จะหาลำดับนิวคลีโอไทด์ของยีนที่เกี่ยวข้องกับการสังเคราะห์แรมโนลิพิดใน *Pseudomonas aeruginosa* A41 เพื่อให้เป็นข้อมูลพื้นฐานในการปรับปรุงสายพันธุ์คลินทรีย์ในระดับพันธุ์วิเคราะห์ การหาลำดับนิวคลีโอไทด์ของยีนดังกล่าวเริ่มจากการสร้างดีเอ็นเอดิตตาม *rhlA* และ *rhlR* จากจีโนมิกดีเอ็นเอของ *P. aeruginosa* A41 ด้วยปฏิกิริยาถูกใช้เพื่อเตรียม เอกซอนไอบริไดเรชันกับดีเอ็นเอดิตตาม *rhlA* หรือ *rhlR* นำเข้าดีเอ็นเอที่ให้ผลบางจากไอบริไดเรชันโคลนเข้าพลาสมิดเวกเตอร์ต่างๆ จากการทดลองจะได้โคลนหั้งหมด 4 ตัว คือ pBR123 pBR530 pGA396 และ pKB261 ซึ่งมีขนาดของชิ้นดีเอ็นเอสอดแทรก 1531 513 1562 และ 1975 bp ตามลำดับ ศึกษาลำดับนิวคลีโอไทด์ของชิ้นดีเอ็นเอสอดแทรกได้โดยใช้หั้งไวริ primer walking และการใช้ universal primer ที่จำเพาะกับพลาสมิดของโคลนนั้น นำข้อมูลลำดับนิวคลีโอไทด์ที่ได้มาประกอบรวมกันจะได้ลำดับนิวคลีโอไทด์หั้งหมด 4965 bp และเมื่อนำข้อมูลมาวิเคราะห์ลำดับนิวคลีโอไทด์ด้วยโปรแกรม DNASIS เพื่อหากรอบอ่านรหัสเปิด และโปรแกรม BlastX version 2.2.9 ที่แปลงลำดับนิวคลีโอไทด์ให้เป็นลำดับกรด อะมิโน และเทียบความคล้ายคลึงกับกรดอะมิโนของยีนต่างๆ ในฐานข้อมูล GenBank และนาบริเคนที่คาดว่าจะเป็นโปรตีนเดอร์โดยนำลำดับนิวคลีโอไทด์ที่ได้ไปเบรียณเทียบกับ consensus sequence -35 region และ -10 region ของโปรตีนเดอร์ที่รายงานโดย Lisser และ Margalit (1993) จะสามารถสรุปกรอบอ่านรหัสเปิดได้หั้งหมด 5 กรอบอ่านรหัสเปิดดังนี้

กรอบอ่านรหัสเปิดที่ 1 (ORF1) หรือ *dccl* เป็นกรอบอ่านรหัสเปิดที่ไม่สมบูรณ์ถาวรคือยังไม่สามารถพบกรดอะมิโนเมธิโอนีนที่ตำแหน่งที่ 1 ของ ORF (start codon) พนว่าลำดับกรดอะมิโนที่พบมีความคล้ายคลึงกับ deoxycytidine triphosphate deaminase (dCTP deaminase) ซึ่งเป็นเอนไซม์สำคัญในการสร้าง dUMP เพื่อให้เป็นสารตั้งต้นในการสังเคราะห์ thymidine อีกทีหนึ่ง

กรอบอ่านรหัสเปิดที่ 2 (ORF2) หรือ *rhlA* ประกอบด้วย 295 ลำดับกรดอะมิโน มีความคล้ายคลึงกับโปรตีน rhamnosyltransferase chain A ที่ประมวลรหัสโดย *rhlA* โปรตีน RhIA มีขนาด 32.5 กิโลดالتัน พนอยู่ในเพอริพลาสตีม ทำหน้าที่เกี่ยวข้องกับการสังเคราะห์แรมโนลิพิด หรือส่งผ่านสารตั้งต้นในการสังเคราะห์ให้ rhamnosyltransferase หรือเป็นตัวช่วยให้โปรตีน RhIB เสถียรคงตัวอยู่ได้ใน cytoplasmic membrane (Ochsner และคณะ, 1994a)

นอกจากนี้ ยังพบบริเวณอนุรักษ์ของโปรตีนเดอร์แบบ S<sup>54</sup> ที่ประกอบด้วยลำดับนิวคลีโอไทด์ "TGGCA T-N<sub>54</sub>-TTGCT" (N หมายถึงนิวคลีโอไทด์ตัวใดๆ) และพบ *las box* ซึ่งมีลักษณะเป็น

palindrome อยู่หน้าอีกนั้น *rhlA* ตั้งนี้แสดงว่าการทำงานของโปรตีนเตอร์ต้องอาศัย transcriptional activator หรือ regulatory protein ซึ่งในที่นี้คือ regulatory protein RhIR มากระตุ้นบริเวณโปรตีนเตอร์เพื่อให้เกิดการถอดรหัส (Collado-Vides และคณะ, 1991; Woods และ Reid, 1993; Morett และ Segovia; 1993 Ochsner และคณะ, 1994a)

บริเวณปลายด้าน-N ของลำดับกรดอะมิโนของ *RhlA* พบร่วมความคล้ายกับ Signal peptide ที่พบในแบคทีเรียติดสีแกรมลบ (Pugsley, 1993) ซึ่งอาจเป็นไปได้ว่าโปรตีน *RhlA* อาจถูกส่งออกไปที่เพอริพลาสซีมสอดคล้องกับรายงานในลำดับกรดอะมิโนของ *RhlA* ของ *P. aeruginosa* PG201 (Ochsner และคณะ, 1994a)

กรอบอ่านรหัสเปิดที่ 3 (ORF3) ประกอบด้วย 426 ลำดับกรดอะมิโน มีความคล้ายคลึงกับโปรตีน rhamnosyltransferase chain B (RhIB) ที่ประมวลรหัสโดย *rhlB* ซึ่งเรียงตัวต่อจาก *rhlA* ไม่พบส่วนโปรตีนเตอร์ *rhlB* ตั้งนี้จากล่าว่าได้ว่า *rhlB* นำจะถอดรหัสเป็น mRNA สายเดียวกับ *rhlA* สอดคล้องกับการรายงานของ Ochsner และคณะ 1994a) ซึ่งพบว่าสายพันธุ์ *UO299* ที่ไม่มีการทำงานของ *rhlA* จะไม่พบหัวโปรตีน RhIB และ RhIB ที่มีขนาด 32 และ 47 กิโลดาลตันตามลำดับ แต่ในสายพันธุ์ *UO287* (*rhlB*) จะพบเพียงโปรตีน RhIB ขนาด 32 กิโลดาลตันเท่านั้น

กรอบอ่านรหัสเปิดที่ 4 (ORF4) หรือ *rhlR* ประกอบด้วย 241 ลำดับกรดอะมิโน มีความคล้ายคลึงกับ transcriptional regulator RhIR ที่ประมวลรหัสโดย *rhlR*

บริเวณปลายด้าน-C ของลำดับกรดอะมิโน พบริเวณอนุรักษ์ของโปรตีนที่เป็นตัวควบคุมการถอดรหัสประกอบด้วยลำดับกรดอะมิโน "LSXREX<sub>2</sub>ILX<sub>5</sub>GX<sub>22</sub>NX<sub>3</sub>K" (X หมายถึงกรดอะมิโนใดๆ) นอกจากนี้ภายในบริเวณอนุรักษ์ดังกล่าวยังพบ helix-turn-helix motif (H-T-H motif) ซึ่งใช้ในการเข้าจับโปรตีนของดีเอ็นเอเป้าหมาย (DNA-binding) (Ochsner และคณะ 1994b) regulatory protein ที่มีบริเวณอนุรักษ์ดังกล่าวที่ปลายด้าน-C มักจะพบในกลุ่ม regulatory protein ที่อาศัยตัวควบคุมอื่นอีกหนึ่งชนิดซึ่งทำงานได้ (two-component regulatory system) (Henikoff และคณะ, 1989) กลไกการควบคุมแบบนี้มักเกี่ยวข้องกับการตอบสนองต่อสิ่งแวดล้อมที่มีผลต่อการทำงานของแบคทีเรีย (Adhya และ Garges, 1990; Bourret และคณะ, 1991; Stock และคณะ, 1989 และ Stock และคณะ, 1990) เช่น chemotaxis, osmosensitivity ความรุนแรงของการก่อโรค การเคลื่อนที่ ตลอดจนการผลิตสาร secondary metabolite ภายใต้ภาวะที่แย่ลงเป็นต้น การผลิตแอมโมนิโอลิกิติกของ *P. aeruginosa* A41 และ *Pseudomonas aeruginosa* พบร่วมเกิดขึ้นในระยะ late exponential และระยะ stationary phase ในภาวะที่ให้

ในโครงการจ้ำกัด (อารีย์ ก่งจิน, 2542; นพรัตน์ วนิชสุขสมบัติ, 2545; Wagner และคณะ, 1984) ดังนั้นจึงเป็นการแสดงให้เห็นว่าการผลิตแรมโนลิพิดถูกควบคุมโดยปัจจัยต่างๆ จากสิ่งแวดล้อม จึงเป็นไปได้ว่าการสังเคราะห์แรมโนลิพิดจะเกี่ยวข้องกับ two-component regulatory system ซึ่งในที่นี้ก็คือ RhIR และ butanoyl-homoserine lactone (C<sub>4</sub>-HSL) หรือ PAI-2 ซึ่งเป็น autoinducer ชนิดหนึ่ง ซึ่งถูกสังเคราะห์โดยใช้ enzyme autoinducer synthetase ที่ระบุหัสโดย *rhII* โปรตีน RhIR ต้องรวมตัวกับ autoinducer synthetase ก่อนจึงจะสามารถกระตุ้นการถอดรหัสของดีเอ็นเอเป้าหมาย (*rhIAB promoter*) (Lamb และคณะ, 2003)

กรอบอ่านรหัสเปิดที่ 5 (ORF5) หรือ *rhII* ประกอบด้วย 201 ลำดับกรดอะมิโน มีความคล้ายคลึงกับโปรตีนที่คาดว่าจะเป็น autoinducer synthetase (RhII) ที่ประมวลรหัสโดย *rhII* เป็นเอนไซม์ที่ใช้ในการสังเคราะห์ autoinducer ชนิด butanoyl-homoserine lactone (C<sub>4</sub>-HSL) หรือ PAI-2 ทำงานร่วมกับโปรตีน RhIR ไปกระตุ้นการแสดงออกของ *rhIAB* (Ochsner และคณะ, 1994b) สารประกอบ RhIR-PAI-2 complex นี้จะเข้าจับบริเวณ *las box* เหนือยีน *rhIAB* ทำให้เกิดการถอดรหัสได้เป็น rhamnosyltransferase 1 ให้ในการสังเคราะห์แรมโนลิพิด (Pearson และคณะ, 1997)

## ศูนย์วิทยทรัพยากร จุฬาลงกรณ์มหาวิทยาลัย



บทที่ 7  
ข้อเสนอแนะ

# ศูนย์วิทยทรัพยากร จุฬาลงกรณ์มหาวิทยาลัย

### ข้อเสนอแนะ

1.จากการศึกษาลำดับนิวคลีอไทด์ของยีนที่เกี่ยวข้องกับการสังเคราะห์

Rhamnosyltransferase I ใน *P. aeruginosa* A41 ทำให้ทราบว่า ยีน *rhlA* และ *rhlB* ถูกควบคุมด้วยโปรตีน *RhlR* และ autoinducer synthetase ที่บริโภคโปรามิโน酇อร์ของยีน *rhlAB* ดังนั้นถ้าต้องการเพิ่มปริมาณของแรมโนลิพิดอาจปรับปุ่งหรือเปลี่ยนโปรามิโน酇อร์ของยีน *rhlAB* ให้เป็นโปรามิโน酇อร์ที่มีประสิทธิภาพสูงขึ้น

2.ทำการศึกษากลไกการควบคุมของยีนที่เกี่ยวข้องกับการผลิตสารแรมโนลิพิดบริโภคนึ่อ ก เพื่อนำไปสู่การศึกษาการซักนำให้มีผลผลิตโดยรวมสูงขึ้น

3.การศึกษาเกี่ยวกับเอนไซม์ที่เกี่ยวข้องกับการสังเคราะห์สาร เพื่อนำไปสู่การสังเคราะห์สาร โดยวิธีอื่น ๆ ก



**ศูนย์วิทยทรัพยากร  
จุฬาลงกรณ์มหาวิทยาลัย**

## เอกสารอ้างอิง

### ภาษาไทย

นพรัตน์ วนิชสุขสมบัติ. 2545. การผลิตและลักษณะสมบัติของสารลดแรงตึงผิวชีวภาพที่ผลิตจาก *Pseudomonas* sp. สายพันธุ์ A41 โดยให้น้ำมันปาล์มเป็นแหล่งคาร์บอน.  
วิทยานิพนธ์ปริญญามหาบัณฑิต ภาควิชาจุลชีววิทยา จุฬาลงกรณ์มหาวิทยาลัย.  
อาจารย์ กง Jin. 2542. การแยกจุลทรรศน์ที่ผลิตสารลดแรงตึงผิวชีวภาพและการผลิตสารลดแรงตึงผิวชีวภาพ. วิทยานิพนธ์ปริญญามหาบัณฑิต ภาควิชาจุลชีววิทยา จุฬาลงกรณ์มหาวิทยาลัย.

### ภาษาอังกฤษ

- Abalos, A., Pinazo, A., Infante, M.R., Casals, M., Garcia, F. and Manresa, A. 2001. Physicochemical and antimicrobial properties of new rhamnolipids produced by *Pseudomonas aeruginosa* AT10 from soybean oil refinery wastes. Langmuir. 17: 1367-1371.
- Achenbach, L.A., Carey, J. and Madigan, M.T. 2001. Photosynthetic and phylogenetic primers for detection of anoxygenic phototrophs in natural environments. Appl. Environ. Microbiol. 67: 2922-2926.
- Adhya, S., and Garges, S. 1990. Positive control. Minireview. J. Biol. Chem. 265: 10797-10800.
- Ausubel, F.A., Brent, R., Kingston, R.E., Moore, D.D., Seidman, J.G., Smith, J.A. and Struhl, K. 1999. Current protocols in molecular biology. 4<sup>th</sup> ed. New York: John Wiley & Sons.
- Babu, P.S., Vaidya, A.N., Bal, A.S., Kapur, R., Juwarkar, A. and Khanna, P. 1996. Kenetics of biosurfactant production by *Pseudomonas aeruginosa* strain BS2 from industrial waste. Biotechnol Lett. 18: 263 – 268.
- Banat, I.M., Makkar, R.S. and Cameotra, S. S. 2000. Potential commercial applications of microbial surfactants. Appl. Microbiol. Biotechnol. 2000. 53: 495-508.

- Beal, R. and Betts, W.B. 2000. Role of rhamnolipid biosurfactants in the uptake and mineralization of hexadecane in *Pseudomonas aeruginosa*. *J. Appl. Microbiol.* 89: 158-168.
- Bergstrom, S., Theorell, H. and Davide, H. 1946. On a metabolic product of *Ps Pyocyanus*, pyolipic acid, active against *Myobact. tuberculosis*. *Ark. Kem Mineral Geol* 23A: 1-12.
- Bertrand, J.C., Bonin, P., Goutex, M. and Mille, G. 1994. The potential application of biosurfactant in combating hydrocarbon pollution in marine environments. *Res. Microbiol.* 145: 53-56.
- Bloomberg, G. 1991. Designing proteins as emulsifiers. *Lebensmitteltechnologie*. 24: 130-131.
- Bourret, R.B., Borkovich, K.A. and Simon, M.I. 1991. Signal transduction pathways involving protein phosphorylation in prokaryotes. *Annu. Rev. Biochem.* 60: 401-441.
- Brown, M.J. 1991. Biosurfactants for cosmetic applications. *Int. J. Cosmet. Sci.* 13: 61-64.
- Buell,C.R., Joardar,V., Lindeberg,M., Selengut,J., Paulsen,I.T., Gwinn,M.L., Dodson,R.J., Deboy,R.T., Durkin,A.S., Kolonay,J.F., Madupu,R., Daugherty,S., Brinkac,L., Beanan,M.J., Haft,D.H., Nelson,W.C., Davidsen,T., Zafar,N., Zhou,L., Liu,J., Yuan,Q., Khouri,H., Fedorova,N., Tran,B., Russell,D., Berry,K., Utterback,T., Van Aken,S.E., Feldblyum,T.V., D'Ascenzo,M., Deng,W.L., Ramos,A.R., Alfano,J.R., Cartinhour,S., Chatterjee,A.K., Delaney,T.P., Lazarowitz,S.G., Martin,G.B., Schneider,D.J., Tang,X., Bender,C.L., White,O., Fraser,C.M. and Collmer,A. 2003. The complete genome sequence of the arabidopsis and tomato pathogen *Pseudomonas syringae* pv. tomato DC3000. *Proc. Natl. Acad. Sci. U.S.A.* 100: 10181-10186.
- Burger, M.M., Glaser, L. and Burton, R.M. 1963. The enzymatic synthesis of rhamnose-containing glycolipids by extracts of *Pseudomonas aeruginosa*. *J. Biol. Chem.* 238: 2595-2602.

- Cameotra, S.S. and Makkar, R.S. 1998. Synthesis of biosurfactants in extreme conditions. Appl Microbiol Biotechnol. 50: 520-529.
- Collado-Vides, J., Magasanik, B. and Gralla, J.D. 1991. Control site location and transcriptional regulation in *Escherichia coli*. Microbiol. Rev. 55: 371-394.
- Cooper, D.G. and Zajic, J.E. 1980. Surface-active compounds from microorganisms. Adv. Appl. Microbiol. 26: 229-256.
- Daniel, H.J., Otto, R.T., Binder, M. and Syldatk, C. 1998. Sophorolipid production with high yields on whey concentrated and rape seed oil without consumption of lactose. Biotechnol. Lett. 20: 805-807.
- Deretic, V., Gill, J.F. and Chakrabarty, A.M. 1987. BioTechnology. 5: 469-477.
- Deretic, V., Konyecsni, W.M., Nohr, C.D., Martin, D.W. and Hibler, N.S. 1989. BioTechnology. 7: 1249-1254.
- Desai, J.D. and Banat, I.M. 1997. Microbial production of surfactants and their commercial potential. Microbiol. Mol. Biol. Rev. 61:47-64.
- Devine, J.H., Shadel, G.S. and Baldwin, T.O. 1989. Identification of the operator of the *lux* regulon from the *Vibrio fischeri* strain ATCC 7744. Proc. Natl. Acad. Sci. USA. 86: 5688-5692.
- Edwards, J.R. and Hayashi, J.A. 1965. Structure of a rhamnolipid from *Pseudomonas aeruginosa*. Arch. Biochem. Biophys. 111: 415-421.
- Fiechter, A. 1992. Biosurfactants: moving towards industrial application. Trends. Biotechnol. 10: 208-217.
- Finnerty, W.R. and Singer, M.E. 1985. Membranes of hydrocarbon-utilizing microorganisms. In: Ghosh BK (ed) Organization of prokaryotic cell membranes, vol 3. CRC Press, Boca Raton, Fla., pp 1-44.
- Fuqua, W.C. and Greenberg, E.P. 1998. Self perception in bacteria: molecular mechanisms of stimulus-response coupling. Curr Opin Microbiol. 1:183-189.
- Fuqua, C., Parsek, M.R. and Greenberg, E.P. 2001. Regulation of gene expression by cell-to-cell communication: acyl-homoserine lactone quorum-sensing. Annu. Rev. Genet. 35: 439-468.

- Fuqua, W.C., Winans, S.C. and Greenberg, E. P. 1994. Quorum sensing in bacteria: the LuxR-LuxI family of cell density- responsive transcriptional regulators. *J. Bacteriol.* 176: 269-275.
- Fuqua, W.C., Winans, S.C. and Greenberg, E. P. 1996. Census and consensus in bacterial ecosystems: the LuxR-LuxI family of quorum sensing transcriptional regulators. *Annu. Rev. Microbiol.* 50: 727-751.
- Gambello, M.J. and Iglesias, B.H. 1991. Cloning and characterization of the *Pseudomonas aeruginosa lasR* gene: a transcriptional activator of elastase expression. *J. Bacteriol.* 173: 3000-3009.
- Gambello, M.J., Kaye, S. and Iglesias, B.H. 1993. LasR of *Pseudomonas aeruginosa* is a transcriptional activator of the alkaline protease gene (*apr*) and an enhancer of exotoxin A expression. *Infect. Immun.* 61: 1180-1184.
- Gerson, D.F. 1993. The biophysics of microbial surfactants: growth on insoluble substrates. In N. Kosaric (ed), *Biosurfactant : production, properties, applications*, pp. 169-286. New York: Marcel Dekker.
- Gilman, L.B. 1993. A review of instruments for static and dynamicsurface and interfacial tension measurement. Present at the seminar by Kruss Gmbtt and Scientific promotion Co., Ltd, at Indra Regent Hotel, BK. Thailand, October 30, 1997.
- Hanahan, D. 1983. Studies on transformation of *Escherichia coli* with plasmids. *J. Mol. Biol.* 166: 557-580.
- Hauser, G. and Karnovsky, M.L. 1957. Rhamnose and rhamnolipid biosynthesis by *Pseudomonas aeruginosa*. *J. Biol. Chem.* 224: 91-105.
- Hauser, G. and Karnovsky, M.L. 1958. Studies on biosynthesis of L-rhamnose. *J. Biol. Chem.* 233: 287-291.
- Hayes, M.E., Nestaas, E. and Hrebenar, K.R. 1986. Microbial surfactants. *Chemtech.* 4: 239-243.
- Henikoff, S., Wallace, J.C. and Brown, J.P. 1989. Finding protein similarities with nucleotide sequence databases. *Methods Enzymol.* 183: 111-132.

- Hirayama, T. and Kato, I. 1982. Novel methyl rhamnolipids from *Pseudomonas aeruginosa*. FEBS. Lett. 139: 81-85.
- Hisatuska, K., Nakahare, T., Sano, N. and Yamada, K. 1971. Formation of rhamnolipid by *Pseudomonas aeruginosa* and function in hydrocarbon fermentation. Agr. Biol. Chem. 35: 686-692.
- Ishigami. 1997. Characterization of biosurfactants. In: Esumi, L. and Ueno, M. (ed) Structure-performance relationships in surfactants. New York: Dekker: pp 197-226.
- Ishigami, Y., Gama, Y., Nagahara, H., Motomiya, T. and Yamaguchi, M. 1988a. Liposome containing rhamnolipids. Japanese Patent Kokai. 63-182, 029.
- Ishigami, Y., Gama, Y., Uji, Y., Nasui, K. and Shibayama, Y. 1988b. Japanese Patent Kokai. 63-77, 535.
- Itoh, A., Honda, H., Tomato, F. and Suzuki, T. 1971. Rhamnolipid produced by *Pseudomonas aeruginosa* grown on n-paraffin. J. Antibiot. 24: 855-859.
- Jarvis, F.G. and Johnson, M.J. 1949. A glycolipid produced by *Pseudomonas aeruginosa*. J. Am. Chem. Soc. 71: 4124-4126. Cited in Desai, J. D. and Banat, I.M. 1997. in Microbial production of surfactants and their commercial potential. Microbiol. Mol. Biol. Rev. 61: 47-64.
- Kaweshima, H., Nakahara, T., Oogaki, M. and Tabuchi, T. 1983. Extracellular production of a mannosylerythritol lipid of a mutant of *Candida* sp. From n-alkane and triglycerides. J. Ferment. Technol. 61: 143-149.
- Kitamoto, D., Yanagishita, H., Shinbo, T., Makane, T., Kanmisawa, C. and Nakahora, T. 1993. Surface active properties and antimicrobial activities of mannosylerythritol lipids as biosurfactant produced by *Candida antarctica*. J. Biotechnol. 29: 91-96.
- Kleckner, V. and Kosaric, N. 1993. Biosurfactants for cosmetics. In: Kosaric N (ed) Biosurfactants, production, properties, applications. Surfactant science series: vol 48. New York: Dekker. pp. 373-389.

- Kosaric, N. 1993. Biosurfactant \*Production \*Property \*Application. Surfactant Science Series: vol 48. New York: Marcel Dekker.
- Kosaric, N., Cairns, W. L., Gray, N. C. C., Stechey, D. and Wood, J. 1984. The role of nitrogen in multiorganism strategies for biosurfactant production. J. Am Oil Chem. Soc. 61: 1735-1743.
- Lamb, J.R., Patel, H., Montminy, T., Wagner, V.E. and Iglesias, B.H. 2003. Functional domains of the RhlR transcriptional regulator of *Pseudomonas aeruginosa*. J. Bacteriol. 185: 7129-7139.
- Lang, S. and Wullbrandt, D. 1999. Rhamnose lipid-biosynthesis, microbial production and application potential. Appl. Microbiol Biotechnol. 51: 22-32.
- Latifi, A., Foglino, M., Tanaka, K., Williams, P. and Lazdunski. 1996. A hierarchical quorum-sensing cascade in *Pseudomonas aeruginosa* links the transcriptional activators LasR and RhlR to expression of the stationary phase sigma factor RpoS. Mol. Microbiol. 21: 1137-1146.
- Latifi,A., Winson,M.K., Foglino,M., Bycroft,B.W., Stewart,G.S., Lazdunski,A. and Williams,P. 1995. Multiple homologues of LuxR and LuxI control expression of virulence determinants and secondary metabolites through quorum sensing in *Pseudomonas aeruginosa* PAO1. Mol. Microbiol. 17: 333-343.
- Leenhouts, J.M., Van der Winingard, P.W.J., De Kroon, A.I.P.M. and Der Kruijff, B. 1995. Anionic phospholipids can mediate membrane insertion of the anionic part of a bound peptide. FEBS Lett. 370: 361-369.
- Linhardt, R.J., Bakhit, R., Daniels, L., Mayerl, F. and Pickenhagen, W. 1989. Microbially produce rhamnolipid as a source of rhamnose. Biotechnol. Bioeng. 33: 365-368.
- Lisser, S. and Margalit, H. 1993. Compilation of *E. coli* mRNA promoter sequences. Nucleic acids Res. 21(7): 1507-1516.
- Maier, R.M. and Soberon-Chavez, G. 2000. *Pseudomonas aeruginosa* rhamnolipids: biosynthesis and potential applications. Appl. Microbiol. Biotechnol. 54: 625-633.

- Makkar, R.S. and Cameotra, S.S. 1999a. Biosurfactant production by microorganisms on unconventional carbon sources-a review. *J. Surf. Det.* 2: 237-241.
- Makkar, R.S. and Cameotra, S.S. 1999b. Biochemical and structural characterization of biosurfactant produced by *Bacillus subtilis* at thermophilic conditions. *J. Surf. Det.* 2: 371-376.
- Matsuyama, T., Kaneda, L., Ishizuka, I., Toida, T. and Yano, I. 1990. Surface-active novel extracellular cyclic lipopeptide which promotes flagellum-dependent and independent spreading growth of *Serratia marcescens*. *J. Bacteriol.* 174: 1769-1776.
- Medina, G., Juarez, K., Balderrama, B. and Soberon-Chavez, G. 2003. Mechanism of *Pseudomonas aeruginosa* RhIR transcriptional regulation of the rhIAB promoter. *J. Bacteriol.* 185: 5976-5983.
- Medina, G., Juarez, K., Diaz, R. And Soberon-Chavez, G. 2003. Transcriptional regulation of *Pseudomonas aeruginosa* *rhIR*, encoding a quorum-sensing regulatory protein. *Microbiology*. 149: 3073-3081.
- Mercade, M.E., Manresa, A., Robert, M., Espuny, M.J., de Andres, C. and Guinea, J. 1993. Olive oil mill effluent (OOME). New substrate for biosurfactant production. *Bioresource Technol.* 43: 1 – 6
- Morett , E. and Segovia, L. 1993. *J. Bacteriol.* 175: 6067-6074.
- Mueller, J.G., Devereux, R., Santavy, D.L., Lantz, S.E., Willis, S.G. and Pritchard, P.H. 1997. Phylogenetic and physiological comparisons of PAH-degrading bacteria from geographically diverse soils. *Antonie van Leeuwenhoek*. 71: 329-343.
- Mulligan, C.N., Chow, T.Y.K. and Gibbs, B.F. 1989. Enhanced biosurfactant production by a mutant *Bacillus subtilis* strain. *Appl. Microbiol. Biotechnol.* 31: 486-489.
- Nelson,K., Paulsen,I., Weinel,C., Dodson,R., Hilbert,H., Fouts,D., Gill,S., Pop,M., Martins Dos Santos,V., Holmes,M., Brinkac,L., Beanan,M., DeBoy,R., Daugherty,S., Kolonay,J., Madupu,R., Nelson,W., White,O., Peterson,J., Khouri,H., Hance,I., Lee,P., Holtzapple,E., Scanlan,D., Tran,K., Moazzez,A., Utterback,T., Rizzo,M., Lee,K., Kosack,D., Moestl,D., Wedler,H., Lauber,J., Hoheisel,J., Straetz,M..

- im,S., Kiewitz,C., Eisen,J., Timmis,K., Duesterhoff,A., Tummler,B. and Fraser,C. 2002. Complete genome sequence and comparative analysis of the metabolically versatile *Pseudomonas putida* KT2440. *Environ. Microbiol.* 4: 799-808.
- Nielsen, T.H., Sørensen, D., Tobiasen, C., Andersen, J.B., Christophersen, C., Givskov, M. and Sørensen, J. 2002. Antibiotic and biosurfactant properties of cyclic lipopeptides produced by fluorescent *Pseudomonas* spp. from the sugar beet rhizosphere. *Appl. Environ. Microbiol.* 68: 3416-3423.
- Ochsner, U.A., Fiechter,A. and Reiser,J. 1994a. Isolation, characterization, and expression in *Escherichia coli* of the *Pseudomonas aeruginosa rhlAB* genes encoding a rhamnosyltransferase involved in rhamnolipid biosurfactant synthesis. *J. Biol. Chem.* 269: 19787-19795.
- Ochsner, U.A., Hembach, T. and Fiechter, A. 1996. Production of rhamnolipid biosurfactant. In Fiechter A. (ed) *Advances in biochemical engineering biotechnology*, vol 53. Springer, Berlin Heidelberg. New York. Pp. 89-118.
- Ochsner, U.A., Koch, A.K., Fiechter, A. and Reiser, J. 1994b. Isolation and characterization of a regulatory gene affecting rhamnolipid biosurfactant synthesis in *Pseudomonas aeruginosa*. *J. Bacteriol.* 176:2044-2054.
- Ochsner,U.A. and Reiser,J. 1995. Autoinducer-mediated regulation of rhamnolipid biosurfactant synthesis in *Pseudomonas aeruginosa*. *Proc. Natl. Acad. Sci. U.S.A.* 92: 6424-6428.
- Ochsner, U.A., Reiser, J., Fiechter, A. and Witholt, B. 1995. Production of *Pseudomonas aeruginosa* rhamnolipid biosurfactants in heterologous hosts. *Appl. Environ. Microbiol.* 61:3503-3506.
- Ohno, A., Ano, T. and Shoda, M. 1995. Production of a lipopeptide antibiotic, surfactin, by recombinant *Bacillus subtilis* in solid state fermentation. *Biotechnol. Bioeng.* 47: 209-214.
- Passador, L., Cook, J.M., Gambello, M.J., Rust, L. and Iglesias, B.H. 1993. Expression of *Pseudomonas aeruginosa* virulence genes requires cell-to-cell

communication. *Science*. 260: 1127-1130.

- Patel, R.M. and Desai, A.J. 1997a. Biosurfactant production by *Pseudomonas aeruginosa* GS3 from molasses. *Lett. Appl Microbiol.* 25: 91-94.
- Patel, R.M. and Desai, A.J. 1997b. Surface-active properties of rhamnolipids from *Pseudomonas aeruginosa* GS3. *J. Basic. Microbiol.* 37: 281-286.
- Pearson, J.P., Gray, K.M., Passador, L., Tucker, K.D., Eberhard, A., Iglewski, B.H. and Greenberg, E.P. 1994. Structure of the autoinducer required for expression of *Pseudomonas aeruginosa* virulence genes. *Proc. Natl. Acad. Sci. USA*. 91: 197-201.
- Pearson, J.P., Passador, L., Iglewski, B.H. and Greenberg, P. 1995. A second *N* acylhomoserine lactone signal produced by *Pseudomonas aeruginosa*. *Proc. Natl. Acad. Sci. USA*. 92: 1490-1494.
- Pearson, J.P., Pesci, E.C. and Iglewski, B.H. 1997. Roles of *Pseudomonas aeruginosa las* and *rhl* quorum-sensing systems in control of elastase and rhamnolipid biosynthesis. *J. Bacteriol.* 179: 5756-5767.
- Pesci, E.C., Pearson, J.P. Seed, P.C. and Iglewski, B.H. 1997. Regulation of *las* and *rhl* quorum sensing in *Pseudomonas aeruginosa*. *J. Bacteriol.* 179: 3127-3132.
- Pugsley, A. P. 1993. The complete general secretory pathway in gram-negative bacteria. *Microbiol. Rev.* 57: 50-108.
- Rahim, R., Ochsner, U.A., Olvera, C., Graninger, M., Messner, P., Lam, J.S. and Soberon-Chavez, G. 2001. Cloning and functional characterization of the *Pseudomonas aeruginosa rhlC* gene that encodes rhamnosyltransferase 2, an enzyme responsible for di-rhamnolipid biosynthesis. *Mol. Microbiol.* 40: 708-718.
- Rehm, B.H., Kruger, N. and Steinbuchel, A. 1998. A new metabolic link between fatty acid de novo synthesis and polyhydroxyalkanoic acid synthesis. 1998. *J. Biol. Chem.* 273: 24044-24051.
- Rendell, N.B., Taylor, G.W., Somerville, M., Todd, H., Wilson, R. and Cole, P.J. 1990.

- Characterisation of *Pseudomonas rhamnolipids*. *Biochimica et Biophysica Acta*. 1045: 189-193.
- Rosenberg, E. 1993. Exploiting microbial growth on hydrocarbon: new markets. *Trends Biotechnol.* 11: 419-424.
- Rosenberg, E. and Ron, E.Z. 1999. High- and low-molecular-mass microbial surfactants. *Appl. Microbiol. Biotechnol.* 52: 154-162.
- Salmond, G.P.C., Bycroft, B.W., Stewart, G.S.A.B. and Williams, P. 1995. The bacterial enigma: cracking the code of cell-cell communication. *Mol. Microbiol.* 16: 615-624.
- Sambrook, J. and Russell, D.W. 2001. *Molecular Cloning: A Laboratory Manual*. 3<sup>rd</sup> ed. Cold Spring Harbor, New York: Cold Spring Harbor Laboratory Press.
- Sandrin, C., Peypoux, F. and Michel, G. 1990. Coproduction of surfactin and iturin A lipopeptides with surfactant and antifungal properties by *Bacillus subtilis*. *Biotechnol. Appl. Biochem.* 12: 370-375.
- Seed, P.C., Passador, L. and Iglesias, B.H. 1995. Activation of the *Pseudomonas aeruginosa lasI* gene by LasR and the *Pseudomonas* autoinducer PAI: an autoinduction regulatory hierarchy. *J. Bacteriol.* 177: 654-659.
- Shabtai, Y. and Gutnick, D.L. 1986. Enhanced emulsan production in mutants of *Acinetobacter calcoaceticus* RAG-1 selected for resistance to cetyltrimethylammonium bromide. *Appl. Environ. Microbiol.* 52: 146-151.
- Shine, J. and Dalgarno, L. 1974. The 3'-terminal sequence of *Escherichia coli* 16S ribosomal RNA: complementarity to nonsense triplets and ribosome binding sites. *Proc. Natl. Acad. Sci.* 71: 1342-1346.
- Stanghellini, M.E., Rasmussen, S.L., Kim, D.H. and Rorabaugh, P.A. 1996. Efficacy of nonionic surfactants in the control of zoospore spread of *Pythium aphanidermatum* in a recirculating hydroponic system. *Plant. Dis.* 80: 422-428.
- Stock, J.B., Ninfa, A.J. and Stock, A.M. 1989. Protein phosphorylation and regulation of adaptive responses in bacteria. *Microbiol. Rev.* 53: 450-490.
- Stock, J.B., Stock, A.M. and Nottonen, J.M. 1990. Signal transduction in bacteria.

Nature (London). 344: 395-400.

- Stover,C.K., Pham,X.-Q.T., Erwin,A.L., Mizoguchi,S.D., Warrener,P., Hickey,M.J., Brinkman,F.S.L., Hufnagle,W.O., Kowalik,D.J., Lagrou,M., Garber,R.L., Goltry,L., Tolentino,E., Westbrock-Wadman,S., Yuan,Y., Brody,L.L., Coulter,S.N., Folger,K.R., Kas,A., Larbig,K., Lim,R.M., Smith,K.A., Spencer,D.H., Wong,G.K.-S., Wu,Z. and Paulsen,I.T. 2000. Complete genome sequence of *Pseudomonas aeruginosa* PA01, an opportunistic pathogen. Nature 406: 959-964.
- Syldatk, C., Lang, S., Wagner, F., Wray, V. and Witte, L. 1985. Chemical and physical characterization of four interfacial-active rhamnolipids from *Pseudomonas* spec. DSM 2874 grown on n-alkane. Z. Naturforsch. 40: 51-60.
- Tahzibi, A., Kamal, F. and Assadi, M. M. 2004. Improved production of rhamnolipids by a *Pseudomonas aeruginosa* mutant. Iran. Biomed. J. 8: 25-31.
- Toder, D.S., Gambello, M.J. and Iglesias, B.H. 1991. *Pseudomonas aeruginosa* LasA; a second elastase gene under transcriptional control of lasR. Mol. Microbiol. 5: 2003-2010.
- Volkering, F., Breure, A.M. and Rulkens, W.H. 1998. Microbiological aspects of surfactant use for biological soil remediation. Biodegradation 8: 401-417.
- Vollenbroich, D., Pauli, G., Ozel, M. and Vater, J., 1997. Antimycoplasma properties and application on cell cultures of surfactin, a lipopeptide antibiotic from *Bacillus subtilis*. Appl. Environ. Microbiol. 63: 44-49.
- Wagner, F., Kim, J.S., Lang, S., Li, Z.Y., Mawede, G., Matulovic, U., Ristau, E. and Syldatk, C. 1984. Production of surface active compounds by resting and immobilized microbial cells. p. 1-8.
- Whiteley, M. and Greenberg, E.P. 2001. Promoter specificity elements in *Pseudomonas aeruginosa* quorum-sensing-controlled genes. 183: 5529-5534.
- Whiteley, M., Lee, K.M. and Greenberg, E.P. 1999. Identification of genes controlled by quorum sensing in *Pseudomonas aeruginosa*. Proc. Natt. Acad. Sci. USA. 96: 13904-13909.

Widada, J., Nojiri, H., Kasuga, K., Yoshida, T., Habe, H. and Omori, T. 2002. Molecular detection and diversity of polycyclic aromatic hydrocarbon degrading bacteria isolated from geographically diverse sites. Appl. Microbiol. Biotechnol. 58: 202-209.

Woods, D.R. and Reid, S.J. 1993. FEMS Microbiol. Rev. 11: 273-284.

Yamagushi, M., Sato, A. and Yukuyama, A. 1976. Microbial production of sugar-lipids. Chem. Ind. 4: 741-742.

Zhang,Z. and Pierson,L.S. 2001. A second quorum-sensing system regulates cell surface properties but not phenazine antibiotic production in *Pseudomonas aureofaciens*. Appl. Environ. Microbiol. 67: 4305-4315.

ศูนย์วิทยทรัพยากร  
จุฬาลงกรณ์มหาวิทยาลัย



ศูนย์วิทยทรัพยากร  
จุฬาลงกรณ์มหาวิทยาลัย

## ภาคผนวก ก

### สูตรและวิธีการเตรียมอาหารเลี้ยงเชื้อ

#### 1. อาหารเลี้ยงเชื้อเหลว Luria-Bertani (LB broth)

ทริปโตน (trytone)	10.0	กรัม
ผงสกัดจากเยลลี่ส์ต์ (yeast extract)	5.0	กรัม
โซเดียมคลอไรด์ (NaCl)	5.0	กรัม

ละลายสารสามชนิดในน้ำกลั่นปริมาณ 1,000 มล. ปรับค่าความเป็นกรด-ด่างด้วยสารละลายโซเดียมไฮดรอกไซด์ความเข้มข้น 1 นอร์มัล เป็น 7.5 นำไปนึ่งฆ่าเชื้อด้วยความดันไอน้ำ 15 ปอนด์ต่อตารางนิ้ว อุณหภูมิ  $121^{\circ}\text{C}$  เป็นเวลา 20 นาที

#### 2. อาหารเลี้ยงเชื้อแข็ง Luria-Bertani (LB agar)

เตรียมอาหารด้วยวิธีเดียวกับอาหารเลี้ยงเชื้อเหลว LB แต่ละลายกุ้น 15 กรัมต่ออาหาร 1 ลิตร เพิ่มลงไป จากนั้นนำไปนึ่งฆ่าเชื้อด้วยความดันไอน้ำ 15 ปอนด์ต่อตารางนิ้ว อุณหภูมิ  $121^{\circ}\text{C}$  เป็นเวลา 20 นาที

#### 3. อาหารเลี้ยงเชื้อเหลว 2YT (2YT broth)

ทริปโตน (trytone)	160	กรัม
ผงสกัดจากเยลลี่ส์ต์ (yeast extract)	10.0	กรัม
โซเดียมคลอไรด์ (NaCl)	5.0	กรัม

ละลายสารสามชนิดในน้ำกลั่นปริมาณ 1,000 มล. ปรับค่าความเป็นกรด-ด่างด้วยสารละลายโซเดียมไฮดรอกไซด์ความเข้มข้น 1 นอร์มัล เป็น 7.5 นำไปนึ่งฆ่าเชื้อด้วยความดันไอน้ำ 15 ปอนด์ต่อตารางนิ้ว อุณหภูมิ  $121^{\circ}\text{C}$  เป็นเวลา 20 นาที

## ภาคผนวก ข

### สารเคมีและอุปกรณ์ที่ใช้ในการทดลอง

#### 1. กลีเซอรอล

นำกลีเซอรอลมา涅ื้าเรือด้วยความดันไอ 15 ปอนด์ต่อตารางนิ้ว อุณหภูมิ  $121^{\circ}\text{C}$  เป็นเวลา 20 นาที ตั้งทิ้งไว้ที่อุณหภูมิน้อยเป็นเวลา 24 ชั่วโมง แล้วนึ่ง涅ื้อเข้าอีกรอบหนึ่ง

#### 2. สารปฏิชีวนะ

แอมพิซิลลินความเข้มข้น 100 มก./น้ำ 1 มล. ทำให้ปลด绁โดยการกรองสารละลายผ่านชุดกรองสำเร็จรูปนิดเซลลูลิสอะซีเตทขนาดรูกว้าง 0.45 ไมโครเมตร เก็บรักษาไว้ในหลอดไมโครฟิวจ์ที่อุณหภูมิ  $-20^{\circ}\text{C}$  เมื่อนำมาใช้แล้วเก็บที่อุณหภูมิ  $4^{\circ}\text{C}$  ไดนาน 1 เดือน

#### 3. ชุดสกัดพลาสมิดปริมาณน้อย QIAprep Spin Miniprep Kit

ประกอบด้วย

Buffer P1

Buffer P2

Buffer N3

Buffer PB

Buffer PE (concentrate)

Buffer EB

Rnase A

Collection tube

QIAprep Spin column

ก่อนใช้ชุดสกัดพลาสมิดครั้งแรกให้เติม Rnase A ปริมาตร 20 ไมโครลิตร ลงใน Buffer P1 และเก็บรักษาไว้ที่อุณหภูมิ  $4^{\circ}\text{C}$  และเติมเชรานอลบิรม่าต์ 24 มล. ลงใน Buffer PE

#### 4. ชุดสกัดดีเอ็นเอออกจากกระดาษเจล QIAquick<sup>®</sup> Gel Extraction kit

ประกอบด้วย

Buffer QG

Buffer PE (concentrate)

Buffer EB

Collection tube

QIAquick Spin colum

ก่อนใช้ชุดสกัดดีเอ็นเอจากอุจจาระให้เติมเชstanอลบิโนมาตร 24 มล. ลงใน Buffer PE ทำการสกัดดีเอ็นเอตามกรรมวิธีที่ให้โดยบริษัทผู้ผลิต

#### 5. สารละลาย 10%SDS

ซึ่ง sodium dodecyl sulfate น้ำหนัก 10 กรัม คือๆ ละลายในน้ำปลอดปะจุที่อุณหภูมิ 60 ° ฯ ปริมาตร 80 มล. เมื่อลดความดันน้ำปลอดปะจุให้ครบปริมาตร 100 มล. นำไปปั่นฟื้นฟื้น เชือด้วยความดันไอ 15 ปอนด์ต่อตารางนิ้ว อุณหภูมิ 121 ° ฯ เป็นเวลา 20 นาที (หลังจากนี้ร้าวเรือครั้งแรกแล้วจะไม่สามารถนำไปปั่นฟื้นฟื้นเชือด้วยสารละลาย SDS จะเสียสภาพ)

#### 6. Denaturation buffer

โซเดียมไฮดรอกไซด์	0.5	มิลลิลิตร
-------------------	-----	-----------

โซเดียมคลอไรด์	1.5	มิลลิลิตร
----------------	-----	-----------

ละลายโซเดียมคลอไรด์ในน้ำปลอดปะจุปริมาตร 800 มล. จนหมดแล้วจึงละลายโซเดียมไฮดรอกไซด์ เติมน้ำปลอดปะจุจนครบปริมาตร 1,000 มล. นำไปปั่นฟื้นฟื้นเชือด้วยความดันไอ 15 ปอนด์ต่อตารางนิ้ว อุณหภูมิ 121 ° ฯ เป็นเวลา 20 นาที

#### 7. Neutralization buffer

Trismabase	0.5	มิลลิลิตร
------------	-----	-----------

โซเดียมคลอไรด์	3.0	มิลลิลิตร
----------------	-----	-----------

ผสมสารทั้งหมดเข้าด้วยกันในน้ำปลอดปะจุปริมาตร 800 มล. ปรับค่าความเป็นกรด-ด่างเป็น 7.0 ด้วยกรดไฮดรอกซิลิกเข้มข้น เติมน้ำปลอดปะจุจนครบปริมาตร 1,000 มล. นำไปปั่นฟื้นฟื้นเชือด้วยความดันไอ 15 ปอนด์ต่อตารางนิ้ว อุณหภูมิ 121 ° ฯ เป็นเวลา 20 นาที

#### 8. สารละลาย 20XSSC

โซเดียมคลอไรด์	3.0	มิลลิลิตร
----------------	-----	-----------

โซเดียมอะซีเตต ( $\text{CH}_3\text{COONa}$ )	0.3	มิลลิลิตร
--	-----	-----------

ผสมสารทั้งหมดเข้าด้วยกันในน้ำปลอดประจำปริมาตร 800 มล. ปรับค่าความเป็นกรด-ด่างเป็น 7.0 เติมน้ำปลอดประจำจนเป็นปริมาตร 1,000 มล. นำไปปั่นง่ามเข้าด้วยความดันไอ 15 ปอนด์ต่อตารางนิ้ว อุณหภูมิ 121 °ซี เป็นเวลา 20 นาที

#### 9. สารละลาย 2XSSC

ละลาย 20XSSC ปริมาตร 10 มล. ในน้ำปลอดประจำให้ครบปริมาตร 100 มล. ผสมให้เข้ากัน นำไปปั่นง่ามเข้าด้วยความดันไอ 15 ปอนด์ต่อตารางนิ้ว อุณหภูมิ 121 °ซี เป็นเวลา 20 นาที

#### 10. สารละลาย 2XSSC/0.1% SDS

ละลาย 20XSSC ปริมาตร 10 มล. ในน้ำปลอดประจำ 89 มล. ผสมให้เข้ากัน นำไปปั่นง่ามเข้าด้วยความดันไอ 15 ปอนด์ต่อตารางนิ้ว อุณหภูมิ 121 °ซี เป็นเวลา 20 นาที จากนั้นเติมสารละลาย 0.1% SDS ปริมาตร 1 มล. ควรเตรียมใหม่ทุกครั้งที่ทำการทดลอง

#### 11. สารละลาย 0.5XSSC/0.1% SDS

ละลาย 20XSSC ปริมาตร 2.5 มล. ในน้ำปลอดประจำ 96.5 มล. ผสมให้เข้ากัน นำไปปั่นง่ามเข้าด้วยความดันไอ 15 ปอนด์ต่อตารางนิ้ว อุณหภูมิ 121 °ซี เป็นเวลา 20 นาที จากนั้นเติมสารละลาย 0.1% SDS ปริมาตร 1 มล. ควรเตรียมใหม่ทุกครั้งที่ทำการทดลอง

#### 12. ชุดติดฉลากและติดตามตำแหน่งดีเอ็นเอ DIG High Prime DNA labeling and detection starter kit I (Roche, Germany)

ประกอบด้วย

- หลอดหมายเลข 1. DIG-High Prime, 5Xconc.
- หลอดหมายเลข 2. DIG-labeled control DNA 5 µg/ml
- หลอดหมายเลข 3. DNA dilution buffer
- หลอดหมายเลข 4. Anti-Digoxigenin-AP Conjugate 750 U/ml
- หลอดหมายเลข 5. NBT/BCIP, 50X conc.
- ขวดหมายเลข 6. Blocking solution, 10X conc.
- ขวดหมายเลข 7. DIG Easy Hyb Granules (add 64 ml sterile double distilled water, dissolve at 37 °C)

และสารละลายที่ต้องเตรียมเพิ่มในการทดลองเป็นดังนี้

**Maleic acid buffer**

กรดมาเลิก	0.1	มิลลาร์
โซเดียมคลอไรด์	0.15	มิลลาร์

ผสมสารทั้งหมดเข้าด้วยกันในน้ำปลอดประจุบิม่าตอร์ 800 มล. ปรับค่าความเป็นกรด-ด่างด้วยเกล็ดโซเดียมไฮดรอกไซด์ให้เป็น 7.5 เดินน้ำปลอดประจุจนเป็นบิม่าตอร์ 1,000 มล. นำไปปั่นเฉาเชื่อด้วยความดันไอ 15 ปอนด์ต่อตารางนิวต์ อุณหภูมิ 121°ซ เป็นเวลา 20 นาที

**Blocking solution**

ละลาย 10X blocking solution ใน Maleic acid buffer ที่นึ่งมาเชือแล้วด้วยอัตราส่วน 1 ต่อ 9 (บิม่าตอร์ต่อบิม่าตอร์) ควรเตรียมใหม่ทุกครั้งที่ทำการทดลอง

**Detection buffer**

Trismabase	0.1	มิลลาร์
โซเดียมคลอไรด์	0.1	มิลลาร์

ผสมสารทั้งหมดเข้าด้วยกันในน้ำปลอดประจุบิม่าตอร์ 800 มล. ปรับค่าความเป็นกรด-ด่างด้วยกรดไฮโดรคลอริกเข้มข้นให้เป็น 9.5 เดินน้ำปลอดประจุจนเป็นบิม่าตอร์ 1,000 มล. นำไปปั่นเฉาเชื่อด้วยความดันไอ 15 ปอนด์ต่อตารางนิวต์ อุณหภูมิ 121°ซ เป็นเวลา 20 นาที

**13. สารละลาย Tris-HCl เข้มข้น 1.0 มิลลาร์ ความเป็นกรด-ด่างเป็น 8.0**

Trismabase ( $C_4H_11NO_3$ )	121.1	กรัม
กรดไฮโดรคลอริกเข้มข้น	42	มล.

ละลาย Trismabase ในน้ำปลอดประจุบิม่าตอร์ 800 มล. จากนั้นเติมกรดไฮโดรคลอริกเข้มข้นคนให้เข้ากันรอให้เย็นลงแล้วจึงปรับค่าความเป็นกรด-ด่างด้วยกรดไฮโดรคลอริกเข้มข้นให้เป็น 8.0 เดินน้ำปลอดประจุจนเป็นบิม่าตอร์ 1,000 มล. นำไปปั่นเฉาเชื่อด้วยความดันไอ 15 ปอนด์ต่อตารางนิวต์ อุณหภูมิ 121°ซ เป็นเวลา 20 นาที

**14. สารละลาย EDTA เข้มข้น 0.5 มิลลาร์ ความเป็นกรด-ด่างเป็น 8.0**

EDTA ( $C_{10}H_{14}N_2O_8Na_2 \cdot 2H_2O$ )	186.1	กรัม
โซเดียมไฮดรอกไซด์	20	กรัม

ละลายน้ำในน้ำปลอดประจุบิริมาตร 800 มล. จากนั้นเติมเกล็ดโซเดียมไฮดรอกไซด์คนให้เข้ากันจนให้เย็นลงแล้วจึงปรับค่าความเป็นกรด-ด่างด้วยกรดไฮดรอลอเริกเข้มข้นให้เป็น 8.0 เติมน้ำปลอดประจุจนเป็นบิริมาตร 1,000 มล. นำไปป่นฝ่าเขียวด้วยความดันไอ 15 ปอนด์ต่อตารางนิวตัน หุงหมุน 121 °ซี เป็นเวลา 20 นาที

#### 15. บัฟเฟอร์ TE ความเป็นกรด-ด่างเป็น 8.0

Tris-HCl	10.0	มิลลิเมตร
EDTA	1.0	มิลลิเมตร

ผสมสารละลายน้ำ Tris-HCl เข้มข้น 1.0 มิลลิเมตร ความเป็นกรด-ด่างเป็น 8.0 บิริมาตร 10 มล. เข้ากับสารละลายน้ำ EDTA เข้มข้น 0.5 มิลลิเมตร ความเป็นกรด-ด่างเป็น 8.0 บิริมาตร 2 มล. เติมน้ำปลอดประจุจนเป็นบิริมาตร 1,000 มล. นำไปป่นฝ่าเขียวด้วยความดันไอ 15 ปอนด์ต่อตารางนิวตัน หุงหมุน 121 °ซี เป็นเวลา 20 นาที

#### 16. บัฟเฟอร์ 50X Tris-acetate (TAE)

Tris base	242	กรัม
กรดอะซิติกเข้มข้น	57.1	มล.
สารละลายน้ำ EDTA เข้มข้น 0.5 มิลลิเมตร pH 8.0	100	มล.

ละลายน้ำในน้ำปลอดประจุบิริมาตร 800 มล. แล้วเติมน้ำปลอดประจุจนเป็นบิริมาตร 1,000 มล. นำไปป่นฝ่าเขียวด้วยความดันไอ 15 ปอนด์ต่อตารางนิวตัน หุงหมุน 121 °ซี เป็นเวลา 20 นาที

#### 17. สารละลายน้ำ CTAB/NaCl (10%CTAB ใน 0.7 M NaCl)

CTAB	10	กรัม
โซเดียมคลอไรด์	0.7	มิลลิเมตร

ละลายน้ำ CTAB ในน้ำปลอดประจุที่หุงหมุน 60 °ซี บิริมาตร 80 มล. จากนั้นเติมสารละลายน้ำโซเดียมคลอไรด์ เมื่อละลายน้ำแล้วเติมน้ำปลอดประจุจนเป็นบิริมาตร 100 มล. นำไปป่นฝ่าเขียวด้วยความดันไอ 15 ปอนด์ต่อตารางนิวตัน หุงหมุน 121 °ซี เป็นเวลา 20 นาที

### 18. สารละลายฟีนอล (phenol)

นำฟีนอลในรูปเกล็ดของแข็งมาหยอดลงในน้ำอุ่นที่ 68 °C จากนั้นเติมผง Hydroxy quinoline ให้ได้ความเข้มข้นสุดท้ายเป็น 0.1% แล้วเติม Tris-HCl เข้มข้น 1 มิลลิ ความเป็นกรด-ด่างเป็น 8.0 ในอัตราส่วน 1:1 (ปริมาตรต่อปริมาตร) เยื่าให้เข้ากันแล้วตั้งทิ้งไว้เป็นเวลาข้ามคืน ครั้นพีนอลจะดึงความเป็นกรด-ด่างให้ได้เท่ากับมากกว่า 7.8 (ใช้ pH paper วัด) ถ้ายังไม่ได้ให้คุณสำาระละลายขั้นบนทิ้งแล้วเติม Tris-HCl เข้มข้น 1 มิลลิ ความเป็นกรด-ด่างเป็น 8.0 ลงไปอีกครั้ง ทำเช่นนี้ต่อไปเรื่อยๆจนกระทั่งขั้นพีนอลมีความเป็นกรด-ด่างมากกว่าหรือเท่ากับ 7.8 สุดท้ายเติมบัฟเฟอร์ TE ความเป็นกรด-ด่างเป็น 8.0 ในอัตราส่วน 1:1 อีกครั้ง เก็บที่อุณหภูมิ 4°C ในขวดสีขาวที่ปิดฝาแน่น

### 19. สารละลายฟีนอล/คลอโรฟอร์ม/ไอโซเอมิลแอลกอฮอล์

ผสมสารละลายฟีนอลเข้มตัวด้วย Tris-HCl เข้ากับคลอโรฟอร์มและไอโซเอมิลแอลกอฮอล์ในอัตราส่วน ฟีนอล : คลอโรฟอร์ม : ไอโซเอมิลแอลกอฮอล์ เป็น 25 : 24 : 1 (ปริมาตรต่อปริมาตรต่อปริมาตร) ผสมให้เข้ากัน เก็บไว้ในขวดสีขาวที่อุณหภูมิ 4°C

### 20. สารละลายคลอโรฟอร์ม/ไอโซเอมิลแอลกอฮอล์

ผสมคลอโรฟอร์มและไอโซเอมิลแอลกอฮอล์เข้าด้วยกันในอัตราส่วน 24 : 1 (ปริมาตรต่อปริมาตร) เก็บไว้ที่อุณหภูมิ 4°C

### 21. สารละลายสำหรับการสกัดพลาสมิด

สารละลาย |

กลูโคส	50	มิลลิมิลลิ
--------	----	------------

สารละลาย Tris-HCl ความเป็นกรด-ด่างเป็น 8.0	25	มิลลิมิลลิ
--	----	------------

สารละลาย EDTA ความเป็นกรด-ด่างเป็น 8.0	10	มิลลิมิลลิ
--	----	------------

ผสมส่วนผสมทั้งหมดเข้าด้วยกันแล้วเติมน้ำปลอดปะๆให้ครบปริมาตร 1,000 มล. นำไปปั่นเฉา เชือด้วยความดันไอก 15 ปอนด์ต่อตารางนิ้ว อุณหภูมิ 121°C เป็นเวลา 20 นาที

### สารละลาย II

ผสมสารละลายโซเดียมไอกಡอกไซด์ เข้มข้น 10 นาโนมัล ปริมาตร 0.2 มล. เข้ากับน้ำปลอดประจุบวก ปริมาตร 8.8 มล. แล้วเติมสารละลาย 10% SDS ปริมาตร 1.0 มล. เตรียมใหม่ก่อนใช้ทุกครั้ง

### สารละลาย III

ผสมสารละลายโพแทสเซียมอะซีเตทเข้มข้น 5.0 มิลลาร์ ปริมาตร 50 มล. กับกรดอะซีติกเข้มข้น ปริมาตร 11.50 มล. นึ่ง慢าชื่อตัวยความดันไอ 15 ปอนด์ต่อตารางนิ้ว อุณหภูมิ  $121^{\circ}\text{C}$  เป็นเวลา 20 นาที

#### 22. Loading dye

Bromphenolblue	0.025%
โซดา	40 %

ละลายส่วนผสมในน้ำปลอดประจุบวกด้วย เก็บรักษาที่อุณหภูมิ  $4^{\circ}\text{C}$

#### 23. สารละลายเอธิดียมไบรามดีในบัฟเฟอร์ TAE

ละลายผงเอธิดียมไบรามดีในบัฟเฟอร์ TAE ให้มีความเข้มข้นสุดท้ายเท่ากับ 10 มิลลิกรัมต่อมิลลิลิตร เก็บในภาชนะที่ปิดสนิทในที่มืด

#### 24. สารละลายโซเดียมอะซีเตท เข้มข้น 3 มิลลาร์ ความเป็นกรด-ด่างเท่ากับ 5.2

ละลายโซเดียมอะซีเตท น้ำหนัก 204 กรัม ในน้ำปลอดประจุให้ได้ปริมาตรประมาณ 400 มล. นำไปปรับค่าความเป็นกรด-ด่างให้เป็น 5.2 ด้วยกรดอะซีติกปริมาตรประมาณ 57 มล. เติมน้ำปลอดประจุให้ได้ปริมาตรครบ 500 มล. นำไปนึ่ง慢าชื่อตัวยความดันไอ 15 ปอนด์ต่อตารางนิ้ว อุณหภูมิ  $121^{\circ}\text{C}$  เป็นเวลา 20 นาที

#### 25. สารละลายโปรตีนेसเค (proteinaseK) ความเข้มข้น 20 มิลลิกรัมต่อมิลลิลิตร

ละลายผงโปรตีนเนสเคน้ำหนัก 20 มก. ในน้ำปลอดประจุบวกด้วยโซเดียมอะซีติกปริมาตร 1 มล. เก็บที่อุณหภูมิ  $-20^{\circ}\text{C}$

#### 26. สารละลาย RNase A เข้มข้น 10 มิลลิกรัมต่อมิลลิลิตร

ละลายผง RNase A น้ำหนัก 10 มก. ในน้ำปลอดประจุบวกด้วยโซเดียมอะซีติกปริมาตร 1 มล. เก็บที่อุณหภูมิ  $-20^{\circ}\text{C}$

27. สารละลาย X-gal ความเข้มข้น 50 มิลลิกรัมต่อมิลลิลิตร  
ละลายผง X-gal น้ำหนัก 500 มก. ในสารละลาย dimethylformamide ให้ครบปริมาตร 10 มล. เก็บที่อุณหภูมิ -20°ช. ในหลอดปิดสนิทและมีด
28. สารละลาย IPTG ความเข้มข้น 0.1 มิลลาร์  
ละลายผง IPTG น้ำหนัก 0.2 กรัม ในน้ำปลดปะจุให้ครบปริมาตร 10 มล. กรองผ่านหัวกรองฝ่าเท้า เก็บที่อุณหภูมิ -20°ช.
29. สารละลายผสม dNTP ความเข้มข้น 10 มิลลิโนลาร์ (ของแต่ละตัว)  
ผสม dNTP, dGTP, dCTP และ dTTP ความเข้มข้น 100 มิลลิโนลาร์ ด้วยปริมาตรสารละ 10 ใบโครลิติค เข้าด้วยกันแล้วปรับปริมาตรสุดท้ายด้วยน้ำปลดปะจุปลดเชือให้เป็น 100 ใบโครลิติค เก็บรักษาไว้ที่อุณหภูมิ -20°ช.
30. ถุงไดออกซิสสำหรับทำ Electroelution  
แซ่ดุงไดออกซิสที่ตัดให้ยาวประมาณ 6 เซนติเมตร ในสารละลาย 3% โซเดียมไบคาร์บอเนท ใน 1 mM EDTA ความเป็นกรด-ด่างเป็น 8.0 นำไปป่นฝ่าเท้าด้วยความดันไอ 15 ปอนด์ต่อตารางนิ้ว ที่ อุณหภูมิ 121 °ช. เป็นเวลา 20 นาที จากนั้นล้างถุงไดออกซิสด้วยน้ำปลดปะจุปลดเชือ บ่ายถุงไดออกซิสไปแขวนในสารละลาย 1 mM EDTA ความเป็นกรด-ด่างเป็น 8.0 นำไปป่นฝ่าเท้าด้วยความดัน ไอ 15 ปอนด์ต่อตารางนิ้ว ที่ อุณหภูมิ 121 °ช. เป็นเวลา 20 นาทีอีกครั้ง ทั้งให้เย็นที่อุณหภูมิ 4 °ช.

## ศูนย์วิทยทรัพยากร จุฬาลงกรณ์มหาวิทยาลัย

## ภาคผนวก C

### การเปรียบเทียบความเหมือนและ nau บริเวณอนุรักษ์โดยโปรแกรม BlastN

1. ผลจากการเปรียบเทียบความเหมือนของลำดับนิวคลีอิโอดี 16 เอส ไรโนซีมอลตีเอ็นเอ (16S rDNA) ของ *Pseudomonas* sp. A41 โดยโปรแกรม BlastN

Query หมายเลข 16 เอส ไรโนซีมอลตีเอ็นเอ (16S rDNA) ของ *P. aeruginosa* A41

Sbjct หมายเลข 16 เอส ไรโนซีมอลตีเอ็นเอ (16S rDNA) ของ *P. aeruginosa* PAO1

gi|9946537|gb|AE004501.1| *Pseudomonas aeruginosa* PAO1, section 62 of 529 of the complete genome Length = 10832

Score = 2835 bits (1430), Expect = 0.0  
Identities = 1430/1430 (100%)  
Strand = Plus / Plus

```

Query: 1      ggcaggcctaacacatgcaagtcgagcggatgaaggagcttgcctggattcagcggc 60
||| ||||| | | | | | | | | | | | | | | | | | | | | | | | | | | | | | | | | | | |
Sbjct: 8949  ggcaggcctaacacatgcaagtcgagcggatgaaggagcttgcctggattcagcggc 9008

Query: 61     ggacgggtgagtaatgccttaggaatctgcctggatgtggggataacgtccggaaacggg 120
||| ||||| | | | | | | | | | | | | | | | | | | | | | | | | | | | | | | | | | | |
Sbjct: 9009  ggacgggtgagtaatgccttaggaatctgcctggatgtggggataacgtccggaaacggg 9068

Query: 121    cgctaataccgcatacgtcctgagggagaaagtggggatcttcggacctcacgtatca 180
||| ||||| | | | | | | | | | | | | | | | | | | | | | | | | | | | | | | | | | | |
Sbjct: 9069  cgctaataccgcatacgtcctgagggagaaagtggggatcttcggacctcacgtatca 9128

Query: 181    gatgagcctaggtcgatttagctagttggtgaaaaggcattaccaaggcgacgtccg 240
||| ||||| | | | | | | | | | | | | | | | | | | | | | | | | | | | | | | | | | |
Sbjct: 9129  gatgagcctaggtcgatttagctagttggtgaaaaggcattaccaaggcgacgtccg 9188

Query: 241    taactggtctgagaggatgatcagtcacactggaactgagacacggtcagactcc tacg 300
||| ||||| | | | | | | | | | | | | | | | | | | | | | | | | | | | | | | | | | |
Sbjct: 9189  taactggtctgagaggatgatcagtcacactggaactgagacacggtcagactcc tacg 9248

Query: 301    ggaggcagcagtggaaattggacaatggcgaaaggctgatccagccatgccgcgtg 360
||| ||||| | | | | | | | | | | | | | | | | | | | | | | | | | | | | | | | | | |
Sbjct: 9249  ggaggcagcagtggaaattggacaatggcgaaaggctgatccagccatgccgcgtg 9308

Query: 361    tgtgaagaaggcttcggattgtaaagcacttaagttggaggaagggcagtaagttaa 420
||| ||||| | | | | | | | | | | | | | | | | | | | | | | | | | | | | | | | | |
Sbjct: 9309  tgtgaagaaggcttcggattgtaaagcacttaagttggaggaagggcagtaagttaa 9368

Query: 421    tacttgtgtttgacgttaccaacagaataagcaccggctaacttcgtgccagcagcc 480
||| ||||| | | | | | | | | | | | | | | | | | | | | | | | | | | | | | | | |
Sbjct: 9369  tacttgtgtttgacgttaccaacagaataagcaccggctaacttcgtgccagcagcc 9428

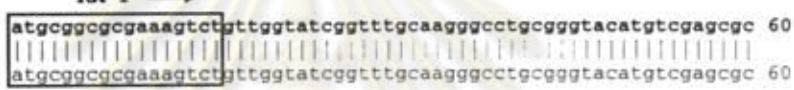
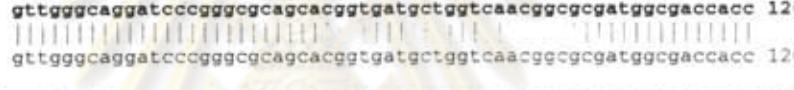
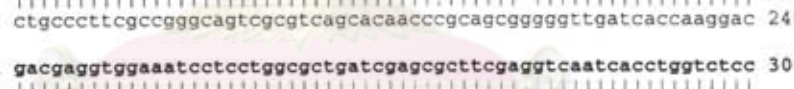
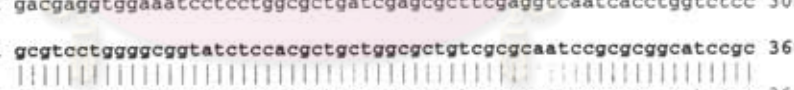
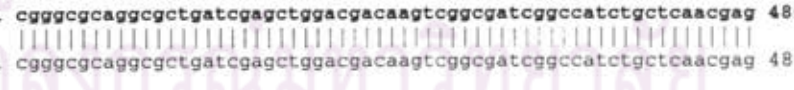
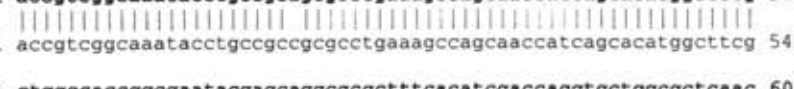
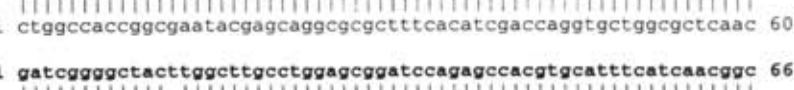
```

Query: 481 gcggtaatacgaagggtgcaagcgtaatcgaaattactggcgtaaagcgccgttaggt 540  
 Sbjct: 9429 gcggtaatacgaagggtgcaagcgtaatcgaaattactggcgtaaagcgccgttaggt 9488  
 Query: 541 ggttcagcaagttggatgtgaaatccccggctcaacctggactgcataaaaaactac 600  
 Sbjct: 9489 ggttcagcaagttggatgtgaaatccccggctcaacctggactgcataaaaaactac 9548  
 Query: 601 tgagcttagagtacggtagaggggtggatcccgtgttagcggtggaaatgcgtagata 660  
 Sbjct: 9549 tgagcttagagtacggtagaggggtggatcccgtgttagcggtggaaatgcgtagata 9608  
 Query: 661 taggaaggAACACCGTGGCGAAGGCACCTGGACTGATACTGACACTGAGGTGCGA 720  
 Sbjct: 9609 taggaaggAACACCGTGGCGAAGGCACCTGGACTGATACTGACACTGAGGTGCGA 9668  
 Query: 721 aagcgtgggagcaaacaggattagataccctggtagtccacgccgtaaacgatgtcgac 780  
 Sbjct: 9669 aagcgtgggagcaaacaggattagataccctggtagtccacgccgtaaacgatgtcgac 9728  
 Query: 781 tagccgttggatcccttagatccctggtagtccacgccgtaaacgatgtcgac 840  
 Sbjct: 9729 tagccgttggatcccttagatccctggtagtccacgccgtaaacgatgtcgac 9788  
 Query: 841 ggagtacggccgcaaggtaaaactcaaattgacggggccgcacaagggtgg 900  
 Sbjct: 9789 ggagtacggccgcaaggtaaaactcaaattgacggggccgcacaagggtgg 9848  
 Query: 901 gcatgtgtttaattcgaaacgcgaaacccattacctggccttgcacatgtgtgagaac 960  
 Sbjct: 9849 gcatgtgtttaattcgaaacgcgaaacccattacctggccttgcacatgtgtgagaac 9908  
 Query: 961 ttccagagatggatggcgcttcggactcagacacagggtgtgcacatgtgtcg 1020  
 Sbjct: 9909 ttccagagatggatggcgcttcggactcagacacagggtgtgcacatgtgtcg 9968  
 Query: 1021 agctcggtcgtagatgtgggttaagtccgtaacggcgcaaccctgtcccttagtt 1080  
 Sbjct: 9969 agctcggtcgtagatgtgggttaagtccgtaacggcgcaaccctgtcccttagtt 10028  
 Query: 1081 accagcacctcggtggcactctaaggagactgccgtgacaaaccggaggtgg 1140  
 Sbjct: 10029 accagcacctcggtggcactctaaggagactgccgtgacaaaccggaggtgg 10088  
 Query: 1141 gatgacgtcaagtcatcatggcccttacggccagggtcacacacgtgtacatggcg 1200  
 Sbjct: 10089 gatgacgtcaagtcatcatggcccttacggccagggtcacacacgtgtacatggcg 10148  
 Query: 1201 tacaaagggttgccaagcccgaggtggagctaatcccataaaaccgatcgtagtccg 1260  
 Sbjct: 10149 tacaaagggttgccaagcccgaggtggagctaatcccataaaaccgatcgtagtccg 10208  
 Query: 1261 tcgcgtctcgactcgactcgtagtgcgtgaatcgtagtaatcgtagtgcataatgt 1320  
 Sbjct: 10209 tcgcgtctcgactcgactcgtagtgcgtgaatcgtagtaatcgtagtgcataatgt 10268  
 Query: 1321 cacggtaatacgttccggccctgtacacaccggccgtcacaccatggagttg 1380  
 Sbjct: 10269 cacggtaatacgttccggccctgtacacaccggccgtcacaccatggagttg 10328

Query: 1381 ctccagaagtagctagtctaaccgcaagggggacggttaccacggagtga 1430  
 Sbjct: 10329 ctccagaagtagctagtctaaccgcaagggggacggttaccacggagtga 10378

2. การเปรียบเทียบหนาบริเวณอนุรักษ์ของ *rhlA* ของ *Pseudomonas aeruginosa* PAO1 (Stover และคณะ, 2000) กับ *Pseudomonas aeruginosa* PG201 (Ochsner และคณะ, 1994a)

Score = 1679 bits (873), Expect = 0.0, Identities = 881/885 (99%), Strand = Plus / Plus

RA-F →	
PAO1 : 1	
PG201: 1	
PAO1 : 61	
PG201: 61	
PAO1 : 121	
PG201: 121	
PAO1 : 181	
PG201: 181	
PAO1 : 241	
PG201: 241	
PAO1 : 301	
PG201: 301	
PAO1 : 361	
PG201: 361	
PAO1 : 421	
PG201: 421	
PAO1 : 481	
PG201: 481	
PAO1 : 541	
PG201: 541	
PAO1 : 601	
PG201: 601	
PAO1 : 661	
PG201: 661	

```

PAO1 : 721 tgcagtttcgcgggtggaggcaccgggcathttctcgacctggagtccaagtgca 780
|||||||  

PG201: 721 tgcagtttcgcgggtggaggcaccgggcathttctcgacctggagtccaagtgca 780
          ← RA-R  

PAO1 : 781 gcggtaacgcgtgcaccgcgcctgctcgaacccatctgctgaagcaaccggagccgagccg 840
|||||||  

PG201: 781 gcggtaacgcgtgcaccgcgcctgctcgaacccatctgctgaagcaaccggagccgagccg 840
          ← RA-R  

PAO1 : 841 gcggaaacgcgcggggattccacgagatggccatcggtacgcctga 888
|||||||  

PG201: 841 gcggaaacgcgcggggattccacgagatggccatcggtacgcctga 888
          ← RA-R

```

3. การเปรียบเทียบหนาบริเวณอนุรักษ์ของ *rhlR* ของ *Pseudomonas aeruginosa* PAO1 (Stover และคณะ, 2000) กับ *Pseudomonas aeruginosa* PG201 (Ochsner และคณะ, 1994b)

Score = 1356 bits (705), Expect = 0.0, Identities = 717/723 (99%), Strand = Plus / Plus

```

RR-F →
PAO1 : 1 atgaggaatgacggagg|tttttgcgtggggacggtttgcgtacgcagatgcagccg 60
|||||||  

PG201: 1 atgaggaatgacggagg|tttttgcgtggggacggtttgcgtacgcagatgcagccg 60
          ← RA-R  

PAO1 : 61 atccacgacagccaggcgtgttcgcgcgttggaaaaggaaatgcggccctggcttc 120
|||||||  

PG201: 61 atccacgacagccaggcgtgttcgcgcgttggaaaaggaaatgcggccctggcttc 120
          ← RA-R  

PAO1 : 121 gattactacgcctatggcgtgcgcacacgattcccttacccggccaaagaccgagg 180
|||||||  

PG201: 121 gattactacgcctatggcgtgcgcatacgattcccttacccggccaaagaccgagg 180
          ← RA-R  

PAO1 : 181 catggcacctatccaaaggcctggctggcgtacccatggccatggccatggcc 240
|||||||  

PG201: 181 catggcacctatccaaaggcctggctggcgtacccatggccatggccatggcc 240
          ← RA-R  

PAO1 : 241 gatccggcgtatcccaacggcgttcgtggaaatgggtgtctggagcgcacgcctg 300
|||||||  

PG201: 241 gatccggcgtatcccaacggcgttcgtggaaatgggtgtctggagcgcacgcctg 300
          ← RA-R  

PAO1 : 301 ttgcaccagagccggatgtctggAACGAGGCTCGCATTGGGCTCTGTGCGCG 360
|||||||  

PG201: 301 ttgcaccagagccggatgtctggAACGAGGCTCGCATTGGGCTCTGTGCGCG 360
          ← RA-R  

PAO1 : 361 acttgccatccgcgtccgcggcaacaatttgcgtacgcgtcttccgtggccgcgacc 420
|||||||  

PG201: 361 acttgccatccgcgtccgcggcaacaatttgcgtacgcgtcttccgtggccgcgacc 420
          ← RA-R  

PAO1 : 421 cagaacatctccatgttcgcggcggaaatccgcgtggctgcgttgcgtatcgag 480
|||||||  

PG201: 421 cagaacatctccatgttcgcggcggaaatccgcgtggctgcgttgcgtatcgag 480
          ← RA-R  

PAO1 : 481 ttgctgacccagaagctgaccgacctggagcatccgtatgttgcgtatgtccaacc 540
|||||||  

PG201: 481 ttgctgacccagaagctgaccgacctggagcatccgtatgttgcgtatgtccaacc 540
          ← RA-R  

PAO1 : 541 ctgagccatcgcaacgcgtggagatccgtcaatggaccggcgtggcaagatgtcc 600
|||||||  

PG201: 541 ctgagccatcgcaacgcgtggagatccgtcaatggaccggcgtggcaagatgtcc 600
          ← RA-R

```

```

PAO1 : 601 atcgccatcatcctgagcatctccgagagcacggtaacttccaccacaagaacatccag 660
PAO1 : 601 atcgccatcatcctgagcatccgcggtaacttccaccacaagaacatccag 660
PG201: 601 atcgccatcatcctgagcatccgcggtaacttccaccacaagaacatccag 660
          ← RR-R
PAO1 : 661 aagaagttcgacgcgcgaacaagacgctggctgcc|cctacgcgcggcgctgggtetc 720
PG201: 661 aagaagttcgacgcgcgaacaagacgctggctgcc|cctacgcgcggcgctgggtetc 720
PAO1 : 721 atc 723
PG201: 721 atc 723

```

### การเปรียบเทียบความคล้ายของกรดอะมิโนโดยโปรแกรม

BlastX version 2.2.9

Query หมายถึง ลำดับกรดอะมิโนในงานวิจัยนี้

Sbjct หมายถึง ลำดับกรดอะมิโนที่เปรียบเทียบใน GenBank

+ หมายถึง กรดอะมิโนในกลุ่มเดียวกัน

4. ผลจากการเทียบความคล้ายของกรดอะมิโนบางส่วนของผลิตภัณฑ์ที่ได้จากปฏิกิริยาลูกลิเชพอลิเมอเรสของ rhlA จากจีโนมิกตีเอ็นเอของ *Pseudomonas* sp. A41 โดยใช้ไฟร์เมอร์ RA-F และ RA-R

```

gi|9949623|gb|AAG06867.1| rhamnosyltransferase chain A [Pseudomonas aeruginosa PAO1] Length = 295

Score = 251 bits (640), Expect = 4e-66
Identities = 126/126 (100%), Positives = 126/126 (100%)
Frame = +2

Query: 2 LRVHVERVGQDPGRSTVMLVNGAMATTASFARTCKCLAEHFNVVLFDLPPFAGQSRQHNPQ 181
        LRVHVERVGQDPGRSTVMLVNGAMATTASFARTCKCLAEHFNVVLFDLPPFAGQSRQHNPQ
Sbjct: 14 LRVHVERVGQDPGRSTVMLVNGAMATTASFARTCKCLAEHFNVVLFDLPPFAGQSRQHNPQ 73

Query: 182 RGLITKDDEVEILLALIERFEVNHLVSASWGGISTLLALSRNPRGIRSSVVMAPGLNQ 361
        RGLITKDDEVEILLALIERFEVNHLVSASWGGISTLLALSRNPRGIRSSVVMAPGLNQ
Sbjct: 74 RGLITKDDEVEILLALIERFEVNHLVSASWGGISTLLALSRNPRGIRSSVVMAPGLNQ 133

Query: 362 AMLDYV 379
        AMLDYV
Sbjct: 134 AMLDYV 139

```

```

gi|452503|gb|AAA62128.1| rhamnosyl transferase [Pseudomonas aeruginosa PG201]
, Length = 295

Score = 251 bits (640), Expect = 4e-66
Identities = 126/126 (100%), Positives = 126/126 (100%)
Frame = +2

Query: 2 LRVHVERVGQDPGRSTVMLVNGAMATTASFARTCKCLAEHFNVVLFDLPPAGQSRQHNPQ 181
LRVHVERVGQDPGRSTVMLVNGAMATTASFARTCKCLAEHFNVVLFDLPPAGQSRQHNPQ
Sbjct: 14 LRVHVERVGQDPGRSTVMLVNGAMATTASFARTCKCLAEHFNVVLFDLPPAGQSRQHNPQ 73

Query: 182 RGLITKDDEVEILLALIERFEVNHLSASWGGISTLLALSRNPRGIRSSVVMFAPGLNQ 361
RGLITKDDEVEILLALIERFEVNHLSASWGGISTLLALSRNPRGIRSSVVMFAPGLNQ
Sbjct: 74 RGLITKDDEVEILLALIERFEVNHLSASWGGISTLLALSRNPRGIRSSVVMFAPGLNQ 133

Query: 362 AMLDYV 379
AMLDYV
Sbjct: 134 AMLDYV 139

```

5. ผลจากการเทียบความคล้ายของกรดอะมิโนบางส่วนของผลิตภัณฑ์ที่ได้จากปฏิกิริยาลูกิช พอลิเมอเรสของ *rh/R* จากจีโนมิกติเด็นเซของ *Pseudomonas* sp. A41 โดยใช้ไพร์เมอร์ RR-F และ RR-R

```

gi|452505|gb|AAA62130.1| regulatory protein [Pseudomonas aeruginosa PG201]
gi|9949621|gb|AAG06865.1| transcriptional regulator RhlR [Pseudomonas
aeruginosa PAO1] Length = 241

Score = 146 bits (369), Expect = 1e-34
Identities = 66/66 (100%), Positives = 66/66 (100%)
Frame = +2

Query: 2 FLLWWDGLRSEMQPPIHDSQGVFAVLEKEVRRRLGFDDYYAYGVRHTIPFTRPKTEVHGTPK 181
FLLWWDGLRSEMQPPIHDSQGVFAVLEKEVRRRLGFDDYYAYGVRHTIPFTRPKTEVHGTPK
Sbjct: 7 FLLWWDGLRSEMQPPIHDSQGVFAVLEKEVRRRLGFDDYYAYGVRHTIPFTRPKTEVHGTPK 66

Query: 182 AWLERY 199
AWLERY
Sbjct: 67 AWLERY 72

```

## 6. ผลจากการเทียบความคล้ายของ ORF1

```

gi|9949625|gb|AAG06868.1| probable deoxycytidine triphosphate deaminase
[Pseudomonas aeruginosa PAO1] Length = 188

Score = 282 bits (722), Expect = 1e-74
Identities = 137/137 (100%), Positives = 137/137 (100%)
Frame = +1

Query: 1 EFKVFTNIHSAVVDPKNFDEKSFVDINSDVCIIPPNSFALARTVEYFRIPRDVLTICLGK 180
        EFKVFTNIHSAVVDPKNFDEKSFVDINSDVCIIPPNSFALARTVEYFRIPRDVLTICLGK
Sbjct: 52 EFKVFTNIHSAVVDPKNFDEKSFVDINSDVCIIPPNSFALARTVEYFRIPRDVLTICLGK 111

Query: 181 STYARCGIIVNVTPLEPEWEGHVTLEFSNTTNLPAKIYANEGVAQMLFLQSDEACEVSYK 360
        STYARCGIIVNVTPLEPEWEGHVTLEFSNTTNLPAKIYANEGVAQMLFLQSDEACEVSYK
Sbjct: 112 STYARCGIIVNVTPLEPEWEGHVTLEFSNTTNLPAKIYANEGVAQMLFLQSDEACEVSYK 171

Query: 361 DRGGKYQQQRGVTLPKA 411
        DRGGKYQQQRGVTLPKA
Sbjct: 172 DRGGKYQQQRGVTLPKA 188

```

## 7. ผลจากการเทียบความคล้ายของ ORF 2

```

gi|452503|gb|AAA62128.1| rhamnosyl transferase [Pseudomonas aeruginosa
PG201] Length = 295

Score = 591 bits (1523), Expect = e-167
Identities = 295/295 (100%), Positives = 295/295 (100%)
Frame = +1

Query: 838 MRRESLLVSVCCKGLRVHVERVGQDPGRSTVMLVNGAMATTASFARTCKCLAEHFNVVLFD 1017
        MRRESLLVSVCCKGLRVHVERVGQDPGRSTVMLVNGAMATTASFARTCKCLAEHFNVVLFD
Sbjct: 1 MRRESLLVSVCCKGLRVHVERVGQDPGRSTVMLVNGAMATTASFARTCKCLAEHFNVVLFD 60

Query: 1018 LPFAGQSRQHNQQRGLITKDDEVEILLALIERFEVNHLVSASWGGISTLLALSRNPRGIR 1197
        LPFAGQSRQHNQQRGLITKDDEVEILLALIERFEVNHLVSASWGGISTLLALSRNPRGIR
Sbjct: 61 LPFAGQSRQHNQQRGLITKDDEVEILLALIERFEVNHLVSASWGGISTLLALSRNPRGIR 120

Query: 1198 SSVVMAFAPGLNQAMLDYVGRAQALIELDDKSAIGHLLNETVGKYLPPRLKASNHQHMAS 1377
        SSVVMAFAPGLNQAMLDYVGRAQALIELDDKSAIGHLLNETVGKYLPPRLKASNHQHMAS
Sbjct: 121 SSVVMAFAPGLNQAMLDYVGRAQALIELDDKSAIGHLLNETVGKYLPPRLKASNHQHMAS 180

Query: 1378 LATGEYEQARFHIDQVLALNDRGYLAACLERIQSHVHFINGSWDEYTTAEDARQFRDYLPH 1557
        LATGEYEQARFHIDQVLALNDRGYLAACLERIQSHVHFINGSWDEYTTAEDARQFRDYLPH
Sbjct: 181 LATGEYEQARFHIDQVLALNDRGYLAACLERIQSHVHFINGSWDEYTTAEDARQFRDYLPH 240

Query: 1558 CSFSRVEGTGHFLDLESKLAAVRVHRALLEHLLKQPEPQRAERAAGFHEMAIGYA 1722
        CSFSRVEGTGHFLDLESKLAAVRVHRALLEHLLKQPEPQRAERAAGFHEMAIGYA
Sbjct: 241 CSFSRVEGTGHFLDLESKLAAVRVHRALLEHLLKQPEPQRAERAAGFHEMAIGYA 295

```

gi|9949623|gb|AAG06867.1| rhamnosyltransferase chain A [Pseudomonas aeruginosa PAO1] Length = 295

Score = 588 bits (1515), Expect = e-166  
 Identities = 294/295 (99%), Positives = 294/295 (99%)  
 Frame = +1

Query: 838 MRRESLLSVCKGLRVHVERVGQDPGRSTVMLVNGAMATTASFARTCKCLAEHFNVVLFD 1017  
 MRRESLLSVCKGLRVHVERVGQDPGRSTVMLVNGAMATTASFARTCKCLAEHFNVVLFD  
 Sbjct: 1 MRRESLLSVCKGLRVHVERVGQDPGRSTVMLVNGAMATTASFARTCKCLAEHFNVVLFD 60

Query: 1018 LPFAGQSRQHNPQRGLITKDDEVEILLALIERFEVNHLVSASWGGISTLLALSRNPRGIR 1197  
 LPFAGQSRQHNPQRGLITKDDEVEILLALIERFEVNHLVSASWGGISTLLALSRNPRGIR  
 Sbjct: 61 LPFAGQSRQHNPQRGLITKDDEVEILLALIERFEVNHLVSASWGGISTLLALSRNPRGIR 120

Query: 1198 SSVVMMAFPGLNQAMLDYVGRAQALIELDDKSAIGHLLNETVGKYLPRLKASNHQHMAS 1377  
 SSVVMMAFPGLNQAMLDYVGRAQALIELDDKSAIGHLLNETVGKYLP RLKASNHQHMAS  
 Sbjct: 121 SSVVMMAFPGLNQAMLDYVGRAQALIELDDKSAIGHLLNETVGKYLPQLRKASNHQHMAS 180

Query: 1378 LATGEYEQARFHIDQVLALNDRGYLACLERIQSHVHFINGSWDEYTTAEDARQFRDYLPH 1557  
 LATGEYEQARFHIDQVLALNDRGYLACLERIQSHVHFINGSWDEYTTAEDARQFRDYLPH  
 Sbjct: 181 LATGEYEQARFHIDQVLALNDRGYLACLERIQSHVHFINGSWDEYTTAEDARQFRDYLPH 240

Query: 1558 CSFSRVEGTGHFLDLESKLAAVRVHRALLEHLLKQPEPQRAERAAGFHEMAIGYA 1722  
 CSFSRVEGTGHFLDLESKLAAVRVHRALLEHLLKQPEPQRAERAAGFHEMAIGYA  
 Sbjct: 241 CSFSRVEGTGHFLDLESKLAAVRVHRALLEHLLKQPEPQRAERAAGFHEMAIGYA 295

## 8. ผลจากการเทียบความคล้ายของORF 3

gi|9949622|gb|AAG06866.1| rhamnosyltransferase chain B [Pseudomonas aeruginosa PAO1] Length = 426

Score = 877 bits (2266), Expect = 0.0  
 Identities = 426/426 (100%), Positives = 426/426 (100%)  
 Frame = +3

Query: 1791 MHAILIAIGSAGDVFPFIGLARTLKLRGHRSVLCTIPVFRDAVEQHGIASFVPLSDELYR 1970  
 MHAILIAIGSAGDVFPFIGLARTLKLRGHRSVLCTIPVFRDAVEQHGIASFVPLSDELYR  
 Sbjct: 1 MHAILIAIGSAGDVFPFIGLARTLKLRGHRSVLCTIPVFRDAVEQHGIASFVPLSDELYR 60

Query: 1971 RTMGDPRWLDPKTSFGVLWQAIAGMIEPVYEYVSAQRHDDIVVGSILWALGARIAHEKYG 2150  
 RTMGDPRWLDPKTSFGVLWQAIAGMIEPVYEYVSAQRHDDIVVGSILWALGARIAHEKYG  
 Sbjct: 61 RTMGDPRWLDPKTSFGVLWQAIAGMIEPVYEYVSAQRHDDIVVGSILWALGARIAHEKYG 120

Query: 2151 IPYLSAQVSPSTLLSAHLPPVHPKFNVPEQMPLAMRKLLWRRCIERFKLDRTCAPEINAVR 2330  
 IPYLSAQVSPSTLLSAHLPPVHPKFNVPEQMPLAMRKLLWRRCIERFKLDRTCAPEINAVR  
 Sbjct: 121 IPYLSAQVSPSTLLSAHLPPVHPKFNVPEQMPLAMRKLLWRRCIERFKLDRTCAPEINAVR 180

Query: 2331 RKVGLETPVKRIFTQWMHSPQGVVCLFPFWAPPQQDWPLQPLHMTGFLFDGSIPGTPLD 2510  
 RKVGLETPVKRIFTQWMHSPQGVVCLFPFWAPPQQDWPLQPLHMTGFLFDGSIPGTPLD  
 Sbjct: 181 RKVGLETPVKRIFTQWMHSPQGVVCLFPFWAPPQQDWPLQPLHMTGFLFDGSIPGTPLD 240

Query: 2511 DELQRFLDQGSRPLVFTQGSTEHLGDFYAMALRALERLGARGIFLTGAGQEPLRGLPNH 2690  
 DELQRFLDQGSRPLVFTQGSTEHLGDFYAMALRALERLGARGIFLTGAGQEPLRGLPNH  
 Sbjct: 241 DELQRFLDQGSRPLVFTQGSTEHLGDFYAMALRALERLGARGIFLTGAGQEPLRGLPNH 300



Query: 2691 VLQRAYAPLGALLPSCAGLVHPGGIGAMSLALAAGVPQVLLPCAHDQFDNAERLVR LGCG 2870  
VLQRAYAPLGALLPSCAGLVHPGGIGAMSLALAAGVPQVLLPCAHDQFDNAERLVR LGCG  
Sbjct: 301 VLQRAYAPLGALLPSCAGLVHPGGIGAMSLALAAGVPQVLLPCAHDQFDNAERLVR LGCG 360

Query: 2871 MRLGVPLREQELRGALWRLLEDPAMAAAACRRFMELSOPHSIACGKAAQVVERCHREGDAR 3050  
MRLGVPLREQELRGALWRLLEDPAMAAAACRRFMELSOPHSIACGKAAQVVERCHREGDAR  
Sbjct: 361 MRLGVPLREQELRGALWRLLEDPAMAAAACRRFMELSOPHSIACGKAAQVVERCHREGDAR 420

Query: 3051 WLKAAS 3068  
WLKAAS  
Sbjct: 421 WLKAAS 426

gi|452504|gb|AAA62129.1| rhamnosyl transferase [*Pseudomonas aeruginosa* PG201], Length = 426

Score = 874 bits (2259), Expect = 0.0  
Identities = 424/426 (99%), Positives = 425/426 (99%)  
Frame = +3

Query: 1791 MHAILIAIGSAGDVFPFIGLARTLKL RGHRVSLCTIPVFRDAVEQHGI AFVPLSDELYR 1970  
MHAILIAIGSAGDVFPFIGLARTLKL RGHRVSLCTIPVFRDAVEQHGI AFVPLSDELYR  
Sbjct: 1 MHAILIAIGSAGDVFPFIGLARTLKL RGHRVSLCTIPVFRDAVEQHGI AFVPLSDELYR 60

Query: 1971 RTMGDPRLNDPKTSFGVLWQAIAGMIEPVYEVSAQRHDDIVVVGSILWALGARIAHEKYG 2150  
RTMGDPRLNDPKTSFGVLWQAIAGMIEPVYEVSAQRHDDIVVVGSILWALGARIAHEKYG  
Sbjct: 61 RTMGDPRLNDPKTSFGVLWQTIAGMIEPVYEVSAQRHDDIVVVGSILWALGARIAHEKYG 120

Query: 2151 IPYLSAQVSPSTLLSAHLPPVHPKFNVPEQMPLAMRKLLWR CIERFKLDRTCAPEINAVR 2330  
IPYLSAQVSPSTLLSAHLPPVHPKFNVPEQMPLAMRKLLWR CIERFKLDRTCAP+INAVR  
Sbjct: 121 IPYLSAQVSPSTLLSAHLPPVHPKFNVPEQMPLAMRKLLWR CIERFKLDRTCAPDINAVR 180

Query: 2331 RKVGLETPVKRIFTQWMHSPQGVVCLFPWFAPPQQDW PQLHMTGFPLFDGSIPGTPLD 2510  
RKVGLETPVKRIFTQWMHSPQGVVCLFPWFAPPQQDW PQLHMTGFPLFDGSIPGTPLD  
Sbjct: 181 RKVGLETPVKRIFTQWMHSPQGVVCLFPWFAPPQQDW PQLHMTGFPLFDGSIPGTPLD 240

Query: 2511 DELQRFLDQGSRPLVFTQGSTEHLQGDFYAMALRALERL GARGIFLTGAGQEPLRGLPNH 2690  
DELQRFLDQGSRPLVFTQGSTEHLQGDFYAMALRALERL GARGIFLTGAGQEPLRGLPNH  
Sbjct: 241 DELQRFLDQGSRPLVFTQGSTEHLQGDFYAMALRALERL GARGIFLTGAGQEPLRGLPNH 300

Query: 2691 VLQRAYAPLGALLPSCAGLVHPGGIGAMSLALAAGVPQVLLPCAHDQFDNAERLVR LGCG 2870  
VLQRAYAPLGALLPSCAGLVHPGGIGAMSLALAAGVPQVLLPCAHDQFDNAERLVR LGCG  
Sbjct: 301 VLQRAYAPLGALLPSCAGLVHPGGIGAMSLALAAGVPQVLLPCAHDQFDNAERLVR LGCG 360

Query: 2871 MRLGVPLREQELRGALWRLLEDPAMAAAACRRFMELSOPHSIACGKAAQVVERCHREGDAR 3050  
MRLGVPLREQELRGALWRLLEDPAMAAAACRRFMELSOPHSIACGKAAQVVERCHREGDAR  
Sbjct: 361 MRLGVPLREQELRGALWRLLEDPAMAAAACRRFMELSOPHSIACGKAAQVVERCHREGDAR 420

Query: 3051 WLKAAS 3068  
WLKAAS  
Sbjct: 421 WLKAAS 426

## 9. ผลจากการเทียบความคล้ายของ ORF 4

```

gi|452505|gb|AAA62130.1| regulatory protein [Pseudomonas aeruginosa PG201]
gi|9949621|gb|AAG06865.1| transcriptional regulator RhlR [Pseudomonas
aeruginosa PAO1] Length = 241

Score = 472 bits (1215), Expect = e-131
Identities = 229/229 (100%), Positives = 229/229 (100%)
Frame = +1

Query: 3196 MRNDGGFLLWDGLRSEMOPHIHSQGVFAVLEKEVRRRLGFDYYAYGVRHTIPFTRPKTEV 3375
        MRNDGGFLLWDGLRSEMOPHIHSQGVFAVLEKEVRRRLGFDYYAYGVRHTIPFTRPKTEV
Sbjct: 1 MRNDGGFLLWDGLRSEMOPHIHSQGVFAVLEKEVRRRLGFDYYAYGVRHTIPFTRPKTEV 60

Query: 3376 HGTYPKAWLERYQMNYGAVDPAILNGLRSSEMVVSDSLFDQSRLWNEARDWGLCVGA 3555
        HGTYPKAWLERYQMNYGAVDPAILNGLRSSEMVVSDSLFDQSRLWNEARDWGLCVGA
Sbjct: 61 HGTYPKAWLERYQMNYGAVDPAILNGLRSSEMVVSDSLFDQSRLWNEARDWGLCVGA 120

Query: 3556 TLPIRAPNNLLSVLSVARDQQNISSFEREEIRLRLRCMIELLTQKLTDLEHPMLMSNPVC 3735
        TLPIRAPNNLLSVLSVARDQQNISSFEREEIRLRLRCMIELLTQKLTDLEHPMLMSNPVC
Sbjct: 121 TLPIRAPNNLLSVLSVARDQQNISSFEREEIRLRLRCMIELLTQKLTDLEHPMLMSNPVC 180

Query: 3736 LSHREREIILQWTADGKSSGEIAIIILSISESTVNFHHKNIQKKFDAPNKT 3882
        LSHREREIILQWTADGKSSGEIAIIILSISESTVNFHHKNIQKKFDAPNKT
Sbjct: 181 LSHREREIILQWTADGKSSGEIAIIILSISESTVNFHHKNIQKKFDAPNKT 229

```

## 10. ผลจากการเทียบความคล้ายของ ORF 5

```

gi|511478|gb|AAA82725.1| putative autoinducer synthetase (PG201)
Length = 201

Score = 385 bits (989), Expect = e-105
Identities = 190/201 (94%), Positives = 190/201 (94%)
Frame = +3

Query: 4101 MIXXXXXXXXXXXAAMIAELGRYRHQVFIEKLGWDVVTSRVRDQEFDQFDHPQTRYIVA 4280
        MI AAMIAELGRYRHQVFIEKLGWDVVTSRVRDQEFDQFDHPQTRYIVA
Sbjct: 1 MIELLSESLEGLSAAMIAELGRYRHQVFIEKLGWDVVTSRVRDQEFDQFDHPQTRYIVA 60

Query: 4281 MGRQGICGCARLLPTTDAYLLKEVFAYLCSETPPSDPSVWELSRYAASAADDPQLAMKIF 4460
        MGRQGICGCARLLPTTDAYLLKEVFAYLCSETPPSDPSVWELSRYAASAADDPQLAMKIF
Sbjct: 61 MGRQGICGCARLLPTTDAYLLKEVFAYLCSETPPSDPSVWELSRYAASAADDPQLAMKIF 120

Query: 4461 WSSLQCAWYLGASSVVAVTTTAMERYFVRNGVILQRLGPPQKVGETLVAISFPAYQERG 4640
        WSSLQCAWYLGASSVVAVTTTAMERYFVRNGVILQRLGPPQKVGETLVAISFPAYQERG
Sbjct: 121 WSSLQCAWYLGASSVVAVTTTAMERYFVRNGVILQRLGPPQKVGETLVAISFPAYQERG 180

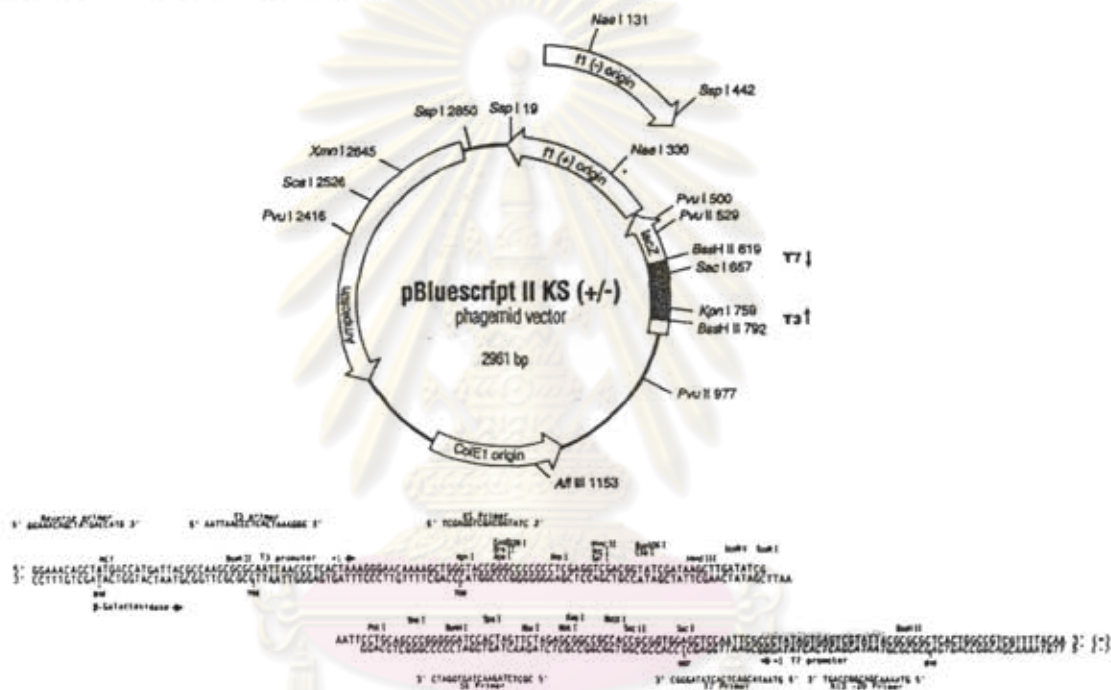
Query: 4641 LEMLLRYHPEWLQGVPLSMAV 4703
        LEMLLRYHPEWLQGVPLSMAV
Sbjct: 181 LEMLLRYHPEWLQGVPLSMAV 201

```

## ภาคผนวก ๔

### พลาสมิດพาหะ

#### 1. พลาสมิດ pBluescript KS(+-)



#### 2. พลาสมิດ pGEM-3Zf(+-)

